

# **Veröffentlichungen des Instituts für Meeresforschung in Bremerhaven**

Herausgegeben von

**H. Friedrich**

Direktor des Instituts für Meeresforschung

**Band I**

**Heft 2**

mit 8 Karten und Tafeln und 13 Textabbildungen

1952

Kommissionsverlag Franz Leuwer, Bremen

5 FEB 1962



# Ein Gerät zur Messung des Schlickfalles in Küstengewässern und Häfen

Von Hans Lüneburg

Mit Tafel 24 u. 25.

Der Anlaß zur Entwicklung eines Schlickfall-Meßgerätes.

Im Zusammenhang mit langfristigen und zurzeit noch laufenden Terminuntersuchungen über Konzentration und Verteilung der schlickbildenden Sinkstoffe in den Flußmündungen der deutschen Nordseeküste tauchte am Institut für Meeresforschung, Bremerhaven, folgendes Problem auf: Über die Erfassung der für Praxis und Wissenschaft gleich bedeutungsvollen Sinkstoffmenge hinaus ist zu ermitteln, wie groß die örtlich und jahreszeitlich variierende Ablagerung dieser Sinkstoffe in Zentimetern im Bereiche unserer Flußmündungen und in deren Seitenarmen, Prielen, Vorhäfen und Häfen ist. Auf den ersten Blick scheint die Beantwortung dieser wasserbaulich so bedeutungsvollen Frage recht einfach. Es werden eben an den in Frage kommenden Orten in regelmäßigen Zeitabständen exakte Lotungen durchgeführt. Die dabei resultierende Veränderung des Bodenniveaus unter S.K.N. (Seekartennull, d. h. das Niveau des mittleren Springniedrigwassers) würde dann in einfacher Weise Aufschluß geben können über den Betrag der in einer gewissen Zeit abgesunkenen oder wieder abgetragenen Sinkstoffmenge. Es scheint also recht einfach, ein Bild vom Schlickfall auf diese Weise zu erhalten. — Auf den mehr oder minder leicht zugänglichen Wattflächen ist die quantitative Erfassung des Schlickfalles in der Tat relativ leicht zu bewerkstelligen, während sich in praxi in den bei Niedrigwasser nicht trocken fallenden Gebieten die Messung des Schlickfalles nur mit Hilfe des Lotes als recht unzuverlässig erwiesen hat.

Zur Erklärung der eben erwähnten Unzuverlässigkeit des Lotverfahrens zur exakten Erfassung des Schlickfalles sei kurz auf den Vorgang der Schlickbildung und des Schlickfalles in den Flußmündungen der Nordseeküste, wie er sich bei unseren langjährigen Untersuchungen herauskristallisierte, eingegangen:

In den großen Flußmündungen ist die stärkste Wassertrübe oder Sinkstoffbildung aus kolloidchemischen Gründen dort zu erwarten, wo in seewärtiger Richtung der erste Gehalt an Seesalz stärker in Erscheinung tritt, d. h. wo ein Gesamtsalzgehalt von etwa 2 bis 5 ‰ oder auch etwas mehr auftritt. Hier erfolgt nach zahlreichen eigenen Beobachtungen eine starke Ausflockung der bis dahin kolloid gelösten Stoffe, und an die so entstandenen „Flockungskerne“ lagern sich dann schnell weitere Partikel aus der Nachbarschaft an. Hierbei handelt es sich z. T. um Abwasserbestand-



teile der an den Mündungen liegenden Städte oder um organische Abbauprodukte von den benachbarten Ufern und inneren Watten, oder aber aus dem Brackwassergebiet selbst.<sup>1)</sup>

Nach den im Institut für Meeresforschung durchgeführten Untersuchungen haben die entstandenen Flockungspartikel oder Sinkstoffteile einen mittleren Durchmesser von einigen  $\mu$  bis höchstens 100  $\mu$  herauf und sind daneben noch von einer rein kolloiden Fraktion umgeben. Ferner wurde festgestellt, daß es sich bei den erwähnten Teilchen größtenteils um wirkliche Sinkstoffe handelt, da sie nach kurzem Stehen in vitro zu über 90 Gewichtsprozent an den Boden des Gefäßes absinken. Der Ausdruck „Sinkstoffe“ ist also entschieden angebrachter als der ebenfalls häufig gehörte Ausdruck „Schwebstoffe“! Schließlich sei noch erwähnt, daß diese Sinkstoffe nach unseren Analysen zu 15 bis 20 % aus organischer Substanz (berechnet auf Trockenmasse) bestehen. Die beschriebenen, ihrer Korngröße und ihrem ganzen Charakter nach schlickigen Sinkstoffe konzentrieren sich auf einen relativ wenig ausgedehnten Teil des Flußlaufes, nämlich auf den oben zitierten Bereich von etwa 2 bis 5 oder mehr ‰ Salz, d. h. sie treten etwa in Form einer Trübungs- oder Sinkstoffwolke auf, deren Schwerpunkt je nach Jahreszeit und Tide verschoben ist und z. B. in der Wesermündung zwischen Rechtenfleth und Wremen hin und her pendelt. — Nach unseren bisherigen Beobachtungen kommt die erwähnte Trübungswolke im eigentlichen Fahrwasser infolge der hohen Stromgeschwindigkeit von 3 bis 5 Seemeilen per Stunde (etwa 5 bis 8 km) nicht zur endgültigen Ablagerung. — Zu einem solchen, für Wasserbau und Fragen der Landgewinnung gleichermaßen bedeutungsvollen Schlickfall kommt es jedoch in den strömungsfreieren Teilen des Fahrwassers, wie z. B. zwischen den langen Buhnen im Uferraum, ferner in strömungsfreien Seitenarmen, prielartigen Sackgassen, Buchten, Vorhäfen der großen Sielmündungen und nicht zuletzt in den Hafenbecken des Flußmündungsraumes. — Die schlickigen Sinkstoffe rieseln außerhalb des Fahrwassers, besonders zu Zeiten der Stromstille und schwachwindigen Wetters auf den Grund ab und bilden nach und nach die bekannten, stark bindigen Schlickschichten, die erst nach jahreszeitlich bedingtem Verschwinden der Sinkstoffwolke vom Beobachtungsort und gleichzeitigen mechanischen Einwirkungen langsam wieder abgetragen werden können. Im allgemeinen ist die Grenzschicht zwischen dem schlickigen Boden und dem darüber befindlichen Wasserkörper einigermaßen scharf entwickelt, dennoch bleibt ein Lot niemals auf dieser leicht eindrückbaren Fläche liegen, sondern sackt erfahrungsgemäß stets einige Dezimeter bis Meter (!) in den Schlick hinein, ehe es auf dem sandigen Untergrund zur Ruhe kommt. So beobachteten wie z. B. in der großen Nordschleuse zu Bremerhaven mit dem Lot eine Tiefe von 10 bis 11 Meter, während wir gleichzeitig mit dem bekannten Wasserschöpfer nach Pettersson schon in 8 m Tiefe weichen Schlick in allen Hohlräumen des Gerätes fingen. Der-

<sup>1)</sup> LÜNEBURG, HANS: „Über Messung und Bedeutung der Sinkstoffe in Elb- und Wesermündung“. Vom Wasser, Band XVIII, Weinheim 1950/51.



artige Erscheinungen sind eben nicht mit dem Lot meßbar, und es bedarf eines eigens für diesen Zweck konstruierten Gerätes.

Die zur Erfassung absinkender Stoffe, wie auch zur Ermittlung sandigen oder kiesigen Geschiebes am Boden bisher üblichen Geräte leiden alle mehr oder minder unter der Erscheinung, daß ihre Anbringung am Beobachtungsort einen empfindlichen Eingriff darstellt in die natürlichen Verhältnisse dieses Ortes, sei es, daß sich größere Stromschatten mit entsprechender Kolkbildung einstellen, sei es, daß allein durch ihre Entfernung oder erneute Auslegung die Umgebung des Bodens zu sehr aufgewirbelt und gestört wird!<sup>1)</sup> Die Anforderungen, die an ein zuverlässiges Schlickfallmeßgerät zu stellen sind, bestehen also in erster Linie darin, keinen nennenswerten Stromschatten hervorzurufen, sowie ferner darin, die beobachtete Fläche mit einem möglichst geringen Volumen zu sondieren oder besser „anzustechen“, d. h. das zur Ablesung erforderliche Herausnehmen des Gerätes aus dem schlickigen Grund darf diesen praktisch nicht aufwirbeln und verändern.

### Die Grundform des sogen. „Schlickfall-Pegels“:

Diesen Anforderungen kommt der Anfang 1951 im Institut für Meeresforschung Bremerhaven entwickelte „Schlickfall-Pegel“ weitgehend nach. — Es handelt sich hierbei tatsächlich um einen Pegel, der also nicht die Menge des abgelagerten Schlicks gewichts- oder volumenmäßig erfaßt, sondern die Lage der oberen Abgrenzung der Schlickfläche peilt, ganz nach Art einer Pegellatte, die mit Hilfe einer Skala irgendein sich änderndes Niveau zu messen gestattet (hierzu Tafel 24 und 25). Der entwickelte Schlickpegel besteht aus einer 1 bis 2 m langen vernickelten Messingstange von höchstens 2 cm Durchmesser. Die Länge der Stange hat sich nach der etwa zu erwartenden Schlickfalländerung innerhalb eines Jahres zu richten. In der Wesermündung kommen wir mit der erwähnten Länge von 1 bis 2 m aus, da hier nicht mehr als 2 m Schlick pro Jahr fallen. Mit der dünnen Stange wird nun von der Pier oder einem Spezialgerüst aus der Schlick wie ein Teig „angestochen“. Auf diese Weise kann sich selbst bei stärkerer Strömung kein nennenswerter Strudel mit Auskolkung bilden, und ebenso wird beim Einführen und Herausziehen des dünnen Pegels die Umgebung des Meßortes praktisch weder aufgewirbelt noch in ihrer ursprünglichen Form verändert.

Die auf einen halben Zentimeter genau angebrachte Skalierung des Gerätes wurde in folgender Weise durchgeführt:

Alle halbe Zentimeter wurden in Präzisionsarbeit 2 mm tiefe Rinnen schräg nach unten eingefräst, die völlig horizontal die Pegelstange ringförmig umlaufen. Der obere Schenkel dieser winkelförmigen Rillen verläuft in einem Winkel von etwa  $\frac{2}{3}$  R ( $66^\circ$ ) zur Horizontalen, während der untere Schenkel einen entsprechenden Winkel von  $\frac{1}{3}$  R ( $33^\circ$ ) bildet. Diese

<sup>1)</sup> „Measurement and Analysis of Sediment in Streams“ published by the Hydraulic Laboratory, University of Iowa, Iowa 1940 ff.

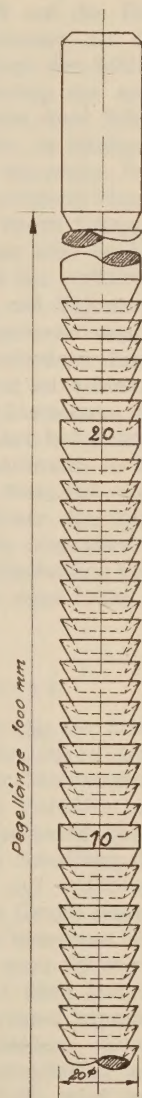
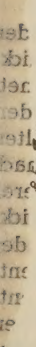
Rinnen sind nicht durch glatte zylindrische Flächen der Pegelstange von einander getrennt, sondern lösen sich ohne Zwischenraum ab, derart, daß sich ein Bild von ineinandergestellten, gleich großen Schälchen ergibt. Der Pegel kann auch mit einem langen Schachtelhalm verglichen werden! — Alle 10 cm wurde allerdings eine Strecke von 1,0 cm ausgespart, um hier Platz zu schaffen für die Anbringung der Zehner-Zentimeter-Zahlen. Diese sind deutlich sichtbar eingezäht und rechnen vom unteren Ende des Pegels 10 und 20 usw. beginnend bis hinauf nach 100 oder 200, je nach Länge Meßstrecke. Diesbezügliche Einzelheiten möge man den beigefügten Abbildungen entnehmen. — Ferner erfordert der Schlickpegel mit seinem oberen Ende eine feste Anbringung an einem, zu S.K.N. unveränderlich Fixpunkt, der an der Pier oder im freien Wasser an einem Spezialgalgen anzubringen ist. Da an unseren Nordseeküsten Schwankungen des Wasserspiegels von 3 bis 4 m und mehr auftreten, ist der Pegel an eine entsprechend lange Trägerstange anzuschweißen. Sollte an hohen Piers diese Gestänge beim Heraufholen des Pegels zwecks Ablesung zu lang oder unhandlich werden, so empfiehlt es sich, eine Unterteilung desselben durchzuführen und die Verbindungsstücke mit Bajonettverschluß aneinanderzufügen.

Nach den gemachten Überlegungen und bisherigen Erfahrungen werden die erwähnten Rinnen nur so weit mit Schlick gefüllt, wie die Schlickmassen sich nach oben ausdehnen, d. h. die letzte (nach oben gerechnet) mit Schlick gefüllte Rinne gibt uns die Lage des Schlickniveaus wieder. Nach der Ablesung wäscht man dann mit Wasser und Bürste die gefüllten Rinnen aus und setzt den Pegel wieder in den Grund. Zieht man dann nach einigen Tagen den Pegel erneut hoch, so wird sich eventuell ein anderes Bild der gefüllten Rinnen ergeben, es sei denn, daß überhaupt kein Schlickfall erfolgte. Es ist übrigens nicht zu befürchten, daß beim Hochholen des Pegels durch das Wasser die Füllung der Rinnen ausgespült wird; die entsprechende Bewegung ist zu gering, um den bindigen Schlick zu entfernen. — Vor Aussetzung des ersten Versuchspegels haben wir diesen noch in einem etwa 1 m hohen Glasgefäß mit frischem Wattenschlick getestet: Das untere Drittel des Gefäßes wurde zu diesem Zweck mit Schlick gefüllt und mit Wasser bis zum Oberrand überschichtet. Dann wurde der Schlick mit einer Stange restlos aufgewirbelt und anschließend der Pegel hineingestellt. Nach Absinken des Schlickes und Herausnahme des Pegels stellten wir, wie erwartet, fest, daß die Rinnen nur so weit mit Schlick gefüllt waren, wie die Grenzfläche „Schlick-Wasser“ vom Gefäßboden an erreichte. Ein Hereinrieseln der herunterfallenden Sinkstoffe findet nicht statt!

Die allgemeine Betrachtung der Grundform des Schlickpegels abschließend, sei darauf aufmerksam gemacht, daß man mit dem Gerät nicht unmittelbar die Lage des Schlickniveaus zu Kartennull mißt, sondern lediglich von einer Beobachtung zur anderen die vertikale Änderung des erwähnten Niveaus, und zwar mit einer Genauigkeit von 0,5 cm. Es sei ferner er-



16  
 15  
 14  
 13  
 12  
 11  
 10  
 9  
 8  
 7  
 6  
 5  
 4  
 3  
 2  
 1





Digitized by the Internet Archive  
in 2025

wähnt, daß nach den bisherigen Messungen (deren Ergebnisse an gleicher Stelle zu einem späteren Termin abschließend veröffentlicht werden) die entscheidenden oberen Rinnen nicht immer ringsherum gefüllt sind. Dieses hat seine Ursache entweder darin, daß sich auf die Dauer doch Kleinstkolke von nur wenigen Zentimeter Durchmesser an der Pegelstange bilden können, die dann eine gewisse Schräglage des Schlickniveaus vortäuschen, oder aber darin, daß von einer Ablesung zur anderen ein gewisser Schlickabtrag stattfindet, so daß in den dann über Schlickniveau gekommenen Rinnen noch etwas Schlick haften bleibt. Je häufiger die Ablesungen erfolgen, um so eher werden natürlich derartige Fehler vermieden. Eine Ablesung sollte möglichst alle acht bis vierzehn Tage erfolgen. Die in freien Gewässern an Galgen ausgebrachten Pegel können nur um Niedrigwasser herum abgelesen werden, da sie sonst eine zu lange Verbindungsstange zwischen dem eigentlichen Pegel und der Aufhängevorrichtung erfordern. Eine Unterteilung und Verbindung mit Bajonettverschluß ist bei dieser Pegelart nicht angebracht, da das Hantieren vom Boot aus bei kabbeliger See sowieso schon großes Geschick erfordert. Im Salz- und Brackwassergebiet ist in den Sommermonaten darauf zu achten, daß sich in den Rinnensystemen keine Balaniden (Seepocken) festsetzen, da sonst in Zukunft die Ablesung erschwert werden kann. Sie sind bei jeder Messung schon in ihrer Kleinstform mit einer Stahlbürste zu entfernen. — Schließlich sei noch darauf hingewiesen, daß es sich empfiehlt, stets bei ein und derselben Ablesemethode zu bleiben, d. h. entweder immer den letzten, noch völlig gefüllten Ring der Messung zugrunde zu legen, oder aber die letzte, noch auf einer Seite gefüllte Rinne zu nehmen. Im allgemeinen liegen diese beiden so definierten Rinnen aber dicht beieinander oder fallen sogar zusammen.

### Die Pegelform für freie Küstengewässer.

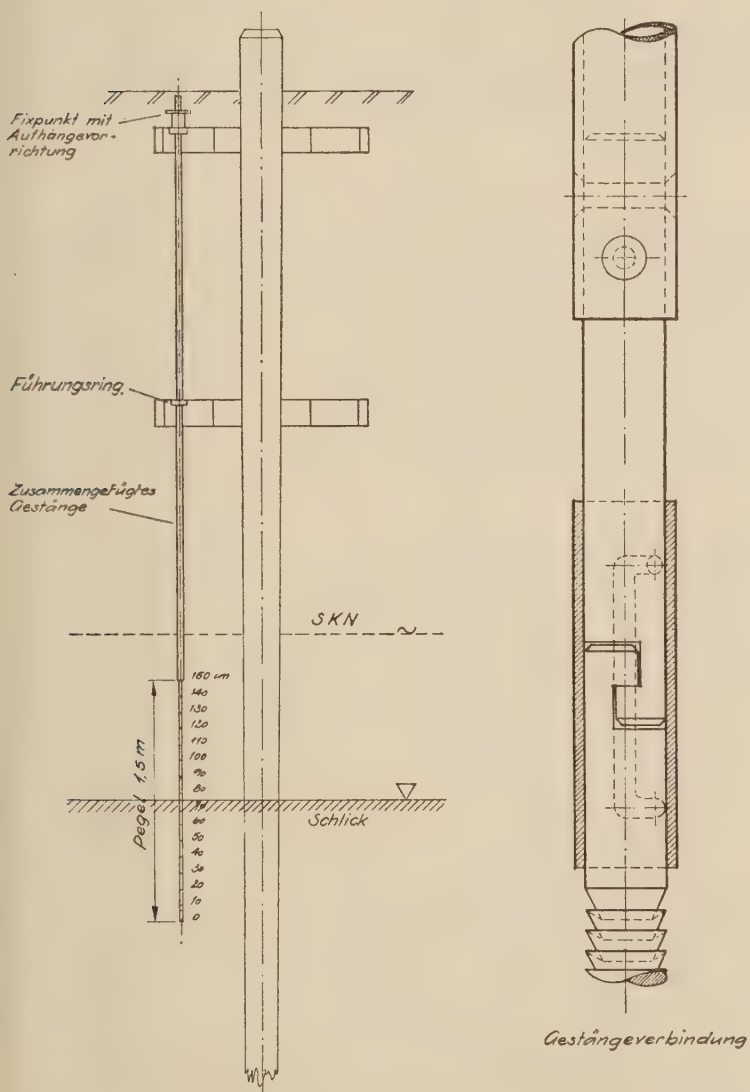
Nach der soeben erfolgten grundsätzlichen Schilderung des Schlickpegels wollen wir uns jetzt konkreten Einzelheiten zuwenden, deren Kenntnis bei der Montage und der praktischen Durchführung der Messungen unerlässlich sind (s. Tafel 24). — Neben dem Schlickfall in den Vorhäfen und Hafenbecken interessiert dieser in den freien Küstengewässern hauptsächlich längs der großen Fahrwässer und Prielsysteme. Zur Schaffung des selbstverständlich auch hier erforderlichen Fixpunktes zur Aufhängung des Pegels wird ein großes, galgenartiges Gerüst in den Grund gerammt. Als Träger bedient man sich am besten eines langen, aus mehreren Stücken zusammengeschweißten Kesselrohres (Siederohr von etwa 90 mm äußerem Durchmesser), welches zweckmäßig unten zugespitzt wird und am Oberende offen bleibt, um dort einen gut über Hochwasser hinausragenden Buschbesen (Prigge), mit Keilen eingerammt, aufzunehmen. Dieser Besen ist zur Orientierung der Kleinschiffahrt und der Küstenfischer unerlässlich. Am Rande der Fahrwässer, wenige Meter unter S.K.N., wird der Trägerpfahl bei ablaufend Wasser bis über Niedrigwasser hinaus eingerammt, und

zwar am besten von einem kleinen Schlepper mit geringem Tiefgang aus. Zunächst drückt man ihn so weit wie möglich in den meist weichen Grund hinein und schlägt dann mit einer für diesen Zweck ausreichenden Handramme, bis größerer Widerstand auftritt. Nach unseren bisherigen Erfahrungen empfiehlt es sich, die Trägerstange 4 bis 5 m in den Grund hineinzurammen. Das ist mit der Hand allein nicht möglich. Man hat dann die Handramme dadurch zu ergänzen, daß eine größere Metalldüse mit anschließendem Druckschlauch am Trägerrohr entlang (mit Tauwerkschlaufe entsprechend geleitet) bis an den Grund herabgelassen und ein Dampfstrahl von einigen Atü hindurchgeschickt wird, der den Grund längs der Trägerstange bis zu deren unteren Spitze aufwühlt. Während des Aufwühlens gelingt es dann leicht, den Träger mit der Handramme in die gewünschte Tiefe zu bringen. Diese Handhabungen sind ohne Dampfschlepper kaum durchführbar, aber da der Schlickpegel gerade für Wasserbau- und Schifffahrtsämter, sowie Marschenbauämter usw. von Bedeutung ist, wird wohl stets ein Schlepper für diesen Zweck zur Verfügung stehen. — Der Pegel mit seiner Aufhängevorrichtung wird an einem starken, am Träger befestigten Galgen eingehängt. Das Außenende des Galgens mit dem Aufhängepunkt (Fixpunkt) muß 1 bis 2 m von der Trägerstange entfernt liegen, da die eigentliche Pegelstange sonst in Gefahr geraten kann, in den kleinen, aber immerhin vorhandenen Kolk des Trägerrohres zu gelangen. Im übrigen bringt man diesen horizontalen Galgen zweckmäßig senkrecht zur eventuell vorhandenen mittleren Stromrichtung an. Man hat dann die Garantie, mit dem Meßspiegel auf alle Fälle nicht in der größeren Längsrichtung des eventuell vorhandenen Trägerkolkes zu liegen. Ferner bringt man den Galgen so an den Träger, daß seine Oberkante nicht mehr als etwa 1 m über Niedrigwasser liegt; andernfalls würde nämlich der Pegel mit seiner Verlängerung, wie schon oben erwähnt, zu lang und damit zu instabil und unhandlich werden. Auf größeren Tiefen als 5 m unter S.K.N. scheint die Ausbringung des Pegels in freien Gewässern unmöglich. Für Hafenbecken gilt diese Beschränkung, wie wir noch sehen werden, nicht in demselben Maße, da dort die Kaimauern stützend zur Hilfe kommen. — Von Anfang an ist der Pegel nur für freie Gewässer mit geringer Tiefe von wenigen Metern unter S.K.N. gedacht, und zwar in erster Linie, um an unseren Wattküsten das Wandern der Schlickmassen aus den Strömen und Tiefs heraus auf die Watten und umgekehrt zu beobachten. Sein Standort sei frei von zu starker Strömung, Brandung oder Schiffsbewegung usw.

Wie wir sahen, steht der Träger bis etwa 5 m im Grund, es folgen dann etwa weitere 1 bis 2 m Rohr in dem Wasser unter S.K.N., dann zirka 1 m bis zur Oberkante des Galgens und schließlich noch rund 2 m darüber hinaus, um dem erwähnten Warnungsbesen den Halt und die richtige Höhe zu geben. D. h., das Rohr erhält eine Gesamtlänge von etwa 9 bis 10 m. — Am Fixpunkt selbst wird die Aufhängesprosse des Pegels noch durch einen Überwurf mit Schraubmuttern gesichert. An der Pegelstange sind möglichst



Tafel 25





mehrere Aufhängesplassen anzubringen, um bei stärkeren Niveauveränderungen des Schlickes den Pegel nachsetzen zu können. Nach Montage des Schlickpegels wartet man noch etwa acht bis zehn Tage, bevor man mit den eigentlichen Ablesungen beginnt, damit die Umgebung des Trägerrohres nach dem Rammen wieder zur Ruhe kommt. — Sollte durch Eisgang ein Entfernen des Pegels erforderlich werden, so vertäut man zweckmäßig bei Niedrigwasser den Schlepper am Trägerrohr und zieht ihn mit steigender Tide und wiederum mit Unterstützung von Dampfspülung aus dem Boden heraus, um ihn dann im März wieder an gleicher Stelle auszusetzen.

### Die Pegelform für Hafenbecken etc.

Der Schlickfall ist aus den oben erwähnten Gründen besonders in denjenigen Nordseehäfen beträchtlich, die unmittelbar an den Mündungen der großen Ströme, wie Elbe, Weser, Ems, liegen. So hatten wir im Geestevorhafen zu Bremerhaven Gelegenheit, mit dem dort an einer Kaimauer angebrachten Schlickpegel zu Zeiten maximal entwickelter Sinkstoffe (querab Bremerhaven ist dies im Winter und Vorfrühling der Fall) einen Schlickfall bis zu 1 cm pro Tag zu beobachten! — In Anbetracht der großen praktischen Bedeutung von Schlickfallmessungen, -beobachtungen und -überwachungen in den erwähnten Häfen wurde ein für die Anbringung an Kaimauern besonders geeigneter Schlickpegel entwickelt (siehe hierzu auch Tafel 25):

Der Aufhängepunkt dieses Pegels befindet sich zweckmäßig im Winkel zwischen einem Reibepfahl und der Kaimauer und in Höhe der Oberkante der Mauer, am besten noch umgeben von einem kleinen Schutzgitter, um ein gefahrloses Ablesen und Handhaben des Gerätes zu ermöglichen. Da die Oberkante der Kaimauern oft 6 m und mehr über S.K.N. liegt und die Tiefe unter S.K.N. häufig den gleichen Wert erreicht, ist meist ein recht langes Verbindungsgestänge zwischen dem Pegel und dem Fixpunkt erforderlich. Es ist natürlich unmöglich, diese Stange in einem Stück zu handhaben, vielmehr wird sie aus mehreren Einzelstücken von 2 bis 3 m Länge mittels Bajonettverschluß zusammengesetzt. Bei der Länge der Strecke ist ferner die Anbringung eines oder zweier Leitringe (von etwa 10 cm lichter Weite) über S.K.N. notwendig. Sowohl der Aufhängepunkt als auch die erwähnten Leitringe sind am einfachsten an den, die Reibepfähle stützenden Dreieckshölzern (Sattelhölzern) anzubringen. Es ist natürlich sinnlos, den Schlickpegel an besonders verkehrsreichen Stellen des Hafens anzubringen. Dies würde nicht nur den Pegel gefährden, sondern daneben völlig abwegige Resultate zeitigen, da die an solchen Stellen häufig arbeitenden Schiffsschrauben jede Schlickfallmessung illusorisch machen. Ruhige, möglichst verkehrsfreie Winkel sind bei der Montage zu bevorzugen. — In der Mitte von Hafenbecken ist die Anbringung eines Schlickpegels nur an vorhandenen Dalbengruppen möglich.

Sowohl die Konstruktion für freie Küstengewässer als auch diejenige für Hafenbecken wird bisher mit großer Präzision von der Bremerhavener Brunnen- und



Tiefbaufirma WETZEL & DORN, Bremerhaven-Mitte, zu vollster Zufriedenheit ausgeführt. Die Firma verfügt ebenfalls über große Erfahrungen hinsichtlich der hier geschilderten Montagearbeiten.

Die ersten praktischen Erfahrungen mit dem Schlickfall-Pegel:

Anfang 1951 wurde ein erster Versuchspegel mit bereitwilliger Unterstützung des Hansestadt Bremischen Amtes zu Bremerhaven im Vorhafen der Geestemündung am Ostende der südlichen Einfahrtsmauer auf etwa 2 m unter S.K.N. montiert.<sup>1)</sup> — Wenn auch der Pegel am innersten Reibeipfahl, an dem Schiffe nicht mehr zu vertäuen pflegen, angebracht wurde, hielten wir es dennoch für erforderlich, ein entsprechendes Warnungsschild gegen eventuelles Festmachen anzubringen. Dies dürfte sich für die in Häfen verwendeten Schlickpegel allgemein empfehlen!

Es war von Anfang an zu vermuten, daß die Schlickfallkurve oder die Abtragungskurve an dieser, der Schifffahrt recht exponierten Stelle sehr unharmonisch und gestört verlaufen würde. In der Tat stellte sich im Laufe des Jahres 1951 heraus, daß besonders die vom Frühjahr bis zum Herbst im Geestevorhafen tätigen Bagger die Ergebnisse spontan beeinflussen. Dennoch, eliminiert man die Baggereinflüsse oder zieht man vor allem die vom Baggern nicht beeinflusste Winterzeit heran, so macht sich in der Schlickfallkurve eindeutig das Vorbeiziehen der erwähnten Sinkstoffwolke im Spätwinter hier im Geestevorhafen bemerkbar. So wurde z. B. an der erwähnten Stelle, also an der Kaimauer in 2 m Tiefe unter S.K.N., vom Januar bis April 1951 ein Schlickfall von über 30 cm beobachtet, das sind pro Tag über 3 mm. Nach dem Abschluß der sommerlichen Baggerungen im Herbst des gleichen Jahres, die den Schlick an der Beobachtungsstelle durch Wegsacken in die Hafenmitte um fast  $\frac{3}{4}$  m entfernten, betrug der Schlickfall dort sogar bis zu 10 mm pro Tag!

Nachdem sich an Hand des Versuchspegels eindeutig herausgestellt hat, daß alle Bewegungen des Schlickniveaus auf 0,5 cm genau erfaßt werden konnten, setzte das Institut für Meeresforschung zwei weitere Schlickfallpegel im freien Wasser der Wesermündung aus, wobei das hiesige Wasser- und Schifffahrtsamt in großzügiger Weise seine Schlepper zum Rammen der Pegel zur Verfügung stellte.<sup>1)</sup> — Die an einem Galgen befestigten Pegel stehen beide in der Zone besonderer Sinkstoffanreicherung der Wesermündung zwischen Nordenham und Imsum. Und zwar befindet sich der eine dieser Pegel an einer durch lange Schlengen geschützten Uferstrecke der Luneplate gegenüber Nordenham auf etwa 2 m unter S.K.N. Diese Stelle liegt etwa 9 km oberhalb der Geestemündung in Bremerhaven. — Der andere Pegel wurde an einer ebenfalls durch Schlengen geschützter

<sup>1)</sup> Es ist mir in diesem Zusammenhang eine angenehme Pflicht, Herrn Baurat SCHNELLE des erwähnten Amtes unsern Dank für die vor allem von ihm geleistete Hilfe auszusprechen!

<sup>1)</sup> Wir danken besonders Herrn Oberbaurat DORMANN des erwähnten Amtes sowie seinen Mitarbeitern an Bord für ihr Verständnis und ihre Hilfsbereitschaft.

Uferstrecke, 9 km unterhalb der Geestemündung, querab des Imsumer Ochsenturmes, und zwar auch auf 2 m unter S.K.N. ausgebracht. Erfahrungsgemäß fällt der meiste Schlick nicht auf den Watten selbst und auch nicht in den großen Fahrwassertiefen, sondern gerade in der, wenige Meter unter S.K.N. gelegenen, die Ufer oder Watten begleitenden Zone. Es empfiehlt sich daher, die Pegel möglichst in den erwähnten Tiefen auszubringen. Der bei Imsum ausgelegte Pegel liegt übrigens etwas zu exponiert in der Brandung; dadurch zeigt seine Schlickfallkurve gelegentlich Störungen. — Darüber hinaus plant das Institut für Meeresforschung zurzeit die Ausbringung weiterer Schlickpegel längs des geschützteren westlichen Wattensaumes der Wesermündung, vor dem sogenannten Langtjenssand gegenüber Imsum. Auf der dahinter liegenden Wattfläche bei Tettens/Waddens findet nämlich, durch Kunstbauten gefördert, eine fortgesetzte Verlandung statt, deren Schlickbedarf zum Teil aus den großen Sinkstoffwolken der Wesermündung gedeckt wird. Die in diesem Zusammenhang aus der Weser aufs Watt wandernden Schlickmassen hoffen wir mit den zuletzt erwähnten Schlickpegeln zu kontrollieren. Wenn auch seit Ausbringung der erwähnten Pegel bei Nordenham und Imsum im Frühjahr 1951 bis zur Zeit der Zusammenstellung dieses Berichtes (Januar 1952) drei Vierteljahre verstrichen sind und in großen Zügen schon feststeht, daß an den erwähnten Stellen ein Schlickfall von 30 bis 50 cm von der oberwasserarmen bis zur oberwasserreichen Jahreszeit erfolgt, so sei hier dennoch davon Abstand genommen, nach so relativ kurzer Zeit ein abschließendes Bild von den Schlickfallverhältnissen zu geben. Das möge einem späteren Bericht vorbehalten bleiben. Es sollte lediglich der Zweck dieses Artikels sein, die Aufgaben, die Funktion und die Eignung des Schlickfallpegels aufzuzählen.

### Zusammenfassung:

Nach einer kurzen Einführung in Probleme und praktische Bedeutung der Sinkstoffbildung und -ablagerung in den Flußmündungen der südöstlichen Nordsee sowie der Erfassung ihres Jahreszyklus wird betont, daß die bisherigen Kies- und Sandfallen, sowie Instrumente zur Erfassung der Sedimentation stets einen störenden Eingriff in die natürlichen Verhältnisse am Meßort darstellen. Es wurde daher vom Institut für Meeresforschung in Bremerhaven ein Schlickfallpegel von höchstens Fingerdicke entworfen, der mit 2 mm tiefen, schräg eingekerbten Rinnen in 0,5 cm Abstand nach Art eines Schachtelhalmes versehen ist. Dieser Pegel wird in freien Küstengewässern in wenigen Metern Tiefe unter S.K.N. an einem in 1 bis 2 m Abstand geramten Spezialgestell in stets gleichbleibender Höhe angebracht und so oft wie möglich (mindestens alle 8 bis 10 Tage) nach Herausziehen abgelesen und dann nach Säubern der Ringe wieder gebrauchsfertig eingesetzt. — Für Hafenbecken mit Kaimauern oder Dalbengruppen wurde eine Abart dieser Grundform entwickelt, die an langen Verbindungsstangen (deren Einzelglieder mit Bajonettverschluß zusammengehalten sind) direkt von der Mauer ausgebracht werden kann. — Es folgt eine genaue Be-

sprechung der Konstruktion und Montage dieser Geräte; Einzelheiten werden zweckmäßig den beiden Konstruktionszeichnungen entnommen. — Abschließend wird erwähnt, daß vom Institut für Meeresforschung bereits drei solcher Pegel in Betrieb genommen wurden, die z. T. in den Bremerhavener Hafenanlagen, z. T. im Mündungsgebiet der Weser ihre Eignung unter Beweis gestellt haben.

Anhang: Die hier erwähnten Schlickpegel entsprechen dem Stand von Ende Januar 1952 bei Abschluß des Manuskriptes. Inzwischen wurde ein weiterer geplanter Schlickpegel nicht auf der Oldenburger Seite der Unterweser, sondern auf dem rechten Ufer vor Lunesiel ausgebracht, wo ein besonders starker Schlickfall im Stromwinkel der Weser vermutet wird.

#### Anschrift des Verfassers:

Dr. Hans Lüneburg, Institut für Meeresforschung, Bremerhaven.

#### Schrifttum:

- LABAYE, G.: „Der Feststoffgehalt der Wasserläufe“, Ztschr. „La Houille Blanche“ Numero Special „A“, 1948.
- LÜDERS, O.: „Unmittelbare Sandwanderungsmessungen auf dem Meeresboden“. Veröff. des Inst. f. Meereskunde, N.F. Heft 24, Kiel 1933.
- LÜNEBURG, H.: „Hydrochemische Untersuchungen in der Elbmündung etc.“. Archiv der Deutschen Seewarte, Band 59, Heft 5, Hamburg 1939.
- LÜNEBURG, H.: „Die Geeste als Vorfluter“. Deutsche Geographische Blätter, Band 45, Heft 3/4, Bremen 1949.
- LÜNEBURG, H.: „Über Messung und Bedeutung der Sinkstoffe in Elb- und Wesermündung“. Ztschr. „Vom Wasser“, Bd. XVIII, Weinheim 1950/51.
- PRATJE, O.: „Gewinnung und Untersuchung der Meeresgrundproben“. Handbuch der biologischen Arbeitsmethoden IX, Bd. 2, Berlin 1938.
- University of Iowa, Hydr. Lab.: „Measurement and Analysis of Sediment Loads in Streams“. Nr. 1—7, Iowa 1940/43.



# Die Milbenfauna der Nordseeinsel Wangerooge

Von Carl Willmann.

Mit Tafeln 26 bis 28.

Auf Veranlassung des Herrn Prof. Dr. F. Pax, des damaligen Leiters des Instituts für Meeresforschung in Bremerhaven, wurde die Insel Wangerooge faunistisch und floristisch untersucht. Mir fiel dabei die möglichst genaue Aufnahme der Milbenfauna der Insel zu, und bei zweimaligem Aufenthalt im Juni und im Oktober 1949 konnte eine große Ausbeute zusammengebracht werden.<sup>1)</sup> Das meiste Material wurde auf die Weise gewonnen, daß Boden- oder Bewuchsproben mit dem BERLESE-Apparat ausgesiebt wurden, ferner wurden in den Dünen Handfänge vorgenommen, und andere Arten wurden von Büschen (Sanddorngebüsch in den Dünentälern) und Bäumen (besonders Kiefern) abgeklopft. Einige von Pax und seinen Mitarbeiterinnen gewonnene Proben wurden mir noch nachträglich zur Untersuchung überwiesen. Dazu fingen Herr Dr. PAUL und Herr Dr. JACOB noch eine Anzahl von Kleinsäugern, von denen die Schmarotzermilben abgesucht und mir zur Bestimmung übersandt wurden. Die Gesamtbeute beläuft sich auf 142 Arten, das ist weit mehr, als bisher von allen ostfriesischen Inseln zusammen bekanntgeworden ist.

Die gefundenen Arten:

## A. Parasitiformes.

### Familie Parasitidae.

#### 1. *Parasitus hortivagus* (BERLESE 1904), 1 ♂.

Fundort: Deich im Osten der Insel, Wattseite, am Fuße des Deiches, 7. I. 50.

Die Art wurde von BERLESE in Italien gefunden in abgestorbenem und verfaultem Laub in Gärten. Der Fund dieses einen ♂ ist merkwürdig, man kommt auf den Gedanken, daß das Tier vielleicht durch Zugvögel verschleppt sein könnte. Neu für die deutsche Fauna.

#### 2. *Eugamasus trouessarti* BERLESE & TROUESSART 1889.

Fundorte: Die Spezies wurde festgestellt in sieben verschiedenen Proben am Außengroden der Insel meist im Salicornietum, und zwar: Außengroden-Süd, 19. VI. 49 — Vogelschutzgebiet-Ost, Bodenprobe mit Salicornia, 9. X. 49 — Außengroden-Süd, 8. X. 49, — 6. X. 49 — Deich, Wattseite, unten am Fuße des Deiches, 17. I. 50.

<sup>1)</sup> Die beiden Sammelfahrten wurden ausgeführt mit finanzieller Unterstützung seitens der „Wittheit zu Bremen“. Es ist mir eine angenehme Pflicht, auch an dieser Stelle der „Wittheit“ für die Gewährung einer Beihilfe meinen verbindlichsten Dank auszusprechen.

Die Species ist neu für die deutsche Küste. Sie ist bekannt aus Frankreich, Irland und Norwegen, wo sie ebenfalls an der Küste innerhalb der Gezeitenzone verbreitet ist.

3. *Amblygamasus septentrionalis germanicus* BERLESE 1906.

Fundort: Altes Anspüllicht von Winterhochfluten, 18. VI. 49.

4. *Pergamasus crassipes* (L. 1758).

Fundort: Binnendeichswiese, Kuhweide hinter dem Süddeich, 9. X. 49.

Die Art ist weit verbreitet, wurde auch auf Borkum und Spiekeroog gefunden.

5. *Pergamasus runcatellus* BERLESE 1906.

Fundorte: Binnendeichsweide, Kuhweide (wie vorige Art), — Mähwiese, Binnendeich, südlich des Bahnhofes, 8. X. 49.

Weit verbreitet in Wiesenböden, kommt in Gebirgslagen noch in Höhen von über 2000 m vor. (Hohe Tauern.)

6. *Pergamasus oxygynellus* BERLESE 1906.

Fundort: Dünenental, Bodenprobe, ziemlich feucht, 15. VI. 49.

Weit verbreitet auch in Gebirgslagen.

7. *Pergamasus runciger* BERLESE 1906.

Fundort: Altes Anspüllicht von Winterhochfluten, 18. VI. 49, — Weiden und Wiesen, 24. X. 49.

Bekannt aus Norwegen, Holland, Irland, Deutschland, Alpen (Schweiz bis 2200 m.)

8. *Pergamasus runciger armatus* HALBERT 1915.

Fundort: Weiden und Wiesen, 24. X. 49. Bisher nur aus Irland bekannt.

9. *Holoparasitus calcaratus* (C. L. KOCH 1840).

Fundort: Deich im Osten der Insel, Wattseite, Böschung, für gewöhnlich nicht unter Einfluß der Gezeiten stehend, 17. I. 50.

Eine weitverbreitete Art.

10. *Gamasodes bispinosus* (HALBERT 1915).

Fundort: Weidefläche beim Anleger-West, 18. I. 50.

Die *Gamasodes*-Arten waren bisher nur als Deutonymphen bekannt und wurden zu den Gamasolaelaptidae gestellt. Nachdem es nunmehr STRENZKE gelungen ist, in Bodenproben von der holsteinischen Ostseeküste von dieser Art die Erwachsenen beiderlei Geschlechts aufzufinden, zeigt es sich, daß diese Gattung zu den Parasitidae gehört. Die Tiere sind weit verbreitet, aber treten nirgends zahlreich auf. Sie wurden auch mehrfach in Höhlen gefunden, konnten aber auch in den Hohen Tauern, wenn auch nicht hochalpin, nachgewiesen werden. Über die ökologischen Ansprüche der Species läßt sich noch kein sicheres Urteil abgeben, es scheint aber ein gewisses Feuchtigkeitsbedürfnis vorhanden zu sein.

Zu diesen Funden aus der Familie Parasitidae ist noch zu bemerken, daß merkwürdigerweise *Parasitus kempersi* OUDEMANS 1902 nicht gefunden wurde. Diese Art ist bekannt von den Küsten des Mittelländischen Meeres, Frankreichs und Irlands, sie wurde von NEUMANN und von STRENZKE an der Küste der Ostsee und von mir in Dangast am Jadebusen festgestellt.

## Familie Gamasolaelaptidae.

11. *Halolaelaps marinus* (BRADY 1875) (= *H. glabriusculus* BERL. & TROUESS. 1889).

Fundort: Algenbewuchs an Pfählen der Westbühne, äußerer Teil, auch bei Ebbe von den Brandungswellen bespült, bei Flut tief unter Wasser, 13. VI. 49; ebenda, 6. X. 49.

Bekannt von den Küsten Frankreichs, Englands und Irlands. Neu für die deutsche Fauna.

12. *Halolaelaps nodosus* nov. spec. (Abb. 1 a—g).

Eine Species von geringer Größe, die noch kleiner ist als die bisher kleinste Art der Gattung *Halolaelaps remanei* WILLM. 1939.

Größe: ♂ Länge 375  $\mu$ , Breite 195  $\mu$ ,

♀ Länge 410  $\mu$ , Breite 195  $\mu$ .

Der Rücken ist bei ♂ und ♀ mit zwei Schildern bedeckt, die wie bei der Vergleichsart mit kleinen spitzen Härchen besetzt sind. Auch die Ventralseite des ♀ (Abb 1c) stimmt weitgehend mit der von *H. remanei* überein, nur ist das Analschild hier breiter und fast kreisrund. Das Sternalschild ist länglich mit abgerundeten Ecken, neben dem Schilde sehen wir drei Paar Endopodialia, die in die Zwischenräume der Coxen hineingreifen. Beim ♂ (Abb. 1a) ist besonders auffällig ein fast hufeisenförmiger Knoten auf dem Ventrianalschilde, der etwa in der Mitte der Entfernung zwischen dem Vorderrande des Schildes und der Analöffnung liegt. Außer den drei Analhaaren ist das Schild noch mit sechs Paar Härchen besetzt, von denen ein Paar den deutlich erhabenen Knoten flankiert. Das Sternalschild hat acht scharfe Ecken, die zwischen die Coxen hineinfassen. Bein II des ♂ (Abb. 1e) hat große Ähnlichkeit mit dem von *H. remanei*, die Apophysen am Femur und am Tarsus sind aber etwas breiter und plumper. Auch bei dieser Art finden wir die beiden Apophysen des Tarsus nur am Telotarsus, nicht am Basitarsus. Bein III des ♂ hat nur auf dem Femur eine kleine spitze Apophyse. Bein IV des ♂ ist mit kleinen Knötchen am inneren Seitenrande des Genu und der Tibia besetzt (Abb. 1b), und zwar finden wir am Genu vier und an der Tibia drei kleine runde Knötchen. Bei *H. remanei* sind die Knötchen von verschiedener Größe, zum Teil erheblich größer als hier, und sie stehen nur auf der Tibia (fünf Knötchen) und auf dem Basitarsus (zwei Knötchen). Die Gestalt der Mandibeln des ♂ ist im allgemeinen ähnlich, aber der Digitus fixus, der bei der Vergleichsart nur einen Zahn aufweist, hat hier drei Zähne (Abb. 1d). Der Digitus mobilis hat nur einen Zahn wie bei der Vergleichsart. Auch der Spermatophorenträger ist ähnlich entwickelt.

Wenn schon bei *H. remanei* das Epistom sich von dem Gattungsschema entfernt dadurch, daß es keinen geschlossenen, gezähnelten Bogen bildet, sondern „aus einer breiten Vertiefung der gezähnelten Seitenränder eine vorn verbreiterte Mittelspitze herausragt, die mit einer gezackten Vorderkannte versehen ist“ (WILLMANN 1939), haben wir bei der neuen Art bei ♂

und ♀ ein dreiteiliges Epistom, bei dem die einzelnen Teile mehrere Spitze aufweisen. Beim ♂ sind die drei Spitzen gerade nach vorn gerichtet, bei ♀ sind die Seitenspitzen etwas nach innen geneigt (Abb. 1 f u. g).

Differenzialdiagnose: *H. nodosus* ist mit *H. remanei* nahe verwandt, unterscheidet sich durch noch geringere Größe, durch den hufeisenförmigen Knoten in der Mitte Ventrianalschildes beim ♂, durch die gleichartigen Knötchen am Genu und an der Tibia des 4. Beines, während bei *H. remanei* verschiedenartige Knoten an der Tibia und am Basitarsus zu finden sind, durch die drei Zähne am Digitus fixus der Mandibelschere und durch das dreiteilige Epistom.

Beide Arten bilden innerhalb der Gattung eine besondere Gruppe, die sich durch die abweichende Form des Epistoms und durch die Knötchen an den Beinen IV des ♂ auszeichnet.

Holotypus ist ein Präparat mit zwei ♂♂ und einem ♀, bezeichnete Wangeröoge (Probe 44), Außengroden-Süd, Salicornia mit anhaftendem Boden, 8. X. 49. Ein zweites Präparat enthält noch sieben Exemplare.

### 13. *Gamasolaelaps aurantiacus* (BERLESE 1903).

Fundorte: Binnendeichsweide, Kuhweide, 9. X. 49. — Mähwiese, Binnendeich, südlich Bahnhof, 8. X. 49. — Weiden und Wiesen, 24. X. 49.

Weit verbreitet in feuchtem Wiesenboden, konnte auch in den Hohen Tauern in großen Höhen (Pasterzenvorfeld) nachgewiesen werden.

## Familie Allolaelaptidae.

### 14. *Digamasellus frenzeli* WILLM. 1936.

Fundort: Binnendeichsweide, Kuhweide, hinter dem Deich an der Südseite.

Die Species wurde von FRENZEL in schlesischen Wiesenböden gefunden.

### 15. *Digamasellus angulosus* WILLM 1936.

Es wurden nur Deutonymphen gefunden, die am Hinterrande ähnlich vorspringende Ecken aufweisen wie die Typenart aus schlesischen Wiesenböden. Da keine geschlechtsreifen Tiere erbeutet wurden, läßt sich nicht mit Sicherheit angeben, ob es sich um dieselbe Art handelt.

Fundorte: Binnendeichsweide, Kuhweide, 9. X. 49. — Weiden und Wiesen, 24. X. 49.

### 16. *Digamasellus crassitarsalis* nov. spec. (Abb. 2 a—d).

Größe: ♀ 405—435  $\mu$  lang, 210—225  $\mu$  breit,

♂ 360  $\mu$  lang, 200  $\mu$  breit.

Die Gattung *Digamasellus* ist in letzter Zeit von ELISABETH LEITNER (1949) gut durchgearbeitet worden. Die verschiedenen Arten sind sich sehr ähnlich und manchmal schwer voneinander zu unterscheiden. Die hier vorliegenden Tiere haben besonders im männlichen Geschlecht einige Merkmale, die sie sofort als bisher unbekannte Art ausweisen. Die ♀♀ sind größer als 400  $\mu$ , haben zwei spitze Einschnitte am Vorderrande des



Notogaster, lange Endborsten, und das Ventrionale trägt sechs Haarpaare. Eine *Digamasellus*-Art mit einer Zusammenstellung dieser Merkmale ist in der Tabelle von LEITNER nicht zu finden.

Die Species gehört zu den größeren Formen der Gattung. Die Behaarung des Notocephale ist die übliche. Wenn wir auf dem Notogaster (Abb. 2a) sechs Längsreihen von je fünf Borsten unterscheiden, zwei Innenreihen (J/1—5), zwei Seitenreihen (S/1—5) und zwei Randreihen (R/1—5) in den Randreihen sind bisweilen noch zwei zusätzliche Borsten zu erkennen, die aber mehr an der Unterseite entspringen), so fällt hier die Borste S/3 durch ihre bedeutende Länge auf, sie ist fast von gleicher Länge wie die große geschwungene Borste R/5, während S/5 gerade und nur halb so lang ist. Der hintere Teil des Notogaster ist etwas gekörnelt.

Auf der Ventralseite ist das große Ventrionale bemerkenswert, das fast die Gestalt eines Quadrats mit abgerundeten Ecken zeigt (Abb. 2b). Es ist mit sechs Paar Borsten besetzt, von denen nur die vor der Analöffnung stehenden Adanalhaare etwas länger sind als die übrigen sehr kurzen Härchen. Das Postanalhaar steht ungefähr in der Mitte zwischen dem Anus und dem Hinterrande des Schildes und überragt den Schildrand nicht. Bei den meisten anderen Arten finden wir es näher am Hinterrande, so daß es diesen etwas überragt. Das Epistom ist dreispitzig.

♂: Bein II wie üblich mit Apophyse am Femur und kleinen Knötchen am Genu und an der Tibia. Besonders auffällig und abweichend von allen anderen bisher bekannten Arten ist die Gestalt des Tarsus I (Abb. 2c). Er ist distal keulig verdickt und hier mit vielen längeren Borsten besetzt, in dererem Gewirr der kleine Prätersus mit Krallen fast verschwindet. Eigenartig ist auch das letzte Palpenglied des ♂. Es ist seitlich erweitert (Abb. 2d) und trägt hier an dem seitlichen Vorsprung die zweizinkige Palpgabel.

Differenzialdiagnose: *D. crassitarsalis* unterscheidet sich von den nächstverwandten Arten durch die auffällig langen Borsten S/3, während die S/4 zwar auch kräftig, aber nur halb so lang sind. S/5 sind lang, gerade gestreckt, erreichen aber nicht die Länge von S/3 und sind nur etwa halb so lang wie die stark geschwungenen R/5.

♀: Das Ventrinalschild ist sehr groß, quadratisch mit abgerundeten Ecken und trägt sechs Paar Haare.

♂: Tarsus I distal keulig verdickt, Palpen mit seitlicher Erweiterung, die an ihrer Spitze die Palpgabel trägt.

Fundort: Binnendeichsweide, Pferdeweide beim Deichschart zum Ostanleger, Boden ausgestochen, Grassoden, 19. VI. 49.

Holotypus: Präparat mit zwei ♀♀ und einem ♂ in meiner Sammlung.

#### 17. *Digamasellus brevipilis* LEITNER 1949.

Fundort: Wie vorige Species, 19. VI. 49. Neu für die deutsche Fauna.

#### 18. *Digamasellus halophilus* nov. spec. (Abb. 3 a—f).

Man würde diese Art früher in die Gattung *Dendrolaelaps* HALBERT gestellt haben, aber durch neuere eingehende Untersuchungen ist festgestellt

worden, daß alle Formen der Übergänge zwischen den beiden Gattungen *Digamasellus* BERLESE 1905 und *Dendrolaelaps* HALBERT 1915 vorhanden sind, so daß die Trennung nicht aufrechterhalten werden kann.

Größe: ♀ 510—570  $\mu$  lang, 240—270  $\mu$  breit,

♂ 465  $\mu$  lang, 225  $\mu$  breit.

Beide Geschlechter sind also mehr als doppelt so lang wie breit, und bei beiden haben wir am Vorderrande des Notogaster zwei Einschnitte (Abb. 3a). Auf dem hinteren Notogaster sehen wir drei Paar lange, gebogene Borsten, und zwar sind es die Borsten S/3 und S/5, sowie R/4. Beim ♂ finden wir auf dem hinteren Rückenschilde einen Querriegel mit zwei kurzen Hörnern. Die Borsten J/4 stehen dicht vor dem Querriegel, die Borsten S/4 auf den Hörnern. Dies ist ein charakteristisches Merkmal, da bei *D. cornutus* die Borsten S/4 nicht auf, sondern direkt am Grunde der Hörner auf dem Querriegel eingepflanzt sind. Im Präparat sieht man sich also über den bei dieser Art viel längeren und kräftigeren Hörnern.

Ventralseite des ♀ (Abb. 3f): Sternalschild lang, mit vier Paar Haaren besetzt. Der festere Teil des Genitalschildes ist ein Sechseck mit ungleichen langen Kanten. Hinter den Coxen IV sehen wir ein Paar deutlich vorspringende Ecken, in denen die Genitalhaare eingepflanzt sind. Der Teil hinter diesen Ecken ist sehr kurz und hinten gerade abgeschnitten. Vom Schild ist noch eine weiche Hautverlängerung zu erkennen, die bis an das Sternale reicht. Zwischen Genitale und Ventrianale finden wir eine Querreihe von vier Haaren, die dem Ventrianale genähert sind. Das Ventrianale ist lang und schmal, vorn und an den Seiten etwas konkav, es trägt vier Paar Haare und das Postanalhaar. Hinter diesem und an den Seiten hinauf bis vor die Adanalhaare ist das Schild deutlich grubig punktiert. Der Hinterrand des Körpers ist etwas krenuliert. Die Inguinalia sind sehr lang und schmal, vorn etwas breiter.

Ventralseite des ♂ (Abb. 3b): Der Vorderrand des Sternale ist schwer zu erkennen; der Seitenrand setzt sich über das erste Paar der Sternalhaare noch fort. Die Genitalöffnung liegt zwischen den beiden ersten Sternalhaaren, anscheinend im Sternalschilde. Zwischen den Coxen II und III bildet das Sternale eine scharfe Ecke, nach hinten verschmälert es sich und ist auf der Höhe der Coxae IV sanft abgerundet. Es trägt im ganzen vier Paar Haare. Hinter dem Schilde stehen zwei Borsten auf weicher Haut. Dann sind einige tiefe Einschnitte und anscheinend ein Paar Nebenschilder undeutlich zu erkennen. Das Ventrianale ist lang, aber etwas breiter als beim ♀. Es hat an den Seiten deutliche Grenzen und ist nur hinten mit dem Notogaster verschmolzen. Auf dem Schilde stehen sieben Paar Haare und das Postanalhaar. Auch beim ♂ ist das Ventrianale hinten und an den hinteren Seiten mit feinen Grübchen versehen. Die Dorsalfläche unterscheidet sich von der des ♀ durch den hinteren Querriegel mit seinen beiden kurzen Hörnern, die eine Borste tragen.

Gnathosoma: Das Epistom ist bei ♂ und ♀ gleichgestaltet, es ist dreieckig, die beiden Außenspitzen sind lang und etwas nach außen ge-

schwungen, die Mittelspitze ist sehr zart und nur etwa  $\frac{2}{3}$  so lang wie die Seitenspitzen (Abb. 3d). Mandibelschere und Spermatophorenträger etwa wie bei den anderen Arten. Bemerkenswert sind die Corniculi maxillares, die nach der Spitze hin verbreitert und hier schräg abgeschnitten sind (Abb. 3e). Sie sind also hinten schmaler als vorn und sind stark chitiniert. Der Palptrochanter hat an der Innenseite einen langen, starken Dorn.

Die Beine sind in beiden Geschlechtern schlank, auch Bein II des ♂ ist nur wenig verdickt, längst nicht so plump wie bei *D. cornutus* und anderen Arten: Beinlängen ♀ B. I 450  $\mu$ , II 330  $\mu$  III 270  $\mu$ , IV 345  $\mu$ ; ♂ B. I 435  $\mu$ , II 300  $\mu$ , III 240  $\mu$ , IV 315  $\mu$ . Bein I ist in beiden Geschlechtern wenig kürzer als der Körper. Bein II des ♂ (Abb 3c) hat am Femur eine kräftige Apophyse, an Genu und Tibia je einen kleinen, gerade abgeschnittenen Chitinvorsprung und am Grunde des Telotarsus eine Apophyse, die fast ebenso groß ist wie die am Femur.

Differenzialdiagnose: *D. halophilus* unterscheidet sich von *D. cornutus* durch die schlankere Gestalt des ♂, die weniger verdickten Beine II, die sehr große Apophyse am Tarsus II des ♂, die nicht neben dem Praetarsus sitzt, sondern dicht am Grunde des Telotarsus entspringt. Das Ventrianale des ♂ ist nur hinten mit dem Notogaster verschmolzen, an den Seiten bleibt ein breiter Streifen weicher Haut unbedeckt. Die Hörner auf dem hinteren Rücken sind viel kleiner als bei *D. cornutus* und tragen an ihrer Spitze eine Borste (Borste S/4). Diese Borste steht bei der Vergleichsart auf der Rückenfläche dicht vor den Hörnern. Es sind drei Paar lange, geschwungene Haare auf dem hinteren Rücken vorhanden, bei der Vergleichsart nur zwei Paar, beim ♀ sogar nur ein Paar.

Fundort: Außengroden im Vogelschutzgebiet beim Westturm, Salicornia, 16. X. 49. Die Art wurde auch von STRENZKE an der Küste Holsteins gefunden.

Holotypus: Ein Präparat mit 4 ♂♂ und 3 ♀♀ in meiner Sammlung.

#### 19. *Asca bicornis* CAN. & FANZ.

Fundort: Kiefernwäldchen neben dem „Meeresstern“, 22. VIII. 49. — *Calluna* westlich des Friedhofes, 16. VIII. 51.

Bekannt aus Italien, Irland, Wiesenböden bei Breslau, Ungarn, Ciedhocinek (Polen).

### Familie Macrochelidae.

#### 20. *Nothrholaspis carinata* (C. L. KOCH).

Fundort: Binnendeichsweide, Pferdeweide, Grassoden ausgestochen, 19. VI. 49.

Weit verbreitet, kommt auch in Höhlen vor und konnte auch in den Hohen Tauern an zahlreichen Fundstellen nachgewiesen werden.

#### 21. *Holostaspella ornata* (OUDEMANS 1931).

Fundort: Außengroden-Süd an ausgerissenem Queller, Andelgras, Strandwegerich und anderen Pflanzen, 16. VI. 49.

OUDEMANS (1902) hat die Art unter dem Namen *Macrocheles vagabundus* BERLESE aus Holland beschrieben. Da diese Bestimmung sich später als nicht richtig herausstellte, hat er die Art umbenannt. Wurde mehrfach auf Acker- und Gartenland laufend gefunden.

### Familie Laelaptidae.

#### Subfamilie Hypoaspidae.

##### 22. *Hypoaspis aculeifer* CANESTRINI.

Fundort: Binnendeichsweide, Kuhweide, in Grassoden, 9. X. 49.

Eine weitverbreitete Art. Schlesische Wiesenböden (FRENZEL), Hohe Tauern in Talwiesen (FRANZ), Cieslocinek, Salzwiesen (WILLMANN).

##### 23. *Ololaelaps haemisphaericus* (C. L. KOCH).

Fundort: Binnendeichsweide, Kuhweide, Grassoden, 9. X. 49.

Eine weitverbreitete Art. Von SELNICK aus Island gemeldet, ich fand sie an „Verlorenen Wasser“ bei Panten (Kr. Liegnitz) und in den Salzwiesen von Cieslocinek. (WILLMANN 1949.)

#### Subfamilie Podocininae.

##### 24. *Ameroseius corbicula* (SOWERBY 1806):

Fundort: Weiden und Wiesen, 24. X. 49. Eine weitverbreitete Art.

##### 25. *Lasioseius berlesei* OUDEMANS.

Fundort: Weidefläche beim Anleger-West. — Weit verbreitet.

##### 26. *Lasioseius levis* (OUDEMANS & VOIGTS 1906).

Fundorte: Binnendeichsweide, Pferdeweide, Grassoden, 19. VI. 49. — Mähwiese, Binnendeich, südlich Bahnhof, 8. X. 49.

Weit verbreitet. Wurde gefunden bei Bremen (VOIGTS), Hohe Tauern (FRANZ) Schweiz (SCHWEIZER), Irland (HALBERT), aber nicht als Küstenform.

##### 27. *Lasioseius salinus* HALBERT 1920.

Fundort: Außengroden — im Vogelschutzgebiet-Ost, 19. VI. 49. Bodenprobe mit *Salicornia*, *Statice* *Limonium* usw. — HALBERT fand sie in Irland unter toten Muscheln. — Die Art ist neu für Deutschland.

##### 28. *Lasioseius marinus* nov. spec. (Abb. 4a, b).<sup>1)</sup>

Das hinten geradlinig abgeschnittene Genitale und das große Ventri-  
anale weisen die Species in die Subfam. Podocininae, und sie gehört da-  
wegen der deutlichen Rückenborsten und der fast glatten Struktur in die  
Gattung *Lasioseius*.

♀ (Abb. 4a, b): Länge 480—495, Breite 225  $\mu$ .

<sup>1)</sup> Es ist möglich, daß *Lasioseius marinus* in das Genus *Typhlodromus* eingereiht werden muß, ebenso der als Vergleichsart herangezogene *L. polonicus*. Dann würde die Art zu den *Phytoseiinae* gehören. Um die systematische Stellung dieser Species sicher entscheiden zu können, müßten noch weitere Untersuchungen an größerem Material beiderlei Geschlechts durchgeführt werden.



Als besonders charakteristisches Merkmal nenne ich zwei kurze, aber stark verbreiterte Borsten auf dem hinteren Teile des Rückens, die bei anderen Arten der Gattung fehlen. Die Borsten am Hinterrande sind nicht besonders auffällig. Das Sternale ist kurz und breit, Vorderrand undeutlich, man hat den Eindruck, als ob das erste Borstenpaar vor dem Schilde stehe. Die Hinterecken des Sternale sind etwas ausgezogen. Die Metasternal Schilder sind auffällig spitzeckig.

Differenzialdiagnose: In der Größe steht die Art zwischen *L. polonicus* WILLMANN 1949 (360/180  $\mu$ ) und *L. berlesei* OUDEMANS (540/340  $\mu$ ), in Gestalt und auch in der Form des Ventrianale ähnelt die Species *L. polonicus*. Sie unterscheidet sich aber von dieser Art durch das Paar verbreiteter, fast plattförmiger Haare auf dem Rücken und durch das hinten in zwei Fortsätze ausgezogene Sternalschild.

Fundort: Vogelschutzgebiet-Ost, Bodenprobe mit *Salicornia* und anderen Wappflanzen, 9. X. 49.

Holotypus: Präparat mit einem ♀ in meiner Sammlung.

29. *Lasioseius insularis* nov. spec. (Abb. 5a, b).

♀: Länge: 270—328  $\mu$ , Breite 135—174  $\mu$ .

Körper etwas geschultert (Abb. 5b), die Rückenborsten sind sämtlich kurz und spitz, auch die hinteren Borsten sind nur wenig länger als die auf dem vorderen und mittleren Rücken. Die Struktur besteht aus gebrochenen Linien, die im Präparat als kleine helle Pünktchen erscheinen. Etwas vor der Mitte des Rückens in Höhe des dritten Beinpaars sehen wir eine eigenartige Gruppe von acht hellen Flecken. In der Mitte stehen zwei längliche Flecken nebeneinander, die zu beiden Seiten von drei runden Flecken eingefasst werden. Weiter vorn finden wir noch zwei Paar Flecken, von denen das vordere Paar besonders deutlich ausgeprägt ist und fast für Augen angesehen werden könnte. Im hinteren Teile des Rückens hört die eigenartige Struktur auf, man sieht hier nur noch einige Querlinien, während ganz hinten auf dem abfallenden Teile des Rückens noch wieder eine unregelmäßige Struktur in Erscheinung tritt.

Ventralseite des ♀ (Abb. 5a): Das Sternale ist groß, der Vorderrand ist undeutlich. Zwischen den Coxen II und III bildet das Sternale eine scharfe Ecke, hinten ist es breit abgerundet. Die Metasternalhaare stehen auf schwach angedeuteten dreieckigen Schildern. Das Genitalschild ist lang und schmal, vorn und hinten etwas erweitert und reicht bis weit über die Coxae IV hinaus. Die beiden Genitalhaare stehen hinter den Coxae IV außerhalb des Schildes. Zwischen Genitale und Anale befindet sich ein breiter Raum, in dem wir zwei Querreihen von je vier Borsten sehen. Bei *L. innumerabilis* BERLESE aus Italien, der verwandt, aber größer ist, hat die erste Querreihe vier, die zweite sechs Borsten. Das Analschild ist rundlich, der Anus liegt in der Mitte, die beiden Adanalhaare sind sehr kurz, das Postanalhaar ist kräftiger und sitzt ganz am Hinterrande des Schildes. Neben dem Anale finden wir jederseits sechs spitze Haare. Die Inguinalschilder sind länglich-oval. Die Peritrematalia laufen in eine Spitze aus,

die die Coxae IV fast umfassen. Das Epistom ist dreispitzig, alle Spitzen scharf. — Beine ziemlich kurz, I 240  $\mu$ , II 195  $\mu$ , III 165  $\mu$ , IV 225  $\mu$ .

Differenzialdiagnose: Die nächst verwandten Arten sind *L. pulvisculus* BERLESE und *L. minutus* (HALBERT). Beide haben aber eine ganz andere Rückenstruktur. *L. minutus* ist fein und dicht punktiert, und *L. pulvisculus* ist retikuliert mit deutlichen, scharfkantigen Netzmaschen.

Fundorte: Binnendeichsweide (Kuhweide) in der Nähe des Süddeiches, 9. X. 49, und auf Weiden und Wiesen am 24. X. 49. Es wurden nur ♀♀ gefunden.

Holotypus: Ein Exemplar vom 24. X. 49 in meiner Sammlung.

### 30. *Episeius necorniger* (OUDEMANS).

Fundorte: Häufig im Außengroden an ausgerissener Salicornia und anderen Wattpflanzen, 8. VI. 49 — 16. VI. 49 — 19. VI. 49 — 6. X. 49 — 8. X. 49. — Deich, Wattseite, am Fuße, 17. I. 50.

Sehr weit verbreitet an feuchten Orten, in Quellmoosen, feuchten Wiesen und an der Küste bis Lappland hinauf.

### 31. *Episeius montanus* WILLMANN 1949.

Fundorte: Binnendeichsweide, Pferdeweide, 19. VI. 49. — Mähwiese, Binnendeich, südlich Bahnhof, 8. X. 49.

Bis jetzt nur aus den Hohen Tauern bekannt. Beschreibung mit Abbildung noch nicht erschienen, nur erst kurz diagnostiziert in der Bestimmungstabelle in WILLMANN 1949. (Ciechocinek.)

### 32. *Episeius longipes* WILLMANN 1949.

Fundorte: Binnendeichsweide, Pferdeweide, 19. VI. 49. — Binnendeichsweide, Kuhweide, hinter dem Süddeich, 9. X. 49.

Bis jetzt aus dem Gebiete des Glatzer Schneeberges und aus den Hohen Tauern bekannt. (S. Bestimmungstabelle, WILLMANN 1949.)

## Subfamilie Hyletastinae.

### 33. *Eviphis siculus* OUDEMANS.

Dünental, Bodenprobe, Boden ziemlich feucht, 15. VI. 49. — Außengroden-Süd, Queller und andere Pflanzen, 16. VI. 49. — Altes Anspüllicht von Winterhochfluten, 18. VI. 49, hier besonders zahlreich — Binnendeichsweide, Pferdeweide, Grassoden, 19. VI. 49. — Mähwiese, Binnendeich, südlich Bahnhof, 8. X. 49.

Die Species wurde beschrieben aus Sizilien und wurde ferner festgestellt im Wiesenboden einer Talwiese in den Hohen Tauern. Ist vielleicht weiter verbreitet, als man bisher angenommen hat. Oder sollte die Art durch Zugvögel auf die Insel verschleppt worden sein? Neu für die deutsche Fauna.

## Subfamilie Phytoseiinae.

### 34. *Amblyseius obtusus* (C. L. KOCH).

Weit verbreitet in Wiesenböden.

### 35. *Amblyseius longulus* BERLESE 1914.

Fundort: Kiefernwäldchen neben dem „Meeresstern“ im Schatten,  
2. VIII. 49.

Bisher nur aus Italien bekannt; neu für die Fauna Deutschlands.

### 36. *Amblyseius callunae* nov. spec. (Abb. 6a, b).

Man könnte auf den Gedanken kommen, dieses Tier wegen seiner kurzen Schulterhaare und der ziemlich kurzen Endborsten in das Subgenus *Seiopsis* zu stellen, es ist aber an Genu, Tibia und Tarsus von Bein IV je eine stärkere und längere Borste vorhanden, die bei *Seiopsis* vollständig fehlen sollen. Ferner schreibt BERLESE (1923, S. 256): „Robustiores et melius nitinei quam species gen. *Amblyseius* s. s.“ Auch dieses Merkmal trifft für die neue Art nicht zu. Ich reihe das Tier also, wenn auch mit gewissen Bedenken, in die Gattung *Amblyseius* ein. Eine sichere Entscheidung wird sich erst treffen lassen, wenn auch die zugehörigen ♂♂ gefunden worden sind.

Größe: ♀ 375  $\mu$  lang, 225  $\mu$  breit.

Schulterborsten länger als die übrigen Haare des vorderen Rückens, sie überragen aber nicht den Seitenrand des Körpers (Abb. 6a). Die Pili laterales sind 53  $\mu$  lang, die Pili posteriores 67  $\mu$  und die Pili adanales 47  $\mu$ , während diese Borsten bei *A. obtusus* vergleichsweise 90, 270, 150  $\mu$  lang sind. In denselben Verhältnissen bewegen sich bei den beiden Arten die langen Borsten auf den Beinen IV (die Zahlen für *A. obtusus* in Klammern gesetzt). Sie messen auf dem Genu 47  $\mu$  (105  $\mu$ ), auf der Tibia 33  $\mu$  (90  $\mu$ ) und auf dem Tarsus 67  $\mu$  (60  $\mu$ ). Nur die Borste auf dem Tarsus (Basitarsus) ist bei dieser Species auffällig lang und kräftig, und gerade das soll bei *Seiopsis* nicht der Fall sein.

Ventralseite (Abb. 6b): Das Sternale ist fast ebenso breit wie lang, es trägt drei Paar Haare. Die Metasternalhaare stehen auf kleinen Plättchen. Das Genitale ist ziemlich breit, hinten gerade abgeschnitten. Zwischen ihm und dem Ventrianale sehen wir eine Chitinlinie und ein Paar Borsten. Bei den übrigen *Amblyseius*-Arten schließt das Ventrianale unmittelbar an das Genitalschild an. Der Seitenrand des Ventrianale ist etwas eingebuchtet. Das Schild trägt, wie üblich, vier Paar Borsten. Daneben sehen wir jederseits zwei kleine Härchen und die beiden langen Adanalhaare. Die Perirematale umschließen mit einer stumpf abgeschnittenen Verlängerung die Coxae IV. Die Inguinalplättchen sind länglich-oval.

Differenzialdiagnose: *A. callunae* unterscheidet sich von den anderen Arten der Gattung durch die kurzen, nach hinten gerichteten Schulterhaare, die den Seitenrand nicht überragen, und durch die ebenfalls im Verhältnis zu den anderen Arten viel kürzeren Borsten auf dem hinteren Rücken und neben dem Ventrianale. Auch die Borsten auf Genu und Tibia IV sind kürzer als bei den Vergleichsarten der Gattung, nur die kräftige Borste auf dem Basitarsus übertrifft etwas die entsprechende Borste der Vergleichsart.

Fundort: Heide westlich des Friedhofes, auf Calluna, 17. IV. 50.

Holotypus: Präparat mit einem ♀ in meiner Sammlung.



### Subfamilie Laelaptinae.

#### 37. *Laelapsoides dentatus* (HALBERT 1920) gen. nov. nom.

HALBERT nennt diese Art *Laelaps dentatus*. Um einen echten *Laelaps* handelt es sich aber auf keinen Fall, da alle *Laelaps*-Arten Schmarotzer an Kleinsäugern sind. Bei der hier vorliegenden Art ist das Genitivventral sehr lang, hinten gerade abgeschnitten und schließt unmittelbar an das Anale an. Das ist bei *Laelaps* nie der Fall. Auch die sechs Zähnenreihe des Hypostoms weisen auf eine andere Gattung hin. Ich nenne diese Gattung deshalb *Laelapsoides* nov. nom.

Hologenotypus: *Laelaps dentatus* HALBERT 1920.

Fundorte: Außengroden-Süd, Queller, ausgerissen, 16. VI. 49 — Altes Anspüllicht von Winterhochfluten, 18. VI. 49 — Vogelschutzgebiet-Ost, Bodenprobe mit *Salicornia*, 9. X. 49 — Deich, Wattseite, am Fuße des Deiches, 17. I. 50.

Bisher von der deutschen Nordseeküste nicht bekannt. HALBERT bezeichnet diese Art als „an abundant characteristic intertidal species“. Die Funddaten bestätigen die Angabe HALBERTS, daß die Art das ganze Jahr hindurch gefunden werden kann. Kürzlich wurde die Art auch in Anspüllicht an der Küste des Jadebusens gefunden (Dangast, 17. VIII. 51).

### Familie Zerconidae.

#### 38. *Zercon spatulatus* C. L. KOCH.

Fundorte: Altes Anspüllicht von Winterhochfluten, 18. VI. 49. — Außengroden im Osten, Quellerregion, 23. VIII. 49.

Von C. L. KOCH aus der Umgegend von Regensburg beschrieben, von SELLNICK (1944) genauer charakterisiert, über die weitere Verbreitung ist nichts bekannt.

### Uropodina.

### Familie Phaulodinychidae.

#### 39. *Phaulodinychus repletus* BERLESE 1903.

Fundorte: Außengroden-Süd, *Salicornia*, Wurzelsoden, 8. VI. 49. — Fucus von Sand überspült, NO-Strand, 11. VI. 49. — Außengroden-Süd, ausgerissener Queller, Andelgras u. a., 16. VI. 49. — Altes Anspüllicht von Winterhochfluten (zahlreich), 18. VI. 49. — Außengroden, Bodenprobe mit *Salicornia*, 19. VI. 49. — Vogelschutzgebiet-Ost, Bodenprobe mit *Salicornia*, 9. X. 49. — Außengroden, Vogelschutzgebiet-West, beim Westturm, 6. X. 49. — Außengroden-Süd, 8. X. 49. — Deich, Wattseite, am Fuße des Deiches, 17. I. 50.

An allen Küsten des Atlantischen Ozeans und der Nordsee verbreitet (Frankreich, Irland, England. Nach SELLNICK (in lit.) auch in Schweden gefunden.

## Familie Uropodidae.

### 40. *Pseuduropoda breviunguiculata* WILLMANN 1949.

Fundort: Binnendeichsweide, Pferdeweide, am Deichschart der Bahn zum Ostanleger, 19. VI. 49.

Bekannt aus dem pannonischen Klimagebiet südöstlich von Wien (in schwach salzhaltigen Wiesen am Neusiedler See) und aus einer schwach salzhaltigen Wiese südlich von Ciechocinek im Weichseltal.

## Trombidiformes.

### Tarsonemini.

## Familie Scutacaridae.

### 41. *Imparipes degenerans italicus* BERLESE 1904. (Abb. 7a u. b.)

Bei dem Genus *Imparipes* sind Genu und Tibia IV miteinander verwachsen, jedoch durch eine schräge Trennungsnaht voneinander abgesetzt. Die meisten Arten der Gattung haben einen distal borstenförmig verlängerten Tarsus IV mit sehr langem Praetarsus, der an der Spitze ein sehr kleines Ambulacrum trägt. Bei der vorliegenden Art erscheint die Verlängerung des Tarsus zunächst nur als etwas verdickte, mäßig lange Borste. Erst bei starker Vergrößerung erkennt man, daß diese „Borste“ an der Spitze mit einem winzig kleinen Ambulacrum ausgestattet ist, also eine Verlängerung des Tarsus mit Praetarsus darstellt. BERLESE beschreibt die Hauptart aus Rußland, wo die Tiere an den Beinen von Ameisen gefunden wurden. Die Wangerooger Form entspricht mehr der var. *italicus*, mit kürzeren Borsten auf dem hinteren Rücken. Ich bemerke noch, daß die beiden Paare der inneren Caudalhaare verschieden lang sind, neben den beiden stärkeren Haaren stehen außen zwei winzig kleine Härchen, die kaum halb so lang und viel zarter als die beiden inneren Haare sind. Bei der Hauptart werden beide dicht nebeneinander stehenden Haare als von gleicher Länge angegeben. Zur Klärung der Art füge ich zwei Abbildungen der auf Wangerooge gefundenen Form an.

Fundort: Weiden und Wiesen, 24. X. 49.

### 42. *Imparipes hydrophilus* nov. spec. (Abb. 8a—d).

Größe: ♀, Länge 240  $\mu$ , Breite 154  $\mu$ .

Die Species gehört zu der nur zwei Arten umfassenden Gruppe der Gattung *Imparipes*, bei der am Tarsus IV die Verlängerung und der Praetarsus mit Ambulacrum vollständig rückgebildet sind. Wenn nicht die deutlich erkennbare Trennungsnaht in dem verwachsenen Genu-Tibialgliede IV vorhanden wäre, würde man die Tiere in die Gattung *Scutacarus* einreihen, aber die angegebene Gliederung des vierten Beinpaares läßt das nicht zu.

Auf dem Prosoma (Abb. 8a) stehen die Vertikalhaare vor den Scapularhaaren. Die Setae laterales sind etwas gegen den Körper geneigt, aber

nicht übermäßig verlängert oder verdickt. Die Setae abdominales externa sind kürzer als die S. a. interna.

Ventralseite (Abb. 8b): Die Sternalhaare sind nicht besonders lang. Für die meisten Arten ist die Stellung der Setae poststernales charakteristisch. Bei dieser Species stehen die S. p. interna vor den S. p. externa, aber letztere stehen auch noch vor der hinteren Grenze der Sternalplatte; sie sind mindestens doppelt so lang wie die inneren Poststernalhaare.

Tarsus I (Abb. 8c) ist dick und an der Spitze mit einer kräftigen, stark gekrümmten Kralle versehen. Dorsal finden wir einen Zapfen mit einer langen Tasthaar und dahinter einen langen, gleichmäßig dicken Sinneskolben. — Die Tarsen II und III sind schlank. Auffällig sind die Krallen gestaltet (Abb. 8d). Wir finden an jeder Kralle zwei dick gepolsterte Haftballen, von der eigentlichen Krallenform ist kaum noch etwas zu bemerken. Dazwischen befindet sich ein Empodium, das pinselartig erscheint. Es ist anzunehmen, daß diese eigenartige Ausbildung des Ambulacrum an den Tarsen II und III mit dem Leben an submersen schlüpfrigen Pflanzen (*Littorella uniflora*) zusammenhängt.

Rücken- und Bauchpanzer zeigen eine Struktur von dichten Punkten, wie wir sie von vielen Oribatiden kennen, die aber bei den Scutacaridae sonst noch nicht beobachtet worden ist.

Differenzialdiagnose: Es sind nur zwei Arten bekannt, bei denen der distal borstenartig verlängerte Teil des Tarsus IV, sowie Praetarsus und Ambulacrum völlig rückgebildet sind. Bei *Imparipes hydrophilus* stehen die Setae poststernales interna vor den externa, und der Körper ist länger als breit. Bei der anderen Art, *I. atypicus* KARAFIAT, stehen die vier Setae poststernales in einer waagerechten Querreihe, und der Körper ist kreisrund.

Fundort: Süßwasserteich südlich des Friedhofes, Böschung unter Wasser mit einem dichten Rasen von *Littorella uniflora* ASCH. bewachsen.

Holotypus: Ein Präparat mit vier Exemplaren in meiner Sammlung.

Weiteres Material: 60 Exemplare an gleicher Fundstelle. Es ist die erste Art der Scutacaridae, die an unter Wasser wachsenden Pflanzen gefunden wurde.

#### 43. *Variatipes tridentinus* PAOLI 1911.

Fundort: Binnendeichsweide, Pferdeweide beim Deichschart, 19. VI. 49.

Weitere Verbreitung: Zuerst gefunden im Tridentinum in Moos, auch in Mitteleuropa weit verbreitet.

### Familie Pygmotidae.

#### 44. *Pygmephorus maritimus* nov. spec. (Abb. 9a—g).

♀ Länge 315—330  $\mu$ , Breite 180  $\mu$ .

Die Species hat Ähnlichkeit mit *P. pilosus* OUDEMANS, läßt sich aber leicht davon unterscheiden. Die Größe ist etwa dieselbe, OUDEMANS gibt an 300  $\mu$ . Ich besitze einige Exemplare aus der Segeberger Höhle in Holstein, die wesentlich kleiner sind (bis nur 210  $\mu$ ). Bei *P. pilosus* steht die lange Borste



es Propodosoma hinter den pseudostigmatischen Organen, bei *P. maritimus* unmittelbar innen neben den Pseudostigmata (Abb. 9a). Das vordere kreisförmige Organ liegt bei *P. pilosus* viel weiter nach vorn, bei der neuen Art nicht vor den Pseudostigmata unmittelbar am inneren Rande der Trochanteren des ersten Beinpaars. OUDEMANS spricht bei *P. pilosus* diese kreisförmigen Organe als Augen an, bei *P. maritimus* sind es ähnliche Gebilde wie die Pseudostigmata, nur nicht so groß trichterförmig. Bei starker Vergrößerung erkennt man (Abb. 9c), daß aus der Vertiefung ein kleiner abgestumpfter Kolben herausragt. Zahl und Stellung der Rückenborsten sind etwa dieselben wie bei der Vergleichsart, sie sind aber viel kürzer und nicht so deutlich gefiedert. Bei *P. pilosus* beträgt die Länge des dritten Paares der Mittelreihe 134  $\mu$ , bei *P. maritimus* nur 77  $\mu$ . Tarsus IV ist bei *P. pilosus* stark verlängert und verjüngt, die längste Borste auf der Tibia mißt 114  $\mu$ , bei *P. maritimus* ist der Tarsus IV von durchaus normaler Gestalt, und die Borste auf der Tibia ist nur 40  $\mu$  lang.

Die auffälligsten Unterschiede finden wir aber auf der Ventralseite im Gebiet der Coxalplatten (Abb. 9b). Bei *P. pilosus* sind die Grenzfurchen zwischen den Coxalplatten I und II bis zur Mittellinie durchgeführt, sie verlaufen etwas schräg und vereinigen sich mit der durchgehenden Grenzfurche hinter den Coxalplatten II. Bei *P. maritimus* sind diese Grenzfurchen nur durch ein seitlich nicht durchgeführtes Kreuz angedeutet. Zwischen den Coxalplatten III und IV ist die Grenzfurche länger, berührt aber nicht die Trochanteren III, wie es bei *P. pilosus* der Fall ist. Die mittlere Grenzlinie reicht nach hinten auch nicht über das dritte Beinpaar hinaus, so daß die inneren Poststernalhaare nicht mehr zu beiden Seiten der Mittellinie stehen, also auf den Coxalplatten IV, sondern ein Stück hinter dem Ende der Mittelfurche. Die Entfernung der äußeren Poststernalhaare zueinander ist nur wenig größer als die der inneren. Auch diese Haare sind viel kürzer als bei der Vergleichsart, sie erreichen mit ihrer Spitze nicht die Genitalöffnung.

Tarsus I (Abb. 9d u. e) ist distal ziemlich stark verbreitert, stärker als bei der Vergleichsart. Er ähnelt in dieser Hinsicht dem von *P. cultratus* BERLESE. Seitlich betrachtet sehen wir auf der Dorsalseite einen kleineren und dann einen größeren stumpfen Sinneskolben, davor ein langes, dünnes, gebogenes, an der Spitze etwas knopfförmiges Sinnesorgan. Dorsal betrachtet sehen wir drei Sinneskolben in Form eines Dreiecks angeordnet, bei der seitlichen Ansicht ist eines der kleineren Sinnesorgane nicht zu sehen.

Neben vielen ♀♀ wurde auch ein ♂ gefunden, es ist daher anzunehmen, daß dieses ♂ zu derselben Art gehört (Abb. 9f u. g).

Länge 140  $\mu$  (mit Anhang 184  $\mu$ ), Breite 107  $\mu$ . Da erst von sehr wenigen Arten die ♂♂ bekannt sind, von der Vergleichsart *P. pilosus* z. B. noch nicht, so kann ich hier nur auf die Abbildung von *P. islandicus* SELLNICK (1940, S. 121, Fig. 130, 131) verweisen. Die allgemeine Körperform ist die gleiche, die Gestalt des von BERLESE „papilla rostra“ genannten verkümmerten Gnathosoma ist aber ganz anders, es bildet eine längere, an der Spitze abgerundete und mit kleinen Börstchen besetzte Keule. Auch der

Verlauf der Trennungslinien der einzelnen Coxalplatten ist ganz anders. Dorsal fallen die langen Rückenhaare auf, die bei *P. islandicus* zwar in gleicher Zahl und Anordnung vorhanden, aber viel kürzer sind. Auch scheint der eigenartige Anhang anders angesetzt zu sein. Bei der vorliegenden Art ist er weiter vorn, unmittelbar hinter der Grenzlinie, die hinter den Beinen III über den Rücken verläuft, angesetzt und ist schräg aufwärts gerichtet, man sieht das zugespitzte Ende des Körpers hindurchschimmern. Bein IV, wie üblich, verdickt und kürzer als die übrigen Beine.

Fundort: Bemerkenswert ist der Lebensraum dieser Art, sie wurde in 3 Exemplaren, darunter einem ♂, im Vogelschutzgebiet-Ost in dichtem *Salicornia*-Rasen erbeutet, an einer Stelle, die bei jeder höheren Flut vom Meerwasser überspült wird.

Holotypus des ♀: Präparat mit vier Exemplaren in meiner Sammlung.

Holotypus des ♂: Präparat mit dem einzigen Exemplar in meiner Sammlung.

### *Familie Tarsonemidae.*

#### 45. *Tarsonemus floricolus* CAN. & FANZ.

Fundort: Heide, westlich des Friedhofes, ein ♂. 17. IV. 50.

Da die ♂♂ leichter zu unterscheiden sind als die ♀♀, glaube ich, daß die Bestimmung richtig sein wird.

Bisher nur aus Italien und aus Amerika (aus einem Warmhaus) bekannt. Möglicherweise durch einen Zugvogel verschleppt. Neu für die deutsche Fauna.

#### 46. *Tarsonemoides* spec.

Fundort: Angeschwemmter Fucus von Sand überspült, NO-Strand 11. VI. 49. Die Art konnte nicht genau festgestellt werden.

### *Endeostigmata.*

#### *Familie Pachygnathidae.*

#### 47. *Alicorhagia clavipilus* S. T. 1931.

Fundort: Heide westlich des Friedhofes, 17. IV. 50.

Bekannt aus Norwegen und Svalbard. Neu für die deutsche Fauna.

#### 48. *Coccalicus clavatus* nov. gen. nov. spec. (Abb. 10a—d).

Bei dieser neuen Gattung und Art, die ich unter Vorbehalt in die Familie Pachygnathidae einreihe, handelt es sich augenscheinlich um eine Nymphe. Das Tierchen (Abb. 10a) ist 165  $\mu$  lang und 75  $\mu$  breit. Die auffällige Segmentierung des Hysterosoma weist auf die Endeostigmata hin, und in der Gestalt ähnelt das Tier am meisten der Gattung *Speleorchestes*, die allerdings zur Familie Nanorchestidae gehört. Die Ambulacra an den Tarsen der vier Beinpaare sprechen für die Familie Pachygnathidae. Gegen diese Einordnung, überhaupt gegen die Stellung in die Cohors Endeostigmata, sprechen die einfachen Rückenborsten. Sie sind bei den Endeostigmata sonst stets deutlich gefiedert oder baumartig verästelt, SIE THOR

at ihnen deshalb den volkstümlichen Namen „Federhaarmilben“ gegeben. Auf dem Prosoma sind besonders auffällig zwei große, keulenförmige Sinnesorgane, die aus deutlichen Trichobothrien entspringen. Zwischen diesen sehen wir ein Paar längere und am Rande noch zwei Paar feine Haare. Das nächste Segment trägt zwei Paar Borsten in einer Querreihe, dann folgt ein breites Segment mit zwei Paar Borsten hintereinander, dann wieder ein schmäleres, nach vorn gewölbtes Segment mit vier Borsten und das letzte Segment mit sechs Borsten. An Tarsus I (Abb. 10b) haben wir einen kurzen Prätarsus mit zwei Krallen und dazwischen ein abgerundetes Empodium. An den übrigen Beinpaaren (Abb. 10c) finden wir ebenfalls zwei Krallen und ein stabförmiges, fein behaartes Empodium. Die Palpen sind einfach (Abb. 10d), der Palptarsus endet mit einer starken, spitzen Borste. Das übrige Gnathosoma konnte nicht genauer untersucht werden.

Fundort: Altes Anspüllicht von Winterhochfluten, 18. VI. 49.

Hologenotypus und Holospecietypus ist das einzige bisher vorliegende Exemplar in meiner Sammlung.

### *Familie Nanorchestidae.*

49. *Nanorchestes amphibius* TOPSENT & TROUESSART 1890.

Fundort: Im Bewuchs (Algen und Tang) an den Bühnenpfählen am Westende der Insel innerhalb der Brandungszone, 12. VI. 49. — 6. X. 49.

Bekannt von der Küste Frankreichs und Englands, immer in der Gezeitenzone. Neu für die Fauna Deutschlands.

50. *Nanorchestes arboriger* (BERLESE 1905).

Fundorte: Kiefernwäldchen neben dem „Meeresstern“, 22. VIII. 49. — Uderalplatz am „Haus Friesland“, 22. VIII. 49.

Diese kleinere Art lebt meist in Moos und ist auch schon in Deutschland mehrfach festgestellt worden.

### *Prostigmata.*

#### *Familie Rhagidiidae.*

51. *Rhagidia arenaria* nov. spec. (Abb. 11a—e).

Länge: 1035—1065  $\mu$ , Breite: 360—390  $\mu$ .

Bein I 1050—1125  $\mu$ , II 795—885  $\mu$ , III 885—930  $\mu$ , IV 1050—1095  $\mu$ . Bein I und IV sind also etwa von Körperlänge, die Beine II und III sind kürzer. — Länge der Mandibel (Abb. 11e): 201—210  $\mu$ , Höhe des Grundgliedes 90—100  $\mu$ , Länge der Schere (des beweglichen Gliedes) 77—84  $\mu$ , Entfernung der Haare voneinander 40  $\mu$ . Das vordere Haar steht nicht auf der Kante des Digitus fixus, sondern in einer Mulde etwas vom Rande entfernt. Der Epivertex ist groß und schließt breit an das übrige Propodosoma an (Abb. 11a). Hier finden wir die üblichen drei Paar Borsten, von denen die mittleren als sehr feine Sinneshaare, die aus deutlichen Gruben ent-

springen, differenziert sind. Die Augenflecke sind außerordentlich groß und länglich-oval. Auf dem Hysterosoma ist besonders charakteristisch, daß auf dem hinteren Rücken drei Querreihen von je vier Borsten dicht zusammengedrückt sind, bei anderen Arten stehen die äußeren Borsten weiter seitlich.

Auf Bein I (Abb. 11b) besteht das tarsale Sinnesorgan aus vier schrägliegenden Sinnesgruben mit Schuppenhaar, zwischen den beiden proximalen Gruben sehen wir das Tentakelorgan. Auf Tarsus II (Abb. 11c) haben wir drei Sinnesfelder in ähnlicher Anordnung. Ein Tentakelorgan konnte hier nicht mit Sicherheit erkannt werden. Sehr auffällig ist der Pulvillus zwischen den großen Krallen an den Tarsen aller Beine gestaltet (Abb. 11d). Er ist lang und breit und ganz gerade gerichtet, das Stäbchen ist mit dicht stehenden, sehr feinen Härchen besetzt, die bei schwächerer Vergrößerung wie eine Fläche erscheinen. Vorn ist diese Fläche ausgeschnitten und das Ende des Stäbchens bildet eine kleine Mittelspitze. Bei anderen Arten besteht der Pulvillus aus einem festen, meist nach oben gebogene Chitinstab mit Haarbesatz.

Differenzialdiagnose: Versucht man die Tiere nach der Tabelle in „Tierreich“, Lfg. 71a, zu bestimmen, so stößt man auf *R. intermedia* WILMANN. Mit dieser Art besteht aber keine Übereinstimmung. Einmal ist *R. intermedia* größer und hat viel längere Beine als der Körper, dann ist die Stellung der Sinnesfelder auf Tarsus II eine andere (zwei hintereinander und eines etwas schräg davor, während hier die drei Felder schräg hintereinander liegen). Als besonders charakteristisch und abweichend von allen bisher bekannten Arten ist die Stellung der Borsten in den hinteren drei Querreihen und die Ausbildung des Pulvillus (s. oben).

Fundorte: Die Species wurde nur angetroffen im trockenen Dünensand. Die kleinen, weißlichen Tierchen konnten im Sande natürlich nicht gesehen werden, ich fand sie aber häufig unter Steinen, die von zerstörten Militärbauten im Sande der Dünen überall umherlagen. Hob man die Steine hoch, so sah man auf der Unterseite ein winziges Irgendetwas in rasender Geschwindigkeit herumwirbeln, so daß man kaum mit den Augen noch schwieriger mit dem Pinsel folgen konnte. Es ist mir aber doch gelungen, eine Anzahl dieser zarten Tiere unbeschädigt zu erbeuten, während andere entweder den Blicken entschwanden oder schon durch die Berührung mit dem in Alkohol getauchten Pinsel stark beschädigt wurden.

Daten: Wangerooge-West 10. VI. 49, — 18. VI. 49, — 5. X. 49, — 6. X. 49, Wangerooge-Ost 8. X. 49.

Holotypus: Ein Präparat vom 5. X. 49 in meiner Sammlung.

### *Familie Tydeidae.*

#### *52. Tydeus maximus* nov. spec. (Abb. 12.)

Mit einer Länge von 405 und einer Breite von 270  $\mu$  ist das Tier größer als alle anderen Arten der Gattung. Ferner ist bei dieser Species besonders auffällig, daß die Augenflecke weiter hinten auf dem Propodosoma stehen.



als gewöhnlich, nämlich zwischen den *Setae scapulares externae* und den *humerales externae*, während sie bei anderen Arten zwischen den *Setae verticales externae* und den *S. scap. ext.* zu finden sind. Die sehr großen Augenflecke, die auch bei dieser Species aus einer Anhäufung von Pigmentörnern bestehen, kommen damit hinter die thoracalen Sinneshaare zu liegen, während sie sonst vor diesen Borsten oder jedenfalls mit ihnen auf gleicher Höhe stehen. Die Körperfurche müßte eigentlich dicht hinter den Augen verlaufen, bei der neuen Art ist nichts davon zu sehen. Ob es sich bei der schwach angedeuteten Linie hinter den *S. humerales* um eine echte Körperfurche handelt, ist fraglich, möglicherweise haben wir hier eine durch Deckglasdruck hervorgerufene Falte. Wenn es sich um die Andeutung einer Körperfurche handeln sollte, so ist diese jedenfalls nicht ganz durchgeführt und verläuft, nach den Borsten zu rechnen, auf dem *Hysterosoma*. Die übrige Behaarung besteht wie gewöhnlich aus drei Querreihen von je vier Borsten in der hinteren Hälfte des *Hysterosoma*. Die Analpartie springt etwas aus und ist am Hinterrande mit zwei Haaren besetzt. Im Körper sehen wir ein etwas nierenförmiges Ei.

Fundort: Von Sanddorn geklopft, dichtes Gebüsch in einem Dünentale, 8. VI. 49.

Holotypus: Präparat mit einem ♀ in meiner Sammlung.

#### 53. *Tydeus marinus* nov. spec. (Abb. 13.)

Auch bei dieser Art handelt es sich um ein durch seine Größe auffälliges Tier. Länge: 405  $\mu$ , Breite: 225  $\mu$ .

Unterschiede gegen die vorige Species: Die Augen liegen an der normalen Stelle zwischen den *S. vert. ext.* und den *S. scap. ext.*, die Sinneshaare sind länger. Eine Körperfurche habe ich nicht gesehen. Der Körper ist von gleicher Länge, aber etwas schlanker als bei der vorigen Species. Das im Körper befindliche Ei ist größer und oval.

Fundort: Wangerooge-Ost, Wattwiese, mit *Statice*-Rasen, 23. VIII. 49.

Holotypus: Präparat mit 1 ♀ in meiner Sammlung.

#### 54. *Tydeus halophilus* nov. spec. (Abb. 14.)

In dem gleichen Material fand sich noch eine zweite Species, die ich auch mit keiner der bekannten Arten identifizieren konnte. Sie ist bedeutend kleiner, Länge: 270  $\mu$ , Breite: 165  $\mu$ , sie überschreitet also nicht das gewöhnliche *Tydeus*-Maß. Struktur: äußerst fein punktiert-gestreift. Eine Grenzfurche ist nur dadurch angedeutet, daß zwischen den *S. scap.* und den *S. hum.* die Hautstruktur eine andere Richtung annimmt. Auf dem *Propodosoma* können wir in der feinen Punktierung allgemein eine Längsrichtung erkennen, vor den *S. humerales* beginnt eine Querrichtung, die allerdings hinter der Mitte stellenweise wieder in eine Längsrichtung übergeht. Auf dem *Propodosoma* und auf dem *Hysterosoma* sind je zwei helle Flecke zu bemerken. Auf dem *Propodosoma* finden wir sie unmittelbar hinter den Sinneshaaren und auf dem *Hysterosoma* dicht hinter der Grenzlinie jeweils zwischen den *S. hum. internae* und *externae*. An der Spitze des *Propodo-*

soma ist eine Struktur festzustellen, als wenn es sich um kleine Grübchen handele.

Fundort: Wattwiese im Osten, Statice-Rasen, 23. VIII. 49.

Holotypus: Präparat mit 1 ♀ in meiner Sammlung.

55. *Lorryia* (L.) *concinna* (OUDEMANS 1929).

Fundort: Moos von Steinmauer, 18. VIII. 49.

Bekannt aus Holland. Neu für die Fauna Deutschlands.

56. *Lorryia* (*Raphitydeus*) *raphignathoides* (BERLESE 1910).

Fundort: Kiefernrinde mit Flechten, 18. VIII. 49.

Bisher gefunden in Moos auf Sizilien bei Palermo. Neu für die Fauna Deutschlands.

### Familie Ereynetidae.

57. *Ereynetes insularis* nov. spec. (Abb. 15a, b.)

Länge: 235  $\mu$ , Breite: 152  $\mu$ . Ein Versuch, die Bestimmungstabelle in „Tierreich“, Lfg. 60, anzuwenden, führt zu keinem Erfolg. Die Species hat Ähnlichkeit mit *E. sittardiensis* OUDEMANS, ist aber viel kleiner und die Schildlinien verlaufen anders. Die genannte Vergleichsart ist 440  $\mu$  lang und 220  $\mu$  breit, und das Schildchen wird von OUDEMANS mit einer Länge von 105 und einer Breite von 65  $\mu$  angegeben. Bei der neuen Art ist das Schildchen fast kreisrund (Abb. 15a), 68  $\mu$  lang und ebenso breit, es reicht nicht so weit nach hinten wie bei *E. sittardiensis*, bei dem das Propodosomalschildchen bis zwischen die Setae humerales internae ausgedehnt ist. Die Gestalt kürzer und gedrungener, eine Grenzfurche ist deutlich zu sehen. Die Zeichnung auf dem Schilde könnte man als ein großes X mit oben und unten nach außen geschwungenen Enden bezeichnen (Abb. 15b). Kompliziert wird diese Grundfigur durch zwei Linien, die dicht hinter der Einsatzstelle der langen Sinneshaare fast waagrecht zur Seite verlaufen, und durch zwei kurze Fortsätze, die von den hinteren Enden des „X“ ausgehen und fast den Hinterrand des Schildes erreichen. Bei *E. sittardiensis* sind die vorderen Schildlinien viel komplizierter gebaut, und hinter der Figur ist ein beträchtliches Stück des Schildes frei von jeder Zeichnung. Auf dem Schilde sehen wir außer den beiden etwa 83  $\mu$  langen Sinneshaaren noch zwei Paar kleine kräftige Härchen, ein Paar schräg vor den Sinneshaaren und ein Paar dicht neben den Berührungspunkten des „X“. Der Hinterrand des Schildes fällt fast mit der Grenzfurche zusammen, auf ihr stehen unmittelbar hinter dem Schilde die S. hum. int., während die S. h. ext. ein Stück hinter der Grenzfurche eingesetzt sind, die vier Haare bilden also einen konvexen Bogen. Die übrige Behaarung wie bei der Vergleichsart.

Fundorte: Altes Anspüllicht von Winterhochfluten, 18. VI. 49, — Binnen-  
deichsweide, Pferdeweide, beim Deichschart im Osten, 19. VI. 49.

Holotypus: Präparat mit 1 ♀ vom 18. VI. 49 in meiner Sammlung.

## Familie Eupodidae.

### 58. *Eupodes ocellatus* nov. spec. (Abb. 16a, b.)

Eine kleine, aber sehr charakteristische *Eupodes*-Art, die in ihrer Gestalt Ähnlichkeit hat mit *E. hjartdaliae* S. T. Die norwegische Art ist aber größer (50  $\mu$  lang) und besonders auffällig sind bei der neuen Art die sehr großen Augenflecke und die stark verdickten Femora des vierten Beinpaars. Bei allen *Eupodes*-Arten sind die Beine IV verdickt, aber hier ist das Femur ebenso lang wie dick, während SIG THOR angibt, „das zweite Glied des vierten Beines ist 140  $\mu$  lang und 70  $\mu$  dick“. Behorstung ähnlich wie bei der Vergleichsart. Länge: 325  $\mu$ , gravidus ♀ 420  $\mu$ .

Differenzialdiagnose: *Eupodes ocellatus* ist gekennzeichnet durch das kurze, breite Propodosoma, das in voller Breite an das Hysterosoma anschließt, die sehr großen Augenflecke und die ungewöhnlich stark verdickten Beine IV. (Femur IV ebenso dick wie lang.)

Fundorte: Sandgrube in den Dünen unter Steinen, 10. VI. 49, — Altes Bierspülloch von Winterhochfluten, 18. VI. 49.

Holotypus: 1 ♀ vom ersten Fundort, 10. VI. 49, in meiner Sammlung.

### 59. *Eupodes voxencollinus* S. T. 1934.

Fundort: Kiefernwäldchen neben dem „Meeresstern“, 22. VIII. 49.

Der Gestalt und Größe nach muß es sich um diese kleine, bisher nur aus Norwegen bekannte Art handeln. Weitere Verbreitung unbekannt. Die Species ist neu für die deutsche Fauna.

### 60. *Eupodes acuminatus* nov. spec. (Abb. 17.)

Die Species hat in der Gestalt Ähnlichkeit mit *E. voxencollinus* S. T., besonders die stark vorspringenden Schultern und die zahlreichen Borsten am Hinterrand des Körpers weisen auf diese Art hin. Sie unterscheidet sich sofort von dieser sowie von allen anderen bekannten *Eupodes*-Arten durch den vorn spitz auslaufenden Epivertex und durch ein zusätzliches Borstenpaar in der Schulterreihe (drei Paar Borsten, statt zwei Paar bei den übrigen Arten). Länge 300  $\mu$ , Schulterbreite 150  $\mu$ , Bein I 340  $\mu$  lang.

Fundort: Weiden und Wiesen, 24. X. 49, mehrere Exemplare.

Holotypus: Ein Exemplar vom typischen Fundort in meiner Sammlung.

### 61. *Cocceupodes clavifrons* (CANESTRINI 1886).

Fundort: Kiefernwäldchen neben dem „Meeresstern“. 22. VIII. 49.

Bekannt aus Italien, Schweden, Norwegen und den Hohen Tauern.

### 62. *Cocceupodes paradoxus* WEIS-FOGH 1948.

Fundorte: Weiden und Wiesen, 24. X. 49 — Heide, westlich vom Friedhof, 17. IV. 50 — Weidefläche beim West-Anleger, 18. I. 50.

Bisher nur aus Dänemark bekannt, dort im trockenen Teile der untersuchten Wiese gefunden, während die Art auf Wangerooge auch in sehr feuchten Gebieten (Weide beim West-Anleger) festgestellt werden konnte. Die Art ist neu für die deutsche Fauna.

63. *Linopodes motatorius* (L. 1758).

Fundort: Wangerooge-West, in einem zerstörten Bunker auf faulem Holz.

4. VIII. 50. (Gesammelt von Dr. H. PAUL.)

An feuchten, dunklen Orten weit verbreitet, auch viel in Höhlen.

*Familie Stigmaeidae.*

64. *Cheylostigmaeus scutatus* (HALBERT 1920). (Abb. 18.)

HALBERT nennt diese Species *Raphignatus scutatus*, sie gehört aber nicht in die Gattung *Raphignathus* im heutigen Sinne, ja nicht einmal in die Familie *Raphignathidae*, sondern sie muß in die Familie *Stigmaeidae* gestellt werden. Ich habe die Tiere in das von mir aufgestellte Genus *Cheylostigmaeus* eingereiht. Bei den Arten dieser Gattung ist zwischen ♂ und ♀ ein Sexualdimorphismus festzustellen, der außer in den Geschlechtsorganen sich auch im männlichen Maxillarboden bemerkbar macht. Bei *Ch. scutatus* ist dieser Unterschied allerdings nicht so beträchtlich wie bei den anderen Arten der Gattung, die ich in den Hohen Tauern und im pannonischen Klimagebiet südöstlich von Wien feststellen konnte. Da der Bericht über diese Funde noch nicht gedruckt werden konnte, gehe ich hier etwas näher auf die Gattung *Cheylostigmaeus* ein.

*Genus Cheylostigmaeus:*

Der Rücken ist ganz gepanzert mit zwei großen Schildern. Auf der Grenze zwischen beiden finden wir seitlich oder etwas ventral gelegen jederseits ein kleines haartragendes Nebenschild. Das Gnathosoma ist sehr groß, *Cheyletus*-artig, besonders die Palpen des ♂ sind sehr stark entwickelt. Im Gnathosoma zeigt sich ein auffälliger Sexualdimorphismus, indem der Maxillarboden beim ♂ stark chitinierte seitliche Vorsprünge besitzt.

Hologenotypus: *Cheylostigmaeus grandiceps* WILLMANN aus dem Gebiet der Hohen Tauern.

Bestimmungstabelle auf Grund der ♂♂:

1. Palpfemur, -genu und -tibia innen mit abgerundetem Vorsprung, Palpfemur außen mit scharfem Dorn. Maxillarboden kurz und mit sehr breiten seitlichen Blättern . . . . . *Ch. grandiceps* WILLM.
- 1a. Glieder der Palpen ohne auffallende Vorsprünge und Dornen . . . . .
2. Maxillarboden reicht bis zur Höhe der Palptibia nach vorn. Seitliche Blätter nach vorn gerichtet, vorn abgestutzt, etwas konkav . . . . .  
. . . . . *Ch. pannonicus* WILLM.
- 2a. Maxillarboden reicht höchstens bis zum Palpgenu nach vorn, seitliche Erweiterungen des Maxillarbodens nicht nach vorn gerichtet . . . . .  
. . . . . 3
3. Die Chitinverstärkungen treten kaum über den Außenrand des Maxillarbodens hervor, sie bestehen hauptsächlich aus zwei etwas vordere Rande entfernten Chitinknoten . . . . . *Ch. scutatus* (HALBERT)



- . Die Chitinverstärkungen ragen seitlich über den Rand des Maxillarbodens hinaus — — — — — 4  
 Seitliche Vorsprünge des Maxillarbodens unregelmäßig gewellt, mittlerer Teil ziemlich schmal und spitz . . . . . *Ch. angustimaxillatus* WILLM.  
 . Seitliche Vorsprünge lang mit zwei Spitzen, aber nicht weit ausladend, davor noch ein zur Seite gerichtetes Chitinblatt mit zwei Spitzen . . . .  
 . . . . . *Ch. austriacus* WILLM.

*Cheylostigmaeus scutatus* (HALBERT) ♂:

Bei dem ♂ von *Ch. scutatus* beträgt die Länge des Gnathosoma (Maxillarboden und Palpen [Abb. 18]) genau die Hälfte der Länge des Idiosoma. Idiosomalänge 360  $\mu$ , Gnathosoma 180  $\mu$ , Gesamtlänge bis zur Spitze der Palpen 40  $\mu$ . Der Maxillarboden reicht fast bis zum Ende des Palpfemur nach vorn. Er ist stärker gerundet als bei den anderen Arten, es finden sich aber an vorderen Teile zwei kleine Chitinknoten, die das zweite Haar des Maxillarbodens tragen, weiter zurück und vom Rande etwas entfernt stehen zwei stärkere Knoten mit dem dritten Haarpaar. Das vierte Haar finden wir weiter rückwärts auf der Grundfläche des Maxillarbodens, die Haare sind aber nicht weiter voneinander entfernt als die Haare auf den Knoten. Für die ♀♀ verweise ich auf die Beschreibung und die Abbildungen bei HALBERT (1920, S. 142, Taf. XXIII, Fig. 26a, b). Die Tierchen sind leuchtend rot, verlieren aber beim Konservieren und Präparieren ihre Farbe vollständig.

Fundorte: Altes Anspüllicht von Winterhochfluten, 18. VI. 49, — Außengroden im Vogelschutzgebiet-Ost, Bodenprobe mit *Salicornia*, 19. VI. 49 — Aselbst, 9. X. 49 — Außengroden-Süd, *Salicornia*, 8. X. 49 — Wattwiesen im Osten, Bodenprobe im Statice-Rasen, 23. VIII. 49 — Deich im Osten, Wattseite, am Fuße des Deiches, 17. I. 50. (Meist zahlreich.) Diese Species ist neu für die deutsche Fauna.

Holotypus des ♂: Ein Exemplar aus dem Vogelschutzgebiet-Ost, Bodenprobe mit *Salicornia*, 9. X. 49, in meiner Sammlung.

65. *Ledermülleria rhodomela* (C. L. KOCH 1841).

Fundorte: Binnendeichsweide, Pferdeweide, 19. VI. 49 — Weiden und Wiesen, 24. X. 49.

Weit verbreitet im Wiesenboden.

66. *Ledermülleriopsis triscutata* WILLM.

Beschreibung der Gattung und Art erfolgt an anderer Stelle.

Fundort: Binnendeichsweide, Pferdeweide, 19. VI. 49.

*Familie Anystidae.*

67. *Anystis baccarum* (L. 1758).

Fundorte: Von Sanddorn geklopft in den westlichen Dünentälern, 18. VI. 49 — Auf Sand in den Dünen laufend, 19. VI. 49 — An Kiefernrinde mit

Flechten, 18. VIII. 49 — ein Exemplar an einer beködeten, aber nicht angenommenen Mausefalle, 10. IX. 49 (Dr. PAUL).

Weit verbreitet.

68. *Tarsotomus sabulosus* (BERLESE 1886) (?)

Fundort: Auf Sand in den Dünen laufend, 19. VI. 49.

Bekannt aus Italien, wahrscheinlich handelt es sich um diese Species.

### Familie Tetranychidae.

69. *Tetranychus urticae* C. L. KOCH 1836.

Fundort: Wangerooge, Deich, Wattseite, Abhang, 17. I. 50.

Die ♀♀ überwintern an der Blattunterseite junger Ausläufer der Brennnesseln.

70. *Bryobia praetiosa* C. L. KOCH 1836.

Fundorte: Sandgrube im Kieferngehölz unter Steinen, 8. VI. 49 — Weidenfläche beim West-Anleger, 18. I. 50.

Kommt an den verschiedensten Pflanzen vor, findet sich eigentlich nur in der Frühljahrs- und ersten Sommermonaten. Es gibt eine Rasse, die als ♀♀ überwintert; um solche ♀♀ muß es sich beim Funde vom 18. 1. 50 handeln.

### Familie Raphignathidae.

71. *Raphignathus cerasinus* (C. L. KOCH).

Fundort: Altes Anspüllicht von Winterhochfluten, 18. VI. 49. — Die Art ist weit verbreitet, kommt aber nicht häufig zur Beobachtung.

72. *Neognathus insolitus* nov. gen. nov. spec. (Abb. 19a—f.)

Ein eigenartiges Tier, das in keine der bekannten Gattungen hineinpaßt und das ich auch nur mit Bedenken in die Familie Raphignathidae einreihen wurde in einem Exemplare in Moos auf einer Steinmauer erbeutet. Nach der Ausbildung der Palpen mit der großen Kralle an der Palptibia und dem ventral angesetzten Palptarsus käme eher die Familie Stigmaeidae in Frage. Aber meines Wissens gibt es unter den Stigmaeidae keine Gattung, deren Arten Peritremata mit freien Enden haben, während die Raphignathidae mehr Peritremata ausgestattet sind. Auch die Anordnung der Coxalplatten, die sämtlich auf dem vorderen Teile des Körpers zusammengedrängt sind und eng aneinander stoßen, weist die Art in die Familie Raphignathidae.

Gattungsdiagnose: Palpen wie bei den Stigmaeidae mit großer Tibialkralle und ventral angesetztem Palptarsus. Mandibeln groß, am Grunde sehr breit und bis weit über die Hälfte hinaus miteinander verwachsen. Die einzelnen Scherenglieder sind zwar spitz, aber nicht so auffällig stilettartig wie bei den anderen Gattungen der Familie. Besonders charakteristisch ist die Gestalt der Peritremata, die zu beiden Seiten des Mandibelgrundes zwei stark geschwollene, spitz auslaufende, nach vorn gerichtete freie Enden haben. Beine mit zwei sitzenden Krallen, dazwischen ein Empodium, das aus Stäbchen mit fein verteilten Enden besteht.

Hologenotypus: *Neognathus insolitus* nov. spec.

*Neognathus insolitus* nov. spec. (Abb. 19a—f):

Länge des Idiosoma: 345  $\mu$ , Breite 165  $\mu$ , bis zur Spitze der Mandibeln beträgt die Länge 435  $\mu$  und bis zur Spitze der Palpen 450  $\mu$  (Abb. 19a). Eine Rückenstruktur oder eine Bedeckung mit irgendwelchen Schildern konnte nicht festgestellt werden. Auch Augen scheinen zu fehlen. Behaarung: Der Rücken ist mit kleinen, einfachen Börstchen besetzt in der Anordnung 2, 2, 4, 4, 2, 2, 4, 4. Der Exkretionsporus ist endständig.

Ventral: Wie schon in der Gattungsdiagnose ausgeführt, sind die Coxalplatten alle in der vorderen Hälfte vereinigt und schließen dicht aneinander. Die Beine sind einfach, sechsgliedrig (die frei über den Körper Rand hinausragenden Coxalplatten mitgerechnet). An den Tarsen (Abb. 19d) finden wir zwei sitzende Krallen und dazwischen ein in einige Borsten aufgelöstes Empodium.

Besonders charakteristisch sind die Palpen (Abb. 19b), die mit ihrer großen Tibialkrallen und den ventral angesetzten Tarsen an die Stigmaeidae erinnern. Die Mandibeln sind am Grunde sehr breit, plattenartig, bis zur Mitte verschmolzen, dann allmählich geteilt. Die Scherenglieder sind verhältnismäßig kurz und breit, wenn auch die allgemeine Form mit der der übrigen Gattungen übereinstimmt (Abb. 19b u. f). Die beiden Peritrematalläste sind dadurch bemerkenswert, daß sie den Grund der Mandibeln wie eine Klammer umgeben, zunächst subcutan verlaufen, aber am Rande der Mandibeln heraustreten, hier stark anschwellen und wieder in eine scharfe Spitze auslaufen. Im Innern der Peritrematalkanäle sieht man unregelmäßig verteilte ringförmige Knoten (auf der einen Seite vier, auf der anderen drei [Abb. 19c]). Es handelt sich hier wohl um Versteifungen in der Wand der Peritremata. Da, wo sich die beiden Peritremata berühren, kann man mit dem Mikroskop die beiden Kanäle ein Stückchen senkrecht in den Körper hinein verfolgen, sich etwa dort ansetzende Tracheen konnten nicht erkannt werden. In dem einen der distal angeschwollenen Enden der Peritremata (Abb. 19e) konnte ich deutlich ein sich gabelndes Röhrchen feststellen, dessen kürzerer Zweig dorsal mit einem Porus endet, während der längere Zweig weiter vorn unterhalb der Spitze an der ventralen Seitenwand wahrscheinlich auch mit einem Porus mündet, diese Öffnung konnte aber nicht erkannt werden.

Holotypus: Präparat des einzigen Exemplares in meiner Sammlung.

Fundort: Moos von einer Steinmauer, 18. VIII. 49, in Gesellschaft mit anderen, trockene Lebensräume bevorzugenden Arten (*Oribata geniculata*, *Poribatula gessneri*, *Lorryia concinna*).

*Familie Eupalopsellidae nov. fam.*

73. *Eupalopsellus ölandicus* SELLNICK 1949. (Abb. 20 a—g.)

In der Heide westlich des Friedhofes wurden 7 ♀♀ dieser eigenartigen von SELLNICK (1949) veröffentlichten Art gefunden. Das von SELLNICK von der Insel Öland beschriebene Exemplar scheint eine Nymphe zu sein. Die

hier gefundenen ♀♀ sind größer und haben eine deutlicher ausgebildete Genitalöffnung. Körperlänge 315  $\mu$ , bis zur Spitze der Palpen 500  $\mu$ , bis zum Haustellum 420  $\mu$ , die Breite beträgt 165—180  $\mu$ . Im übrigen stimmen die Tiere genau mit SELLNICKS Beschreibung und Abbildung überein, nur konnte ich bei meinem frischen Material die Gliederung der Beine und Palpen besser erkennen. Aber das eigenartigste Merkmal, die völlig verschmolzene Mandibeln, die zwar, wie es scheint, in zwei Stilette auslaufen, deren Trennung voneinander man aber kaum erkennen kann, und die am Ende wieder zu einer Spitze verschmolzen sind, ist hier genau so, wie SELLNICK festgestellt hat. Auch die langen Palpen stimmen mit SELLNICKS Beschreibung überein.

Nun wurde aber in einem anderen Lebensraume (Kiefernrinde mit Flechten bewachsen) ein ♂ gefunden, das sicher in die gleiche Gattung zu stellen ist, bei dem es aber fraglich erscheint, ob es zu der gleichen Art gehört. Trotz gewisser Bedenken beschreibe ich das Tier vorläufig als ♂ von *Eupalopsellus ölandicus*. Wir müssen hoffen, daß später einmal ♂ und ♀ gemeinsam in einem Biotop erbeutet werden, erst dann wird man sicher entscheiden können, ob es sich nur, wie ich vorläufig annehme, um einen Sexualdimorphismus handelt, oder ob zwei verschiedene Arten vorliegen.

♂: Länge 315  $\mu$ , Breite 150  $\mu$ , bis zur Spitze des Haustellum 420  $\mu$ , bis zur Spitze der Palpen 465  $\mu$ . Was die Größe anlangt, würde dieses ♂ gut zu den auf Wangerooge aufgefundenen ♀♀ passen. Die Mandibeln sind 100  $\mu$  lang, die freien Glieder der Palpen 134  $\mu$ , mit Maxillarboden 168  $\mu$ . Maxillarboden bis zur Spitze des Haustellum 120  $\mu$ . Unterschiede gegenüber dem ♀: Die Rückenfläche (Abb. 20a) ist fast vollständig gepanzert, es finden sich keine weichen Hautstreifen zwischen den Schildern. Ganz merkwürdig sieht der Körper des Tieres aus, wenn man ihn von der Seite betrachtet (Abb. 20b). Das Opisthosoma ist viel niedriger als das Podosoma, hinter dem vierten Beinpaare verläuft die Ventralfläche in einem rechten Winkel nach oben und dann wieder in einem rechten Winkel nach hinten. Hier im Opisthosoma sehen wir dicht unter der Ventralfläche verlaufend ein großes Penisgerüst (Abb. 20c).

Die Palpen (Abb. 20f) sind ähnlich wie bei den ♀♀, haben aber am distalen Ende des Palfemur eine blattartig verbreiterte, hochstehende Borste mit gezacktem Rand. Die Mandibeln sind ebenfalls am Grunde völlig miteinander verschmolzen, so daß nur eine einzige Mandibel vorhanden zu sein scheint; die beiden sehr scharfen Stilette laufen aber bis zur Spitze frei nebeneinander her (Abb. 20e). Die Beine sind ähnlich wie bei der von SELLNICK beschriebenen Form (Abb. 20b u. g).

Beim ♂ finden wir aber an den Tarsen I und II je zwei und auf Tarsus III und IV je einen Sinneskolben. Die auf Wangerooge gefundenen ♀♀ haben auf den Tarsen I und II je einen normalen und auf Tarsus III einen winzigen kleinen Sinneskolben. Auf Tarsus IV habe ich kein Sinnesorgan gefunden. SELLNICK gibt für das von ihm untersuchte Tier (wahrscheinlich Nymphe) nur auf Tarsus I und II je ein Sinnesorgan an.



Fundorte: Heide, westlich des Friedhofes, drei ♀♀, 17. IV. 50. Später am gleichen Fundorte noch vier ♀♀, 16. VIII. 51. — Kiefernrinde mit Flechten (?) in ♂, 18. VIII. 49. Von Dr. G. Owen Evans wurde mir ein solches ♂ auch aus England vorgelegt. V. 1951.

Holotypus des ♂: Ein Exemplar in meiner Sammlung.

Der Sexualdimorphismus, wenn es sich um einen solchen handeln sollte, wie wir vorläufig annehmen müssen, ist eigentlich größer, als er bei einer rostigmatischen Milbe zu erwarten ist. Die eigenartige Körperform des ♂ könnte durch den uns unbekannten Begattungsvorgang bedingt sein, aber sie bis zur Spitze freien Stilette der Mandibel und die eigenartige Borste auf dem Palpfemur, von der bei den ♀♀ keine Spur zu finden ist, machen mich bedenklich.

Jedenfalls können diese Tiere mit Palpen, die an die Cunaxidae erinnern, mit den Mandibeln, die auf die Raphignathidae hinweisen, in ihrer vollkommenen Verschmelzung aber auch in dieser Familie etwas Neues bilden, weder in die eine noch in die andere Familie eingereiht werden. Es bleibt nichts anderes übrig, als für diese eine Gattung eine neue Familie aufzustellen, die den Namen *Eupalopsellidae* führen muß.

### *Familie Cryptognathidae.*

#### 74. *Cryptognathus lagena* KRAMER 1878.

Fundort: Kiefernrinde mit Flechten, 18. VIII. 49, mehrere Exemplare. Die Tiere wurden aufgefunden in Gemeinschaft mit vielen anderen, trockene Lebensräume liebenden Arten (*Oribata geniculata*, *Eupalus coecus*, *Carabodes labyrinthicus*, *Camisia segnis*, *Cyta latirostris*, *Bdella dispar* u. a.). An trockenen Stellen in Moos an Baumrinde, in Moos auf Dächern und Mauern verbreitet.

### *Familie Bdellidae.*

#### 75. *Cyta latirostris* (HERMANN 1804).

Fundorte: Sandgrube in den Dünen unter Steinen, 10. VI. 49, — 18. VI. 49, — Altes Anspüllicht von Winterhochfluten, 18. VI. 49, — Kiefernrinde mit Flechten, 18. VIII. 49, — Moos im Kieferngebüsch, 24. X. 49.

#### 76. *Spinibdella arenosa* WILLMANN 1939.

Fundort: Angespülter Fucus, Wangerooge-Ost, 16. VI. 50.

Diese Art lag bisher nur in einem beschädigten Exemplare von der Düne bei Helgoland vor. Die Einordnung in die Gattung war damals nicht ganz sicher, da die Palpen abgebrochen waren. Bei dem auf Wangerooge gefundenen Tiere waren die Palpen erhalten, und das letzte Palpenglied erwies sich als stark verkürzt und verbreitert. Die Einreihung in die Gattung *Spinibdella* ist 1939 also zu Recht erfolgt. Es scheint sich um eine im Dünenlande sehr selten auftretende Species zu handeln, da in beiden Fällen nur ein einziges Exemplar erbeutet wurde.

77. *Biscirus lapidarius* (KRAMER 1881).

Fundort: Sandgrube in den Dünen unter Steinen, 10. VI. 49, — 18. VI. 49 — 6. X. 49.

An trockenen Stellen unter Steinen weit verbreitet, findet sich bis nach Spitzbergen hinauf.

78. *Bdella dispar* (C. L. KOCH 1839).

Fundort: Kiefernrinde mit Flechten, 18. VIII. 49.

Bekannt aus Deutschland und Norwegen.

79. *Bdellodes longirostris* (HERMANN 1804).

Fundorte: Sandgrube in den Dünen unter Steinen, 18. VI. 49, — im Sand in den Dünen laufend, 19. VI. 49.

Weit verbreitet, aber nicht überall häufig.

80. *Neomolgus pallipes* (L. KOCH 1879).

Fundort: In den Dünen unter Steinen, 18. VI. 49.

Die Art wurde besonders in den nördlichen Gegenden Asiens und Europas gefunden (Sibirien, Novaja Semlja, Schweden, Norwegen, Svalbard), ist aber auch aus England bekannt und konnte auch auf Borkum und Spiekeroog nachgewiesen werden.

*Familie Cunaxidae.*

81. *Eupalus coecus* OUDEMANS 1931.

Fundorte: Altes Anspüllicht von Winterhochfluten, 18. VI. 49, — Kiefernrinde mit Flechten, 18. VIII. 49, — Ruderalplatz am „Haus Friesland“ 22. VIII. 49.

Die Art ist weit verbreitet.

*Familie Halacaridae.*

82. *Rhombognathus spinipes* VIETS 1933. (Abb. 21 a—c.)

VIETS beschreibt von dieser Art die Nymphe II von der Insel Juist, wo sie in Anspüllicht angetroffen wurde. Im Juni 1949 fand ich auf Wangerooge im Außengroden in einer Reihe von Proben ebenfalls diese Nymphen, die genau mit VIETS' Beschreibung übereinstimmen. Im Oktober dagegen fand ich an denselben Fundplätzen erwachsene Tiere, die zwar in ihrem Äußeren den von VIETS beschriebenen Nymphen ähnlich sind, besonders auch die gleichen, mit starken Dornen besetzten Beinglieder aufweisen, deren Panzerung aber eine ganz andere ist. Das Rückenschild (Abb. 21a) ist nicht geteilt, sondern vollständig zu einem Ganzen verschmolzen. Von den bei den Nymphen nur auf dem hinteren Schilde vorhandenen fünf „schuppenförmig strukturierten Längsstreifen“ laufen drei, der mittlere und die beiden äußeren, über das ganze Schild, während die beiden Zwischenstreifen vom Hinterende bis etwa zum Ansatz der Augenschilde nach vorn reichen. Auch diese Augenschilde sind mit dem Mittelschild zu einer Platte verbunden.

sind nur durch die hier etwas breiter erscheinenden seitlichen Schuppenstreifen von der übrigen Rückenpanzerung abgegrenzt. Auf dem vorderen Teile des Rückenschildes sieht man zu beiden Seiten des Mittelstreifens je vier helle Flecke.

Ventralseite (Abb. 21c): Die Ventralseite unterscheidet sich von der der Nympha dadurch, daß alle Schilder größer sind und dicht aneinander-schließen. Die Genitalöffnung ist besser ausgebildet und liegt weiter hinten als die provisorische Öffnung bei der Nympha. Genitalöffnung und Exkretionsporus berühren sich. Die Beborstung der Schilder ist die gleiche wie bei den Nymphen. — Beine wie bei der Nympha mit zwei einfachen Krallen und, besonders Bein I und II, mit kräftigen Dornen an Tibia und Tarsus (Abb. 21b).

Fundorte: Außengroden-Süd, Anspüllicht, 8. VI. 49, — Dasselbst, Wurzel-soden von *Salicornia* und anderen Pflanzen, 8. VI. 49, — ähnliche Probe an anderer Stelle, 16. VI. 49, — Altes Anspüllicht von Winterhochfluten, 18. VI. 49, — Vogelschutzgebiet-Ost, Bodenprobe mit *Salicornia*, 19. VI. 49, — Außengroden hinter der Bahn, südlich vom Friedhof, 6. X. 49, — Außengroden-Süd, *Salicornia* ausgerissen, 8. X. 49, — Vogelschutzgebiet-Ost, Außengroden, Bodenprobe, 9. X. 49, — Wangerooge-Ost, Deich, Wattseite am Fuße des Deiches, 17. I. 50. Bisher nur von der Insel Juist bekannt.

Im Juni wurden in den angegebenen Proben nur Nymphen festgestellt, in den im Oktober an den gleichen Stellen entnommenen Proben fanden sich nur geschlechtsreife Tiere (zum größten Teile ♀♀ mit Ei). Sie fanden sich auch noch in der am 17. I. 50 am Fuße des Deiches entnommenen Probe.

### 83. *Rhombognathopsis armatus* (LOHMANN 1893).

Fundorte: Die Species fand sich nur im Bewuchs (Algen und Tang) an den Pfählen der West-Bühne, und zwar sowohl im inneren, landnahen Teile, der nur bei Flut den Brandungswogen ausgesetzt ist, als auch im äußeren Teile, der nur bei tiefster Ebbe aus dem Wasser herausragt.

Daten: 12. VI. 49, — 13. VI. 49, — 6. X. 49.

Die Art ist bekannt von der französischen Küste und von Helgoland.

### 84. *Rhombognathopsis mollis* VIETS 1927.

Fundorte: die gleichen wie bei der vorigen Species, fand sich aber nur in wenigen Exemplaren. 12. VI. 49, — 13. VI. 49.

Bekannt von Helgoland.

## Familie Trombidiidae.

### 85. *Trombidium kneissli* (KRAUSSE 1915).

Fundort: Binnendeichsweide, Kuhweide, Grassoden, 9. X. 49.

Die Art ist weit verbreitet.

## Familie Erythraeidae.

### 86. *Erythraeus phalangoides* (DE GEER 1778).

Fundort: Im Sande der Dünen laufend, 19. VI. 49.

Weit verbreitet, wurde auch gefunden auf Borkum und auf der Düne von Helgoland.

87. *Erythraeus imperialis* (C. L. KOCH 1837).

Fundort: Auf Sand in den Dünen laufend, 19. VI. 49.

OUDEMANS identifiziert diese Art mit *R. rupestris* (L. 1758), ob mit Recht, erscheint mir zweifelhaft. KOCH fand sie in Zweibrücken (Rheinpfalz), ich habe sie bisher nur an einer ziemlich trockenen Stelle in Ciechocinek (Polen) gefunden. SELLSCHNIGER schickte mir Exemplare aus Ostpreußen.

88. *Balaustium murorum* (HERMANN 1804).

Fundort: Sedumpolster an der Betonmauer eines zerstörten Bunkers, 9. VI. 49.

Weit verbreitet auf von der Sonne beschienenen Mauern, auch solchen ohne Bewuchs.

89. *Balaustium tardum* (HALBERT 1915).

Fundort: Außengroden-Ost, Bodenprobe mit *Salicornia*.

Auch von HALBERT an der Küste Irlands gefunden.

90. *Balaustium longulum* WILLMANN 1951.

Fundort: Wangerooge-Ost, Deich, am Abhang der Wattseite, 17. I. 50.

Bisher nur aus dem pannonischen Klimagebiet südöstlich von Wien bekannt. Neu für die Fauna Deutschlands.

91. *Balaustium insulare* nov. spec. (Abb. 22.)

Die Species erinnert an *B. rubripes* (TROUESSART), einer an den Küsten Frankreichs, Irlands, Englands weitverbreiteten Art, die auch aus Schweden und den Färöer bekannt ist. Sie hält sich besonders innerhalb der Gezeitenzone auf, verkriecht sich bei Flut in den Felsritzen und läuft bei Ebbe auf den Felsen umher. Bei dem auf Wangerooge im Außengroden beim Westturm, an einer Stelle, die nur bei sehr hoher Flut überspült wird, gefundenen Tiere ist aber die Crista ganz anders gebaut. Sie springt mit einer großen, vorn abgerundeten „Nase“ weit über den Körperrand vor, während bei *B. rubripes* die vordere Areole fast kreisförmig ist und kaum aus dem Körperrande herausragt. Acht Borsten, wie bei der Vergleichsart, stehen auch bei der neuen Species vor den vorderen Sinneshaaren. Die Crista ist lang, ganze Länge von dem Vorrande der „Nase“ bis zur Spitze der hinteren Verlängerung beträgt 510  $\mu$ , von den vorderen bis zu den hinteren Sinneshaaren 337  $\mu$ , während TRÄGARDH für diese Entfernung bei den Tieren von den Färöer nur 150  $\mu$  angibt. Der Augenabstand beträgt 525  $\mu$ , die Länge der Rückenborsten etwa 40  $\mu$ . Die Crista ist breit, hat eine Mittelrinne, die sich in der hinteren Areole gabelt. Die beiden Gabeläste erreichen die Sinnesgruben. Die hintere Areole läuft in eine lange Spitze aus. Die ganze Crista ist von einem Schilde umgeben, das an den Seitenecken der „Nase“ beginnt, mit fast parallelen Seiten bis zur hinteren Areole verläuft und dann die Spitze der Crista in einem fast gotischen Bogen umrahmt.

Länge: 1800  $\mu$ , Breite: 1170  $\mu$ . Die Breite beträgt mehr als die Hälfte der Länge, Rückenstigmata fehlen. Länge der Beine: I: 1560  $\mu$ , II: 970  $\mu$ .



I: 1240  $\mu$ , IV: 1710  $\mu$ . Die neue Species unterscheidet sich von *B. rubripes* ERL. & TRSST., das ebenfalls acht (oder neun) glatte Haare vor den vorderen Sinneshaaren besitzt, durch die weit vorspringende „Nase“, während bei *B. rubripes* die vordere Sinnesareole den Körper Rand nicht überragt. FRÄGARDH gibt für *B. rubripes* die Beinlängen mit 900, 675, 750, 1250  $\mu$  an. Fundort: Vogelschutzgebiet-West, Außengroden beim Westturm, aus-  
erissener Salicornia-Rasen, 6. X. 49.

Holotypus: Ein Präparat in meiner Sammlung.

92. *Hauptmannia brevicollis* OUDEMANS 1910.

Fundort: Altes Anspüllicht von Winterhochfluten, 18. VI. 49, mehrere Exemplare. Diese Art ist nur als Larva bekannt.

## *Sarcoptiformes.*

### *Familie Acaridae.*

#### *Subfamilie Tyroglyphinae.*

93. *Tyrophagus dimidiatus* (HERMANN 1804).

Fundorte: Sedumpolster an zerstörtem Bunker, 9. VI. 49 — Altes Anspüllicht von Winterhochfluten, 18. VI. 49 — Ruderalplatz am „Haus Friesland“, 2. VIII. 49.

#### *Subfamilie Caloglyphinae.*

94. *Monieziella corticalis* (MICHAEL 1885).

Fundort: Süßwasserteich südlich vom Friedhof, an Litorella-Rasen, 6. X. 49.

Wahrscheinlich weit verbreitet, wurde von mir früher am Theikenmeer im Hummeling in untergetauchtem Sphagnum gefunden.

#### *Subfamilie Rhizoglyphinae.*

95. *Schwiebea talpa* OUDEMANS 1916. (Abb. 23 a, b.)

Eine kleine Species von 330  $\mu$  Länge und 180  $\mu$  Breite glaube ich mit der von OUDEMANS beschriebenen Art (Hologenotypus), die noch nicht abgebildet worden ist, identifizieren zu können. Das Propodosomata Schild ist breit, sein Seitenrand fällt vorn mit dem Körper Rande zusammen bis etwas hinter den Beinen I, von hier an wird es etwas schmaler, reicht aber mit seiner breiten, fast gerade abgeschnittenen Hinterkante bis fast an die Grenzfurche zwischen Propodosoma und Hysterosoma heran. Die beiden langen Haare auf dem hinteren Propodosoma stehen seitlich von der Hinterkante des Schildes. Das Gnathosoma ist von oben gut zu sehen, es überragt also den Vorderrand des Körpers. Die Beine sind kurz, Bein I und II kräftig, wie für die Gattung charakteristisch. Tarsen noch kürzer als z. B. bei *S. cavernicola* VITZTHUM oder *S. ipidis* VITZTHUM, auch der starke

Dorn vor dem Sinneskolben ist kürzer als bei den beiden Vergleichsarten (Abb. 23b). Die Oldrüsen heben sich deutlich ab, und ihr Porus ist gut zu erkennen.

Fundort: In Wiesenboden, Grassoden ausgestochen auf der Binnendeichswiese in der Nähe des Deichschartes für die Inselbahn nach dem Ostanleger 19. VI. 49, ein gravidus ♀.

OUDEMANS hat sein Exemplar bei Bonn in vermodertem Laub gefunden.

Hologenotypus: Ein ♀, in der Sammlung OUDEMANS im Rijksmuseum van Natuurlijke Historie in Leiden.

### *Subfamilie Glycyphaginae.*

96. *Glycyphagus domesticus* (DE GEER 1778).

Fundort: Weiden und Wiesen, 24. X. 49.

Überall verbreitet.

### *Subfamilie Anoetinae.*

97. *Histiostoma maritimum* (OUDEMANS 1914).

Fundort: Anspülicht von alten Winterhochfluten, 18. VI. 49.

Die Art wurde von OUDEMANS als heteromorphe Deutonympha von der Insel Terschelling beschrieben, auf Wangerooge wurden daneben auch adulate ♀♀ erbeutet. Neu für die deutsche Fauna.

### *Familie Hyadesidae.*

98. *Hyadesia fusca* (LOHMANN 1896).

Fundorte: Bühnenpfähle, Westbühne, Bewuchs, innerer Teil, 12. VI. 49 — Fucus von Sand überspült, NO-Strand, 11. VI. 49 — Fucus, Westbühne, Bühnenpfähle am äußeren Ende, nur bei Ebbe frei vom Wasser, 13. VI. 49 — Algenbewuchs an Bühnenpfählen, 13. VI. 49 — Dasselbst, 6. X. 49, — Altes Anspülicht von Winterhochfluten, 18. VI. 49.

### *Oribatei.*

#### *Familie Hypochthoniidae.*

99. *Brachychthonius brevis* (MICHAEL 1888).

Fundorte: Bühnenpfähle, Westbühne, Bewuchs, innerer Teil, 12. VI. 49 — Weit verbreitet, kommt eigentlich mehr in feuchten Moormoosen vor.

100. *Brachychthonius bimaculatus* WILLMANN 1936.

Fundort: Heide westlich des Friedhofes, 17. IV. 50.

Bisher nur bekannt aus Wiesenboden in Schlesien (Mähwiese bei Hundsfield [Breslau]). (WILLMANN 1936.)

101. *Brachychthonius nodosus* nov. spec. (Abb. 24a, b.)

Länge: 228  $\mu$ , Breite: 140  $\mu$ .

Anfänglich glaubte ich, das Tier als Subspecies zu *Brachychthonius scalaris* FORSSLUND stellen zu können, nachdem aber Herr Dr. STRENZKE mir lebenswürdigerweise einige von FORSSLUND selbst gesammelte und determinierte Exemplare aus Norwegen zugänglich gemacht und auch das vorliegende Tier von Wangerooge untersucht hat, sind wir zu der Überzeugung gekommen, daß hier eine Species vorliegt, die sich von *B. scalaris* deutlich unterscheiden läßt. (Abb. 24a.)

*B. scalaris* ist kleiner, die Größe beträgt im Durchschnitt 201/134  $\mu$ . FORSSLUND gibt auf dem Propodosoma drei Höhenstufen an, hier ist nur eine Leiste dicht vor den Lamellarhaaren zu finden, so daß also nur zwei Stufen vorhanden sind. Bei *B. scalaris* liegt zwischen dieser Leiste und der Rostral Spitze noch eine zweite Leiste, diese fehlt bei der Wangerooger Art. Das Tier ist hellgelb, die Rostralhaare stehen am Vorderrande. Die vier Paare hellen Flecke, die *B. scalaris* zwischen den Interlamellarhaaren und dem Hinterrande des Propodosoma aufweist, sind hier zu zwei großen länglichen Flecken verschmolzen. Seitlich von ihren distalen Enden sehen wir jederseits noch einen hellen Fleck. Die pseudostigmatischen Organe zeigen die Gestalt eines nicht ganz flach ausgebreiteten Farnwedels, der Rand ist jederseits sehr fein zerschlitzt (Abb. 24b). FORSSLUND gibt für *B. scalaris* eine geschlossene, feinbehaarte Keule an. Die Exostigmalhaare stehen hinter einer gewölbten Leiste.

Die Beborstung des Hysterosoma stimmt mit der der Vergleichsart überein. Auf dem ersten Segment finden wir jederseits drei Flecke, die beiden ersten stoßen zusammen und liegen in der Schultergegend, der dritte Fleck liegt zwischen b/1 und b/3 (nach JACOBS Zählung). Besonders zu erwähnen ist eine Schlitzpore schräg hinter a/1 (zwischen a/1 und b/3). Der Schlitz setzt sich in einen runden Porus nach innen fort. Eine solche Bildung ist bei anderen *Brachychthonius*-Arten noch nicht beobachtet worden. Auf dem zweiten Segment habe ich keine hellen Flecke feststellen können. Auf dem dritten Segment sehen wir zwischen den beiden Borsten c/1 eine erhabene Leiste, sie wird nach hinten breiter und schließt mit einem konvexen Bogen ab. Außen neben den beiden Borsten c/1 sehen wir zwei stark umrandete, kreisrunde Gruben, und davon ausgehend eine erhöhte Leiste, die die beiden Borsten c/2 in einem weiten, nach hinten konvexen Bogen umgibt. Am inneren Seitenrande zwischen c/4 und d/3 ist jederseits noch ein schwach ausgebildeter heller Fleck zu bemerken.

Fundort: Wangerooge, Weiden und Wiesen, 24. X. 49.

### *Familie Malaconothridae.*

102. *Trimalaconothrus glaber* (MICHAEL 1888).

Fundort: Süßwasserteich, südlich vom Friedhof in untergetauchtem *Littorella*-Rasen, zahlreich, 6. X. 49.

Bisher in Deutschland selten gefunden (Moos am Ufer des Silkteiches, Untergrube bei Lübeck), aber auch in einem Hochmoore der Hohen Tauern in 1600 m Höhe.

### Familie Camisiidae.

#### 103. *Platynothrus peltifer* (C. L. KOCH 1840).

Fundorte: Dünental, Bodenprobe, ziemlich feucht, 15. VI. 49 — Binne deichsweide, Pferdeweide beim Deichschart, 19. VI. 49 — Kuhweide hint dem Süddeich, 9. X. 49 — Wangerooge-Ost, Abhang des Deiches, Landseit 17. I. 50. Die Art ist weit verbreitet.

#### 104. *Camisia segnis* (HERMANN 1804), GRANDJEAN.

Fundorte: Sandgrube im Kieferngebüsch, unter Steinen, 8. VI. 49 — Ki fernrinde mit Flechten, 18. VIII. 49.

Weit verbreitet, charakteristisch für häufig austrocknende Lebensräume, Moos a Baumrinde usw.

### Familie Hermanniiidae.

#### 105. *Hermannia pulchella* nov. nom.

Fundort: Wangerooge-Ost, Deich, Wattseite, unten am Fuße des Deiche 17. I. 50.

Unter dem Namen *Hermannia scabra* (L. KOCH 1879) sind bisher zw Formen miteinander vermengt worden, die sich in ihrer Rückenstruktur deutlich unterscheiden lassen. Die Unterschiede sind so beträchtlich, da es geraten erscheint, zwei gute Species daraus zu machen. Die eine Art, die ich auf Wangerooge, Norderney (beiderwärts in den Wattwiesen) und an der Außenweser (hier an Fadenalgen in kleinen, von der Flut zurückgebliebenen Wasseransammlungen) gefunden habe, die in der Sammlung OUDEMANS von der Insel Borkum und aus Finnland vertreten ist, und die STRENZKE an der Küste Holsteins festgestellt hat, hat einen ziemlich glatten dunklen Panzer, der sehr fein und dicht perforiert erscheint. Unter der Oberfläche sieht man ein feines Netzwerk mit Maschen von 15—20  $\mu$  Durchmesser. Die Tiere müssen stark aufgehell't werden, oder man muß den Rückenpanzer abheben, um die Netzmaschen erkennen zu können. Bei der anderen Art ist der Rücken ziemlich unregelmäßig mit kleinen, erhabenen Knötchen besetzt, die selten Maschen bilden, aber sich weiter hinten an dem Rücken zu Längsreihen aneinanderschließen. Leider sind die L. KOCH'schen Typen nicht mehr aufzufinden, und so ist es schwer zu entscheiden, welche dieser beiden Arten die wirkliche *H. scabra* ist. Da STRENZKE Material aus Grönland die Form mit den erhabenen Knötchen vorgelegen hat, ist anzunehmen, daß KOCH diese Species auch in Sibirien und Nova Semlja gefunden hat. Das wäre dann die typische *H. scabra*. Die Art ist weit verbreitet, sie wurde auch in der Umgebung von Bremen in Moos am Fuße alter Mauern und Bauernhäuser gefunden, aus dem gleichen Lebensraume liegt sie vor aus Admont (Steiermark).

Die an der Nord- und Ostsee als Küstenform auftretenden, bisher auch als *H. scabra* bezeichneten Tiere haben somit noch keinen Namen. Ich nenne sie *Hermannia pulchella* nov. nom. — *Hermannia scabra* wird fern von der Küste Schwedens (SELLNICK 1949), Island (SELLNICK 1940), Wes



rönland (JÖRGENSEN 1934) gemeldet, ohne daß über die Struktur etwas angegeben wird. Ohne die Tiere gesehen zu haben, ist nicht zu entscheiden, um welche der beiden Arten es sich in diesen Fällen handelt. Daselbe gilt für *Hermannia nodosa* (MICHAEL 1888), einen Namen, den MICHAEL selbst 1896 (Tierreich, Lfg. 3) gegen *H. scabra* zurückgezogen hat.

### Familie Eremaeidae.

106. *Suctobelba trigona* (MICHAEL 1888).

Fundort: Kiefernwäldchen neben dem „Meeresstern“, 22. VIII. 49.

Die Art ist weit verbreitet.

107. *Oribata geniculata* (L. 1758), OUDEMANS.

Fundorte: Kiefernrinde mit Flechten, 18. VIII. 49 — Moos von einer Steinmauer, 18. VIII. 49. Beides sind charakteristische Lebensräume für diese Species, die von anderen Autoren auch mit dem Namen *Phauloppia conformis* (BERLESE) belegt wird.

108. *Oribata berlesei* (LEONARDI 1895).

Fundort: Wattwiesen im Osten, Quellerregion, 23. VIII. 49, ein Exemplar. Diese große Art, die in Italien an Baumrinde und trockenen Baumstümpfen beobachtet wurde, einzeln auch in Deutschland in Moos auf Dächern und an Baumstümpfen festgestellt werden konnte, kann nur durch Vögel in diesen gänzlich unzugänglichen Lebensraum verschleppt worden sein.

109. *Hydrozetes terrestris* BERLESE 1910.

Fundort: Süßwasserteich südlich des Friedhofes an untergetauchtem *Stellaria*-Rasen, zahlreich, 6. X. 49.

### Familie Carabodidae.

110. *Scutovertex minutus* (C. L. KOCH 1836).

Fundorte: Sandgrube unter Steinen im Kieferngebüsch, 8. VI. 49 — Daselbst von Kiefern geklopft, 9. VI. 49 — Altes Anspüllicht von Winterhochfluten, 18. VI. 49, — Ruderalplatz am „Haus Friesland“, 22. VIII. 49 — Weidefläche beim Anleger-West, 18. I. 50.

Die Art ist charakteristisch für niedrige, häufig austrocknende Moosrasen.

111. *Tectocephus velatus* (MICHAEL 1880).

Fundorte: Binnendeichsweide, Pferdeweide beim Deichschart, 19. VI. 49 — Wangerooge-Ost, Deichböschung, Landseite, 17. I. 50 — Daselbst, Deichböschung Wattseite, 17. I. 50 — Kiefernwäldchen neben dem „Meeresstern“, 22. VIII. 49 — Weiden und Wiesen, 24. X. 49.

Sehr weit verbreitet, reicht nordwärts bis ins arktische Gebiet, kommt auch in den Alpen in höheren Lagen vor.

112. *Carabodes labyrinthicus* (MICHAEL 1879).

Fundort: Kiefernrinde mit Flechten, 18. VIII. 49. Dies ist der typische Lebensraum für die Art. Die einzige *Carabodes*-Species, die auch auf Norweger- und Spiekeroog gefunden wurde.

113. *Xenillus tegeocranus* (HERMANN 1804).

Fundort: Wangerooge-Ost, Deichböschung, Landseite, 17. I. 50 — Dasselbe Deichböschung, Wattseite, 17. I. 50.

Weit verbreitet, besonders in feuchten Wiesen.

### *Familie Ameronothridae.*

114. *Ameronothrus nigrofemoratus* (L. KOCH 1879).

Fundort: Außengroden-Süd, Algenrasen am Boden, 9. VI. 49. — Die Art wurde auf Juist im Anspüllicht gefunden, ist von den anderen ostfriesischen Inseln noch nicht bekannt.

115. *Ameronothrus (Hygroribates) schneideri* (OUDEMANS 1905).

Fundorte: Außengroden-Süd im Anspüllicht, 8. VI. 49 — Dasselbst an Salicornia mit Wurzelsoden, 8. VI. 49 — Dasselbst, Algenrasen am Boden, 9. VI. 49 — Dasselbst, ausgerissener Queller, Andelgras u. a., 16. VI. 49 — Altes Anspüllicht von Winterhochfluten, 18. VI. 49 — Außengroden-Ost im Vogelschutzgebiet, Salicornia-Rasen, 19. VI. 49 — Außengroden südlich vom Friedhof, 6. X. 49 — Außengroden-Süd, Salicornia, ausgerissen, 8. X. 49 — Vogelschutzgebiet-Ost, Bodenprobe mit Salicornia, 9. X. 49 — Wangerooge-Ost, Deich, Wattseite, unten am Fuße des Deiches, 17. I. 50.

Diese im Außengroden am häufigsten vorkommende *Ameronothrus*-Species ist ebenfalls bekannt aus Borkum (OUDEMANS' Typenexemplare), Norderney und Spiekeroog (WILLMANN 1937).

116. *Ameronothrus (Hygroribates) spoofti* (OUDEMANS 1899).

Fundorte: Pfähle der Westbühne, Algenbewuchs des inneren Teiles (der Lande zugekehrt), 12. VI. 49 — Dasselbst, Fucus am äußeren Ende der Bühne, nur bei tiefer Ebbe frei von Wasser, 13. VI. 49. Die Species konnte nur innerhalb der Brandungszone am Bewuchs der Bühnenpfähle festgestellt werden.

OUDEMANS (1899) beschreibt die Art aus Abo, Finnland, HALBERT (1920) gibt sie für Irland an, und ich habe sie 1932 an Grünanlagen in einer kleinen Wasseransammlung am Rande des Außengrodens an der Wesermündung (Land Wurster) angetroffen (WILLMANN 1933, 1937).

### *Familie Scheloribatidae.*

117. *Scheloribates laevigatus* (C. L. KOCH 1836).

Fundorte: Binnendeichsweide, Pferdeweide beim Deichschart (Wangerooge-Ost), 19. VI. 49 — Mähwiese, Binnendeich, südlich des Bahnhofes, 8. X. 49 — Binnendeichsweide, hinter dem Süddeich, Kuhweide, 9. X. 49 — Weiden und Wiesen, 24. X. 49 — Ostdeich, Wattseite, am Fuße des Deiches, 17. I. 50.

Diese im Wiesenboden sehr weit verbreitete Art wurde auf Spiekeroog im Genist der Wattwiesen gefunden (WILLMANN 1937), das stimmt etwa mit der letzten Fundstelle aus Wangerooge überein (Deichfuß an der Wattseite). Beide Lebensräume stehen bei jeder höheren Flut unter dem Einfluß des Seewassers.

118. *Eporibatula gessneri* WILLMANN 1931.

Fundort: Moos von einer Steinmauer, 18. VIII. 49.

Bekannt aus dem Moosebruch im Altvatergebirge in niedrigen Moosrasen an Baumrinde (WILLMANN 1931) und von den Spiegglitzer Seefeldern im Gebiete des Harzter Schneeberges an mit Flechten bewachsener Rinde der Krüppelfichten (WILLMANN 1939).

119. *Liebstadia similis* (MICHAEL 1888).

Fundorte: Altes Anspüllicht von Winterhochfluten, 18. VI. 49 — Mäh-  
diese, Binnendeich, südlich des Bahnhofes, 8. X. 49 — Wangerooge-Ost,  
Deichböschung, Landseite, 17. I. 50 — Dasselbst, Deichböschung, Wattseite,  
17. I. 50.

Eine sehr weit verbreitete Art.

120. *Liebstadia humerata* SELLNICK 1928.

Fundort: Kiefernrinde mit Flechten, 18. VIII. 49.

Diese von SELLNICK aus dem Zehlaubbruch (Ostpreußen) beschriebene Art konnte  
er in einem Exemplar festgestellt werden. STRENZKE hat sie (laut brieflicher  
Mitteilung) auch in Holstein mehrfach gefunden.

*Familie Ceratozetidae.*

121. *Trichoribates trimaculatus* (C. L. KOCH 1836).

Fundorte: Sandgrube unter Steinen im Kieferngehölz, 8. VI. 49 — Da-  
selbst, von Kiefern geklopft, 9. VI. 49 — Dünenal, von Sanddorn geklopft,  
8. VI. 49 — Altes Anspüllicht von Winterhochfluten, 18. VI. 49 — Wanger-  
ooge-Ost, Moos, Kieferngebüsch, 24. X. 49 — Wangerooge-Ost, Deich-  
böschung, Landseite, 17. I. 50 — Dasselbst, Deichböschung, Wattseite,  
17. I. 50 — Weidefläche beim Anleger-West, 18. I. 50.

Sehr weit verbreitet, besonders an Baumrinde, aber auch im Wiesenboden nicht  
falsch.

122. *Trichoribates incisellus* (KRAMER 1897).

Fundorte: Altes Anspüllicht von Winterhochfluten, 18. VI. 49 — Wanger-  
ooge-Ost, Deichböschung, Wattseite, 17. I. 50.

Weit verbreitet, auf den Ostfriesischen Inseln bisher nachgewiesen auf Borkum  
(typisch KRAMERS), Norderney und Spiekeroog (WILLMANN 1937).

128. *Punctoribates quadrivertex* (HALBERT 1920).

Fundorte: Außengroden-Süd, Anspüllicht, 8. VI. 49 — Dasselbst, Salicornia  
und andere Wattpflanzen, Wurzelsoden, 8. VI. 49 — Dasselbst, ausgerissener  
Wattweiler, Andelgras usw., 16. VI. 49 — Vogelschutzgebiet-Ost, Außengroden,  
Bodenprobe, 19. VI. 49 — Dasselbst, 9. X. 49 — Dasselbst, altes Genist,  
16. X. 49 — Außengroden-Süd, Salicornia, 8. X. 49 — Vogelschutzgebiet-  
West, Außengroden beim Westturm, 6. X. 49 — Außengroden südlich des  
Bahnhofes, Salicornia-Rasen, 6. X. 49 — Wangerooge-Ost, Deichfuß, Watt-  
seite, 17. I. 50.

Weitere Verbreitung: Juist, Spiekeroog, Dangast am Jadebusen (WILLMANN  
1937), Irland (HALBERT 1920). Im Außengroden Wangerooges außerordentlich  
häufig.

### Familie Oribatellidae.

#### 124. *Oribatella calcarata* (C. L. KOCH 1836).

Fundort: Sandgrube unter Steinen im Kieferngebüsch, 8. VI. 49.

Weit verbreitet, für die Inselfauna nicht charakteristisch.

#### 125. *Oribatella arctica litoralis* STRENZKE 1951.

Fundorte: Vogelschutzgebiet-West, beim Westturm, Außengroden, Salicornia-Bestand, 6. X. 49 — Außengroden im Osten, Statice-Rasen, 23. VIII. 49.

Die Hauptart wurde von SIG THOR aus Svalbard beschrieben (SIG THOR 1931). STRENZKE entdeckte die Subspecies an den Küsten Holsteins.

### Familie Notaspidae.

#### 126. *Notaspis coleopratus* (L. 1758).

Fundort: Mähwiese, Binnendeich, südlich des Bahnhofes, 8. X. 49.

Die Art ist weit verbreitet, sie ist für die Insel nicht charakteristisch.

### Familie Pelopidae.

#### 127. *Pelops acromius* (HERMANN 1804).

Fundort: In Dünentälern von Sanddorn geklopft, 18. VI. 49.

An der Rinde von Bäumen und Sträuchern weit verbreitet.

#### 128. *Pelops curtispilis* BERLESE 1916.

Fundorte: Mähwiese, Binnendeich, südlich des Bahnhofes, 8. X. 49 — Wangerooge-Ost, Deichböschung, Landseite, 17. I. 50 — Dasselbst Deichböschung, Wattseite, 17. I. 50.

Diese auf Wangerooge im Wiesenboden mehrfach gefundene Art glaube ich mit *P. curtispilis* BERLESE identifizieren zu können. Größe, Länge der Borsten usw. weisen auf diese Art hin. Die Länge der auf Wangerooge gefundenen Exemplare beträgt etwa 450  $\mu$ , die Borsten sind sehr kurz. Vergleicht man die kurzen Diagnosen, die BERLESE 1916 von einer ganzen Reihe von *Pelops*-Arten veröffentlicht hat (alle ohne Abbildung), so könnte nach der Größe und der Kürze der Borsten diese Art vorliegen; die Bestimmung ist aber nicht sicher.

*P. curtispilis* wurde von BERLESE in Moos bei Vallombrosa (Italien) gefunden, eine andere Species, die auch vielleicht in Frage kommen könnte, ist *P. depilatus* BERLESE aus Sizilien. Die Art ist neu für die Fauna Deutschlands.

#### 129. *Peloptulus phaenotus* (C. L. KOCH 1844).

Fundorte: Altes Anspüllicht von Winterhochfluten, 18. VI. 49 — Binnenweide hinter dem Süddeich, Kuhweide, 9. X. 49 — Kiefernwäldchen neben dem „Meeresstern“, 22. VIII. 49 — Weiden und Wiesen, 24. X. 49 — Wangerooge-Ost, Deichböschung, Wattseite, 17. I. 50 — Wangerooge-Ost, unter Pappeln und Weiden, 24. X. 49 — Weidefläche beim Westanleger, 18. I. 50. Die Art ist auf Wangerooge häufig, sie wurde auf den anderen ostfriesischen Inseln noch nicht festgestellt.



## Die verschiedenen Lebensräume.

Ich habe bei meinen Untersuchungen das Hauptgewicht gelegt auf die Fauna des Außengroden, der Wattwiesen, und der Fauna im Bewuchs der Bühnenpfähle. Im Außengroden, der die ganze Insel von Osten nach Westen an der Wattküste begleitet, wurden 16 Proben entnommen. Von den Bühnenpfählen kamen vier Proben zur Untersuchung. Es gibt auf Vangerøge am Westende nur eine einzige Bühne, die mit hochstehenden, den Steindamm überragenden, dicht mit Tang und Algen bewachsenen Pfählen versehen ist. Der untere, meerwärts gerichtete Teil der Bühne wird auch bei Ebbe von den Brandungswellen bespült und steht bei Flut tief unter Wasser, während der obere, dem Lande genäherte Teil nur bei Flut im Bereich der Brandung liegt und nur kurze Zeit dem Seewasser ausgesetzt ist. Im Juni war der Bewuchs sehr üppig. Als ich im Oktober wieder nach der Insel kam, war der Bewuchs sehr gering. Wahrscheinlich hatte kurz vorher eine Reinigung der Pfähle stattgefunden. Der Außengroden wird bei Flut ebenfalls vom Seewasser bis an den Fuß des Deiches überspült, aber das Wasser läuft dort meist sehr ruhig an, und es gibt bei normalen Fluten keine Brandungswellen. Diese beiden Lebensräume lassen sich hinsichtlich ihrer Milbenfauna gut charakterisieren. Einmal ist festzustellen, daß die Zahl der Arten im Außengroden viel größer ist als an den Bühnenpfählen. Das ist selbstverständlich, da auf den Wattwiesen mit ihrem zum Teil sehr dichten Bewuchs mit den verschiedensten halophilen Pflanzengemeinschaften sich für die Milben viel größere Lebensmöglichkeiten ergeben als auf den Bühnenpfählen, die unter dem Einfluß der starken Brandung stehen. So treffen wir auf den Wattwiesen auch manche Vertreter solcher Gattungen an, die sonst nur auf dem Lande zu finden sind. Es mischen sich hier Formen der Landfauna mit solchen, die auf den Einfluß des Seewassers angewiesen sind. Wenn wir diese Biotope charakterisieren wollen, so müssen wir uns zunächst auf gleiche Gattungen beschränken, die durch verschiedene Arten in den beiden Lebensräumen vertreten sind. So findet sich z. B. *Ameronothrus schneideri* nur in den Wattwiesen, dort aber meist in großer Zahl (bis zu 100 Exemplaren in einer Probe), seltener ist *Ameronothrus nigrofemoratus* anzutreffen. In dem Bewuchs der Bühnenpfähle, besonders im Fucus, wurde dagegen nur *Ameronothrus* (*Hygroribes*) *spooii* gefunden. Ebenso können diese beiden Lebensräume durch ihre Halacariden charakterisiert werden. In den Wattwiesen fand sich nur *Rhombognathus spinipes*, an den Bühnenpfählen dagegen *Rhombognathopsis armatus* meist zahlreich und *Rhombognathopsis mollis* in wenigen Exemplaren. An anderen Arten wurden an den Bühnenpfählen nur *Halaelaps marinus*, *Nanorchestes amphibius* und *Hyadesia fusca* gefunden. Im Herbst nach der Reinigung der Bühnenpfähle wurde in dem spärlichen Bewuchs kein *Ameronothrus* mehr festgestellt, von *Rhombognathopsis armatus* konnte auch nur noch ein Exemplar erbeutet werden, während *Hyadesia fusca* und *Nanorchestes amphibius* noch zahlreich vorkamen und von *Halaelaps marinus* auch noch sieben Exemplare ein-

gebracht wurden. — Die Milbenfauna im Außengroden, sei es an *Salicornia herbacea*, *Atropis maritima*, *Statice Limonium*, *Triglochin maritima*, *Plantago maritima* oder anderen Pflanzen der Wattwiesen und ihrem Wurzelwerk, ist stets viel reichhaltiger. Neben den drei schon genannten Arten finden wir hier *Punctoribates quadrivertex*, der stets in zahlreichen Exemplaren vertreten ist, *Episeius necorniger*, *Phaulodiaspis repletus*, *Laelapsoides dentatus*, *Lasioseius salinus*, *Eugamasmus trouessarti*, *Cheylostigmaeus scutatus*, *Oribatella arctica litoralis*, *Halolaelaps nodosus*, *Pygmephorus maritimus*, *Lasioseius marinus*, *Digamasellus halophilus*, *Tydeus marinus*, *Tydeus halophilus*, *Balaustium insulare*, von denen die meisten zu den innerhalb der Gezeitenzonen lebenden Arten zu zählen sind, sind wurden in den eingedeichten Weiden und Wiesen oder innerhalb des Dünengeländes nicht angetroffen. Die sieben zuletzt genannten Species sind neu für die Wissenschaft, die meisten anderen wurden durch HALBERTSMA'S Untersuchungen an den Küsten Irlands bekannt, sind aber, mit Ausnahme der drei zuerst genannten, an den deutschen Küsten früher noch nicht festgestellt worden.

Ich habe ferner Gewicht darauf gelegt, die Fauna des trockenen Dünenandes festzustellen. Hier konnten natürlich keine Bodenproben mit dem Berlese-Trichter ausgesiebt werden, es konnte sich nur um Handfänge handeln. Die Ausbeute ist daher gering, aber charakteristisch. An größeren auffälligen Arten findet man im Dünenande laufend: *Erythraeus phalangoides*, *E. imperialis*, *Anystis baccarum*, *Tarsotomus sabulosus* (?), *Bdellodes longirostris*. Kleinere Arten, die so ohne weiteres im Sande nicht zu erblicken sind, findet man am leichtesten an der Unterseite von Steinen, die von zerstörten Militärbauten überall im Dünengelände herumliegen. Als besonders charakteristisch hebe ich zunächst die neue *Rhagidia arenaria* hervor. Dieses zarte, weiße Tierchen wäre im Sande kaum aufzufinden gewesen. An der Unterseite der Steine konnte es auch nicht erkannt werden, man sah nur ein mit ungeheurer Geschwindigkeit herumwirbelndes Pünktchen, dessen Bewegungen man schwer verfolgen konnte, und das noch schwieriger mit dem Pinsel zu fangen war. An Arten, die ruhig unter den Steinen saßen oder sich nur langsam bewegten, konnten noch folgende erbeutet werden: *Cyta latirostris*, *Neomolgus pallipes* und *Biscirus lapidarius*, es sind also besonders Vertreter der Bdellidae, die unter den Steinen im Dünenande angetroffen wurden.

Eine regelrechte Mischfauna fand sich im alten Anspülicht, das hoch über der Marke der Sommerfluten am Fuße der Dünen im östlichen Teile der Insel von Winterhochfluten zurückgeblieben war, dort, wo keine eingedeichten Wiesen vorgelagert sind. In dem Genist waren viele der aus den Wattwiesen (Außengroden) bekannten Arten am Leben geblieben, also z. B. *Ameronothrus schneideri*, *Phaulodinychus repletus*, *Rhombognathus spinipes*, *Hyadesia fusca*, *Cheylostigmaeus scutatus*, *Laelapsoides dentatus*; daneben fanden sich aber auch Tiere wie *Cyta latirostris*, *Spinibdella arenosa*, die nur aus dem Dünenand in diesen ihnen wohl reichliche Nahrung

bietenden Lebensraum übergewechselt sein können. Außerdem wurden viele Arten erbeutet, die weder für den Außengroden noch für den Dünenrand charakteristisch sind, sondern auch überall im Wiesenboden auftreten: *Liebstadia similis*, *Amblygamasus septentrionalis germanicus*, *Peloptulus phaenotus*, *Eviphis siculus*, *Zercon spatulatus*, *Pergamasus runciger*, die neue Species *Ereynetes insularis* und manche andere in einzelnen Exemplaren.

Die Bodenproben, die von den eingedeichten Wiesen und Weiden an den verschiedensten Stellen entnommen wurden, boten eine reiche Milbenfauna, die aber für die Insel nicht charakteristisch ist. Es handelt sich meist um Arten, die auch an anderen Orten im Wiesenboden vorkommen. Hervorzuheben ist hier der mehrfach auftretende *Cocceupodes paradoxus*, den erst WEIS-FOGH vor kurzem (1947/48) aus Dänemark beschrieben hat. In anderen Wiesenböden, deren Milbenfauna von mir untersucht wurde (schlesische Wiesenböden, alpine Wiesenböden im Gebiete der Hohen Tauern und in der Steiermark, bei Ciechocinek in Polen), ist die Art nicht gefunden worden. In diesem Lebensraume wurde auch der neue *Eupodes acuminatus* angetroffen. Sonst sind besonders die *Digamasellus*-Arten (*D. frenzeli*, *D. angulosus*), die ich zuerst aus schlesischen Wiesenböden beschrieben habe (WILLMANN 1936), zu nennen. Hinzu kommen *Digamasellus brevipilis*, der von E. LEITNER in der Steiermark entdeckt wurde, und die neue Species *D. crassitarsalis*. — Interessant waren die drei Proben, die vom Deich an der Ostseite der Insel entnommen wurden, und zwar einmal an der Böschung der Landseite, dann an der oberen Hälfte der dem Watt zugekehrten Böschung und drittens an der Wattseite am Fuße des Deiches. Während die Fauna der ersten beiden Proben sich von der des Wiesenbodens hinter dem Deiche kaum unterscheiden ließ, fand sich am Fuße des Deiches eine Fauna, die schon weitgehend vom Meerwasser beeinflusst war. Fast alle Arten, die ich für die Wattwiesen als charakteristisch angegeben habe, konnten hier festgestellt werden, so z. B. *Ameronothrus schneideri*, *Punctoribates quadrivertex*, *Rhombognathus spinipes*, *Cheylestigmaeus scutatus*, *Episeius necorniger*, *Eugamasus trouessarti*, *Laelapsoides dentatus* usw. Daneben fanden sich echte Landtiere, wie *Scheloribates laevigatus*, *Parasitus hortivagus*, *Amblyseius obtusus* u. a. Nur hier wurde *Hermannia pulchella* gefunden, die STRENZKE als Mitglied der Begleitfauna von *Oribatella arctica litoralis* angibt.

An trockenen Lebensräumen wurden folgende untersucht: Kiefernwäldchen beim „Meeresstern“, Kiefernrinde mit Flechten, Moos auf einer Steinmauer, Sedum-Polster an der Betonwand eines zerstörten Bunkers, Heide neben dem Friedhof. Beginnen wir mit dem letzten Biotop. Das Heidekraut (*Calluna vulgaris*) wurde mit den Wurzeln ausgerissen, die Bodenfauna also zum Teil mit erfaßt. Hier konnte eine Reihe von Arten festgestellt werden, die sonst auf der Insel nicht angetroffen wurden. Neben *Brachychthonius bimaculatus*, der aus schlesischen Wiesenböden bekannt ist, wurden *Nanorchestes arboriger*, *Alicorhagia clavipilis*, *Cocceupodes*



*paradoxus* und *Tarsonemus floricolus* erbeutet. Besonders hervorzuheben sind aber der neue *Amblyseius callunae* und sieben ♀♀ von *Eupalopsellus ölandicus*, dessen mutmaßliches ♂ an mit Flechten bewachsener Kiefernrinde gefunden wurde. An dieser Kiefernrinde und in dem niedrigen Moosrasen auf einer Steinmauer wurden außer *Oribata geniculata*, der in beiden Proben in zahlreichen Exemplaren vorkam, noch *Cryptognathus lagena*, *Carabodes labyrinthicus*, *Camisia segnis*, *Liebstadia humerata*, *Eporibatulus gessneri*, die von ähnlichen Biotopen aus Mähren und Schlesien bekannt ist, *Lorryia (Raphitydeus) raphignathus*, *Lorryia concinna*, sowie die neue Gattung und Art *Neognathus insolitus* festgestellt. *Balaustium murorum*, das für trockene, von der Sonne erwärmte Mauern und Felsen charakteristisch ist, wurde in dem Sedum-Polster an einem zerstörten Bunker gefunden und hätte sicherlich bei Sonnenschein auch frei an der Bunkerwand umherlaufend angetroffen werden können.

Im Oktober wurde die Milbenfauna im Litoral eines mit dichtem Rasen der untergetauchten Form von *Litorella uniflora* bestandenen Süßwasserseiches untersucht. Vier kleine Teiche liegen dicht beieinander südlich des Friedhofes. Sie wurden, nach Mitteilung der Inselbewohner, schon vor dem ersten Weltkriege als Wasserreservoir für Kleingärtner angelegt. Aber nur der östlichste dieser vier Tümpel ist mit *Litorella uniflora* bewachsen und nach Mitteilung von Herrn Dr. KLEMENT, der die Insel pflanzensoziologisch untersucht hat, ist dies „die einzige Stelle, wo *Litorella uniflora* in der sterilen, submersen Form auftritt“. Dagegen wurde „die Landform in einigen Exemplaren in einem ausgetrockneten Tümpel beim Westturm und in einem Bombentrichter des ehemaligen Flugplatzes angetroffen“. (KLEMENT in lit.) Es wurden mehrere Büschel dieses *Litorella*-Rasens mit Wurzeln herausgerissen; die Auslese mit dem BERLESE-Trichter ergab folgende Arten: *Trimalaconothrus glaber* und *Hydrozetes terrestris* in großer Zahl (257 und 176 Exemplare), den neuen *Imparipes hydrophilus* in 60 Exemplaren und *Monieziella corticalis* in einem Exemplare. Wie immer bei derartigen Lebensräumen mit extremen Bedingungen ist die Zahl der Arten gering, aber die Individuenzahl groß. Bemerkenswert ist hier der Fund des neuen *Imparipes hydrophilus*. Es ist dies die erste *Imparipes*-Species, überhaupt die erste *Scutacaride*, die submers an untergetauchten Pflanzen angetroffen wurde. Auffällig ist bei diesem Tier die Ausbildung der Krallen an den Tarsen II und III, die mit eigenartigen Haftballen ausgerüstet sind, die bei anderen Arten noch nicht beobachtet wurden. *Trimalaconothrus glaber* wurde erst in wenigen Exemplaren in Deutschland gefunden (Silkteich am Ufer der Trave unterhalb Lübecks), auch *Hydrozetes terrestris* wird bei uns nicht häufig angetroffen, die Art scheint östlich der Elbe stärker verbreitet zu sein. Sie wurde z. B. in großer Zahl im Litoral ostholsteinischer Seen im Aufwuchs an Pfählen festgestellt (MEUCHE 1939) und konnte von mir ebenfalls in Sphagnum am Ufer des Silkteiches zusammen mit *Trimalaconothrus glaber* gefunden werden (WILLMANN 1932). *Monieziella corticalis* wurde schon einmal am Theikenmeer im Hümmling in untergetauchtem Sphagnum angetroffen (WILLMANN 1939).



Zusammenfassend ist zu sagen, daß bei der Untersuchung der terrestrischen Milbenfauna Wangerooges 129 Arten in zum Teil großer Individuenzahl festgestellt werden konnten (40 Parasitiformes, 52 Trombidiformes, 37 Sarcoptiformes). Dieses Ergebnis ist insofern erstaunlich, da ich nach sonstigen Erfahrungen erwarten mußte, daß die Sarcoptiformes, besonders die Oribatei, viel stärker vertreten sein würden als die Trombidiformes und Parasitiformes. An Oribatei wurden nur 32 Arten erbeutet. Unter den 129 Species wurden 18 neue Arten festgestellt, ein Zeichen dafür, daß auch die Fauna unserer engeren nordwestdeutschen Heimat noch längst nicht restlos erforscht worden ist. 21 Arten waren neu für die deutsche Fauna, von zwei Arten konnten die bisher unbekannten ♂♂ beschrieben werden (*Cheylostigmaeus scutatus* und *Eupalopsellus ölandicus*), und von *Rhombognathus spinipes*, von dem bisher nur die Nymphe II bekannt war, wurden auch die geschlechtsreifen Tiere erbeutet. Bei manchen Arten, die bisher aus dem Mittelmeerraum und einige auch aus den Alpen bekannt waren und die auf Wangerooge in wenigen, meist nur in einem Exemplare gefunden wurden, könnte man auf den Gedanken kommen, daß sie durch Zugvögel, angeheftet an den Füßen oder im Gefieder, verschleppt worden seien. Ich spreche dies nur als Vermutung aus, ein Beweis liegt dafür nicht vor.

### Anhang.

Anhangsweise mögen hier die von Dr. HELMUT PAUL und in zwei Fällen von Dr. ERICH JACOB gesammelten Schmarotzermilben von Kleinsäugetern genannt werden. Es wurden 13 Species festgestellt, so daß sich damit die Gesamtausbeute an Milben auf 142 Arten erhöht.

130. *Laelaps agilis* C. L. KOCH 1836.

Wirtstier: Die Waldmaus (*Apodemus sylvaticus*), von 24 gefangenen Waldmäusen waren 13 mit *L. agilis* besetzt.

131. *Laelaps hilaris* C. L. KOCH 1836.

Wirtstiere: Die Feldmaus (*Microtus arvalis*) und die Waldmaus. Die 15 gefangenen Feldmäuse waren sämtlich mit *L. hilaris* besetzt, außerdem fand die Art sich noch an zwei Waldmäusen.

132. *Laelaps pachypus* C. L. KOCH 1839.

Wirtstier: Die Feldmaus. Ein Tier war von diesem Schmarotzer befallen.

133. *Eulaelaps stabularis* (C. L. KOCH 1839).

Wirtstiere: Waldmaus und Feldmaus, und zwar fand sich die Milbe an zehn Waldmäusen und einer Feldmaus.

134. *Euhaemogamasus ambulans* (THORELL 1872).

Wirtstiere: Waldmaus und Feldmaus. Vier Feldmäuse und eine Waldmaus waren mit dieser Milbe besetzt.

135. *Hirstionyssus arcuatus* (C. L. KOCH 1839).

Wirtstiere: Waldmaus, Feldmaus, Wanderratte (*Rattus norvegicus*) und Feldspitzmaus (*Crocidura leucodon*). Sechs Waldmäuse, zwei Feldmäuse, eine Wanderratte und eine Feldspitzmaus waren befallen, die letztere mit sehr vielen Exemplaren (76 ♂♂, ♀♀ und Nymphen). Die Feldspitzmaus wurde am 9. VII. 49 von Dr. E. JACOB gefangen.

136. *Hirstionyssus isabellinus* (OUDEMANS 1913).

Wirtstier: Waldmaus, ein Exemplar.

137. *Lasioseius hypudaei* (OUDEMANS 1902).

Wirtstiere: Die Milbe wurde gefunden viermal an der Waldmaus und einmal an der Feldmaus. Es handelt sich hier um keinen eigentlichen Schmarotzer, sondern um einen Mitbewohner der Nester, der auch häufig im Fell der Nager angetroffen wird.

138. *Macrocheles decoloratus* (C. L. KOCH 1839), OUDEMANS 1913.

Wirtstier: Die Art wurde einmal an der Waldmaus gefunden. Es gilt für sie dasselbe, wie für die vorige Species, sie ist kein echter Schmarotzer. OUDEMANS beschreibt die Art aus Maulwurfnestern.

139. *Myobia musculi* (SCHRANK 1781).

Wirtstier: Eine Waldmaus.

140. *Myocoptes musculus* (C. L. KOCH 1839).

Wirtstiere: Waldmaus und Feldmaus. Dieser verhältnismäßig selten zu Beobachtung kommende Schmarotzer konnte auf Wangerooge an einer Waldmaus und zwei Feldmäusen festgestellt werden.

141. *Dermanyssus gallinae* (DE GEER 1778).

Wirtstier: Ein Haushuhn.

142. *Knemidocoptes mutans* (ROBIN 1860).

Wirtstier: Haushuhn. Diese bei *Gallus domesticus* Kalkbeine erzeugende Milbe konnte auch auf Wangerooge festgestellt werden, da ein mit dieser Krankheit behaftetes Huhn im Kleingartengelände der Insel beobachtet werden konnte. (Mitteilung von Dr. JACOB.)

Anschrift des Verfassers:

Dr. Carl Willmann, Bremen 13, Lobbendorfer Straße 10.

## Schriftenverzeichnis.

- BERLESE, A., Acari nuovi. Manipulus III. Redia II, 1904.
- BERLESE, A., Monografia del genere *Gamasus* ..... Redia III, 1906.
- BERLESE, A., Centuria sesta di Acari nuovi. Redia XV, 1923.
- BERLESE, A. & E. TROUËSSART, Diagnoses d'Acariens nouveaux ou peu connus. Bull. Biblio. Scientif. de l'Ouest, 1889.
- FONSECA, F. DA, A Monograph of the Genera and Species of Macronyssidae OUDEMANS 1936 (syn: Liponyssidae VITZTHUM 1931) Acari. Proc. Zool. Soc., London, Vol. 118, Pt. II, 1948.
- FORSSLUND, K.-H., Schwedische Oribatei (Acari) I. Arkiv Zool. 34 A, Nr. 10, 1942.
- FRANZ, H., Die Landtierwelt der mittleren Hohen Tauern. Ein Beitrag zur tiergeographischen und -soziologischen Erforschung der Alpen. Wien, 1943.
- FRANZ, H. & M. BEIER, Zur Kenntnis der Bodenfauna im pannonischen Klimagebiet Österreichs. II. Die Arthropoden. Ann. Naturhist. Mus. Wien, Bd. 56, 1948.
- HALBERT, J. N., Terrestrial and marine Acarina. Clare Island Survey, Pt. 39/II. Proc. Roy. Irish Acad., Vol. 31, 1915.
- HALBERT, J. N., The Acarina of the Seashore. Proc. Roy. Irish Acad., Vol. 35, B, Nr. 7, 1920.
- KOCH, C. L., Deutschlands Crustaceen, Myriapoden und Arachniden. Regensburg, 1836—1844.
- KOCH, L., Arachniden aus Sibirien und Novaja Semlja. Kgl. Svensk. Vetensk. — Akad. Handl., Bd. 16, Nr. 15, 1879.
- LEITNER, E., Zur Kenntnis der Gattung *Digamasellus* BERL. 1905. Zentralbl. Gesamtgeb. Entomologie. III. 1949.
- MEUCHE, A., Die Fauna im Algenbewuchs. Nach Untersuchungen im Litoral ostholsteinischer Seen. Arch. Hydrobiol. Bd 34, 1939.
- MICHAEL, A. D., British Oribatidae, Vol. I u. II, London 1884 u. 1888.
- OUDEMANS, A. C., New List of Dutch Acari. Second Part. With remarks on known and description of a new subfamily, new genera and species. Tijdschr. Ent. XLV, No. 1/2, 1902.
- OUDEMANS, A. C., Drei neue Acari von der Insel Borkum. Abh. Nat. Ver., Bremen, Bd. 17/1, 1901.
- OUDEMANS, A. C., Acariden von Borkum und Wangerooge. Abh. Nat. Ver., Bremen, Bd. 18/1, 1904.
- OUDEMANS, A. C., Die bis jetzt bekannten Larven von Trombidiidae und Erythraeidae. Zool. Jb., Suppl. XIV, Heft 1, 1912.
- OUDEMANS, A. C., Acarologische Aanteekeningen LII. Ent. Ber. 4, Nr. 76.
- OUDEMANS, A. C., Beschrijving van een weinig bekende en drie nieuwe soorten van Anoetus. Tijdschr. Ent., Bd. 57, 1914.
- OUDEMANS, A. C., Acari, verzameld bij Bonn. Ent. Ber., IV, 88, 1916.
- OUDEMANS, A. C., Neues über Anystidae (Acari). Arch. Natg. N.F. Bd. 5, Heft 3, 1936.
- OUDEMANS, A. C., *Laelaps*-Studien. Tijdschr. Ent. LXX, 1927.
- PAOLI, G., Monografia dei Tarsonemidi. Redia VII/1, 1911.
- SCHNEIDER, O., Die Tierwelt der Nordseeinsel Borkum, unter Berücksichtigung der von den übrigen friesischen Inseln bekannten Arten. Abh. Nat. Ver., Bremen, Bd. 16/1, 1900.
- SCHWEIZER, J., Beitrag zur Kenntnis der terrestrischen Milbenfauna der Schweiz. Verhdlg. Naturw. Ges., Basel, Bd. 33, 1922.
- SELLNICK, M., Die Oribatiden (Hornmilben) des Zehlaubbruches. Schrift. Phys.-ökon. Ges., Königsberg, Bd. 66/2, (Zehlau-Heft, Teil 2), 1929.

- SELLNICK, M., Milben von der Küste Schwedens. Ent. Tidskrift, 70/3, 1949.
- STRENZKE, K., *Oribatella arctica litoralis* n. subsp., eine neue Oribatide der Nord- und Ostseeküste (Acarina: Oribatei). Kieler Meeresforschungen, Inst. Meereskunde Univ. Kiel, VII, 2, 1950.
- STRENZKE, K., Die norddeutschen Arten der Gattungen *Brachychthonius* und *Brachychochthonius* (Acarina: Oribatei). Deutsche Zoologische Zeitschr., Bd. H. 3, 1951.
- STRENZKE, K., Die adulten Stadien von *Gamasodes bispinosus* und die systematische Stellung der Gattung *Gamasodes* (Acarina: Parasitiformes). Zool. Anz. Bd. 147, H. 1/2, 1951.
- THOR, SIG, Beiträge zur Kenntnis der invertebraten Fauna von Svalbard. Skriftene om Svalbard og Ishavet. Nr. 27, 1930.
- THOR, SIG, Neue Beiträge zur Kenntnis der invertebraten Fauna von Svalbard. Zool. Anz. 107, 1934.
- THOR, SIG & C. WILLMANN, Das Tierreich, Lfg. 71 a u. b, Berlin, 1942 u. 1947.
- TRÄGARDH, I., Monographie der arktischen Acariden, Fauna Arctica, Bd. IV, Lfg. 1904.
- TRÄGARDH, I., Terrestrial Acarina. Zoology of the Faeroes, 1931.
- VIETS, K., Die Halacariden der Nordsee. Zeitschr. wiss. Zoolog., Bd. 130, 1927.
- VIETS, K., Halacaridae, in: GRIMPE & WAGLER, Tierwelt der Nord- und Ostsee, Teil XI, c. 1927.
- VIETS, K., Kleine Sammlungen in- und ausländischer Wassermilben. Zool. Anz. 104, 9/10, 1933.
- VIETS, K., Wassermilben oder Hydracarinen, in: DAHL, F., Die Tierwelt Deutschlands und der angrenzenden Meeresteile. Jena, 1936.
- VITZTHUM, H., Graf, Milben, Acari, in: Die Tierwelt Mitteleuropas, III, Lfg. 3/VI, 1929.
- WEIS-FOGH, T., Ecological Investigations on Mites and Collembolus in the soil. Natura Jutlandica, I. Naturhist. Mus. Aarhus, 1947/48.
- WILLMANN, C., Moosmilben oder Oribatiden (Oribatei), in: DAHL, Die Tierwelt Deutschlands und der angrenzenden Meeresteile. Teil 22, Jena, 1931.
- WILLMANN, C., Neue Acari aus schlesischen Wiesenböden. Zool. Anz. 113, 11/12, 1936.
- WILLMANN, C., Beitrag zur Kenntnis der Acarofauna der Ostfriesischen Inseln. Abh. Nat. Ver., XXX, 1/2, 1937.
- WILLMANN, C., Terrestrische Acari der Nord- und Ostseeküste. Abh. Nat. Ver. Bremen, XXXI/3, 1939.
- WILLMANN, C., Milben aus Schwedisch Lappland. Arch. Hydrobiol., XL, (Ausg. THIENEMANN-Festband, Heft 1), 1943.
- WILLMANN, C., Über eine Milbenausbeute aus dem Naturschutzgebiet „Verlorene Wasser“ bei Panten (Kr. Liegnitz). Abh. Nat. Ver. Bremen, XXXII/2, 1944.
- WILLMANN, C., Beiträge zur Kenntnis des Salzgebietes von Ciechocinek. 1. Milben aus den Salzwiesen und Salzmooren von Ciechocinek an der Weichsel. Veröff. Mus. Bremen, A 1, 1949.
- WILLMANN, C., Zur Frage der *Laelaps*-Milben auf Mäusen, in: JACOB, Parasitologische Notizen IV. Berliner u. Münchener Tierärztl. Wochenschr. 1944, Nr. 6.
- WILLMANN, C., Untersuchungen über die terrestrische Milbenfauna im pannonischen Klimagebiet Österreichs. Sitzungsber. Österr. Akad. Wiss., math.-naturw. Kl., Abt. I, 160. Bd., 1/2 Heft, Wien, 1951.
- WILLMANN, C., Die hochalpine Milbenfauna der mittleren Hohen Tauern, insbesondere des Großglocknergebietes (Acari). Bonner Zoolog. Beiträge. Zoolog. Forschungsinst. u. Museum Alexander Koenig, Bonn, Jg. 2. Hft. 1/2, 1950.



# Verzeichnis der Abbildungen

## Tafel 26.

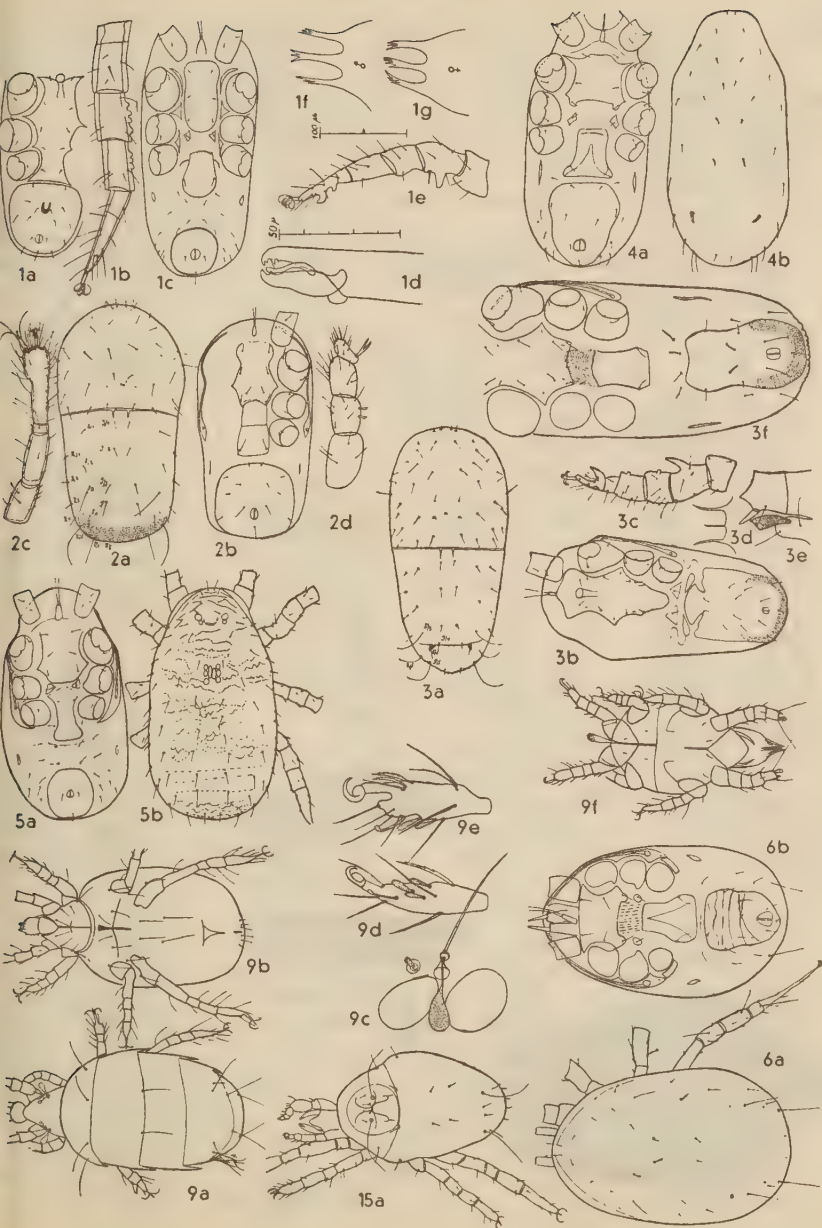
1. *Halolaelaps nodosus* n. sp.  
a. ♂ ventral, b. ♂ Bein IV, c. ♀ ventral, d. ♂ Mandibel, e. ♂ Bein II, f. ♂ Epistom, g. ♀ Epistom.
2. *Digamasellus crassitarsalis* n. sp.  
a. dorsal, b. ♀ ventral, c. ♂ Bein I, d. ♂ Palpe.
3. *Digamasellus halophilus* n. sp.  
a. ♂ dorsal, b. ♂ ventral, c. ♂ Bein II, d. ♂ Epistom, e. Corniculus maxillaris und Palptrochanter, f. ♀ ventral.
4. *Lasioseius marinus* n. sp.  
a. ♀ ventral, b. ♀ dorsal.
5. *Lasioseius insularis* n. sp.  
a. ♀ ventral, b. ♀ dorsal.
6. *Amblyseius callunae* n. sp.  
a. ♀ dorsal, b. ♀ ventral.
9. *Pygmephorus maritimus* n. sp.  
a. ♀ dorsal, b. ♀ ventral, c. linke Hälfte des Propodosoma schräg seitlich, d. Tarsus I dorsal, e. Tarsus I lateral, f. ♂ ventral. Ferner Tafel 28, Abb. 9g.)
5. *Ereynetes insularis* n. sp., a. dorsal. (Abb. 15b auf Tafel 27.)

## Tafel 27.

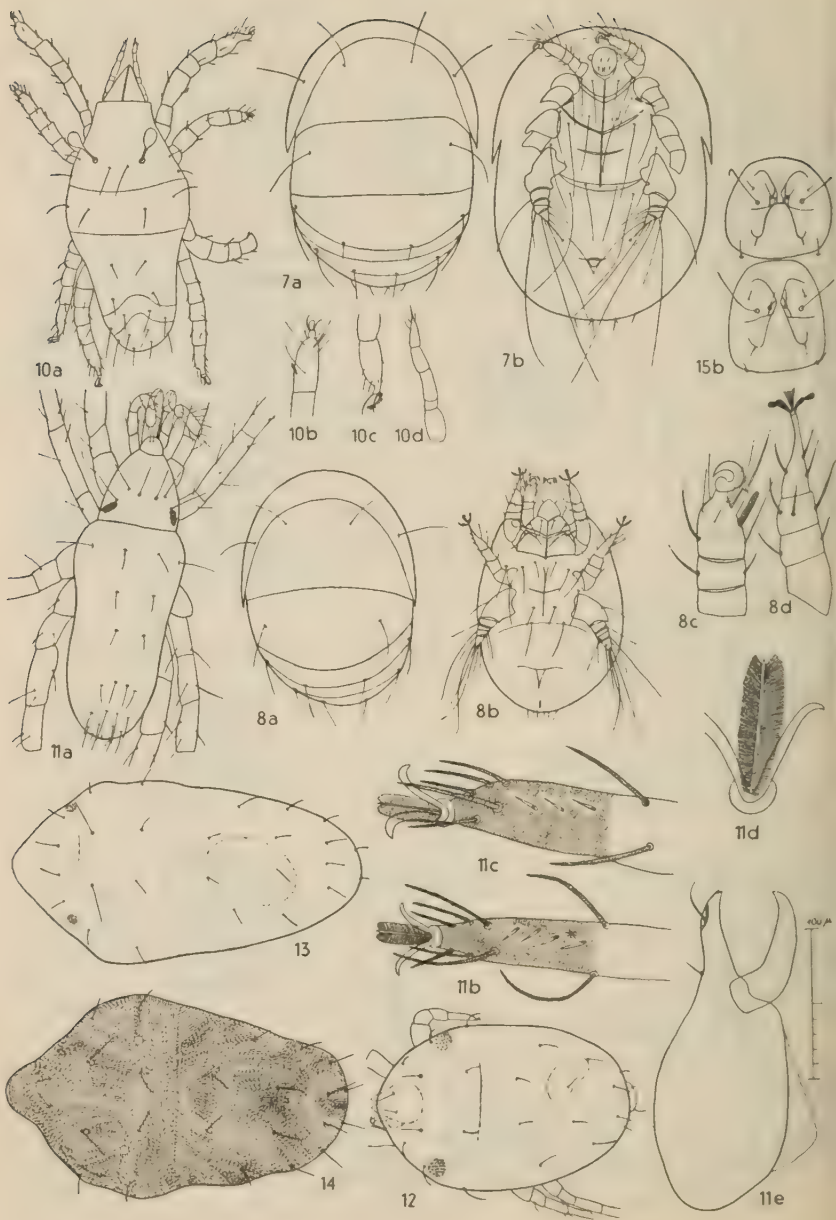
7. *Imparipes degenerans italicus* BERL.  
a. ♀ dorsal, b. ♀ ventral.
8. *Imparipes hydrophilus* n. sp.  
a. ♀ dorsal, b. ♀ ventral, c. ♀ Bein I, d. ♀ Bein III.
0. *Coccalicus clavatus* n. sp.  
a. Nymphe dorsal, b. Tarsus I, c. Tarsus IV, d. Palpe.
1. *Rhagidia arenaria* n. sp.  
a. dorsal, b. Tarsus I, c. Tarsus II, d. Krallen und Empodium, e. Mandibel.
2. *Tydeus maximus* n. sp., dorsal.
3. *Tydeus marinus* n. sp., dorsal.
4. *Tydeus halophilus* n. sp., dorsal.
- 5b. *Ereynetes insularis* n. sp., Propodosomatale Schild von zwei verschiedenen Tieren. (S. Abb. 15a, Tafel 26.)

- 9g. *Pygmephorus maritimus* n. sp., ♂ dorsal. (S. Tafel 26, Abb. 9a—f.)
16. *Eupodes ocellatus* n. sp., a. dorsal, b. Bein IV.
17. *Eupodes acuminatus* n. sp., dorsal.
18. *Cheylostigmaeus scutatus* (HALBERT), ♂, Maxillarorgan mit Palpen.
19. *Neognathus insolitus* n. g., n. sp.  
a. dorsal, b. Mandibel und Palpen, c. Girlande der Peritrèmata  
d. Bein I, e. Endanschwellung des rechten Peritremas, f. Mandibel.
20. *Eupalopsellus ölandicus* SELLNICK.  
a. ♂ dorsal, b. ♂ lateral, c. Penis, d. Haustellum, e. Mandibel, f. Palp  
mit Mandibel, lateral, g. Tarsus III.
21. *Rhombognathus spinipes* VIETS.  
a. Adultus dorsal, b. Bein I, c. Adultus ventral.
22. *Balaustium insulare* n. sp., Propodosoma dorsal.
23. *Schwiebea talpa* OUDEMANS.  
a. ♀ dorsal, b. Tarsus I.
24. *Brachychthonius nodosus* n. sp.  
a. dorsal, b. pseudostigmatisches Organ.

# Tafel 26



# Tafel 27





# Tafel 28





# Zum Lebenszyklus von *Gammarus duebeni* LILLJ. nebst einigen Bemerkungen zur Biologie von *Gammarus zaddachi* SEXTON subsp. *zaddachi* SPOONER<sup>1)</sup>

Von Otto Kinne

- I. Einleitung
- II. Literaturbesprechung
- III. Biotopbeschreibung und Materialgewinnung
- IV. Untersuchungsergebnisse
  - 1. Größenverhältnisse im Jahreszyklus
  - 2. Fortpflanzungsverhältnisse
    - A. Sex ratio
    - B. Ruhezeit
    - C. Fortpflanzungszeit
    - D. Eiproduktion
  - 3. Auftreten rotäugiger Jungen
  - 4. Epidemieartiger Parasitenbefall bei *G. duebeni*
  - 5. *G. z. zaddachi*
  - 6. Schlußbetrachtung
- Zusammenfassung

## I. Einleitung.

Da die Gammariden einerseits vielfach spezielle ökologische Eigenheiten aufweisen, andererseits oft in Massen auftreten, ist die Kenntnis ihres Lebenszyklus für die Beurteilung eines Lebensraumes von besonderer Bedeutung, zumal sie auch als Nahrungstiere für Nutzfische eine große Rolle spielen. Für derartige Untersuchungen erscheint ein abgeschlossener Lebensraum besonders geeignet.

Die vorliegenden Untersuchungen an *Gammarus duebeni* LILLJ. wurden im Zusammenhang mit experimentellen Laboruntersuchungen (KINNE, 1952) angestellt, auf die wir im folgenden verschiedentlich Bezug nehmen werden. Eine eingehendere Darstellung des Lebenszyklus von *G. z. zaddachi* SEXTON (subsp. *zaddachi* SPOONER 1947<sup>2)</sup>) kann wegen des z. T. zu geringen Zahlenmaterials nicht gegeben werden, einzelne Untersuchungsergebnisse werden jedoch auf Seite 200 mitgeteilt.

<sup>1)</sup> Für die Anregung zu dieser Arbeit danke ich Herrn Prof. Dr. H. FRIEDRICH.

<sup>2)</sup> Für die Bestimmung danke ich Herrn Dr. SEGERSTRÄLE, der mir auch in ausführlichen Diskussionen wertvolle Hinweise gab.

## II. Literaturbesprechung.

Soweit wir feststellen konnten, liegen bisher relativ wenige Untersuchungen über den Lebenszyklus der in unserem Gebiet vorkommenden Amphipoden vor. Die umfangreichen Untersuchungen von BLEGVAD (1922) an *G. locusta* sind in manchen Teilen nur mit einem gewissen Vorbehalt zu Vergleichszwecken heranzuziehen, da sich das von BLEGVAD als *G. locusta* angesprochene Material nach SEGERSTRÅLE (1947) aus drei verschiedenen Arten zusammensetzte.<sup>1)</sup> LEGUEX (1922) stellte bei *G. duebeni* (Küste von Calvados) fest, daß die ♀ nur dreimal nacheinander Eier abzulegen vermögen und dann unter Reduktion der Oostegitenrandborsten in einen Ruhezustand eintreten. Diese Erscheinung konnte an unserem Material nicht bestätigt werden (S. 194). Die im Labor durchgeführten Untersuchungen ergaben, daß ein ♀ u. U. sieben bis zehn Ovipositionen nacheinander ausführen kann, ohne daß es zu einer Reduktion der Oostegitenborsten kommt und machen wahrscheinlich, daß der Eintritt des Ruhezustandes bei *G. duebeni* primär durch jahreszeitliche Faktoren induziert wird (KINNE, 1952). — Zu erwähnen sind ferner vor allem die Untersuchungen von SEGERSTRÅLE an *Corophium volutator* (1937b, 1940), *Pontoporeia affinis* (1937a) und an *P. femorata* (1938). CHENG (1941) untersuchte im Gorad-y-Gyt-Strom die Produktionsverhältnisse der vier Arten *G. duebeni*, *Marinogammarus obtusatus*, *M. marinus* und *M. stoereus* und stufte deren „Fruchtbarkeit“ (Eianzahl) in der Reihenfolge *M. stoereus* > *M. marinus* > *G. duebeni* > *M. obtusatus* ein. Die im November, Dezember und März entnommenen *G. duebeni*-Proben (insgesamt 254 Tiere) ergaben, daß die Eiproduktion im März ihren höchsten Wert erreicht. Da der genannte Autor als Bezugsgröße das Körpergewicht zugrundelegt und keine Angaben über die Temperatur- und Salzgehaltsverhältnisse des Fangplatzes macht, ist ein direkter Vergleich mit unseren Ergebnissen (Bezugsgröße: Körperlänge, best. Umweltbedingungen) nicht ohne weiteres möglich. Die bereits von BLEGVAD (1922) erwähnte Regel, nach der die Eianzahl bei den Crustaceen mit der Größe des Muttertieres zunimmt, wird von CHENG für *G. duebeni* bestätigt (vgl. auch S. 196). Außerdem findet CHENG, daß die unterschiedliche Produktionsleistung der von ihm untersuchten Arten keine Beziehung zur Größe der Species — etwa in dem Sinne, daß eine große Art mehr Eier legte als eine kleine — aufweist, und kommt damit zu dem gleichen Ergebnis wie SEXTON (1928). Über die Biologie und Ökologie des in Finnland und Schweden vornehmlich in den „rock pools“ lebenden *G. duebeni* liegen von SEGERSTRÅLE (1946) und FORSMAN (1951) ausführliche, interessante Beobachtungen vor, die sich allerdings weniger mit einer geschlossenen Darstellung des Lebenszyklus befassen.

## III. Biotopbeschreibung und Materialgewinnung.

Das für die vorliegenden Untersuchungen verwandte Material (490 *G. duebeni* u. 1646 *G. z. zaddachi*) stammt aus dem „Kleinen Kiel“, einem brackigen Flachgewässer innerhalb der Stadt Kiel. Der „Kleine Kiel“, im Mittelalter ein Meeresarm, wurde im Laufe des 19. Jahrhunderts bis etwa zur Hälfte seiner ursprünglichen Ausdehnung zugeschüttet und von der Ostsee isoliert (SIEVERT, 1950). Er ist heute 7,5 ha groß und steht durch

<sup>1)</sup> Unter den etwa 210 von SEGERSTRÅLE untersuchten Tieren befanden sich nur 7 *G. locusta*, während der Rest *G. z. oceanicus* und *G. z. salinus* war (p. 238).



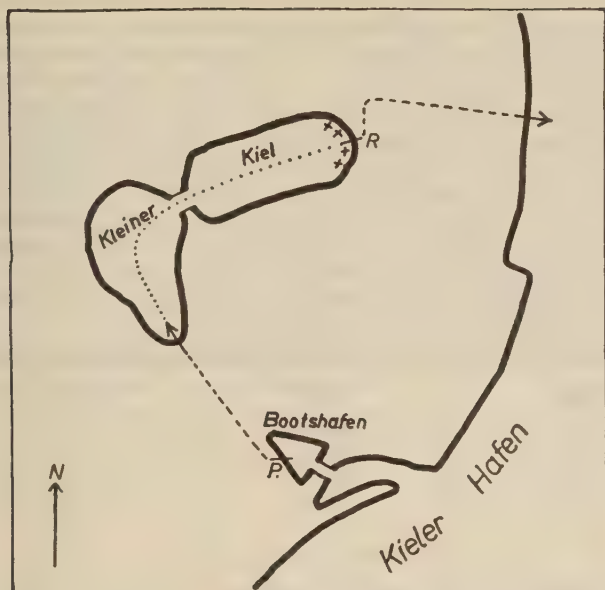


Abb. 1. Lageskizze und schematische Übersicht über die Bewässerungsverhältnisse des „Kleinen Kiels“.

Rohrleitungen mit dem Kieler Hafen in Verbindung (Abb. 1). Da der zum großen Teil mit Faulschlamm bedeckte Untergrund bei normalem Wasserstand an einigen Stellen trockenfällt und das stagnierende Gewässer in diesem Zustand einen üblen Geruch ( $H_2S$ ) verbreitet, wird der „Kleine Kiel“ vom Bootshafen her durch eine Pumpstation (P) mit Ostseewasser versorgt, das an der Ostseite des Gewässers durch eine zweite Rohrleitung wieder in den Hafen abfließt. Dabei sorgt ein Regulator (R) dafür, daß der Wasserstand stets 25 cm höher als im Hafen ist, ein Trockenfallen des „Kleinen Kiels“ also vermieden wird.

Der Salzgehalt, der schon im Kieler Hafen ziemlich beträchtliche Schwankungen aufweist, variiert im „Kleinen Kiel“ noch wesentlich stärker. Der Grund dafür ist wohl vor allem darin zu suchen, daß das sehr flache Gewässer mit seiner großen Oberfläche an warmen und windigen Tagen stark evaporiert (Konzentrationszunahme) und bei Regenwetter große Mengen an Süßwasser zugeführt werden (Konzentrationsabnahme). Besonders der letztere Umstand wirkt sich sehr stark aus, da auch das Regenwasser der umliegenden Gebiete z. T. in den „Kleinen Kiel“ abgewässert wird.

Wegen der geringen Tiefe herrscht neben den wechselnden Salzgehaltsbedingungen auch ein rauhes Temperaturklima und ein ausgeprägter jährlicher Gang der Temperatur (Abb. 2). — Im ganzen stellt der „Kleine Kiel“ also einen spezifischen Biotop mit z. T. extremen Lebensbedingungen dar. Das spricht sich faunistisch in dem Vorhandensein typischer Monokulturen — Artenarmut bei großer Individuenzahl — aus. Die charakteristischen Vertreter der Makrofauna sind: die Amphipoden *G. duebeni* und *G. z. zaddachi*, die Isopoden *Sphaeroma hookeri* und *Jaera albifrons*, die Dekapoden *Palaemonetes varians*, und neuerdings auch *Carcinus maenas*, *Neomysis vulgaris*, Balaniden, Polychaeten (bes. Nereiden), *Cardium edule*, *Mya arenaria*, seltener *Mytilus edulis*, *Hydrobia*, Gobiiden und *Gasterosteus aculeatus*. Neben verschiedenen Krustenalgen sind die Enteroformen die augenfälligsten Vertreter der Flora.

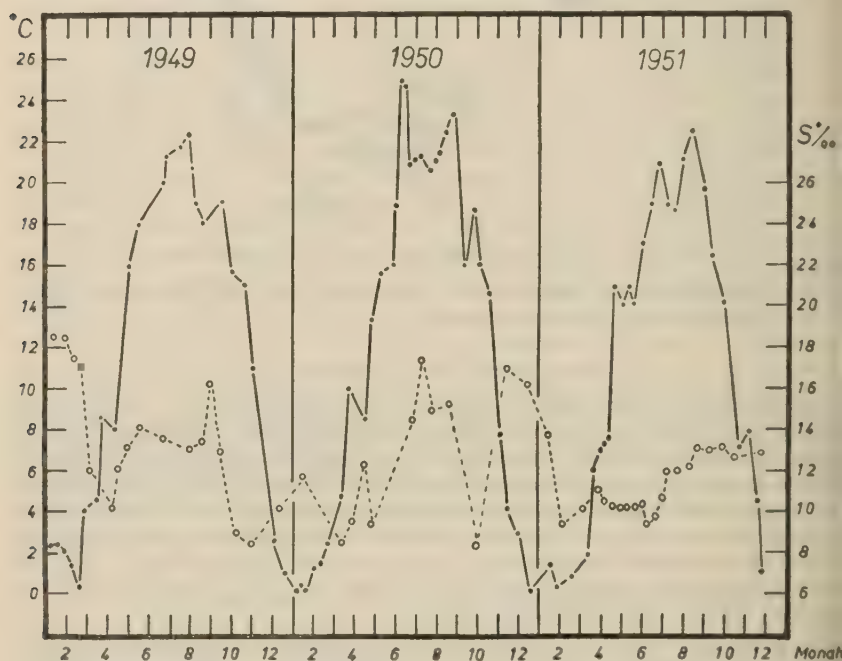


Abb. 2. Temperatur- und Salzgehaltsverhältnisse im „Kleinen Kiel“ (Fangstelle!) während der Jahre 1949/51.

Jede Temperaturangabe (.) ist ein Mittelwert aus drei Einzelmessungen in 10 bis 40 cm Wassertiefe. Die eingezeichneten Salzgehaltswerte stellen Einzelmessungen dar und wurden mit einem Refraktometer ermittelt.

Anmerkung: Einige Temp.- und Salzgehaltsmessungen von 1949 verdanke ich Herrn Dr. Bock und Herrn cand. rer. nat. BUCHHOLZ.

Die im „Kleinen Kiel“ gesammelten Tierproben wurden von Juli 1950 bis Juli 1951 in etwa einmonatlichen Abständen einem sich 40 bis 50 m weit erstreckenden Uferstreifen an der Ostküste des Gewässers entnommen (Abb. 1, Kreuze). Der Bodengrund besteht hier aus relativ festem Schlicksand, der von stark mit Balaniden besetzten Steintrümmern bedeckt ist. — Beim Einsammeln der Gammariden wurden Steine aus verschiedenen Tiefen (bis 50 cm) heraufgeholt und die daran sitzenden Tiere in ein Netz gespült. Da sich besonders die jungen Tiere und die ♀ tief in die leeren Balanidengehäuse hineinzwängen und sich dort versteckt halten, werden bei flüchtigem Abspülen vor allem die größeren ♂ und die präkopulierenden Paare gefangen. Um einen möglichst wirklichkeitsgetreuen Querschnitt der jeweils herrschenden Verhältnisse auch im Hinblick auf die Sex ratio (S. 193) zu bekommen, erwies es sich daher als notwendig, die mit ihrem „Wohnstein“ aus dem Wasser heraufgeholten Gammariden quantitativ mit einer Pinzette aus ihren Verstecken herauszupräparieren. — Die sich mit Vorliebe in den Enteromorphenrasen aufhaltenden jüngsten Entwicklungsstadien (2 bis 3 mm) wurden nicht berücksichtigt; für die zahlenmäßige Erfassung der 3 bis 4 mm großen Tiere muß eine gewisse Unsicherheit angenommen werden.

Als Körpergröße wird die Entfernung von der Vorderkante des Kopfes bis zur Basis des Telsons bei ausgestrecktem Körper angegeben. — Die gefangenen Tiere wurden in vierprozentigem Formol fixiert und möglichst rasch aufgearbeitet.

#### IV. Untersuchungsergebnisse.

Da in der vorliegenden Arbeit als Bezugsgröße die Körperlänge zurundegelegt wird, erscheint es wichtig, einige kurze Bemerkungen über die mögliche Schwankungsbreite der Größe bei gleichaltrigen Individuen voranzuschieken.

Um diese Schwankungsbreite experimentell zu ermitteln, wurden die frisch geschlüpften Geschwister zweier Brutsätze von 38 bzw. 42 Jungtieren auf Einzelgläser verteilt, bei 20° C und 10 ‰ unter gleichartigen Ernährungsbedingungen (KINNE, 1952) aufgezogen und in etwa vierzehntägigen Abständen deren Körperlänge gemessen. Die Versuche wurden abgebrochen, nachdem die Krebse eine Durchschnittsgröße von 13 mm erreicht hatten. Zu dieser Zeit lebten noch 73 Tiere. — Aus den Größenschwankungen des ersten Brutsatzes ergibt sich eine mittlere Schwankungsbreite von 0,5 mm, bei dem zweiten eine solche von 0,42 mm. Die maximalen Größenunterschiede dagegen betrugen bis zu 1,1 mm! (bei 12 mm Durchschnittsgröße). — Wenn auch eine direkte Übertragung dieser Ergebnisse auf die Verhältnisse im „Kleinen Kiel“ nicht ohne weiteres gerechtfertigt erscheint, muß doch bei Rückschlüssen von der Größe auf das Lebensalter eines Tieres bzw. bei einem Vergleich gleichgroßer Tiere mit einem nicht unbeträchtlichen Fehler gerechnet werden, der nur durch ausreichendes statistisches Material eingeschränkt werden kann. Auf die Darstellung der Verhältnisse, die bei den nicht in ausreichender Zahl vorhandenen Größenklassen angetroffen wurden, mußte daher verschiedentlich verzichtet werden.

## 1 Größenverhältnisse im Jahreszyklus.

Das Untersuchungsmaterial wurde in 21 Größenklassen (von 3 bis 23 mm) eingeteilt. Da bei einer Körpergröße von 7 bis 8 mm durch das Auftreten kleiner, unbeborsteter Oostegitenlamellen bei den jungen ♀ eine Unterscheidung der Geschlechter möglich wird, wurden die Größenklassen in drei Gruppen unterteilt: Jungtiere 3 bis 7 mm, ♀ 8 bis 16 mm und ♂ 8 bis 23 mm. In Taf. 29 ist der prozentuale Anteil der verschiedenen Größenklassen dieser drei Gruppen für jede Probe (1 bis 11) eingezeichnet. Dabei wurde so verfahren, daß der errechnete Prozentwert zu beiden Seiten des O-Wertes aufgetragen wurde. Bei jeder Probe ist das Datum, die Anzahl der bearbeiteten Tiere und das Zahlenverhältnis der Geschlechter (Sex ratio) angegeben. — Die Untersuchungen begannen Ende Juli 1950 (Probe 1). Zu dieser Jahreszeit ist bereits ein großer Teil der aufwachsenden Jungen über 8 mm groß, eine Unterscheidung der Geschlechter bei diesen Individuen daher möglich. Die alte Generation ist bis auf einige wenige ♂ (2 bis 22 mm) und ♀ (14 bis 16 mm) abgestorben. Bis Oktober (3) und November (4) wächst das Gros der ♀ auf 11 bis 12 mm, das der ♂ auf 13 bis 15 mm heran, beide Geschlechter beenden ihre Wachstumsphase (S. 195) und gehen in den geschlechtsreifen Zustand über, der die Reproduktionsphase (S. 195) einleitet. Die alte Generation ist verschwunden, und nur noch sehr vereinzelt finden sich Vertreter der 7-mm-Größenklasse. In der Zeit von Dezember bis März (5 bis 7) fehlen die Jungtiere dann völlig, um erst ab Ende März (8) — zunächst noch in sehr geringer Zahl — wieder aufzutreten. Von Ende Mai bis Juli (10 bis 11) beherrschen die Größenklassen unter 8 mm dann in zunehmendem Maße das Bild, während die Eltern generation immer mehr an Zahl abnimmt. Dabei sterben die alten ♀ im allgemeinen etwas früher als die ♂ (vgl. Probe 2), so daß man nicht selten die sehr großen, alten ♂ mit gerade geschlechtsreif gewordenen, kleinen ♀ der neuen Generation in Reiterstellung antrifft.

Aus den beschriebenen Verhältnissen geht hervor, daß *G. duebeni* wie die meisten Gammariden unseres Gebietes einjährig ist. Im Zusammenhang mit den im Labor ermittelten Ergebnissen ergibt sich für die ♀ eine Gesamtlebensdauer von etwa 13 bis 14 Monaten und für die ♂ eine solche von 14 bis 16 Monaten.

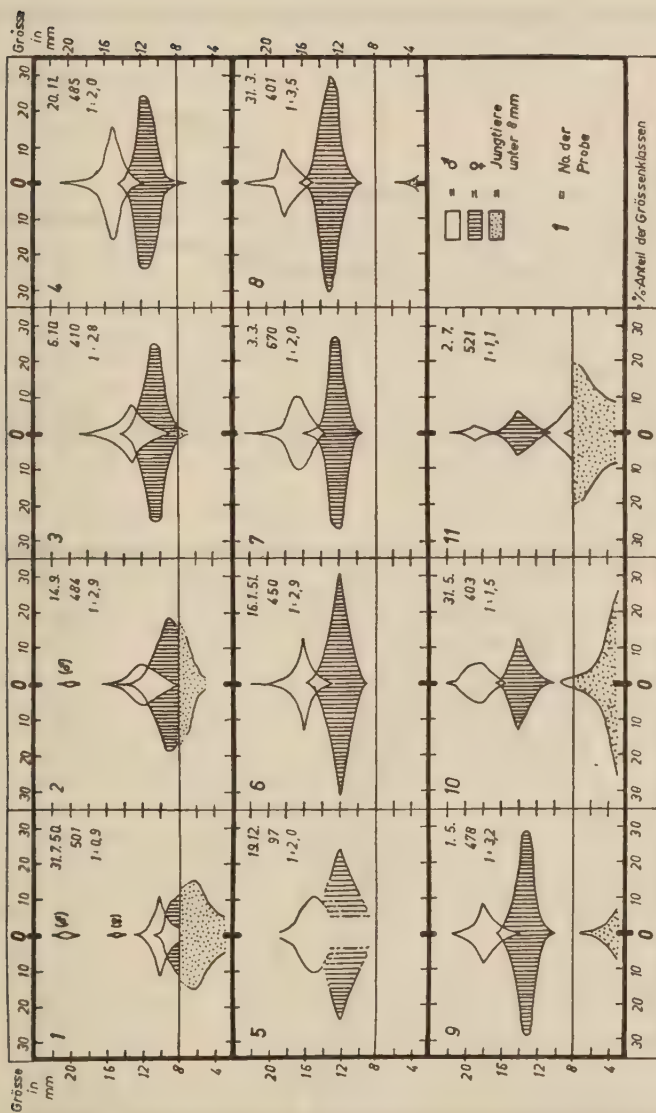
Vergleicht man die in den einzelnen Proben jeweils vorherrschenden Größenklassen untereinander, so wird deutlich, daß der Größenunterschied von ♂ und ♀, der im Juli (1) noch relativ gering ist, in der Folge immer

### Tafel 29. Größenverhältnis im Jahreszyklus.

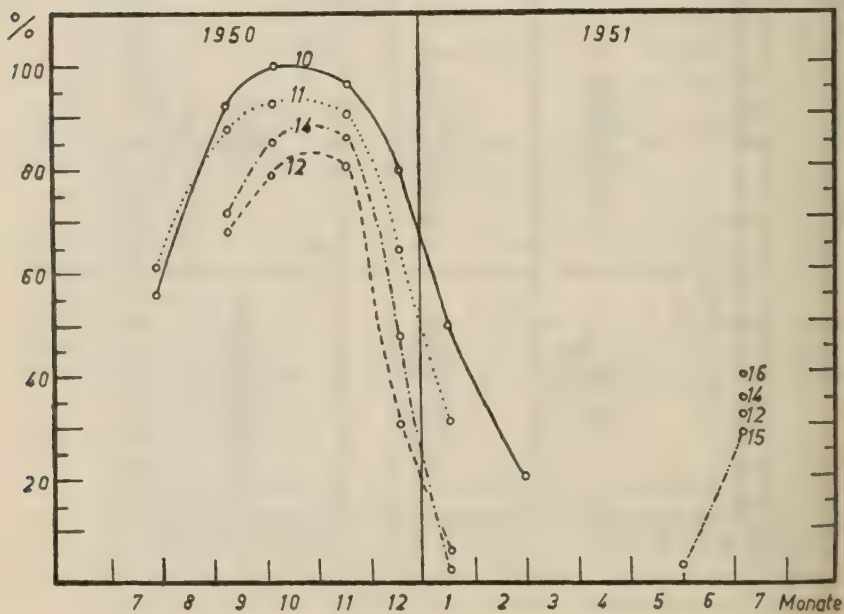
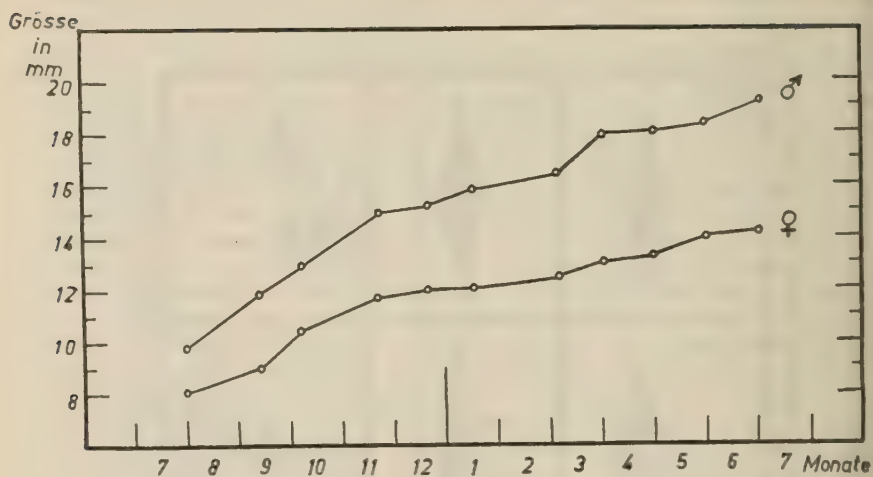
Beiderseits vom O-Wert ist der prozentuale Anteil der Größenklassen für Jungtiere, Weibchen und Männchen aufgetragen. Bei Probe 1—11 ist jeweils das Datum der Probenentnahme, die Gesamtzahl der eingesammelten Tiere und das Zahlenverhältnis der Geschlechter angegeben. Anmerkung: In Probe 5 fehlen die weniger häufigen Größenklassen, die der „Kleine Kiel“ zur Zeit der Probenentnahme mit Eis bedeckt war und nur wenige Gammariden (97 Stück) erbeutet werden konnten.



Tafel 29



Tafel 30



augenfälliger wird, so daß die ♂ schließlich die für die Kopulation erforderliche Größenüberlegenheit erreichen. Dabei wird das in beiden Geschlechtern während der Sommermonate (August—November) sehr intensive Wachstum in der Zeit von Dezember bis Februar reduziert (Taf. 30, oben). Erst im Frühjahr (ab März) setzt dann wieder eine, allerdings geringere Wachstumsbeschleunigung bei den adulten Tieren ein.

## 2. Fortpflanzungsverhältnisse.

### A. Sex ratio.

Im Gegensatz zu *Corophium volutator*, bei dem beide Geschlechter zahlenmäßig etwa gleich stark vertreten sind (SEGERSTRÄLE, 1940), ist die Sex ratio bei *G. duebeni* weitgehend zugunsten der ♀ verschoben; im Mittel kommen 2 bis 3 ♀ auf 1 ♂ (vgl. die Zahlenangaben über Sex ratio in Taf. 29). Es ist anzunehmen, daß das ermittelte Zahlenverhältnis der Geschlechter bei einem größeren statistischen Material etwas einheitlicher sein würde als die an Hand unserer Proben gewonnenen Verhältniszahlen. Aber auch in unserem Fall ist sowohl im Juli (Taf. 29, 1 u. 11) als auch Ende Mai (10) deutlich eine starke Verschiebung der Sex ratio zugunsten der ♂ zu erkennen. Die Ursache für diese Verschiebung ist darin zu suchen, daß in jedem Jahr die zuerst eine Größe von 8 mm erreichenden Jungtiere ♂ sind (Taf. 29, 1 u. 11). Auch die bereits erwähnte Tatsache, daß die alten ♀ im Sommer etwas eher sterben als die ♂, bewirkt im gleichen Sinne eine zahlenmäßige Begünstigung der ♂, wenngleich diesem Umstand eine geringere Bedeutung zukommt, da der Bestand der Elterngeneration zu dieser Jahreszeit im ganzen bereits stark reduziert ist.

Bei einer genaueren Betrachtung der Taf. 29 fällt auf, daß sich das Zahlenverhältnis der etwa 8 bis 10 mm großen ♂ und ♀ verändert. Zunächst beträgt der Anteil der ♂ an diesen Größenklassen 100 % (Taf. 29, 11); erst nach einer gewissen Zeit treten dann die ersten jungen ♀ auf, und nun beginnt der Prozentsatz der ♂ etwa in dem Maße kleiner zu werden, in dem derjenige der ♀ zunimmt (1, 2). Die zuletzt aufwachsenden 8 bis 10 mm großen Tiere sind dann ausschließlich ♀ (3, 4).

Die vorübergehende Verschiebung der Sex ratio ist also darauf zurückzuführen, daß das Aufwachsen der jungen ♂ und ♀ nicht gleichzeitig, sondern im wesentlichen n a c h e i n a n d e r erfolgt.

An Hand von experimentellen Untersuchungen konnte nun gezeigt werden, daß diese Erscheinung auf einer Temperaturabhängigkeit der

---

Taf. 30, oben. Wachstumsintensität von Männchen und Weibchen.

Angegeben sind die Größenverhältnisse der in den entsprechenden Proben vorherrschenden Größenklassen (vgl. Taf. 29).

Taf. 30, unten. Ruhezeit. — Prozentualer Anteil der oostegitenborstenlosen Weibchen an den einzelnen Proben.

Die für die 13 mm großen Weibchen ermittelten Werte wurden aus Gründen der Übersichtlichkeit nicht eingezeichnet; die entsprechende Kurve verläuft zwischen den Kurven der 11- und 14-mm-Größenklasse.

Geschlechtsbestimmung beruht (KINNE, 1952). Bei einem Salzgehalt von  $10\text{‰}$  wirken Temperaturen unter  $5^{\circ}\text{C}$  ♂-bestimmend, solche über  $6^{\circ}\text{C}$  ♀-bestimmend, während der Brutsatz eines zwischen  $5$  und  $6^{\circ}$  gehaltenen Muttertieres aus ♂ und ♀ besteht, wobei jenachdem, ob die Temperatur mehr der unteren oder der oberen Grenze dieses „Kritischen Temperaturbereiches“ genähert ist, die männlichen oder die weiblichen Geschlechter überwiegen. Da die Sex-Determination während der letzten Phase der Eireifung (im Ovar) erfolgt, ist die Temperatur für das zukünftige Geschlecht der Jungtiere entscheidend, die kurz vor der Oviposition geherrscht hatte.

Aus den zu Beginn der Fortpflanzungszeit (Ende November bis Mitte März, vgl. S. 195) abgelegten Eiern gehen also der Temperatur entsprechend (Abb. 2) ausschließlich oder überwiegend ♂ hervor, die Ende Mai bis Juli dann als 8 bis 10 mm große Tiere den Hauptanteil dieser Größenklassen ausmachen und zu einer Verschiebung der Sex ratio führen. Erst bei Temperaturen über  $6^{\circ}$  entstehen ♀, die im August bis September (Taf. 29, 2) wieder eine Normalisierung der an Hand der über 8 mm großen Individuen ermittelten Sex ratio bewirken.

Trotz der Temperaturabhängigkeit der Sex-Determination ist das Zahlenverhältnis der Geschlechter im ganzen relativ unabhängig von der Temperatur; so werden z. B. in einem ungewöhnlich kalten Winter nicht etwa besonders viele ♂ produziert, da die tiefen Temperaturen gleichzeitig eine starke Verzögerung der Häutungsfrequenz (Ovipositionenfolge) und der Eientwicklungsdauer bewirken, so daß „automatisch“ eine Regulation einsetzt (KINNE, 1952).

Bei Vernachlässigung der instabilen Verhältnisse in der Zeit von Ende Mai bis Juli (10, 11 u. 1) ergibt sich im Mittel eine Sex ratio von  $1\text{ ♂} : 2,7\text{ ♀}$ .

## B. Ruhezeit.

Von Mitte Juli bis Mitte Januar wurden von den über 10 mm großen ♀ Exemplare ohne Oostegitenrandborsten angetroffen, die also einen Ruhezustand durchmachten. Während dieses Ruhezustandes, der im allgemeinen zwei Häutungsintervalle (zwei „Interexuvialzeiten“) lang andauert (KINNE, 1952), finden keine Präkopulationen und keine Ovipositionen statt. Der deutlich ausgeprägte Schwerpunkt der Ruhezeit fällt in den Herbst (Taf. 30, unten). Über  $80\%$  der Vertreter aller zu dieser Zeit vorhandenen Größenklassen der ♀ (10 bis 14 mm) machen im Oktober und November unabhängig von ihrer Körpergröße einen Ruhezustand durch. Nach experimentellen Befunden muß angenommen werden, daß der Eintritt des Ruhezustandes von Außenfaktoren gesteuert wird; über die Beschaffenheit dieser Faktoren kann allerdings vorerst nichts ausgesagt werden. Der Einfluß von Temperatur und Salzgehalt spielt dabei jedenfalls offensichtlich keine oder doch eine sehr untergeordnete Rolle.

<sup>1)</sup> Auch der Salzgehalt beeinflusst die Sex-Determination, wenn auch in geringem Maße als die Temperatur. Höhere Konzentrationen ( $30\text{‰}$ ) bewirken eine Verlagerung des kritischen Temperaturbereiches nach oben, verschieben also die Sex ratio zugunsten der ♂ (KINNE, 1952).



Bei den 10 bis 11 mm großen ♀ ohne Oostegitenborsten ist nicht mit Sicherheit zu entscheiden, ob die allmähliche Ausbildung der zunächst sehr kleinen Oostegitenlamellen (also die „Reifungszeit“, KINNE, 1952) bereits beendet ist und das ♀ nunmehr einen Ruhezustand durchmacht, oder aber, ob es sich im letzten Stadium der Reifungszeit befindet, da ja die Oostegiten in beiden Fällen unbeborstet sind (vgl. auch LEGUEUX, 1924). Aus experimentellen Beobachtungen und den vorliegenden Untersuchungen geht nun aber hervor, daß 10 bis 11 mm große ♀ außerhalb der Ruhezeit (Herbst) bereits beborstete Oostegiten aufweisen, Eier tragen und präkopulieren. Wenn diese Größenklassen im Herbst also zu 93 bis 100 % borstenlose Oostegiten tragen (Taf. 30, unten), so ist anzunehmen, daß sich bei diesen Tieren (die im Herbst die große Mehrzahl der ♀ ausmachen, vgl. Taf. 29) die Ruhezeit unmittelbar an die Reifungszeit anschließt. Die zuerst geschlechtsreif werdenden ♀ dagegen können, bevor sie in den Ruhezustand eintreten, bereits eine bis mehrere Ovipositionen hinter sich haben, und die letzten, erst im Februar bis März 10 bis 11 mm groß werdenden ♀ beginnen im Anschluß an die Reifungszeit sofort mit dem Fortpflanzungsgeschäft und setzen ohne Unterbrechung einen Eisatz nach dem anderen ab, bis sie kurz vor dem Absterben im Juli, also zu Beginn der nächsten Ruhezeit, einen Ruhezustand durchmachen (Taf. 30, unten).

### C. Fortpflanzungszeit.

Der prozentuale Anteil der Eier und Junge tragenden ♀ (Taf. 31) nimmt in den einzelnen Proben, wie zu erwarten, in dem gleichen Maße zu, wie derjenige der ♀ mit unbeborsteten Oostegiten abnimmt (Taf. 30). Die Fortpflanzungszeit beginnt im November und endet im Juli.<sup>1)</sup> — Da die Eientwicklung bei tiefen Temperaturen sehr langsam vor sich geht (KINNE, 1952), ist ein statistisch eindeutig erfaßbarer Anteil der Junge tragenden ♀ erst ab Anfang März zu verzeichnen; dieser ist vergleichshalber noch einmal unten rechts in der Taf. 31, oben, gesondert aufgetragen.

Auf Grund der bisher beschriebenen Verhältnisse können im Lebenszyklus von *G. duebeni* zwei deutlich voneinander getrennte Lebensabschnitte unterschieden werden: eine in den warmen Sommermonaten (Mai—Oktober) gelegene „Wachstumsphase“, während der die frisch geschlüpften Jungtiere zu geschlechtsreifen Individuen heranwachsen, und eine vornehmlich an die Wintermonate und den Frühling gebundene „Reproduktionsphase“, die mit dem Eintritt in die Geschlechtsreife beginnt und mit dem Tode abschließt. Diese beiden Lebensphasen weisen außer ihrem unterschiedlichen Temperaturbedürfnis auch andere physiologische Unterschiede auf (KINNE, 1952).

<sup>1)</sup> Um die Darstellung der Kurven in Taf. 31, oben, übersichtlich zu gestalten, sind die Verhältnisse nur für drei Größenklassen (12, 13 und 14 mm) wiedergegeben. Ab 10 mm (kleinste produktionsfähige Größe) verhalten sich die übrigen Größenklassen im Prinzip genau so.

Die zeitliche Aufeinanderfolge von Wachstumsphase, Ruhezeit und Reproduktionsphase ist in einer übersichtlichen, etwas schematisierten Form in Taf. 31, unten, dargestellt. (Die Ende Juli bis Anfang August gelegene scheinbare Unterbrechung der Ruhezeit beruht darauf, daß zu dieser Jahreszeit nur wenige oder keine geschlechtsreifen Tiere vorhanden sind.)

#### D. Eiproduktion.

Bei der Zählung der Eier wurden vier Entwicklungsstadien unterschieden: a) äußerlich undifferenzierte, frisch abgelegte Eier; b) Eier mit kommaförmig ausgebildetem Embryo ohne Extremitätenanlagen; c) Embryo mit Extremitätenanlagen, ohne Augen; d) vollentwickelter Embryo mit Augen.

Die mittlere Eianzahl (Stad. a—c) der verschiedenen Größenklassen ist aus Abb. 3 zu entnehmen.<sup>1)</sup> In Übereinstimmung mit den von CHENG (1941) an *G. duebeni* gemachten Befunden zeigt sich deutlich eine Abhängigkeit der Eianzahl von der Körperlänge (CHENG bezieht auf Körpergewicht) des Muttertieres und der Jahreszeit. Alle untersuchten Größenklassen weisen ein ausgeprägtes Produktionsmaximum in den ersten Tagen des Mai auf (etwa 14° C). Innerhalb der Fortpflanzungszeit vergrößert sich die Produktionsrate also einmal mit der zunehmenden Körperlänge der Muttertiere und zum anderen mit der Jahreszeit. Dabei kommt offensichtlich nicht nur der Temperatur, sondern auch den jeweiligen Ernährungsbedingungen eine Bedeutung zu, denn in Aquarienversuchen konnte gezeigt werden, daß auch bei tiefen Temperaturen (5 bis 6° C) dann eine dem im „Kleinen Kiel“ gefundenen Produktionsmaximum entsprechende Anzahl Eier abgesetzt wird, wenn die Ernährungsbedingungen (Verabreichung von Enteromorphen) günstig waren.

Vergleicht man innerhalb der einzelnen Proben für jede Größenklasse die durchschnittliche Eianzahl der Eisätze, die sich im Stadium a und b befinden, mit derjenigen, deren Eier die Stadien c und d durchmachen, so stellt sich heraus, daß dabei stets eine gewisse Differenz auftritt. Diese Differenz dürfte in grober Annäherung der Sterberate der Eier entsprechen, wenn auch eine geringe Verfälschung dadurch gegeben erscheint, daß bei der allgemeinen Tendenz zur Steigerung der Eiproduktion bis zum März

---

<sup>1)</sup> Die 10 mm großen ♀ wurden nicht berücksichtigt, da nur wenige Exemplare ( $\phi$  7 bis 15 Eier) vorhanden waren.

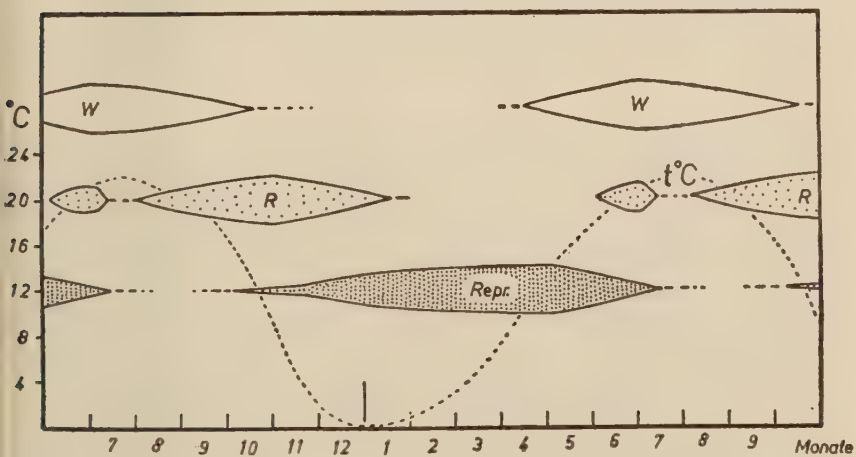
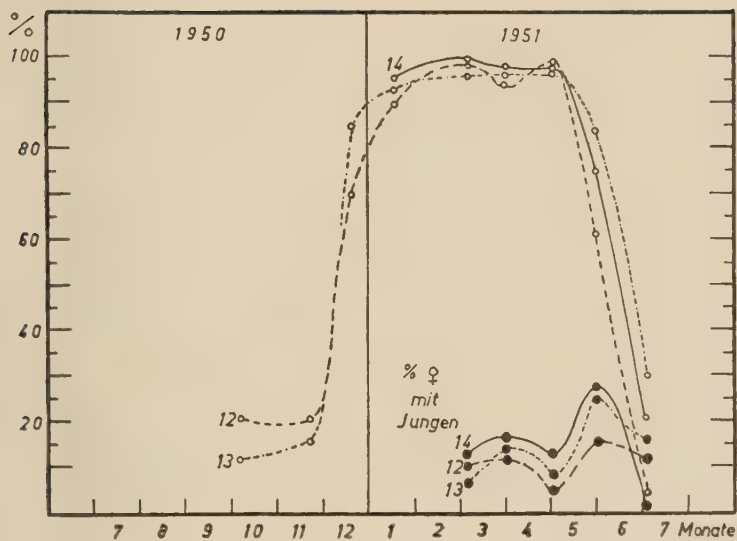
---

Taf. 31, oben. Fortpflanzungszeit. — Prozentualer Anteil der Eier und Junge tragenden Weibchen an den einzelnen Proben (vgl. Fußnote S. 195). Der Prozentwert der Junge tragenden Weibchen ist vergleichshalber noch einmal unten rechts in der Darstellung gesondert aufgetragen.

Taf. 31, unten. Schematisierte Übersicht über die zeitliche Aufeinanderfolge von Wachstumsphase (W), Ruhezeit (R) und Reproduktionsphase (Repr).

--- = Temperaturkurve, an Hand der in Abb. 2 wiedergegebenen Temperaturverhältnisse idealisiert.

Tafel 31







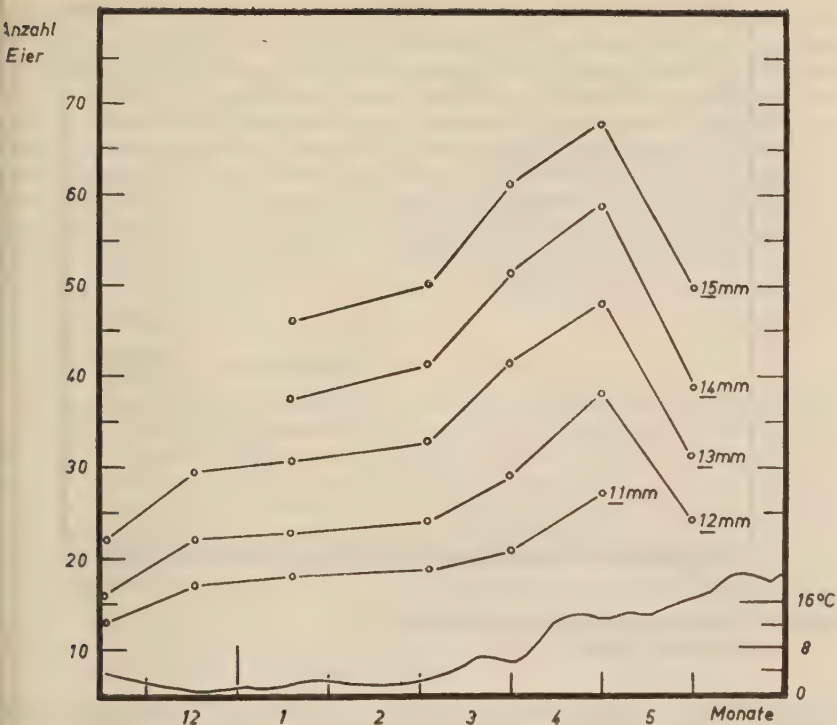


Abb. 3. Eiproduktion in Abhängigkeit von Körpergröße und Jahreszeit. Temperaturkurve s. unten in der Darstellung.

naturgemäß die früher abgelegten Eisätze (Stad. c u. d) zahlenmäßig im Nachteil sind. Es ist daher anzunehmen, daß die errechnete Sterberate der Eier im ganzen etwas zu hoch liegt.

Wie aus Abb. 4 hervorgeht, verhält sich die Eisterberate umgekehrt wie die Eiproduktion (Abb. 3) und erreicht bei allen untersuchten Größenklassen den geringsten Wert in den ersten Tagen des Mai. — Die Produktionskapazität von *G. duebeni* erreicht also Anfang Mai ihren absolut höchsten Wert. Dazu kommt, daß die Eisätze bei der relativ hohen Temperatur infolge der kürzeren Entwicklungsdauer und der beschleunigten Läufungsfrequenz rasch nacheinander abgesetzt werden.

Nach Kenntnis dieser Zusammenhänge wird verständlich, daß, obwohl im Laufe der acht Monate dauernden Fortpflanzungszeit (November bis Juli) zu gleichen Teilen (etwa jeweils vier Monate) ♂-bestimmende und

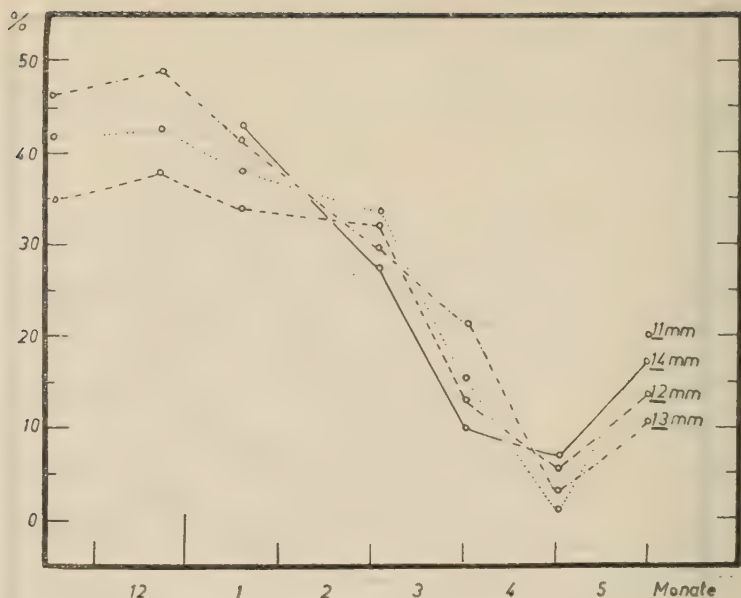


Abb. 4. Prozentuale Sterberate der Eier.  
Näheres s. Text.

♀-bestimmende Temperaturen herrschen, eine starke Verschiebung der Zahlenverhältnisse der Geschlechter zugunsten der ♀ eintreten muß.

### 3. Auftreten rotäugiger Jungen.

Im März wiesen 70 % der Marsupialjungen rote Augen auf. Die sonst schwarzen Ommatidien waren bei diesen Tieren hellrosa, ziegelrot oder braunrot gefärbt. In den nachfolgenden Proben nahm der Prozentsatz der rotäugigen Jungen dann ständig ab, bei Probe 8 waren es noch 45 %, bei 20 %, bei 10 5 %, und bei Probe 11 schließlich hatten alle Marsupialjunge normale schwarze Augen. Die Augenfarbe der weitentwickelten Embryonen (Stad. d) verhielt sich ähnlich. Bemerkenswert ist, daß niemals rotäugige Jungtiere — gleich welcher Größe — außerhalb des Marsupiums gefunden wurden. — Eine Deutung dieser Erscheinung kann vorerst nicht gegeben werden, wenn auch die von März bis Juli anhaltende, kontinuierliche Abnahme der Anzahl rotäugiger Jungen auf einen Zusammenhang mit jahreszeitlichen Gegebenheiten (Ernährung?, Temperatur?) hinweist.

SEXTON und CLARK (1936) fanden in ihren Laborkulturen bei *G. chevreuxi* verschiedentlich rotäugige Jungen. Es zeigte sich aber, daß in allen Fällen

wenige Tage nach dem Schlüpfen eine Umfärbung der Augenfarbe in Schwarz stattfand. Die gleiche Erscheinung konnten wir bei einigen *G. duebeni* ♀ feststellen, die ohne pflanzliche Nahrung gehalten worden waren. Es ist im Hinblick auf diese Instabilität der roten Augenfarbe also nicht verwunderlich, wenn unter den älteren Entwicklungsstadien niemals rotäugige Tiere gefunden wurden. — Eine andere Erscheinung liegt in der von SEXTON und CLARK (1936) gefundenen erblichen Rotäugigkeit bei *G. chevreuxi* vor. Es handelt sich hierbei um eine Mutation, wobei die Rotäugigkeit durch ein rezessives Gen hervorgerufen wird und während des ganzen Lebens erhalten bleibt. In der Natur wurde bisher nur ein einziges Exemplar von *G. chevreuxi* mit rezessiver Rotäugigkeit gefunden (SEXTON, CLARK und SPOONER, 1935).

#### Epidemieartiger Parasitenbefall bei *G. duebeni*.

Bei der Bearbeitung der Probe 11, die einen Tag nach dem Einsammeln der Gammariden begann, wurde ein relativ hoher Prozentsatz (25 % ♂ und 0 % ♀) des Materials in einem offensichtlich kranken Zustand angetroffen. Der Körper dieser Tiere war meist stark gekrümmt und an einigen Stellen von besonders dunkler Farbe. An der Dorsalseite des Thorax quollen die mit dunkelblauem Blut angefüllten Intersegmentalhäute hervor. Bei dem geringsten Versuch, den Körper der fixierten Tiere zu strecken, platzten diese Häute auf und ließen eine etwas milchig erscheinende Blutflüssigkeit austreten. Obwohl *G. z. zaddachi* in dieser Probe zahlenmäßig überwog (288 Exemplare), konnten diese Symptome mit Sicherheit bei keinem der untersuchten Tiere nachgewiesen werden.

Die auf Grund des obigen Befundes zwecks einer näheren Analyse der Krankheitsursache lebend aus dem „Kleinen Kiel“ eingebrachten *G. duebeni* befanden sich zum Teil in dem gleichen Zustand. Eine mikroskopische Untersuchung ergab, daß das Blut eine Unzahl von ovalen und breitstabförmigen Organismen von etwa 10  $\mu$  Länge und daneben sehr vereinzelt auftretende stab-fadenförmige Formen von etwa 6 bis 10  $\mu$  Länge enthielt. Während die zuletzt genannten Gebilde bisher nicht identifiziert werden konnten, wurde eine weitgehende Übereinstimmung der ovalen und breitstabförmigen Formen mit dem von PIXELL GOODRICH (1929) beschriebenen Erreger der „Yeast-Disease“ festgestellt. Es handelt sich dabei um einen Pilz, der zuerst von VEJDovsky (1904) fälschlich als Bakterium angesprochen und als „*Bacterium gammari*“ bezeichnet wurde. PIXELL GOODRICH ordnete diesen Parasiten dann der Gattung *Cryptococcus* ÜTZUNG-VUILLEMIN zu und nannte ihn *C. gammari* VEJDovsky, 1904. Nach PIXELL GOODRICH besitzt dieser Blutparasit, solange er sich durch Sprossung vermehrt, eine ovale Form und wird später stabförmig. Die Infektion erfolgt durch Eindringen des Parasiten in Wunden (vor allem während der Häutung) und wirkt meist letal, kann aber bisweilen durch Phagocytose oder durch Autotomieren der befallenen Extremitäten vom Organismus selbst erfolgreich bekämpft werden.

Außer an *G. pulex* wurde dieser Erreger (nach P. GOODRICH) bisher auch an zwei Exemplaren von *G. duebeni* (Liverpool) gefunden. Ferner fand SEGERSTRÅLE (1937b) im Zusammenhang mit einer starken Abdunzabnahme bei *Corophium volutator* etwa die gleichen Krankheitssymptome. Wenn auch ein mikroskopischer Nachweis von *Cryptococcus* wegen der ungeeigneten Konservierungsmethode des Untersuchungsmaterials nicht erbracht werden konnte, liegt doch nach SEGERSTRÅLE's Auffassung die Wahrscheinlichkeit sehr nahe, daß der starke Rückgang des *Corophium*-Bestandes (Krogar-Wiek) auf einem *Cryptococcus-gammari*-Befall beruhte.

### 5. *Gammarus zaddachi zaddachi*.

Der prozentuale Anteil von *G. z. zaddachi* an den einzelnen Tierproben aus dem „Kleinen Kiel“ nimmt von Probe 2 an ständig zu und erreicht in Probe 11 sogar 71,3 % (Tab. 1). Für eine einigermaßen statistisch gesicherte

Tab. 1

No. der Probe	2	3	4	5	6	7	8	9	10	11
%-Anteil von <i>G. z. zadd.</i> an d. Gesamtprobe	0,4	1,9	4,5	3,9	7,4	10,3	21,3	23,9	13,0	71,3
Anteil von <i>G. z. z.</i> in Absolutwerten	2	8	23	4	36	77	110	150	60	1288

Beurteilung der bei *G. z. zaddachi* angetroffenen Verhältnisse reichen nur die letzten fünf Proben aus.

Ganz allgemein darf wohl gesagt werden, daß die über den Lebenszyklus von *G. duebeni* gemachten Angaben im Prinzip auch für *G. z. zaddachi* zutreffen. Das Zahlenverhältnis der Geschlechter beträgt im Mittel etwa 1 ♂ : 2 ♀. Eine Ruhezeit zeichnet sich auch bei den *G. z. zaddachi* ♀ deutlich ab und scheint im Spätherbst ihr Maximum zu erreichen. Die Eiproduktion ist bei gleicher Körperlänge des Muttertieres größer als bei *G. duebeni* (Abb. 5), während die frisch geschlüpften Marsupialjungen kleiner sind (*G. duebeni*: 2 mm; *G. z. zaddachi*: 1,8 mm). Das Maximum der Eiproduktion liegt auch bei *G. z. zaddachi* Anfang Mai und fällt mit der niedrigsten Eisterberate zusammen.

Zum Unterschied von den *G. duebeni* ♀, die mit 7 bis 8 mm kleine Oostegitenlamellen entwickeln und frühestens mit 9,5 bis 10 mm ihre ersten Eier tragen, sind die Oostegitenanlagen bei den *G. z. zaddachi* ♀ meistens schon bei 6 mm großen Exemplaren vorhanden, und die erste Oviposition erfolgt bereits bei einer Größe von 7 mm.



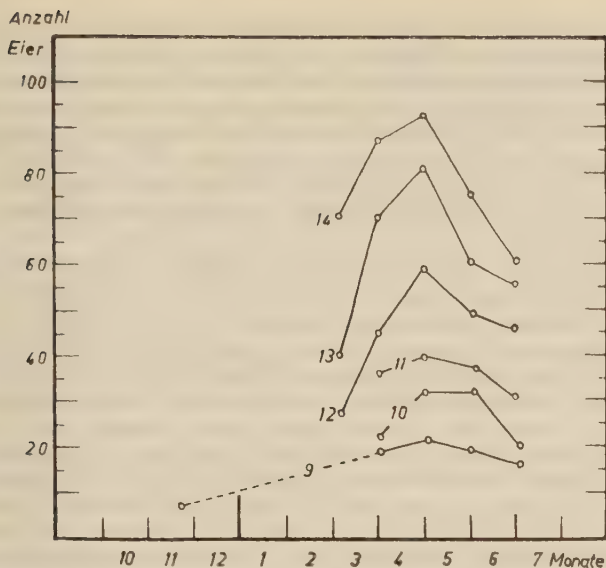


Abb. 5. Eiproduktion von *G. z. zaddachi* in Abhängigkeit von Körpergröße und Jahreszeit.

Die bei den entsprechenden Kurven eingezeichneten Zahlen geben die Größenklasse der untersuchten Weibchen an.

## 5. Schlußbetrachtung.

Da die beiden untersuchten Arten einjährig sind, ist die Produktionskapazität von *G. z. zaddachi* nach den obigen Ausführungen höher zu veranschlagen. Inwieweit dabei die geringere Größe der schlüpfenden Jungen einen Nachteil darstellt, ist schwer zu entscheiden. Sicher ist, daß *G. duebeni* die größere ökologische Valenz besitzt und besonders bei ungünstigen Lebensbedingungen im Vorteil ist. Folgende Versuche mögen das belegen:

50 *G. duebeni* und 50 *G. z. zaddachi* (geschlechtsreife Herbsttiere, ♂ und ♀) aus dem „Kleinen Kiel“ wurden in zwei getrennten Behältern bei 10 ‰ und 22 °C gehalten und ein Parallelversuch dazu bei 12 ° angesetzt. Im Laufe von drei Wochen gingen 27 *G. z. zaddachi* und nur 3 *G. duebeni* ein. Im Parallelversuch starb in der gleichen Zeit in beiden Behältern kein Tier.

Die gleiche Versuchsanordnung mit Süßwasser statt 10 ‰ hatte folgendes Ergebnis: Nach zwei Tagen waren 45 *G. z. zaddachi*, aber kein *G. duebeni* eingegangen und im Parallelversuch (Süßw. u. 12 °) sieben *G. z. zaddachi*, aber kein *G. duebeni* gestorben. — Die Tiere wurden in allen Versuchsanordnungen normal ernährt (vgl. KINNE, 1952).

Sowohl *G. duebeni* als auch *G. z. zaddachi* weisen also beide im Konkurrenzkampf bestimmte Vorzüge auf. Während *duebeni* sich durch eine ausgeprägte Resistenz gegenüber ungünstigen Umweltbedingungen (bes. Temperatur und Salzgehalt) auszeichnet (vgl. auch SEGERSTRÄLE, 1946, 1950; FORSMAN, 1951; KINNE, 1952), verfügt der ökologisch empfindlichere *z. zaddachi* über eine höhere Reproduktionsrate. Es ist also zu erwarten, daß *z. zaddachi* bei günstigen, stabilen Umweltbedingungen im Vorteil ist. Das scheint nach den im „Kleinen Kiel“ angestellten Beobachtungen in der Tat der Fall zu sein.

Die in den Jahren 1949/50 häufig unterbrochene Wasserversorgung des „Kleinen Kiel“, die zudem noch durch eine offenbar unzureichende Pumpvorrichtung erfolgte, verursachte extreme, besonders stark wechselnde Lebensbedingungen. Zu dieser Zeit trat *z. zaddachi* nur selten auf, während *duebeni* in der gesamten Makrofauna zahlenmäßig absolut dominierte. Mit der im Sommer 1950 einsetzenden regelmäßigeren Wasserversorgung, die ab Mai 1951 durch den Einbau einer neuen Pumpe noch verbessert wurde, traten nun in zunehmendem Maße einheitlichere Lebensbedingungen ein. Die Folge dieser Biotopveränderung machte sich erstaunlich schnell durch das Vordringen verschiedener Brackwasserorganismen und mariner Elemente bemerkbar, von denen in diesem Zusammenhang vor allem *z. zaddachi* interessiert. Diese Art nahm an Individuenzahl immer mehr zu, während der *duebeni*-Bestand mehr und mehr zurückging und schließlich in einer am 2. 1. 1952 entnommenen Tierprobe nur noch etwa ein Drittel der sehr stark angewachsenen *z. zaddachi*-Population ausmachte.

Der erwähnte Parasitenbefall spielt bei der Abundanzabnahme von *G. duebeni* wohl nur eine untergeordnete Rolle, da bereits Ende August 1951 keine kranken Individuen mehr angetroffen wurden.

### Zusammenfassung:

1. An Hand von Tierproben aus dem „Kleinen Kiel“ wird der Lebensablauf von *G. duebeni* untersucht. Die Untersuchungsdauer beträgt ein Jahr, insgesamt wurden 4900 Tiere verarbeitet.
2. *G. duebeni* ist einjährig. Die Weibchen werden etwa 13 bis 14 Monate, die Männchen 14 bis 16 Monate alt.
3. Das Zahlenverhältnis der Geschlechter beträgt etwa 1:2,7. Die jungen ♂ und ♀ wachsen im wesentlichen nacheinander auf.
4. Die Ruhezeit fällt in den Herbst (Schwerpunkt im Oktober und November).
5. Die Fortpflanzungszeit beginnt im November und endet im Juli.
6. Es werden Beobachtungen über die Biologie von *G. z. zaddachi* mitgeteilt und die Konkurrenzfähigkeit der beiden untersuchten Arten diskutiert.

Anschrift des Verfassers:

Dr. Otto Kinne, Kiel, Institut für Meereskunde.

## Literaturverzeichnis.

- BLEGVAD, H.: 1922, On the Biology of some Danish Gammarids and Mysids. (*Gammarus locusta*, *Mysis flexuosa*, *M. neglecta* and *M. inermis*.) Rep. Dan. Biol. Stat.; Bd. 28, pp 1—103.
- CHENG, C.: 1941, On the Fecundity of some Gammarids. Journ. Mar. Biol. Assoc.; Bd. 25, pp 467—475.
- FORMAN, B.: 1951, Studies on *Gammarus duebeni* LILLJ., with Notes on some Rock-pool Organisms in Sweden. Zool. Bidrag. Uppsala; Bd. 29, pp 216—237.
- KINNE, O.: 1952, Experimentelle Untersuchungen zur Biologie, Ökologie und Physiologie von *Gammarus duebeni* LILLJ. Universität Kiel, Diss., pp 1—116.
- LEGUEUX, Marie L.: 1924, Caractère sexuel temporaire chez *Gammarus duebeni* LILLJ. (Crustacé amphipode). C. R. Acad. Sci. Paris, 178, pp 659—661.
- LIXELL-GOODRICH, H.: 1929, Reactions of *Gammarus* to Injury and Disease, with Notes on some Microsporidial and Fungoid Diseases. Quart. Journ. Micr. Sci. (N. S.) 72, pp 325—353.
- SEGERSTRÅLE, S.: 1937 a. Studien über die Bodentierwelt in südfinnländischen Küstengewässern III. Zur Morphologie und Biologie des Amphipoden *Pontoporeia affinis*, nebst einer Revision der Pontoporeia-Systematik. Soc. Scient. Fenn., Comm. Biol. VII.
- : 1937 b, Studien über die Bodentierwelt in südfinnländischen Küstengewässern IV. Bestandesschwankungen beim Amphipoden *Corophium volutator*. Acta Soc. F. Fl. Fenn. 60, pp 245—255.
- : 1938, Zur Fortpflanzungsbiologie des Amphipoden *Pontoporeia femorata* KRÖYER. Soc. Scient. Fenn., Comm. Biol. VII. 5, pp 1—22.
- : 1940, Studien über die Bodentierwelt in südfinnländischen Küstengewässern VI. Zur Biologie des Amphipoden *Corophium volutator*, nebst Angaben über die Entwicklung und Rückbildung der Oostegitenborsten bei dieser Art. Ibid. VII. 16, pp 1—40.
- : 1946, On the Occurrence of the Amphipod, *Gammarus duebeni* LILLJ. in Finland, with Notes on the Ecology of the Species. Ibid. IX. 18, pp 1—20.
- : 1947, New observations on the distribution and morphology of the amphipod, *Gammarus zaddachi* SEXTON, with notes on related species. Journ. Mar. Biol. Assoc. Vol. XXVII, pp 219—244.
- : 1950, The amphipods on the coasts of Finland — some facts and problems. Soc. Scient. Fenn. Comment. Biol. X. 14, pp 1—28.
- SEXTON, E. W.: 1928, On the Rearing and Breeding of *Gammarus* in Laboratory Conditions. Journ. Mar. Biol. Assoc., 15, pp 33—55.
- SEXTON, E. W., CLARK, A. R., and SPOONER, G. M.: 1935, First Appearance of Red-eye in the wild *Gammarus chevreuxi* SEXTON. Nature; Vol. 136, p. 836.
- SEXTON, E. W., and CLARK, A. R.: 1936, Heterocygotes in a Wild Population of *Gammarus chevreuxi* SEXTON. Journ. Mar. Biol. Assoc. Vol. 21, pp 319—356.
- : 1936, A Summary of the work on the Amphipod *Gammarus chevreuxi* SEXTON carried out at the Plymouth Laboratory (1912—1936). Ibid. pp 357—414.
- HEVERT, H.: 1950, Der Kleine Kiel im Wandel der Zeiten. Mitteil. Ges. f. Kieler Stadtgeschichte, H. 2/3, pp 9—24.
- МЕДОВСКИЙ, F.: 1904, Über den Kern der Bakterien und seine Teilung. Centralbl. Bakt., Abt. 2 XI, p 481.

# Probleme des Verderbens von Fischkonserven in Dosen

## I. Die gasförmigen Zersetzungsprodukte

Von Victor Meyer

Mit einer Abbildung und 13 Tabellen.

Das Verderben von Lebensmitteln erfolgt vorwiegend durch die Tätigkeit von Mikroorganismen. Hierbei entstehen meistens auch gasförmige Produkte, die wohl im Anfang noch in Wasser gelöst bleiben können, aber als bald frei werden und bei Konservendosen durch das erhöhte Volumen zu Auftreibungen führen. Man bezeichnet solche Vorgänge als „Bombagen“ an ihnen kann man rein äußerlich eine Verderbnis von Konserven erkennen. Die hierbei entstehenden Gasmengen sind je nach Dauer und Intensität der Zersetzung mitunter sehr erheblich und machen ein Mehrfaches des Doseninhaltes aus. Der Druck im Innern ist dann entsprechend hoch; es wurden schon Druckstärken bis zu 8 atü je nach Dosengröße gemessen. Aber nicht alle Zersetzungen sind mit Gasbildung verbunden worauf hier der Vollständigkeit halber hingewiesen sei.

Die Mikroorganismen finden in Lebensmitteln und insbesondere in Fischen und Fischwaren ausgezeichnete Lebensbedingungen. So sind in Fischen enthalten:

55 bis 80 % Wasser, je nach Fettgehalt,  
0 bis 25 % Fett,  
17 bis 20 % Eiweiß.

Der Eiweißgehalt ist für jede Fischart nahezu konstant, während Fett und Wassergehalt sich in etwa zu dem Rest ergänzen. Über den Kohlehydratgehalt bei Fischen ist wenig bekannt. Ebenso wie bei Warmblütfleisch müßten die Kohlehydrate am Energiestoffwechsel beteiligt sein. So sind die Vorgänge der Totenstarre im Fischfleisch denen der Warmblüter außerordentlich ähnlich, wenn auch nicht ganz so einschneidend. Man kann daraus vielleicht schließen, daß etwaige Zuckermengen im Fischfleisch nur gering sind. Nach der Totenstarre dürfte jedoch aller Blutzucker umgesetzt sein. Demgegenüber werden bei Fischwaren Kohlehydrate gegebenenfalls in den Tunken und Garnierungen künstlich zugesetzt, so daß wir die Kohlehydrate also gleichfalls in den Kreis unserer Betrachtungen ziehen müssen.

Ein hoher Wassergehalt ist die beste Voraussetzung für die Mikrobenentwicklung, das Wasser ist der Lebensraum, in dem die Mikroorganismen sich entwickeln, sich vermehren und in dem ihre Stoffwechselprodukte und u. a. die von ihnen erzeugten Enzyme in Lösung gehen. Im Gegensatz hierzu sind Eiweiß, Fett und Kohlehydrate die eigentlichen Nährsubstrate



Beim mikrobiellen Abbau entstehen teils zwar erwünschte, zum größeren Teil jedoch unerwünschte Produkte. Unsere Kenntnisse über den Verlauf der Abbauvorgänge sind entsprechend der Kompliziertheit sowohl der Substrate als auch der Umsetzungen noch außerordentlich lückenhaft. Etwas mehr ist über die Endprodukte des Abbaues bekannt. Von ihnen interessieren im Rahmen dieser Arbeit in erster Linie die gasförmigen.

Der mikrobiologische Eiweißabbau verläuft grobschematisch etwa folgendermaßen: Auf hydrolytischem Wege wird das Eiweiß über Peptone und Polypeptide zu den Aminosäuren gespalten, die Aminosäuren werden dann weiter abgebaut, entweder durch Decarboxylasen zu Aminen, wobei Kohlensäure frei wird, oder durch Desaminasen zu einfachen Aminosäuren bzw. Fettsäuren, unter Abscheidung von Ammoniak und Wasserstoff, letzteres beim Fehlen von  $H_2$ -Acceptoren.\*) Aus den Fettsäuren können dann einfachere organische Säuren, Wasserstoff und Kohlendioxyd gebildet werden (W. SCHWARZ<sup>1</sup>), und aus diesen Säuren bei Gegenwart von Kohlensäure schließlich Methan (BARKER<sup>2</sup>). Beim Vorhandensein von schwefelhaltigen Eiweißverbindungen wird außerdem noch Schwefelwasserstoff zu erwarten sein. Hierbei dürfte es zwei Wege geben, indem der Schwefelwasserstoff durch Reduktion entweder direkt, z. B. aus Cystin, oder erst nach erfolgter Mineralisation aus Sulfaten entsteht.

Beim Kohlehydratabbau erfolgt zunächst ebenfalls eine hydrolytische Spaltung, und zwar bis zu den Monosacchariden. Aus ihnen entstehen bekanntlich Alkohol, organische Säuren, wie Essig-, Milch-, Propion- und Butter-säure, und an gasförmigen Endprodukten Kohlensäure, Wasserstoff und, sekundär wie oben, Methan.

Die mikrobielle Fettzersetzung ist, abgesehen von den sogen. süßen Salz-erungen und ähnlichen Erzeugnissen, wahrscheinlich insbesondere bei Marinaden von untergeordneter Bedeutung, da u. a. die bakterielle Lipase ihr pH-Optimum beim Neutralpunkt hat (RIPPEL-BALDES<sup>3</sup>). Der Abbau führt zu Glycerin und Fettsäuren und weiter wie bei den Kohlehydraten zu Kohlensäure und Wasserstoff.

Neben der Verderbnis im engeren Sinne, die durch die Tätigkeit der Mikroorganismen zu Bombagen führt, gibt es jedoch auch Auftreibungen, die durch physikalische oder chemische Einwirkungen bedingt sind (METZNER<sup>4</sup>). Auf ihre Entstehungen und Folgeerscheinungen muß daher kurz eingegangen werden.

Die physikalischen Einwirkungen sind dadurch gekennzeichnet, daß sich der Inhalt der Dosen durch irgendwelche Maßnahmen, wie Kälte, Wärme,

---

\*) Es sei vorweggenommen, daß bei den hier behandelten Gasanalysen nirgends  $NH_3$  gefunden wurde, eine Beobachtung, die jedoch noch nicht verallgemeinert werden darf, da unsere Ergebnisse vorwiegend aus sauren Medien stammen, wo das gebildete Ammoniak von der Säure aufgenommen wird. Es ist aber natürlich auch möglich, daß das Ammoniak zur Synthese von Aminosäuren aufgebraucht wird. Immerhin können diese Mengen keine größere Rolle spielen, da der Stoffwechsel der Bakterien nicht so hoch ist wie der Betriebsstoffwechsel.

zu stramme Packung, Quellung oder Stauchung, ausgedehnt hat und so eine Bombage vortäuscht. Sie enthalten daher kein Gas, außer gegebenenfalls etwas Luft. Die chemischen Bombagen entstehen durch Einwirkung von saurem Füllgut auf Dosen mit ungenügender Verzinnung oder ungeeigneter Lackierung, wobei sich Wasserstoff bildet. Gleichzeitig geht Metall in Lösung, was sich geschmacklich auswirken kann.

Den Übergang zu den biologischen Bombagen bilden Gasbildungen durch Katalase (nach eigenen unveröffentlichten Arbeiten), indem bei Marinaden bei gleichzeitiger Garnierung mit rohen Zwiebelscheiben und dergleichen zugesetztes Wasserstoffsuperoxyd enzymatisch in Wasser- und Sauerstoff aufgespalten wird. Es dürfte einleuchtend sein, daß unter Umständen alle Arten von Bombagen gleichzeitig auftreten können. Wichtig ist, daß auch bei rein biologisch bedingten Bombagen neben  $\text{CO}_2$  noch  $\text{H}_2$  zu erwarten sein wird, da in Kreisen von Praktikern gelegentlich die Ansicht vertreten wird, daß  $\text{H}_2$  ein Zeichen für chemische Bombage im Gegensatz zur biologischen Bombage mit  $\text{CO}_2$ -Bildung sei (vgl. SERGEL u. APEL<sup>5</sup>).

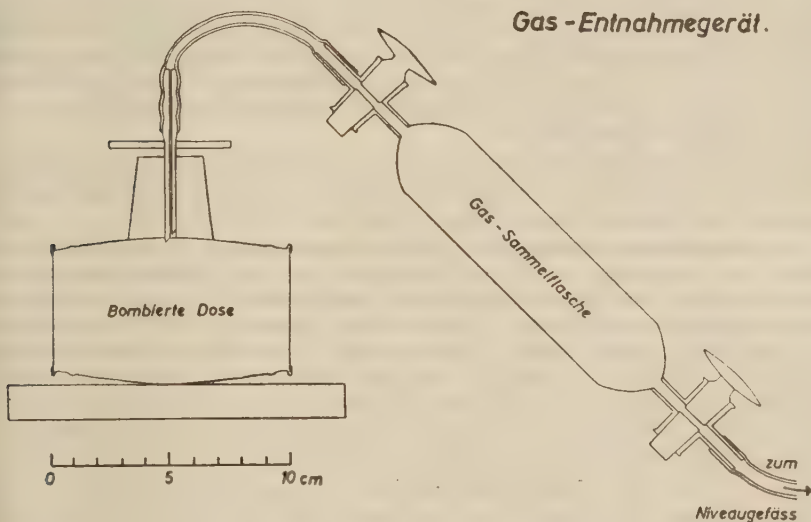
Aufgabe dieser Arbeit ist es, durch quantitative und qualitative Gasanalysen festzustellen, welche Gase in Übereinstimmung mit den oben aufgezählten schematischen Darstellungen bei den einzelnen Bombagearten auftreten — getrennt nach den verschiedenen Konservenarten und ihrer Herstellung. Damit sollen die Unterlagen geschaffen werden für spätere Rückschlüsse, welche Zersetzungen im Füllgut auftreten können und wie man ihnen gegebenenfalls begegnen kann. Erst wenn der Ablauf der Zersetzungen bekannt ist, wird man hoffen können, einen Weg zu ihrer Bekämpfung zu finden.

Die übliche Methode zur Feststellung der Gasarten ist die, daß man die bombierte Dose unter Wasser vorsichtig ansticht und das Gas in ein darüber gehaltenes und mit Wasser gefülltes umgekehrtes Reagenzglas oder besser noch U-Rohr (nach Art der Gärröhrchen) auffängt (SERGER<sup>6</sup>). Durch Zusatz von Lauge kann die Kohlensäure absorbiert und durch Messung der Volumina vor und nach dem Laugenzusatz sehr grob auch quantitativ bestimmt werden. Der Nachweis von Wasserstoff ist schwieriger und läßt sich, wenn überhaupt, höchstens qualitativ erbringen. Alle übrigen Gase, wie Sauerstoff, Stickstoff und Methan, können hiermit nicht erfaßt werden.

Zur weiteren Klärung der Vorgänge ist eine bakteriologische Analyse unerläßlich, um — abgesehen von der reinen Forschung — festzustellen, ob bei Bombagen von Vollkonserven eine Untersterilisation oder eine Nachinfektion vorliegt. Eine gleichzeitige bakteriologische Analyse aus der gleichen Dose ist bei diesem Verfahren unmöglich, da bei dem Hantieren unter Wasser der Doseninhalt durch eindringendes Wasser nur zu leicht infiziert und das gewünschte Bild verfälscht wird. Es mußte daher durch andere Maßnahmen versucht werden, das Gas unter Wahrung steriler Bedingungen in eine Gassammelflasche zu überführen. Alsdann würde es keine Schwierigkeiten bereiten, das Gasgemisch mit einem der üblichen Geräte, etwa einem Orsat-Apparat, zu analysieren.

Die Gasentnahme gelang unter Berücksichtigung dieser Kautelen mit einem einfachen Apparat nach untenstehender Abbildung. Das Gerät besteht im wesentlichen aus einem Stahlkapillarrohr, das unten schräg angeschärft ist und oben eine Riffelung nach Art einer Olive trägt zur Aufnahme des Gummischlauchs, der die Verbindung zur Sammelflasche herstellt. In

**Gas - Entnahmegesät.**



der Mitte ist senkrecht zum Rohr eine Metallscheibe angebracht, und schließlich wird über den unteren Teil des Apparates, die Kanüle, ein durchbohrter Gummistopfen mit der schmalen Seite nach oben geschoben. Der Gummistopfen muß etwas kürzer sein als die Kanüle lang ist. Vor Beginn der Gasentnahme darf die angeschärft Spitze der Kanüle nämlich nicht aus dem Stopfen herausragen. Die zu untersuchende Dose wird durch Abflambieren oberflächlich steril gemacht und die Gassammelflasche mit dem daran befindlichen Gasentnahmegesät mit einer Sperrflüssigkeit (z. B. einer 21prozentigen Kochsalzlösung) bis zur Schneide der Kanüle gefüllt, damit keine Verdünnung der Gase durch Fremdluft eintreten kann. Das Gasentnahmegesät wird dann mit dem elastischen Gummistopfen fest auf die Dose gepreßt, wobei die Kanüle ein kleines Loch in die Dose stanzt. Hierbei ist es wichtig, daß der innere Durchmesser der Kanüle nicht zu weit ist und dabei das Gas zu schnell durchläßt. Das Gas strömt dann sicher in die Sammelflasche.

Ähnliche Apparate sind von BAIER<sup>7</sup>, WESTPHAL<sup>8</sup> und BEHRE<sup>9</sup> beschrieben worden, bei denen das Öffnen der Dose mit einer spitzen Nadel erfolgt, die in einem Metallrohr durch eine Stopfbuchse gehalten wird. An dem Rohr sitzt ein seitlicher Ansatz zum Anschluß entweder an eine Gassammelflasche oder auch direkt an ein

Gasbestimmungsgerät wie bei BEHRE. Das Gasentnahmerohr von BEHRE habe ich sehr oft benutzt und mit gutem Erfolge angewendet. Es hatte in seiner ersten Konstruktion noch den Nachteil, daß die Auflagefläche zu klein war und daher das Gas seitlich entweichen konnte. Bei einiger Übung gelang es jedoch, das Gas restlos aufzufangen, wenn man nur die Nadel nicht zu tief eindrückte bzw. nach dem Eindrücken nicht zu weit herauszog. Jetzt wird das Rohr daher mit einer besseren Auflagefläche versehen. Für die Praxis hat BEHRE diesen Gasentnahmeapparat zusammen mit einem Gasbestimmungsgerät herausgebracht, das einfache Bestimmungen von Kohlensäure und Wasserstoff in für die Praxis hinreichender quantitativer Genauigkeit zuläßt. Für eine genauere Gasanalyse, insbesondere zur Bestimmung von Sauerstoff und Methan neben Wasserstoff, reicht dieses Gerät jedoch nicht aus. Dasselbe gilt für eine ähnlich entwickelte Einrichtung von INGER<sup>\*)</sup> zur qualitativen Gasbestimmung.

Nach der Gasentnahme kann an einer anderen Stelle mit einem sterilen Dorn ein zweites Loch in die Dose geschlagen werden zur keimfreien Entnahme des Materials für die bakteriologischen Untersuchungen.

Zur Gasbestimmung diente ein „Union-Orsat-Apparat“<sup>\*)</sup>, ein Gerät, bei dem das Gasmisch von der Meßbürette zu den Absorptionspipetten jedesmal über das Verbrennungsrohr geführt wurde. Das hat sich als unzweckmäßig erwiesen, da in den meisten Fällen bei unseren Analysen das Kohlendioxyd den größten Teil ausmacht; für die Bestimmung der Restgase war bei dieser Anordnung dann der tote Raum zu groß. Wir haben deshalb die Meßbürette in die Mitte gesetzt, so daß rechts die Absorptionsflasche für Kohlensäure, Sauerstoff und eventuell für Schwefelwasserstoff und links das Verbrennungsrohr mit den Pipetten für Wasserstoff und Methan steht. Als Absorptionsflüssigkeit wurden benutzt: Kalilauge für Kohlendioxyd, „Multirapid“ für Sauerstoff und Glycerin für Wasser aus der Wasserstoffverbrennung. Die Bestimmung von Schwefelwasserstoff macht erhebliche Schwierigkeiten. Da noch keine befriedigend einfache Methode gefunden wurde, beschränkten wir uns auf den qualitativen Nachweis. Die Schwefelwasserstoffmengen wurden in diesen Fällen mit dem Kohlendioxyd zusammen erfaßt. Um den Gang der Analyse nicht zu stören, empfiehlt es sich, den Schwefelwasserstoff in einer Pipette mit angesäuertem Kupfersulfat aufzunehmen. Man muß sich nur darüber im klaren sein, daß hierbei bereits Kohlendioxyd in dieser Pipette mit absorbiert wird. Als Verbrennungsrohr diente ein NCT3-Rohr, das mit Kupferoxyd gefüllt ist. Als Sperrflüssigkeit in der Meßbürette wurde ebenfalls eine 21prozentige Kochsalzlösung verwendet, die angesäuert wurde, um etwa auftretendes Ammoniak abzubinden.

Es folgen nunmehr die Ergebnisse der einzelnen Untersuchungen. Bei geringen Gasmengen bleibt es nicht aus, daß der Sauerstoff- bzw. Stickstoffanteil, der aus der Luft stammt und beim Verschließen in den Dosen zurückgeblieben ist, das Bild verschieben kann. Daher haben wir in den Tabellen in einer zweiten Rubrik die eigentlichen Bombagegase getrennt aufgeführt.

---

<sup>\*)</sup> Hersteller Union-Apparatebaugesellschaft m. b. H., Karlsruhe i. B.



Ich beginne mit den Kaltmarinaden, da in der Praxis hier am ehesten biologische Bombagen auftreten können, und weil wir es hier mit einem relativ einfachen Gärungssubstrat zu tun haben. Im wesentlichen dürfte es sich um einen reinen Eiweißabbau handeln, da Kohlehydrate in der Regel nicht vorliegen.

Die Herstellung der Kaltmarinaden geht praktisch folgendermaßen vor sich: Die Heringe als vornehmlichster Rohstoff werden in einem sogen. Garmachebad mit beispielsweise 6 % Essig und 8 % Salz bei einem Verhältnis von Fisch zu Garbad wie 2:1 garmacht. Dabei treten wahrscheinlich schwache Hydrolysen auf. Das Garmachebad enthält nach beendeter Garung etwa 0,5 % löslichen Stickstoff und 0,2 % Aminosäuren. Essig- und Salzgehalt sinken durch Austausch mit dem Fischgewebswasser auf etwa 2,5 % für Essig und 3,5 % für Salz, während der pH-Wert von 2,3 bis 2,5 auf etwa 4,1 bis 4,3 je nach Art und Länge der Lagerung steigt. Die so vorbehandelten Heringe werden in Dosen gepackt, mit einem milden Essigaufguß von etwa 1,5 % Essig und 2,5 % Salz sowie Gewürzen bzw. Gewürzauszügen versehen und verschlossen. Zur Abstumpfung des sauren Geschmacks wird mit Süßstoff gesüßter Essig verwendet, da man allgemein befürchtet, daß durch Zuckerzusatz eine Gärung hervorgerufen werden kann.

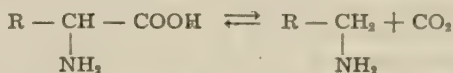
Die biologischen Bombagen bei Kaltmarinaden können je nach dem, ob die Waren kalt oder warm gelagert werden, mehr oder minder rasch auftreten. Bei 37° C nach 7 bis 10 Tagen, bei 27° C nach 11 bis 16 Tagen und bei Zimmertemperatur nach 4 bis 8 Wochen. Gefördert wird das Eintreten der Zersetzung noch durch schüttelnde Bewegungen beim Transport, da offensichtlich dann die Bakterien (insbesondere unbewegliche Arten) Gelegenheit haben, sich besser im Medium auszubreiten. Zeitweilig werden Kaltmarinaden in Glasgefäße verpackt, man erkennt dann bei bombierter Ware, wie unter der Haut des Herings Gasblasen entstehen. Neben der Gasbildung beobachtet man in den Dosen einen mehr oder minder starken Zerfall des Fischfleisches sowie das Auftreten leicht abweichenden Geruchs und scharfsaurer Geschmacksstoffe. Die Bildung von Schwefelwasserstoff ist relativ selten und tritt anscheinend erst nach längerer Lagerung ein. Bei schlecht verzinntem oder verniertem Dosenmaterial tritt gelegentlich Metallgeruch oder -geschmack auf, das Blech ist dann mehr oder minder stark angegriffen, zeigt kleine dunkel bis schwarz gefärbte Poren, aber auch Korrosionen, die sich manchmal über die ganze Innenseite erstrecken. Bei solchen Bombagen kann in erhöhtem Maße Wasserstoff auftreten. Es wurden aber auch Fälle beobachtet, wo kein Wasserstoff nachgewiesen werden konnte, obwohl das Blech sehr stark angegriffen war und sich erhebliche Mengen Eisen im Aufguß fanden.

Über die Urheber der biologischen Bombagen ist noch wenig bekannt. An Organismen werden meist nicht sporenbildende, unbewegliche Kurz- bis Mittelstäbchen gefunden. Die Schwierigkeit liegt darin, daß es noch nicht gelungen ist, mit den isolierten Formen im Modellversuch die Gärung zu erzielen. Wir hoffen, in einem der nächsten Berichte mehr hierüber ausführen zu können.

Nach unseren bisherigen Erfahrungen (vergl. auch WILLE<sup>11</sup> und SEELER<sup>12</sup>) darf man wohl annehmen, daß die Entstehung der Gärung durch einen

pH-Wert von rund 4,5, zugleich dem pH-Optimum für die Glutaminsäure-Decarboxylase (GALE<sup>13</sup> und WERLE<sup>14</sup>), begünstigt wird. Weitere bombagefördernde Argumente sind die Vorgeschichte der verarbeiteten Rohware (das Alter und die Behandlung auf dem Fischdampfer, dem Transport und in den Betrieben bis zur Verarbeitung), die Zusammensetzung und Menge der Bakterienarten im Augenblick der Verarbeitung und die Art der Einbringung der Heringe in das Garbad. Die Essigsäure, die in den angewendeten Konzentrationen fraglos keimhemmend wirkt, kann diese Wirkung nur ausüben, wenn sie in möglichst hoher Stärke möglichst schnell bis in den Kern des Heringsfleisches eindringt. Deswegen werden die Heringe einzeln ins Garbad gebracht. Außerdem wird durch wiederholtes intensives Bewegen, besonders in der ersten Zeit, dafür gesorgt, daß ein Aneinanderkleben des Fischfleisches vermieden wird. Ist das Garmachebad nämlich erst durch das Fischgewebswasser verdünnt, so ist sowohl die hydrolytische wie die bakterizide Kraft abgeschwächt, die Heringe bleiben im Innern glasig, werden nicht gar und neigen zur Verderbnis. Zitronensäure, die bei gleicher Konzentration sogar noch einen niedrigeren pH-Wert aufweist, ist bombagefördernd, wirkt also nicht bakterienhemmend, ein weiterer Beweis dafür, daß die Verderbnis der Marinaden und wahrscheinlich auch anderer saurer Lebensmittel nicht nur vom pH-Wert abhängt, sondern auch von der Art der verwendeten Säure, worauf a. a. O. noch einzugehen sein wird (vergl. auch RIPPEN-BALDES<sup>15</sup>). Ist der Anfangskeimgehalt zu hoch, so wird der Essig nicht immer eine ausreichende Keimminderung herbeiführen können, und schließlich können durch primäre Abbauprodukte die Säuremengen abgeschwächt werden.

Die Ergebnisse der Gasanalysen als Kaltmarinaden sind in den Tabellen 1 bis 4 zusammengestellt. Eine Unterteilung nach den hierbei auftretenden Wasserstoffmengen erschien aus Gründen der Übersichtlichkeit zweckmäßig. Danach scheint es, daß im Normalfall kein oder doch nur sehr wenig Wasserstoff gebildet wird (Tabellen 1 und 2). Es liegt also die Annahme nahe, daß es sich um reine Aminosäuren-Decarboxylasen handelt nach dem Schema:



wobei es zunächst nicht entscheidend ist, ob die Umsetzung über die Iminosäure geht (KNOOP<sup>16</sup>), da das hierbei freiwerdende H<sub>2</sub> bei der Überführung des unbeständigen Imins in das Amin wieder verbraucht wird.

In der Tabelle 3 sind Analysen aufgeführt, die über 1 % Wasserstoff enthalten. Der höchste Wasserstoffbetrag ist hier 5,5 %. Die Frage eines etwaigen Metallangriffs ist leider nicht in allen Fällen berücksichtigt worden, so daß es teilweise noch offengelassen werden muß, ob der Wasserstoff aus biologischer Gärung oder aus chemischem Metallangriff herrührt. In späteren Analysen wurde dem Metallangriff größere Beachtung geschenkt (Tabelle 4). Eine vorwiegend chemische Bombage zeigt Nr. 1; im

Tab. 1

Kaltmarinaden ohne H<sub>2</sub>

Nr.	Inhalt	Vorlage ccm	Gesamtgas in %					reines Bombagegas in %				Bemerkungen
			CO <sub>2</sub>	O <sub>2</sub>	H <sub>2</sub>	CH <sub>4</sub>	N <sub>2</sub>	gesamt ccm	CO <sub>2</sub>	H <sub>2</sub>	CH <sub>4</sub>	
1	Bismarckheringe	38,0	72,9	3,9	0,0	0,0	22,8	27,7	100,0	0,0	0,0	
2	Bismarckheringe	50,0	88,0	0,8	0,0	1,2	10,0	44,6	98,7	0,0	1,3	
3	gebrauchtes Garbad in Dose gefüllt	93,8	90,7	0,2	0,0	0,2	8,9	85,3	99,8	0,0	0,2	
4	Bismarckheringe	100,0	94,1	0,4	0,0	0,3	5,2	94,4	99,7	0,0	0,3	
5	Rollmops	100,0	89,2	0,0	0,0	1,0	9,8	90,2	98,9	0,0	1,1	unter Verwen- dung v. Zucker

Tab. 2

Kaltmarinaden mit weniger als 1% H<sub>2</sub>

Nr.	Inhalt	Vorlage ccm	Gesamtgas in %					reines Bombagegas in % gesamt ccm	Bombagegas in %			Bemerkungen
			CO <sub>2</sub>	O <sub>2</sub>	H <sub>2</sub>	CH <sub>4</sub>	N <sub>2</sub>		CO <sub>2</sub>	H <sub>2</sub>	CH <sub>4</sub>	
1	Bismarckheringe	51,7	82,8	0,8	0,4	0,0	15,7	42,9	99,5	0,5	0,0	
2	Bismarckheringe	100,0	80,8	1,6	0,4	0,2	16,2	81,4	99,2	0,5	0,2	
3	Bismarckheringe	50,0	89,2	1,2	0,8	0,0	8,8	45,0	99,1	0,9	0,0	
4	Bismarckheringe	50,0	92,8	0,4	0,8	0,0	6,0	46,8	99,1	0,9	0,0	
5	Bismarckheringe	100,0	96,0	0,3	0,2	0,4	3,1	96,6	99,4	0,2	0,4	
6	Bismarckheringe	100,0	95,5	1,0	0,1	0,4	3,0	96,0	99,5	0,1	0,4	
7	Bismarckheringe	100,0	95,6	1,1	0,3	0,0	3,0	95,9	99,7	0,3	0,0	
8	Rollmops	100,0	95,0	0,5	0,9	0,3	3,3	96,2	98,8	0,9	0,3	
9	Rollmops	100,0	94,4	0,6	0,8	0,5	3,7	95,7	98,7	0,8	0,5	
10	Rollmops	100,0	85,6	0,1	0,5	0,0	13,8	86,1	99,4	0,6	0,0	unter Verwendung v. Zucker

Innern der Dose war der Lack völlig abgelöst und das blanke Eisen zutage getreten. Die übrigen Analysen zeigen bezeichnenderweise wenig Wasserstoff.

Daß aber auch Dehydrasen bei Kaltmarinaden aufzutreten vermögen, ergibt weiter die Bildung von Schwefelwasserstoff (Tabelle 5), wofür naturgemäß Wasserstoffdonatoren benötigt werden. Da bei Verwendung von Zitronensäure an Stelle von Essigsäure zu Marinaden sehr heftige Bombagen eintreten, liegt es nahe, anzunehmen, daß der Citronensäurecyclus in die Aminosäure-Decarboxylase hineinspielt, wenn er auch von DEFFNER<sup>12</sup> für Bakterien abgelehnt wird. Näher in die enzymatischen Vorgänge kann man jedoch erst eindringen, wenn auch die übrigen Zwischen- und Endprodukte bekannt sind.

Methan wurde in noch geringeren Mengen als Wasserstoff gefunden, es übersteigt selten mehr als 1 %. Sauerstoff und Stickstoff stammen wahrscheinlich aus der Luft, die beim Verschließen in die Dose hineingelangt ist; dabei wird der Sauerstoff meist völlig aufgebraucht (Oxydation der Fette und Stoffwechsel der Mikroorganismen), während der Stickstoff zurückbleibt. Für die Möglichkeit, daß Stickstoff aus den Gärungen entstehen kann, gibt es vorläufig noch keine Anhaltspunkte.

Bei den übrigen Marinaden, den Brat- und Kochmarinaden, sind Bombagen sehr selten, da durch den Brat- bzw. Kochprozeß der Keimgehalt von vornherein stark gemindert wird. Essig- und Salzgehalt des Aufgusses genügen dann, die restlichen Keime in Schach zu halten.

Bratmarinaden werden mit Mehl paniert und in einer Pfanne mit Speiseöl von etwa 170° C 8—10 Min. gebraten; dabei erhält die Panierung in der äußeren Zone eine Erhitzung von 160—170° C, zur Mitte fällt die Temperatur, bedingt durch das verdampfende Gewebswasser, ab, so daß man im Kern der Bratfische eine Temperatur von rund 85° C antrifft. Anschließend werden die gebratenen Fische mit einem Essig-Salz-Aufguß von solcher Konzentration versehen, daß die tafelfertige Ware einen Gehalt an Essig von 1,5—1,7 % und an Salz von 2,0—2,5 % hat.

Bei Unterschreitung dieser Zahlen und bei unsachgemäßer Panierung können Bombagen auftreten. Da durch die Panierung Kohlehydrate in die Ware kommen, wäre u. U. ein anderes Bild zu erwarten. Wie die Tabelle 6a zeigt, sind die Wasserstoff- und Methanwerte relativ niedrig, von den Nummern 6 und 7 abgesehen, wo neben biologischer Zersetzung ein deutlicher Metallangriff vorlag.

An Kochmarinaden konnten leider nur Dosen untersucht werden, deren Bombagen auch chemisch bedingt waren (Tabelle 6b).

Kochmarinaden werden nach dem Blanchieren in Essig-Salzwasser von 80—85° C mit einem Gelatineaufguß versehen. Sie enthalten somit keine Kohlehydrate. Daher werden hier voraussichtlich keine anderen Resultate als bei den Kaltmarinaden zu erwarten sein.

Bei Salzfishkonserven, wie Salzheringsfilets in Öl und Seelachsscheiben bzw. -schnittel in Öl (Lachsersatz), kann wieder mit einem größeren Auftreten von Bombagen gerechnet werden.



Tab. 3 Kaltmarinaden mit H<sub>2</sub> über 1,0<sup>0</sup>/<sub>10</sub> (Metallangriff nicht registriert)

Nr.	Inhalt	Vorlage ccm	Gesamtgas in %				reines Bombagegas in %				
			CO <sub>2</sub>	O <sub>2</sub>	H <sub>2</sub>	CH <sub>4</sub>	N <sub>2</sub>	gesamt ccm	CO <sub>2</sub>	H <sub>2</sub>	CH <sub>4</sub>
1	Bismarckheringe	27,6	89,1	1,5	2,5	0,8	5,8	25,5	96,4	2,8	0,8
2	Bismarckheringe	50,0	86,0	0,8	1,2	0,0	12,0	43,6	98,6	1,4	0,0
3	Bismarckheringe	75,0	67,2	0,3	3,2	0,0	29,3	52,8	95,5	4,5	0,0
4	Rollmops	100,0	84,0	1,6	1,2	0,4	12,8	85,6	98,1	1,4	0,5
5	Bismarckheringe	50,0	92,0	0,6	5,4	0,8	1,2	49,1	93,7	5,5	0,8
6	Rollmops in Mayonnaise	47,0	81,9	1,9	1,3	0,0	14,9	39,1	98,4	1,6	0,0

Tab. 4 Kaltmarinaden mit Metallgeschmack

Nr.	Inhalt	Vorlage	Gesamtgas in %					reines Bombagegas in %				Bemerkungen	
		ccm	CO <sub>2</sub>	O <sub>2</sub>	H <sub>2</sub>	CH <sub>4</sub>	N <sub>2</sub>	gesamt ccm	CO <sub>2</sub>	H <sub>2</sub>	CH <sub>4</sub>		
1	Bismarckheringe	24,3		36,6	9,9	41,2	0,0	12,3	18,9	47,2	52,8	0,0	Völlige Lösung des Dosenlackes
2	Bismarckheringe	100,0		97,0	0,7	1,5	0,4	0,4	98,9	98,1	1,5	0,4	
3	Bismarckheringe	100,0		98,4	0,6	0,5	0,0	0,5	98,9	99,5	0,5	0,0	
4	Bismarckheringe	100,0		81,3	1,0	0,7	0,0	17,0	82,0	99,1	0,9	0,0	
5	Bismarckheringe	100,0		99,0	nicht weiter bestimmt								

Die Rohware für diese Erzeugnisse wird zunächst mit Salz in hoher Konzentration garm gemacht. Das Fleisch enthält dann etwa 20 % Salz und 59 % Wasser bzw. 25 % Salz, bezogen auf das Fischgewebswasser. Da ein derartig stark salzhaltiges Produkt nicht genüßfähig wäre, wird es vor der Weiterverarbeitung gewässert und vom äußerlich anhaftenden Wasser durch Abtropfenlassen oder Trocknen befreit, so daß das Fertigerzeugnis etwa 9 % Salz und 66 % Wasser bzw. 12 % Salz im Gewebswasser hat. Anschließend erfolgt eine gute Benetzung und Überschichtung der einzelnen Fleischstücke mit Speiseöl, die zur Folge hat, daß die Mikroorganismen, falls sie sich in einem etwa doch noch verbliebenen groben Wassertropfen entwickelt haben, sich nicht weiter ausbreiten können. Durch reines Öl können die Organismen nämlich weder durchwachsen, noch durchwandern.

Die Hauptinfektionsgefahr liegt für Salzfishkonserven in der Art der Wässerung und der anschließenden Trocknung. Durch Herabsetzung des pH-Wertes auf 5,5 bis 6,0 kann neben sauberster und schnellster Verarbeitung eine Keimhemmung erreicht werden. Eine weitere Reduzierung des pH-Wertes läßt der Charakter dieser Ware in geschmacklicher Hinsicht jedoch nicht zu. Der Inhalt der Konserve besteht im Falle der Seelachs-erzeugnisse rein aus Eiweiß und Eiweißabkömmlingen sowie dem Zugabeöl und im Falle der Salzheringswaren noch zusätzlich aus dem Körperfett der Heringe.

Die Analyse der Bombagegase (Tabellen 7a und b) ergab auch hier wieder kaum Wasserstoff und Methan. Die Hauptmenge des Gases macht  $\text{CO}_2$  bzw.  $\text{CO}_2 + \text{H}_2\text{S}$  aus. Da aber Schwefelwasserstoff nur denkbar ist durch Reduktion müssen auch hier wieder Dehydrasen vorliegen (vergl. S. 205 u. 212).

Gelegentlich einer Studienfahrt hatte ich mangels geeigneter Gefäße Formol-Präparate von Fischen und Fischteilen für den Transport in  $\frac{1}{2}$ -kg-Konservendosen verschlossen. Hierbei trat in einzelnen Dosen Gärung auf, da offensichtlich nicht genügend Formalin angewendet wurde. Die Gase wurden analysiert, und es stellte sich heraus, daß in einer Dose 100 % Kohlendioxyd und in einem Gasgemisch mehrerer anderer Dosen neben Kohlendioxyd auch Wasserstoff und Methan enthalten waren. Dieses Ergebnis veranlaßte uns, „Grüne Heringe“, und zwar kleine Heringe, sogen. Spitzen, und größere Heringe (Schwedenheringe) unausgenommen bzw. ausgenommen und schließlich kurz in 10prozentiger Salzlösung gewaschen roh in Dosen zu packen. Die bei der Zersetzung auftretenden Gase enthielten nur Kohlendioxyd und Schwefelwasserstoff (Tabelle 8).

Bei den bisher beschriebenen Fischwaren handelte es sich um sogen. Präserven, d. h. um Konserven, in denen die Mikroorganismen durch die Behandlung zwar reduziert bzw. weitgehend gehemmt, aber nicht völlig abgetötet wurden. Durch besondere Umstände gefördert, können sie ihre Lebenstätigkeit wieder entfalten. Im Gegensatz zu diesen Konserven bezeichnet man in der Fischindustrie solche Waren, in denen durch Hitze-sterilisation sämtliche Keime einschließlich der Sporen abgetötet werden, als „Vollkonserven“, womit zum Ausdruck gebracht werden soll, daß sie sich theoretisch unbegrenzt halten. Wenn trotzdem gelegentlich Bombagen auftreten, so war entweder der Doseninhalt nicht genügend erhitzt (Unter-

Tab. 5

Kaltmarinaden mit H<sub>2</sub>S

Nr.	Inhalt	Vorlage ccm	Gesamtgas in %					reines Bombagegas in %			
			H <sub>2</sub> S +CO <sub>2</sub>	O <sub>2</sub>	H <sub>2</sub>	CH <sub>4</sub>	N <sub>2</sub>	gesamt ccm	H <sub>2</sub> S +CO <sub>2</sub>	H <sub>2</sub>	CH <sub>4</sub>
1	Bismarckheringe	100,0	94,9	0,3	0,6	0,2	3,8	95,7	99,2	0,6	0,2
2	Rollmops	100,0	98,2	0,3	0,1	0,3	1,1	98,6	99,6	0,1	0,3
3	Bismarckheringe	100,0	94,5	0,5	nicht weiter bestimmt						
4	Bismarckheringe	100,0	97,6	0,2	0,0	0,4	1,8	98,0	99,6	0,0	0,4
5	Rollmops	100,0	98,0	0,2	0,0	0,4	1,4	98,4	99,6	0,0	0,4
6	Bismarckheringe	99,8	94,4	1,0	0,8	0,2	3,6	95,2	99,0	0,8	0,2

Tab. 6

## Brat- und Kochmarinaden

Nr.	Inhalt	Vorlage ccm	Gesamtgas in %					reines Bombagegas in %			Bemerkungen	
			CO <sub>2</sub>	O <sub>2</sub>	H <sub>2</sub>	CH <sub>4</sub>	N <sub>2</sub>	gesamt ccm	CO <sub>2</sub>	H <sub>2</sub>		CH <sub>4</sub>
a) Bratmarinaden												
1	Brathering	52,4	21,2	1,7	0,0	0,0	77,1	11,1	100,0	0,0	0,0	Metallangriff "
2	"	32,6	41,7	7,7	0,9	3,7	46,6	14,9	91,3	2,0	6,7	
3	"	46,0	51,7	0,0	0,0	0,0	48,3	23,8	100,0	0,0	0,0	
4	"	100,0	67,4	0,0	1,4	2,1	29,1	70,9	95,0	2,0	3,0	
5	"	80,4	67,0	0,0	2,0	0,0	31,0	55,4	97,1	2,9	0,0	
6	Bratrollmops	100,0	16,0	0,6	69,2	0,5	13,7	85,7	18,7	80,6	0,7	Metallangriff "
7	"	100,0	12,0	3,2	66,2	0,0	18,6	78,2	15,3	84,7	0,9	
b) Kochmarinaden												
1	Hering in Gelee	50,0	26,4	0,0	73,6	0,0	0,0	50,0	26,4	73,6	0,0	Metallangriff "
2	" " "	48,3	20,1	1,1	66,1	0,0	12,6	41,6	23,3	76,7	0,0	

sterilisation), oder aber es sind durch fehlerhafte Verschlüsse bzw. Beschädigungen des Bleches durch diese u. U. nur geringfügigen Undichtigkeiten nach erfolgter Sterilisation noch Keime in die Dose gelangt, die zu einer Verderbnis der Ware und eventuell zu einer Bombage führen (Nachinfektion). Bei dem heutigen Stand der Verfahrenstechnik kommen Untersterilisationen praktisch nicht mehr vor, so daß ich mir das erforderliche Untersuchungsmaterial künstlich schaffen mußte, wobei es teilweise auch noch nötig war, den Doseninhalt zusätzlich mit anaeroben Sporenbildnern zu beimpfen. Bei den Untersterilisationsbombagen sind in der Regel die vegetativen Keime abgetötet, so daß man bei der bakteriologischen Untersuchung nur Sporenbildner (besonders Anaerobe aus der Putrificus-Gruppe) findet, während bei den Nachinfektionsbombagen vorwiegend Nichtsporenbildner (*Bact. coli* u. dergl. beispielsweise aus dem Kühlwasser des Autoklaven) auftreten. Werden die Dosen bei 37° C bebrütet, so tritt die Bombage bei Untersterilisation meist schon innerhalb von drei Tagen ein, während Nachinfektionsbombagen wegen ihres geringen Anfangskeimgehaltes manchmal sehr viel längere Zeit zur Entwicklung brauchen.

Bei den Vollkonserven unterscheidet man in großen Zügen „Olwaren“, z. B. Sardinen in Öl, und „Tunkenwaren“, z. B. Heringe in Tomaten. Die Olwaren enthalten meist nur Eiweiß und Öl, während die Tunkenwaren mit einer Tunke u. a. aus kohlehydratreichen Zutaten wie Mehl, Zucker und Fruchtmarm versehen sind. Zur Erzielung eines frischen und herzhaften Geschmacks werden die Tunken zusätzlich noch mit Essig und dergleichen angesäuert. Der pH-Wert liegt bei den Tunkenwaren zwischen 4½ und 6, bei Olwaren bei 6 und eben darüber.

Nachinfektionsbombagen, verursacht durch Falzfehler, sind bei Olkonserven außerordentlich selten und dementsprechend nur schwer zu erhalten. Das Öl füllt nämlich die Lücken in den Fehlfalzen aus und schließt so die Dose von der Umwelt ab. Durch diesen Ölverschluß vermögen die Mikroorganismen dann nicht hindurchzuwachsen (vergl. oben S. 214); bei Tunkenwaren, wo dieser Ölverschluß in den Falzlücken sich nicht so leicht bildet, haben wir daher viel mehr verdorbene Ware durch Fehlverschlüsse. Die wenigen Analysen, die mir von Olwaren mit Falzfehlern vorliegen, reichen nicht aus, um ein Bild über die auftretenden Bombagegase zu geben (Tabelle 9a). Hinzu kommt, daß die Gasmenge je Dose außerordentlich gering war, wodurch die Analysengenauigkeit naturgemäß herabgesetzt wird.

Auf Grund der verschiedenartigen Zusammensetzung der Tunken, bedingt durch die Menge und Art der Kohlehydrate und die Höhe des pH-Wertes sowie in Abhängigkeit von der jeweiligen Mikroflora, die wiederum die verschiedenartigsten Wege der Kohlehydratgärung beschreiten kann, werden auch die gasförmigen Endprodukte unterschiedlich sein. Hinzu kommen noch die Gas Mengen aus der Eiweißzersetzung, die das Bild weiterhin verschieben können. Immerhin ist anzunehmen, daß auch bei den Mikroorganismen, sofern Kohlehydrate vorliegen, diese in erster Linie angegriffen werden. Dafür spricht z. B. auch, daß in Vollkonserven mit Tunke das Fischfleisch am wenigsten verändert zu sein scheint.



Nr.	Inhalt	Vorlage ccm	Gesamtgas in %					reines Bombagegas in %				
			CO <sub>2</sub> bzw. CO <sub>2</sub> +H <sub>2</sub> S	O <sub>2</sub>	H <sub>2</sub>	CH <sub>4</sub>	N <sub>2</sub>	gesamt ccm	CO <sub>2</sub> bzw. CO <sub>2</sub> +H <sub>2</sub> S	H <sub>2</sub>	CH <sub>4</sub>	H <sub>2</sub> S
a) Salzfishkonserven												
1	Appetit-Sild	49,7	80,7	1,6	1,2	0,8	15,7	41,1	97,5	1,5	1,0	—
2	Salzheringsfilet in mildem Aufguß	100,0	96,8	0,2	0,0	0,0	3,0	96,8	100,0	0,0	0,0	+
3	" "	100,0	91,8	nicht weiter untersucht								+
4	Salzheringsfilet in Öl	73,7	87,3	0,0	1,9	0,0	10,8	65,7	97,9	2,1	0,0	—

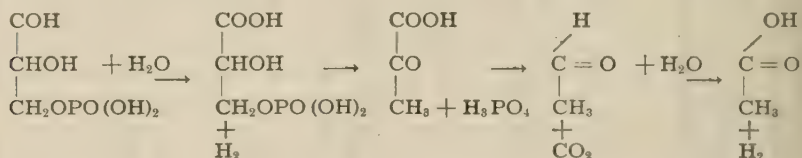
b) Seelachs in Öl											
1	Seelachs in Scheiben	11,2	75,0	2,7	0,0	0,0	22,3	8,4	100,0	0,0	—
2	" "	38,5	89,1	1,0	0,0	1,0	8,9	34,7	98,8	0,0	—
3	" "	49,8	98,0	0,0 nicht weiter bestimmt							—
4	" "	29,4	73,5	1,0	0,0	0,0	25,5	21,6	100,0	0,0	+

Tab. 8

## Rohe Fische

Nr.	Inhalt	Vorlage ccm	Gesamtgas in %					reines Bombagegas in %			
			CO <sub>2</sub> +H <sub>2</sub> S	O <sub>2</sub>	H <sub>2</sub>	CH <sub>4</sub>	N <sub>2</sub>	gesamt ccm	CO <sub>2</sub> +H <sub>2</sub> S	H <sub>2</sub>	CH <sub>4</sub> H <sub>2</sub> S
1	Spitzen unbehandelt, unausgenommen	100,0	88,3	0,1	0,1	1,3	10,2	89,7	98,4	0,1	1,5 +
2	dito, geköpft, ausgenommen	100,0	90,5	1,5	0,7	1,5	5,8	92,7	97,6	0,8	1,6 +
3	wie vorige, jedoch kurz gepökelt	100,0	94,2	0,0 nicht weiter bestimmt							+ +
4	Schwedenhering, gepökelt, unaus- genommen	100,0	93,5	0,1	0,2	0,0	6,2	93,7	99,8	0,2	0,0 +
5	wie vorige, jedoch ausgenommen und geköpft	100,0	87,5	0,0	0,0	0,0	12,5	87,5	100,0	0,0	0,0 +
6	wie vorige und zum zweitenmal gepökelt	100,0	90,2	0,3	0,0	0,0	9,5	90,2	100,0	0,0	0,0 +

Demzufolge bieten die in der Tabelle 9b zusammengestellten Ergebnisse aus Tunkenwaren ein mannigfaltiges Bild, angefangen bei reinen Kohlendioxydgärungen bis zu solchen, bei denen sogar der Wasserstoff überwiegt. Es sei ausdrücklich betont, daß die hier zur Rede stehenden Bombagen rein biologischer Natur waren, ein Angriff auf das Dosenmaterial war nicht erfolgt. Auf die Ergebnisse bei chemischen bzw. gemischt chemisch-biologischen Bombagen komme ich im Anschluß hieran noch zu sprechen. Die Tatsache, daß der Wasserstoff in einer rein biologischen Bombage die Kohlendioxydmenge sogar überschreiten kann, erscheint mir besonders interessant. Von RIPPEN-BALDES<sup>19</sup> wird die Ansicht vertreten, daß der „Gärungs-Wasserstoff“ niemals die CO<sub>2</sub>-Menge übersteigen kann, da im alkoholischen Gärungsschema, das wohl als Grundlage für alle Kohlehydratgärungen dienen kann, auf ein Molekül CO<sub>2</sub> aus Brenztraubensäure ein Molekül H<sub>2</sub> aus der vorhergehenden Oxydoreduktion von Glycerinaldehydphosphorsäure zu Phosphorylglycerinsäure kommt, das frei wird, wenn es nicht zur Reduktion des Acetaldehyds zu Alkohol verbraucht wird. M. E. bleibt aber die Umsetzung nicht beim Acetaldehyd stehen, sondern kann mittels einer zweiten Oxydoreduktion zu Essigsäure weitergehen, wobei ein weiteres Molekül Wasserstoff frei wird, so daß wir im Endergebnis ein Verhältnis von CO<sub>2</sub> : H<sub>2</sub> = 1 : 2 hätten:



Dieses Verhältnis von 1 : 2 haben wir in den Analysen Nr. 9 und 10 auch erhalten.

Übersteigt der Wasserstoff die diesem Verhältnis entsprechende Menge und sind weitere Kriterien für einen Metallangriff gegeben, so rührt der Wasserstoff daneben auch mit aus chemischen Bombagen her. Die beiden gemischt-chemisch-biologischen Bombagen in Tabelle 10a haben eine Verhältniszahl von 1 : 4. Die bakteriologische Analyse ergab in beiden Fällen lediglich *Bacterium coli*. Da für diesen Organismus das Verhältnis CO<sub>2</sub> : H<sub>2</sub> mit 2 : 1 angegeben wird und da andererseits das Dosenmaterial stark angegriffen war, könnte man annehmen, daß der überschießende Wasserstoff rein chemisch entstanden ist; rechnet man das um, dann kämen auf 20 % CO<sub>2</sub> 10 % biologisch gebildeter Wasserstoff und etwa 70 % chemisch entstandener Wasserstoff.

Die in Tabelle 10b aufgeführten Analysen stammen aus rein chemischen Bombagen, da sich keinerlei Organismen nachweisen ließen. Wenn trotzdem geringfügige Mengen an CO<sub>2</sub> bestimmt wurden, so waren diese möglicherweise ursprünglich in dem verwendeten Tomatenmark gelöst gewesen und später durch die Sterilisation oder die H<sub>2</sub>-Bildung in Freiheit gesetzt

Nr.	Bezeichnung	Vorlage ccm	Gesamtgas in %					reines Bombagegas in %				
			CO <sub>2</sub>	O <sub>2</sub>	H <sub>2</sub>	CH <sub>4</sub>	N <sub>2</sub>	gesamt ccm	CO <sub>2</sub>	H <sub>2</sub>	CH <sub>4</sub>	CO <sub>2</sub> :H <sub>2</sub>
1	Sardinen in Öl	14,9	62,4	2,7	2,7	0,0	32,2	9,7	95,9	4,1	0,0	—
2	Heringe in Öl (aus 2 Dosen)	38,8	84,5	2,6	11,1	0,5	1,3	37,3	88,0	11,5	0,5	8 : 1
a) Ölwaren												
1	Heringe in Tomaten	53,6	76,2	0,9	1,3	0,2	21,0	41,6	98,1	1,7	0,2	—
2	" "	50,0	92,0	2,4	2,0	0,0	3,6	47,0	97,9	2,1	0,0	—
3	" "	100,0	96,8	0,7	1,1	0,0	1,4	97,9	98,9	1,1	0,0	—
4	" "	37,6	49,4	3,7	19,1	0,0	27,7	68,5	72,1	27,9	0,0	2 : 1
5	" "	100,0	71,7	0,8	25,5	0,0	2,0	97,2	73,8	26,2	0,0	2 : 1
6	" "	100,0	70,0	1,4	25,2	0,0	3,3	95,2	73,5	26,5	0,0	2 : 1
7	" "	36,1	42,6	4,7	50,4	0,0	2,2	37,6	45,8	54,2	0,0	1 : 1
8	" "	100,0	52,0	0,0	44,9	nicht weiter best.						1 : 1
9	" "	75,0	33,3	0,7	63,6	0,0	2,4	72,7	34,4	65,6	0,0	1 : 2
10	" "	49,4	26,6	0,0	69,0	0,0	4,4	48,4	27,9	72,1	0,0	1 : 2
11	Tomatenmark	24,3	88,5	0,8	0,0	2,5	8,2	22,1	97,3	0,0	2,7	—

## Vollkonserven mit Metallangriff

Nr.	Bezeichnung	Vorlage ccm	Gesamtgas in %					reines Bombagegas in %					Bemerkungen
			CO <sub>2</sub>	O <sub>2</sub>	H <sub>2</sub>	CH <sub>4</sub>	N <sub>2</sub>	gesamt ccm	CO <sub>2</sub>	H <sub>2</sub>	CH <sub>4</sub>	CO <sub>2</sub> :H <sub>2</sub>	
1	Heringe in Tomaten	19,4	a) Gemischt biologisch-chemische Bombage										Bacterium coli "
2	" "	26,2	13,9	3,1	56,7	0,0	26,3	13,7	19,7	80,3	0,0	1 : 4	
			16,8	0,0	61,4	0,0	21,8	20,5	21,5	78,5	0,0	1 : 4	
1	Heringe in Senf- tomaten	22,0	b) Rein chemische Bombage										
2	Heringe in Senf- tomaten	50,0	7,3	2,7	66,4	0,0	22,7	16,2	9,8	90,2	0,0	1 : 10	
			4,8	2,8	75,8	0,2	16,4	40,4	5,9	93,9	0,2	1 : 15	

Bacterium coli  
"

worden. Eine Gasanalyse aus einem in einer Dose aufbewahrten Tomatenmark findet sich am Schluß von Tabelle 9b.

Die Versuche mit Untersterilisations-Bombagen ergaben außerordentlich interessante Ergebnisse. Wie oben angeführt, kommen hierfür Organismen der Putrificus-Gruppe (*Cl. sporogenes* und *Cl. lentoputrescens*) in Frage. In Tabelle 11 sind zunächst die Gasanalysen aus Magerfischkonserven im eigenen Saft, denen nur wenig Essig und Salz zugegeben war (pH 5,7—5,9) zusammengestellt. In den Nummern 1 bis 3 wurden erstmalig bei reinem Eiweißsubstrat erhebliche Mengen Wasserstoff gefunden (teilweise  $\text{CO}_2 : \text{H}_2 = 2 : 3$ ). In den nächsten Nummern 4 und 5 trat im Gegensatz dazu kaum  $\text{H}_2$  auf. Zunächst konnten wir uns diese Verhältnisse nicht erklären; es fiel uns jedoch auf, daß in den ersten drei Bombagen kein Schwefelwasserstoff, in den beiden anderen aber erhebliche Mengen nachweisbar waren. Als wir in einer weiteren Bombage der gleichen Serie (Nr. 6) wieder größere Mengen Wasserstoff aber kein  $\text{H}_2\text{S}$  fanden, löteten wir diese Dose zu und bebrüteten sie erneut bei  $37^\circ \text{C}$ . Das Gas wurde nach fünf bzw. weiteren zehn Tagen untersucht mit dem Ergebnis, daß der  $\text{H}_2$ -Betrag immer weiter abnahm und Schwefelwasserstoff gebildet wurde (Nr. 7 und 8). Danach findet bei schwachsaurem Anfangs-pH eine erhebliche Dehydrierung mit freiem „Gärungswasserstoff“ statt, die mit fortschreitender Zersetzung zur Reduktion schwefelhaltiger Substanzen führt.

Zu sinngemäßen Ergebnissen kamen wir bei Untersuchungen von Heringsvollkonserven in Öl (pH 6,0 Tabelle 12). Auch hier konnte bei größeren  $\text{H}_2$ -Mengen kein oder nur wenig Schwefelwasserstoff festgestellt werden, während bei geringeren Mengen das  $\text{H}_2\text{S}$  mehr in den Vordergrund trat. Bei Dosen, bei denen in der ersten Analyse wenig  $\text{H}_2\text{S}$  gefunden wurde, war bei der zweiten Analyse nach erneuter Bebrütung der  $\text{H}_2$ -Betrag ebenfalls geringer.

Daß darüber hinaus die  $\text{H}_2$ -Bildung vom pH-Wert abhängig ist, zeigen die Werte der Tabelle 13, die Analysen aus Heringsvollkonserven mit verschiedenartigen Tunken enthält, und zwar 1. Tomatentunke, pH 5,1; 2. Senfremouladentunke, pH 5,5; 3. Mayonnaise, pH 5,75. Mit steigendem pH-Wert nimmt die  $\text{H}_2$ -Menge zu und innerhalb der drei Gruppen mit steigender Schwefelwasserstoffmenge ab.

Der Umstand, daß in einzelnen Fällen ein Verhältnis von  $\text{CO}_2 : \text{H}_2 = 2 : 3$  gefunden wurde, könnte eventuell als Beweis dafür gelten, daß auch diese Umsetzungen in den Citronensäurecyclus hineinspielen. Geht man von der Glutaminsäure aus, die in Fischwaren in hinreichenden Mengen vertreten ist, so entsteht je ein Molekül  $\text{H}_2$ , 1. bei der Desaminierung zur  $\alpha$ -Ketoglutarinsäure, 2. beim Übergang von Bernsteinsäure zur Fumarsäure und 3. bei der Oxalessigsäurebildung aus Äpfelsäure. Dem stehen gegenüber je ein Molekül  $\text{CO}_2$ , 1. bei der Decarboxylierung von  $\alpha$ -Ketoglutarinsäure zu Bernsteinsäure und 2. bei der Citronensäurebildung aus Brenztraubensäure und Oxalessigsäure. Daß an Stelle der reinen Aminosäuredecarboxy-



Tab. 11

Magerfisch-Vollkonserven im eigenen Saft, Untersterilisation  
pH 5,7 bis 5,9

Nr.	Bezeichnung	Vorlage ccm	Gesamtgas in %					reines Bombagegas in %					
			CO <sub>2</sub> bzw. CO <sub>2</sub> +H <sub>2</sub> S	O <sub>2</sub>	H <sub>2</sub>	CH <sub>4</sub>	N <sub>2</sub>	gesamt ccm	CO <sub>2</sub> bzw. CO <sub>2</sub> +H <sub>2</sub> S	CH <sub>4</sub>	CO <sub>2</sub> :H <sub>2</sub>	H <sub>2</sub> S	
1	Erstanalyse	48,6	48,9	0,4	28,4	4,9	17,7	39,8	59,3	34,7	6,0	2:1	—
2	Erstanalyse	40,4	31,6	0,5	49,0	4,9	13,8	34,6	37,0	57,2	5,8	2:3	—
3	Erstanalyse	61,6	32,3	1,6	47,9	0,0	18,2	49,4	40,3	59,7	0,0	2:3	—
4	Erstanalyse	100,0	80,4	2,2	1,2	0,0	16,2	81,6	98,5	1,5	0,0	—	+
5	Erstanalyse	85,0	89,9	0,0	4,1	0,0	5,3	94,7	94,9	5,1	0,0	—	+
6	Erstanalyse	40,6	33,0	0,0	48,8	0,0	18,2	33,2	40,4	59,6	0,0	2:3	—
7	Nr. 6 nach 5 Tagen	100,0	80,4	0,6	13,8	0,6	4,6	94,8	84,8	14,6	0,6	6:1	+
8	Nr. 6 nach 15 Tagen	61,3	87,1	0,0	1,1	0,5	11,3	54,4	98,2	1,3	0,5	—	+

221

Herings-Vollkonserven in Öl, Untersterilisation, pH 6,0

Nr.	Bezeichnung	Vorlage ccm	Gesamtgas in %					reines Bombagegas in %					
			CO <sub>2</sub> bzw. CO <sub>2</sub> +H <sub>2</sub> S	O <sub>2</sub>	H <sub>2</sub>	CH <sub>4</sub>	N <sub>2</sub>	gesamt ccm	CO <sub>2</sub> bzw. CO <sub>2</sub> +H <sub>2</sub> S	H <sub>2</sub>	CH <sub>4</sub>	CO <sub>2</sub> :H <sub>2</sub> :H <sub>2</sub> S	
1	Erstanalyse nach weit. 7 Tagen	42,7	52,2	1,4	21,1	0,0	25,3	31,3	71,3	28,7	0,0	2,5:1	(+)
		100,0	74,0	0,4	18,5	0,0	7,1	92,5	80,0	20,0	0,0	4:1	+
2	Erstanalyse nach weit. 27 Tagen	58,9	51,9	0,7	5,2	0,0	42,2	33,7	90,8	9,2	0,0	10:1	+
		100,0	51,1	0,7	29,0	0,0	19,2	80,1	63,7	36,3	0,0	1,8:1	—
3	Erstanalyse nach weit. 5 Tagen	54,8	82,2	1,4	13,3	0,0	3,1	52,4	86,1	13,9	0,0	6:1	+
		64,8	85,6	1,1	10,5	0,0	2,8	62,3	89,2	10,8	0,0	9:1	+
4	Erstanalyse nach weit. 24 Stunden	100,0	90,5	1,0	4,9	0,0	3,6	95,4	94,9	5,1	0,0	20:1	+
		91,2	89,8	0,3	5,7	0,0	4,2	87,1	94,0	6,0	0,0	16:1	+
5	Erstanalyse nach weit. 13 Tagen	100,0	95,5	0,4	0,8	0,0	3,3	96,3	99,2	0,8	0,0	—	+
		100,0	69,0	0,6	2,8	0,0	27,6	71,8	96,1	3,9	0,0	24:1	+
6	Erstanalyse nach weit. 11 Tagen	84,6	79,6	0,4	0,7	0,0	19,3	68,0	99,1	0,9	0,0	—	+
		87,3	69,3	0,3	7,1	0,0	23,3	66,7	90,7	9,3	0,0	10:1	+
	Erstanalyse nach weit. 5 Tagen	64,9	79,3	0,0	2,5	0,0	18,2	53,1	97,0	3,0	0,0	32:1	+

Tab. 13

## Heringsvollkonserven in Tunke, Untersterilisation

Nr.	Bezeichnung	Vorlage ccm	Gesamtgas in %					gesamt ccm	reines Bombagegas in %			
			CO <sub>2</sub> bzw. CO <sub>2</sub> +H <sub>2</sub> S	O <sub>2</sub>	H <sub>2</sub>	CH <sub>4</sub>	N <sub>2</sub>		CO <sub>2</sub> bzw. CO <sub>2</sub> +H <sub>2</sub> S	H <sub>2</sub>	CH <sub>4</sub>	H <sub>2</sub> S
1. Tomatentunke, pH 5,1												
1	Erstanalyse	88,2	96,1	0,3	2,8	0,0	0,8	87,2	97,2	2,8	0,0	--
	nach weit. 13 Tagen	100,0	99,2	0,5	0,0	0,0	0,3	99,2	100,0	0,0	0,0	+
2	Erstanalyse	61,8	88,3	1,0	5,0	0,0	5,7	57,7	94,6	5,4	0,0	--
	nach weit. 7 Tagen	100,0	97,5	0,6	1,7	0,0	0,2	99,2	98,3	1,7	0,0	(+)
3	Erstanalyse	98,7	92,7	0,5	3,5	0,0	3,3	95,1	96,2	3,8	0,0	--
	nach weit. 16 Tagen	100,0	100,0	0,0	0,0	0,0	0,0	100,0	100,0	0,0	0,0	+
2. Senfremoulade, pH 5,5												
4	Erstanalyse	100,0	90,5	0,3	4,6	0,0	4,6	95,1	95,2	4,8	0,0	+
	nach weit. 14 Tagen	76,0	90,6	0,4	3,4	0,0	5,6	71,4	96,4	3,6	0,0	+
5	Erstanalyse	42,6	87,6	0,9	2,9	0,0	8,6	38,5	97,2	2,8	0,0	+
	nach weit. 13 Tagen	88,0	90,2	0,6	0,0	0,0	0,2	87,3	100,0	0,0	0,0	++
6	Erstanalyse	15,1	55,0	4,6	4,0	0,0	36,4	8,9	93,2	6,8	0,0	--
3. Mayonnaisse, pH 5,75												
7	Erstanalyse	100,0	70,8	2,3	17,7	0,0	9,2	88,5	79,8	20,2	0,0	--
	nach weit. 10 Tagen	48,2	76,5	1,5	12,9	0,0	9,1	43,1	85,6	14,4	0,0	(+)
8	Erstanalyse	70,0	94,7	0,9	1,1	0,0	3,3	67,4	98,4	1,6	0,0	+
	nach weit. 24 Stunden	52,2	76,8	1,7	0,8	0,0	20,7	40,5	99,0	1,0	0,0	+
9	Erstanalyse	52,0	64,2	7,9	0,8	0,0	27,1	33,8	98,8	1,2	0,0	(+)

lierung in neutralem Medium Oxydasen treten, wird durch Angaben von GUGGENHEIM<sup>19</sup> bestätigt.

### *Zusammenfassung.*

1. Es wird eine Methodik zur Erfassung von Gasgemischen aus bombierten Konserven beschrieben, die gleichzeitig eine einwandfreie bakteriologische Untersuchung aus der gleichen Dose ermöglicht.
2. Die Gasanalysen wurden mit einem modifizierten Union-Orsat-Apparat durchgeführt. Es wurden bestimmt: Kohlendioxyd, Sauerstoff, Wasserstoff, Methan und Stickstoff.
3. Die Gasgemische aus kohlehydratfreiem Material, besonders im sauren Medium, enthielten vorwiegend  $\text{CO}_2$  bzw.  $\text{CO}_2 + \text{H}_2\text{S}$ . In schwachsaurem Medium traten daneben gelegentlich auch größere Mengen  $\text{H}_2$  auf, wobei als Extrem ein Verhältnis von  $\text{CO}_2 : \text{H}_2 = 2 : 3$  gefunden wurde (Citronensäurecyclus?); bei längerer Bebrütung nahm der  $\text{H}_2$ -Gehalt ab und die  $\text{H}_2\text{S}$ -Bildung zu.
4. Bei Konserven mit Kohlehydratzusatz wurden je nach Zusammensetzung der Mikroflora außer  $\text{CO}_2$  auch größere Wasserstoffmengen bestimmt. Auch hier war unter gleicher Voraussetzung die Wasserstoffbildung pH-bedingt und ging bei längerer Lagerung zurück, während die  $\text{H}_2\text{S}$ -Mengen stiegen. An Hand eines Gärungsschemas wird gezeigt, daß ein Verhältnis von  $\text{CO}_2 : \text{H}_2 = 1 : 2$  bei Kohlehydratgärung noch möglich ist. Höher liegende Wasserstoffmengen ließen sich auf Metallangriff zurückführen.
5. Methan wurde selten gefunden und dann meist nur in geringeren Mengen.

Hieraus ergeben sich für die Praxis folgende Schlußfolgerungen: Für Konserven mit sauren Aufgüssen, insbesondere Marinaden, gilt, daß Wasserstoffbildung auf chemische und  $\text{CO}_2$ -Bildung auf biologische Bombage zurückzuführen sind. Bei Konserven mit höheren pH-Werten bzw. mit Kohlehydratzusätzen kann der Wasserstoff auch biologisch entstanden sein und u. U. die doppelte Menge des gebildeten Kohlendioxyds ausmachen. Zur weiteren Diagnose sind der bakteriologische Befund und der Nachweis eines Metallangriffes erforderlich.

Die Aufgabe weiterer Untersuchungen wird es sein, neben den gasförmigen auch die übrigen Endprodukte zu erfassen in Abhängigkeit von der jeweiligen Mikroflora, wobei es allerdings vorläufig noch sehr schwierig ist, nachzuweisen, daß die isolierten Organismen auch tatsächlich für die Entstehung der Umsetzungen verantwortlich sind.

Anschrift des Verfassers:

Dr. Victor Meyer, Institut für Meeresforschung, Bremerhaven.

## Literaturverzeichnis

1. SCHWARZ, W., Grundriß der allgemeinen Mikrobiologie, 1949, Teil I p. 96—101, Teil II p. 46—47.
2. BARKER, H. A., Arch. f. Mikrobiol., 7. 1936 p. 404, 8. 1937 p. 415.
3. RIPPPEL-BALDES, A. Grundriß der Mikrobiologie, 1947, p. 188.
4. METZNER, H., Fischerbote XXV 1933, p. 244.
5. SERGER, H. und APEL, W., Industr. Obst- und Gemüseverwertg. 36, 1951 p. 58.
6. SERGER, H., Z. Unters. Nahr.- u. Genußm. 41, 1921, p. 53.
7. BAIER, F., Gasanalyse, 1941, p. 4. u. 5.
8. WESTPHAL, W., Fleischwirtschaft, 1942, p. 80.
9. BEHRE, A., Leb. Rdsch. 48, 1952, p. 67—68.
10. INGER, A., Lebensmitteltierarzt 1, 1950, p. 118—121, 136—140.
11. WILLE, O., Fischw. u. Feinkost-Ind. 23, 1951, p. 67—70.
12. SEELER, Th., Allg. Fischw. Ztg. 4, 1952, H. 7.
13. GALE, E. F., Eiweißforschung 1, 1948, p. 145—155.
14. WERLE, E., Angew. Chemie 63, 1951, p. 550—555.
15. RIPPPEL-BALDES, A., a. O., p. 181.
16. KNOOP, F., Klin. Wchschr. 17, 1938, p. 1309, cit. Ammon, R. und Dirschel W. Fermente, Hormone, Vitamine 1948, p. 227.
17. DEFFNER, nach Ammon u. Dirschel, a. O.; p. 208.
18. RIPPPEL-BALDES, A., a. O., p. 216.
19. GUGGENHEIM, M., Die biogenen Amine, 1951, p. 15.



# Über neuere Gesichtspunkte zur Physiologie der Biocönosen

Von H. Friedrich

In meinen „Betrachtungen zur Synökologie des marinen Pelagials“ habe ich auch kurz die inneren Wirkungszusammenhänge der Biocönosen erwähnt und darauf hingewiesen, daß diese Erscheinungen sehr wohl zu einer Unterscheidung und Charakterisierung der Biocönosen herangezogen werden können, ohne allerdings eine eingehende Darstellung dieser Verhältnisse zu beabsichtigen. Weitere Überlegungen haben mich zu der Auffassung geführt, daß diese auf intra- und interspezifischen Beziehungen beruhenden Wirkungszusammenhänge als *endocöne Dynamik* der von den abiotischen Gegebenheiten abhängigen *exocönen Dynamik* (im Pelagial z. B. Strömungen, Turbulenz, Konvektionen, Temperatur, Belichtung etc.) gegenübergestellt werden können. In der endocönen Dynamik sind u. a. alle die Faktoren wirksam, die seit langer Zeit bekannt sind und z. B. als Nahrungserwerb, Raum- und Nahrungskonkurrenz, Produzenten, Konsumenten und Reduzenten, Epizoismus, Parasitismus, Symbiose usw. beschrieben werden.

Die Forschung der beiden letzten Jahrzehnte hat nun eine Fülle von Erkenntnissen gebracht, die für die Ökologie von grundlegender Bedeutung sind, insonderheit für die hier als endocöne Dynamik bezeichneten inneren Wirkungszusammenhänge innerhalb der Biocönosen. Für das marine Pelagial gab meines Wissens LUCAS, 1938, erstmals eine zusammenfassende Darstellung, wobei er mit „biological conditioning“ die Tatsache bezeichnete, daß durch die Anwesenheit gewisser Organismen die Voraussetzungen für das Vorhandensein oder Fehlen anderer Formen geschaffen werden. Inzwischen hat die Erforschung der „Antibiotica“, vor allem für die terrestrische Ökologie, zahlreiche interessante und wichtige Hinweise gegeben, und auch für die marinen Biocönosen liegen neue Beobachtungen vor. Herr Kollege LUCAS war so freundlich, mich auf seine zusammenfassenden Darstellungen (1944, 1947 und 1949) aufmerksam zu machen und mir einen Teil von ihnen, die in Deutschland schwerer zugänglich sind, zur Verfügung zu stellen, wofür ich ihm hier nochmals meinen Dank aussprechen möchte. Da einerseits ein großer Teil dieses Tatsachenmaterials in der deutschen Literatur noch wenig zusammengefaßt ist, andererseits aber von dieser Arbeitsrichtung weitere entscheidende Impulse für die Ökologie zu erwarten sind, seien hier einige Hinweise, vor allem aus dem marinen Gebiet, gegeben.

MIYAZAKI zeigte 1938, daß Preßsäfte verschiedener Meeresalgen (*Ulva* und *Enteromorpha*) stimulierend auf das Laichen der Auster einwirken. THORSON 1946 wies darauf hin, daß in den nordischen Gewässern das Laichen von *Mya* und *Saxicava* ähnlich wie bei *Pectinaria granulata* und *Harmothoe*

*imbricata* vor Beginn der Temperaturerhöhung bald nach Einsetzen der Phytoplanktonblüte beginnt. Da auch Beobachtungen von MARSHALL NICOLLS und ORR 1934 an *Calanus finmarchicus*, von STEMAN NIELSEN 1933 am Zooplankton der isländischen Fjorde und von EINARSSON 1945 an Euphausiaceen in diese Richtung weisen, schließt THORSON: „Thus it is not excluded that an increase in the stock of phytoplankton may induce spawning in marine invertebrates“ (p. 424). Nach THORSON konnte JÄGERSTEDT 1940 zeigen, daß für den Eintritt der Metamorphose bei *Protodrilus ruber pharyngeus* nicht nur ein geeignetes Substrat, sondern auch eine bisher unbekannte Substanz in der Lösung vorhanden sein muß, die sich aus verschiedenen Herkunft des Materials ergibt.

Über die wachstumsfördernde Wirkung von Ascorbinsäure, Heteroauxin, Adermin u. a. Substanzen auf marine Planktonalgen, besonders *Skeletonema*, berichtet LEVRING 1945 und führt dabei Versuchsergebnisse an, nach denen Extrakte verschiedener Algen sehr deutliche stimulierende Wirkung entfalten, während andere, teilweise nahe verwandte, unwirksam oder gar giftig sind. Da auch VALERA und KYLIN 1942, 1943 in der *Fucus-Ascophylum*-Zone eine für höhere Algen stimulierend wirkende Anreicherung von Stoffen fanden, schließt LEVRING (l. c. p. 15): „Obviously several algae produce growth-stimulating substances, giving them off to the surrounding water, which thereby becomes more useful to the plant organisms living within it. Probably the formation of growth substances by the higher algae as well as in high degree at the decay of the latter is of some importance for the production of marine diatoms at least near the coast.“ Mit tierischen Bewohnern des Litorals sind m. W. noch keine eingehenderen Untersuchungen angestellt worden, doch scheinen sie sowohl nach den Mitteilungen von MIYAZAKI (l. c.) als auch nach den Beobachtungen über die unterschiedliche Besiedlung der verschiedenen Algen und Tange mit Epizoen recht aussichtsreich.

1936 brachte NIGHTINGALE zum Ausdruck, daß große Mengen von Dinoflagellaten die marinen Tiere schädigen, und zwar wirken sowohl die Zellen der Flagellaten selber als auch ihre Stoffwechselprodukte. LOOSANOFF und ENGLE 1947 untersuchten die Frequenz der Schalenbewegung und die Größe der Wasserventilation von *Ostrea virginica* in Beziehung zu wechselnden Konzentrationen von Kulturen von *Chlorella sp.*, *Nitzschia closterium*, *Prorocentrum triangulatum* und *Euglena viridis*. Alle durchgeführten Versuche zeigten, daß durch Zugabe der Kulturen eine deutliche Hemmung der beiden beobachteten Funktionen erzielt wurde, und zwar sowohl durch Zugabe der ganzen Kultur als auch der abfiltrierten Kulturflüssigkeit oder des wieder aufgeschwemmten Filtrierrückstandes. Daraus ist der Schluß möglich, daß nicht nur eine mechanische Behinderung der Funktionen stattfindet, sondern daß in den Kulturen Stoffe mit funktionshemmender Wirkung vorhanden sind. Schon bei Anwesenheit von ca. 8600 Euglenen pro ccm Kultur oder bei 1,9 Mill. Chlorellen pro ccm ergaben sich deutliche Wirkungen.

Nachdem OTTERSTRÖM und NIELSEN 1940 auf die Letalwirkung des Flagellaten *Prymnesium parvum* Cater hingewiesen hatten, teilten GUNTER, WILLIAMS, DAVIS und SMITH 1948 Beobachtungen mit, wonach eine starke Phytoplanktonblüte 1946/47 an der Westküste Floridas eine allgemeine Sterblichkeit sowohl bei Wirbellosen als auch bei Fischen hervorrief, und schätzten die Zahl der toten Fische in dem betroffenen Gebiet auf mindestens 50 000 000. An der Planktonblüte war insbesondere *Gymnodinium brevis* beteiligt, das teilweise über 40 % der vorhandenen Plankter ausmachte. Versuche zeigten, daß das Wasser nach einiger Zeit seine giftige Wirkung verlor.<sup>1)</sup> Die Autoren führen ähnliche Beobachtungen aus anderen Gebieten an, so aus Japan, wo durch Massenentwicklung bestimmter Phytoplankter die Kulturen der Perlmuscheln bedroht oder vernichtet wurden. Sie verweisen ferner auf die Mitteilung von LUND 1936, daß mehrfach im Zusammenhang mit derartigen Erscheinungen im angrenzenden Küstengebiet eine gasförmige Substanz bemerkbar war, die auch beim Menschen unangenehme Reizerscheinungen hervorrief. Mit größter Wahrscheinlichkeit handelt es sich bei diesen Erscheinungen tatsächlich um unmittelbare Bewirkungen in vitro, nicht etwa um die Auswirkung der sich am Boden an den abgestorbenen Massen abspielenden Zersetzungs Vorgänge mit Sauerstoffschwund, H<sub>2</sub>S-Bildung und anderen Folgeerscheinungen, wie sie allgemein aus dem Schwarzen Meer, den „Toten Gründen“ der Ostsee und durch Brongersma-Sanders 1943 von der südwestafrikanischen Küste bekannt sind.

Das geht in besonderem Maße hervor aus den neuen Untersuchungen von WILSON 1951, nach denen verschiedene Wassermassen unter gleichen Versuchsbedingungen einen tiefgreifenden Einfluß auf die Entwicklungsfähigkeit von Eiern und Larven verschiedener benthonischer Tiere haben. Er beobachtete vergleichend die Entwicklungsfähigkeit von *Ophelia bicornis* SAV., *Echinus esculentus* L. und *Sabellaria alveolata* (L.) in Parallelproben, die einerseits mit Wasser aus der Irischen See, andererseits aus dem Gebiet von Eddystone (Plymouth), nach der Terminologie von RUSSELL in *Sagitta elegans*- bzw. *Sagitta setosa*-Wasser, angesetzt waren. Da das Kulturwasser gleicherweise durch Berkefeldt-Filter filtriert wurde und die Fütterung mit gleichen Diatomeenkulturen erfolgte, schließt WILSON daraus, daß dem *Setosa*-Wasser irgendeine vitale Substanz fehlte, oder daß es umgekehrt in kleinster Menge eine für gewisse Arten schädliche Substanz enthielt.

ZOBELL führt in seiner grundlegenden zusammenfassenden Darstellung über die maritime Mikrobiologie, 1946 p. 80 ff., zahlreiche Beispiele für gegenseitige Bewirkung verschiedener Organismen im Meere an. Danach

---

<sup>1)</sup> Nach persönlicher Mitteilung von Mr. WALFORD vom Wildlife Service, Washington, waren diese Tatsachen wichtig genug für die Gründung eines besonderen Instituts, das diese periodisch auftretenden Erscheinungen untersuchen soll.

geht schon auf Untersuchungen von DE GIAXA 1889 die Kenntnis zurück, daß durch Hitze sterilisiertes Seewasser viel weniger bakterizid oder bakteriostatisch wirkt als nicht sterilisiertes (Versuche an *Vibrio comma*). Untersuchungen von ZOBELL (l. c. p. 81) mit coliformen Bakterien führten zu dem gleichen Ergebnis, so daß dadurch die Wirkung thermolabiler Wirkstoffe experimentell nachgewiesen ist.

Natur und Herkunft dieser Stoffe sind weitgehend unbekannt, doch geht man in Analogie zu dem bisher Bekannten wohl nicht fehl in der Annahme, daß sowohl die Phytoplankter als auch die benthonischen Algen als Produzenten in Frage kommen. Außerdem sind die Bakterien zu berücksichtigen, und wenigstens in den benthonischen Biocönosen dürften die Pilze (vergl. HÖHNK 1952) eine bedeutsame Rolle spielen. ZOBELL (l. c. p. 113) gibt nach den Ergebnissen verschiedener Beobachter an, daß in marinen Bodenproben freie Fermente vorhanden sind und daß in keimfreiem Seewasser katalytisch bewirkte Änderungen im Gehalt an Sauerstoff, Phosphat, Nitrat und Ammoniak auftreten. LEVRING (l. c.) konnte es wahrscheinlich machen, daß auch Planktonalgen stimulierend wirken, daß sie aber auch hemmende Funktionen ausüben können, Beobachtungen, die sehr stark auf die Ergebnisse von PRATT (1942 u. a.) über die autoregulative Wirkung absorbierbarer Stoffe in Kulturen von *Chlorella* hinweisen. Außerdem zeigten ROSENFELD und ZOBELL 1947, daß eine Anzahl daraufhin untersuchter mariner Mikroorganismen (Bakterien) hemmend auf verschiedene grampositive Bakterienarten einwirken. Solange aber über den Wirkungsgrad bei Verdünnung und über die Stabilität dieser Stoffe nichts Allgemeineres bekannt ist, kann natürlich über ihre Bedeutung für die Zusammensetzung der Biocönosen kaum etwas ausgesagt werden. Immerhin ist es denkbar, daß neritischer und ozeanischer Bezirk in der Verschiedenartigkeit ihrer Faunen durch unterschiedliche „Antibiotika“ mit bedingt sind, daß bei der Planktonentwicklung in Aufquellgebieten ähnliche Erscheinungen vorliegen, und daß schließlich bei der Aspektfolge in den Biocönosen, ähnlich wie bei den Sukzessionen in Kulturen, derartige Stoffe regulierend eingreifen. Die oben angeführten Beobachtungen von WILSON 1951 geben einen Anhaltspunkt für die Annahme, daß die Beeinflussungen der Makrofauna in besonderem Maße während der Entwicklung stattfinden, und von hier aus ergeben sich bedeutsame Perspektiven für die Beurteilung der Fluktuationserscheinungen, u. a. auch bei den Nutzfischen.

Auf die zahlreichen, ähnlich gelagerten Beispiele aus der terrestrischen Ökologie sei hier nicht eingegangen. Sie betreffen vor allem die Beziehungen: Bakterien:Pilze, Algen:Pilze, Pilze:Phanerogamen und Phanerogamen:Phanerogamen. Die Tiere werden in diesen Bezugssystemen erst wenig berücksichtigt, doch haben z. B. GÄUMANN, JAAC und BRAUN 1947 gezeigt, daß Colpidien und Paramaecien sich gegenüber „Patulin (Clavicin, Claviformin, Expansin, gebildet von *Aspergillus clavatus* DESM., *Penicillium patulum* BAINIER, *Penicillium expansum* LINK usw.)“ sehr verschieden verhalten. Besonders bei Protozoen, aber auch bei weichhäutigen, bodenbewohnenden



Tieren ist wohl mit einer unmittelbaren Beeinflussung durch im Boden befindliche „Antibiotika“ zu rechnen.

Das umfangreiche Beobachtungsmaterial wird dann einheitlich verständlich, wenn allgemein die Wirkung abgeschiedener kleiner Stoffmengen angenommen wird. Diese Stoffe wirken größtenteils in geringsten Konzentrationen, wobei sie teilweise ganz spezifische Wirkungsbreite entfalten. Sie sind zum Teil als Stoffwechselprodukte aufzufassen, teilweise aber auch Stoffe, die in den Lebensprozessen der produzierenden Organismen eine wichtige Rolle spielen, z. B. Enzyme, und ausgeschieden zu wirksamen Milieufaktoren für andere Organismen werden. Für diese letztgenannten Substanzen hat LUCAS 1947 die Bezeichnung „*Ectocrine*“ vorgeschlagen. Ihre chemische Natur, die Art und die Breite ihrer Wirkung usw. ist in manchen Fällen in etwa abzusehen, in den meisten Fällen aber unbekannt. LUCAS 1949 p. 354 drückt sich dahingehend aus, daß die antibiotischen Beziehungen „are, in fact, special instances of a widespread type of relationship. We now know something of the manner in which these metabolites may be specific or generalized in their action, and we shall come to know much more.“

In der terrestrischen Ökologie liegen die Verhältnisse für die Untersuchung dieser interspezifischen Beziehungen wahrscheinlich ungünstiger als in aquatilen Biocönosen, da dort durch die größere Zahl an Bakterien, Pilzen, Wurzelsystemen der Phanerogamen sowie durch absorbierende Wirkung von Bodenkolloiden ein viel komplizierteres Beziehungssystem vorhanden ist als etwa im Pelagial. Hier tritt ein oft artenarmes, aber individuenreiches Phytoplankton auf, dessen Wirkung auf die tierischen Komponenten der Biocönose unmittelbar zu studieren ist.

Für die allgemeine Ökologie erschließt sich mit all diesen Erscheinungen ein außerordentlich breites Arbeitsgebiet, das sie gewissermaßen um eine ganze Dimension erweitert. Während die statistischen Methoden der Faunistik und Floristik zur Erkennung biocönotischer Einheiten führen, kann die Erforschung der Lebensformtypen wesentliche Erkenntnisse für Zusammenhänge zwischen Organisation und exocönen dynamischen und statischen Gegebenheiten liefern und bis zu einem gewissen Grade endocöne Wirkungszusammenhänge aufdecken. Dabei wird sie aber im wesentlichen ebenfalls auf die Beschreibung und statistische Sicherung ihrer Erkenntnisse angewiesen bleiben, ohne in größerem Umfang die Möglichkeit der experimentellen Nachprüfung zu haben. Die in Vorstehendem skizzierte endocöne Dynamik hat mikrochemischen Charakter und deckt bisher unbekannte Kausalzusammenhänge auf, die, was von besonderer Wichtigkeit erscheint, auch experimentell zugänglich werden.

LUCAS (l. c.) weist unter Anziehung anderer Autoren nachdrücklich auf eine scheinbar formale Frage hin, deren Bedeutung aber im Interesse einer reibungslosen Entfaltungsmöglichkeit nicht verkannt werden darf. Da zahlreiche Beispiele bereits dafür vorliegen, daß die gleiche Substanz in Abhängigkeit von ihrer Konzentration auf den gleichen Partner hemmend

oder fördernd einwirkt, und da die Reaktion verschiedener Partner auf gleiche Substanz verschieden sein kann, ist die Bezeichnung „Antibiotica“ inhaltlich nicht richtig. Wenn sich bei fortschreitender Erkenntnis die Notwendigkeit zur Zusammenfassung und begrifflichen Klärung gibt, werden bei weiterem Gebrauch der jetzigen Nomenklatur Bezeichnungen fest in Anwendung sein, die sich mit den Begriffsinhalten nicht mehr decken. Daher erscheint es zur Vermeidung späterhin auftretender Schwierigkeiten notwendig, schon bald zu einer allgemein anerkannten Begriffsformulierung und Kennzeichnung vorzustoßen, so zweitrangig das zunächst auch scheinen mag. Schon jetzt läßt sich sagen, daß die Erscheinung der „Antibiose“ nicht eine Sondererscheinung ist, sondern als allgemein wirksames biologisches Prinzip angesehen werden kann.

#### Anschrift des Verfassers:

Prof. Dr. Hermann Friedrich, Institut für Meeresforschung, Bremerhaven.

#### Schriftenverzeichnis

- BRONGERSMA-SANDERS, M., 1943. De jaarlijksche Visschensterfte bij Walvisbaae (Zuidwest-Afrika) en haar Beteekenis voor de Palaeontologie. Overdruk mit Vakblad voor Biologen 24 $\frac{1}{2}$  p. 13—18.
- DE VALERA, M., 1940. Note on the difference in growth of Enteromorpha species in various culture media. Kongl. Fysiogr. sällsk. förhandl. Bd. 10. Lund.
- FRIEDRICH, H., 1950. Versuch einer Darstellung der relativen Besiedlungsdichte in den Oberflächenschichten des Atlantischen Ozeans. Kieler Meeresforschungen, Bd. 7, pp. 108—121.
- FRIEDRICH, H., 1952. Betrachtungen zur Synökologie des ozeanischen Pelagials. Veröff. Inst. f. Meeresforschung, Bremerhaven, Bd. 1, pp. 7—36.
- GÄUMANN, E., JAAG, O. und BRAUN, R., 1947. Antibiotica als pflanzliche Plasmagifte. Experientia, Bd. 3/2, p. 1—4.
- GUNTER, G., WILLIAMS, R. H., DAVIS, C. C. and SMITH, F. G. W., 1948. Catastrophic Mass Mortality of Marine Animals and Coincident Phytoplankton Bloom on the West Coast of Florida, November 1946 to August 1947. Ecological Monographs, Vol. 18, pp. 309—324.
- HÖHNK, W., 1952. Studien zur Brack- und Seewassermykologie I. Veröff. Inst. f. Meeresforschung, Bremerhaven, Bd. 1, pp. 115—125.
- KYLIN, H., 1943. Über die Ernährung von *Ulva lactuca*. Kongl. Fysiogr. sällsk. förhandl. Bd. 13, Lund.
- LEVRING, T., 1945. Some culture experiments with marine Plankton Diatoms. Göteborgs Kungl. Vetenskaps- och Vitterhets-Samhälles Handlingar, Sjätte Följden, Ser. B., Bd. 3, p. 1—18.
- LOOSANOFF, V. L. and ENGLE, J. B., 1947. Effect of different concentrations of microorganisms on the feeding of oysters (*O. virginica*). Fish. Bull. Fish a. Wildlife Service, Vol. 51, pp. 30—57.
- LUCAS, C. E., 1944. Excretions, ecology and evolution. Nature, London, Bd. 153.
- LUCAS, C. E., 1947. The ecological effects of external metabolites. Biolog. Rev., Bd. 22.
- LUCAS, C. E., 1949. External metabolites and ecological adaptation. Symposia Society Exper. Biology, No. III, Growth.

- MIYAZAKI, J., 1938. On a substance which is contained in green algae and induces spawning action of the male oyster (Preliminary note). Bull. Japan. Soc. Sci. Fish. Bd. 7, p. 137/38. Tokyo.
- MOLISCH, 1937. Wirkung einer Pflanze auf die andere, Allelopathie. Jena.
- PRATT, R., 1944. Studies on *Chlorella vulgaris*. IX. Influence on growth of continuous removal of Chlorellin from the culture solution. Amer. Journ. of Botany, Vol. 31.
- PRATT, R., 1942. Studies on *Chlorella vulgaris*. V. Some properties of the growth-inhibitor formed by *Chlorella* cells. Amer. Journ. of Botany, Vol. 29, pp. 142—148.
- ROSENFELD, W. D. and ZOBELL, Cl. E., 1947. Antibiotic production by marine microorganisms. Journ. Bacter., Bd. 54, p. 393—398.
- THORSON, G., 1946. Reproduction and Larval Development of Danish Marine Bottom Invertebrates, with special reference to the planktonic Larvae in the Sound (Øresund). Meddel. Komm. Danmarks Fiskeri- og Havundersøgelser. Ser. Plankton, Bd. 4, Nr. 1, pp. 1—523.
- ZOBELL, Cl. E., 1946. Marine Microbiology. Waltham, U.S.A. pp. XVI, 1—240.

# Zur Methodik der absoluten Fettbestimmung im Hering

C. H. Brandes und R. Dietrich.

Der Fettgehalt im Heringsfleisch wurde bisher nach SOXHLET durch Ätherextraktion bestimmt. Man ging von etwa drei bis sechs Heringen aus, die möglichst die gleiche Länge und den gleichen Reifeszustand\*) der Gonaden aufwiesen. Zur Vorbereitung der Analysen wurden die Filetlappen durch einen Fleischwolf getrieben. Von der Farce wog man nach guter Durchmischung etwa 10 g ein. Nach der Trocknung wurde das Fett mit Äther extrahiert.

Das im Institut vorliegende umfangreiche Material bestätigte die von BEHRE 1952 getroffene Feststellung, daß erhebliche Schwankungen im Wasser- und Fettgehalt, geringere dagegen im Proteingehalt auftraten.

Bei einem Versuch, diese Schwankungen aus biologischen Daten, wie Fangplatz, Fangzeit, Länge, Gewicht, Alter und Reifeszustand (Nahrungsuntersuchungen lagen noch nicht vor) zu erklären, zeigte sich, daß auch nicht die geringsten Anzeichen einer Gesetzmäßigkeit zu erkennen waren abgesehen von der bekannten Tatsache, daß der Fettgehalt nach dem Abnehmen der Laichen abnimmt.

Im folgenden wurden daher nur noch Analysen an einzelnen Heringen durchgeführt. Dabei legten wir besonderen Wert auf die möglichst genaue Bestimmung des Reifegrades der Gonaden, da die Vermutung nahelag, daß die bisherige rohe Methode nicht ausreichte. Mit HEINCKE (vgl. BÜCKMANN 1938) wurde aus dem prozentualen Anteil der Gonaden am Gesamtgewicht des Fisches und der makroskopischen Untersuchung der Reifegrad ermittelt. In Zukunft wurden mit LEA (vgl. BÜCKMANN 1938) die Reifegrade I bis VI unterschieden.

Das Ergebnis dieser Untersuchungsreihe, in der Heringe aus dem gleichen Fang, der gleichen Größe und Länge, des gleichen Körper- und Gonadengewichts untersucht wurden, war nicht befriedigend. Im gleichen Geschlecht betrug der Unterschied im Fettgehalt bis zu 11,0 % und zwischen männlichen und weiblichen Exemplaren bis zu 13,2 %.

Es war naheliegend, daß eventuell ein methodischer Fehler in der Fettbestimmung diese Schwankungen verursachen könnte, zumal die Differenzen bei den Doppelbestimmungen verschiedentlich außerhalb der zulässigen Fehlergrenze lagen. SEELER und DIETRICH 1951 haben in ihren Unter-

---

\*) Im allgemeinen unterschied man zwischen I unreif, II reifend, III laichreif, IV abgelaidet.



untersuchungen darauf hingewiesen, daß der absolute Fettwert nur nach der Methode von STOLDT mit dem Salzsäureaufschluß bestimmt werden kann. In Weiterführung dieser Arbeit, die sich insbesondere mit Fettbestimmungen in Fischmehlen befaßt, stellten wir die Ätherextraktion nach SOXHLET dem Salzsäureaufschluß nach STOLDT gegenüber. Aus diesen Bestimmungen ergab sich, daß im Mittel das Gesamtfett um 0,85 % über der SOXHLETbestimmung lag. Da diese Ergebnisse in Übereinstimmung mit den Schlußfolgerungen von SEELER und DIETRICH (l. c.) stehen, wurde im Verlauf dieser Arbeit nur noch die Fettbestimmung nach STOLDT angewandt.

Um die Frage der Probeentnahme aus der Farce kritisch zu beleuchten, wurden unter der vorläufigen Voraussetzung, daß die Gesamtfettverteilung im linken und rechten Filetstück gleich sei, beide Hälften getrennt im Fleischwolf zerkleinert. Die Gesamtfarce des linken Filetlappens wurde nach Trocknung mit Salzsäure aufgeschlossen. Von der des rechten Filetlappens wurden nach guter Durchmischung Einwaagen zur Doppelbestimmung des Fettes und des Wassergehaltes entnommen. Zu unserer Überraschung ergab sich, daß die Menge der Farce des rechten Filetlappens kaum für die drei Einwaagen ausreichte. Es blieben etwa 50 bis 60 % des Filetgewichtes im Wolf zurück. Gleichzeitig stellten wir durch mikroskopische Untersuchungen fest, daß das Fett in der Farce sehr ungleichmäßig verteilt war. Es war daher zu erwarten, daß die Fett- und Wasserwerte nicht übereinstimmten. In den Analysenergebnissen fanden wir die Bestätigung. Die Differenz der Fettwerte betrug im Mittel 2,3 % (1,8 bis 3,8 %), die der Wasserwerte im Mittel 6,1 % (2,6 bis 14,2 %).

In Abänderung der Versuche wurde zunächst einmal von einem Hering nach sorgfältiger Filetierung der linke unzerkleinerte ganze Filetlappen mit Salzsäure aufgeschlossen und von der Fleischwolffarce des rechten Filetstückes eine Doppelbestimmung des Fettes ausgeführt. Es stellte sich heraus, daß der Gesamtfettgehalt des ganzen unzerkleinerten Filetlappens um 2,9 % höher lag. Das bedeutet, daß wahrscheinlich bei der üblichen Fleischwolfmethode ein erheblicher Teil des Fettes analytisch nicht erfaßt wird.

Zum Beweise der vorläufigen Annahme, daß der Gesamtfettgehalt im linken und rechten Filetlappen gleich ist (s. o.), stellten wir die Fettwerte in beiden ganzen Lappen getrennt voneinander fest. Bei einer weiteren Versuchsreihe wurde der linke Filetlappen wie oben behandelt und der rechte nach Zerschneiden mit einem Skalpell im Vakuum getrocknet. Von diesem Trockenrückstand wurde anschließend der Fettgehalt ermittelt. Die Werte stimmen praktisch überein. Die Differenz der Fettwerte beider Lappen betrug im Mittel 0,3 % bei einem mittleren Fettgehalt von 11,2 %.

Durch diese Ergebnisse hatten wir die Voraussetzung für eine exakte Überprüfung der „Fleischwolfmethode“ geschaffen. In Fortsetzung der Versuche wurden jeweils die linken Filetlappen unzerkleinert mit Salz-

säure aufgeschlossen, die rechten durch den Wolf gedreht und die Farc nach gründlicher Durchmischung auf einer Glasplatte ausgebreitet. Die Eirwaagen wurden nach nebenstehendem Schema entnommen.



Hierbei lagen die Fettwerte des linken ganzen unzerkleinerten Lappen um 2,9 bis 4,1 % höher als die der „Fleischwolfmethode“. Da, wie oben schon erwähnt, stets ein erheblicher Rückstand im Wolf verbleibt, wurde versucht, diesen durch Nachdrehen von Zellstoff zu verringern. Durch den erhöhten Preßdruck gelang dieses bis zu einem gewissen Grade, so daß bei dieser Versuchsreihe der Unterschied der Fettwerte nur noch 1,5 % im Mittel betrug. Damit war zwar einerseits eine Annäherung an den absoluten Fettwert erzielt, andererseits aber bewiesen worden, daß mit der „Fleischwolfmethode“ eine sichere Bestimmung des absoluten Fettgehaltes nicht möglich ist. Aus dieser Erkenntnis heraus ist die bisherige Zerkleinerungsmethode des Untersuchungsmaterials durch den Wolf abzulehnen.

Auf Grund dieser Erfahrung sind wir zu der Überzeugung gekommen, daß exakte absolute Fettwerte nur zu erreichen sind, wenn die unzerkleinerten Filetlappen ganz verarbeitet werden — was aus analytischen Gründen nicht immer durchführbar ist — oder wenn die Möglichkeit besteht, diese verlustlos in eine emulsionsartige Paste umzuwandeln. Das von der Firma Max Braun, Frankfurt/Main, herausgebrachte Küchengerät „Multimix“ erfüllt diese Forderung. Eine sinnreiche Konstruktion des Messerkreuzes und die hohe Tourenzahl von 12 000 Umdrehungen/Min. ermöglichen eine nahezu vollständige, verlustlose Emulgierung des Heringsfisches. Dies wurde auch durch das mikroskopische Bild bestätigt, das eine gleichmäßige Verteilung feinsten Fetttröpfchen im Gesichtsfeld zeigte.

Um die Brauchbarkeit des „Multimix“ für unsere Untersuchungen nachzuweisen, wurden die Fettwerte des in diesem Apparat zerkleinerten rechten Lappens jeweils den Werten aus dem unzerkleinerten linken ganzen Lappen gegenübergestellt. Die Analysenwerte waren praktisch gleich. Die Differenz der Fettgehalte beider Lappen betrug im Mittel wieder 0,3 % bei einem mittleren Fettgehalt von 15,4 % (vgl. S. 233).

Zur Abrundung unserer Untersuchungen haben wir die Fettwerte der Fleischwolfmethode mit den Werten verglichen, die wir mit dem neuen Gerät erhielten. Die jeweils durchgeführten Doppelbestimmungen zeigten deutlich die Überlegenheit der „Multimix-Methode“, bei der im Mittel ein Unterschied von nur 0,2 % auftrat. Die Differenzen der mittleren absoluten Fettwerte beider Methoden liegen jedoch zwischen 1,4 bis 5,9 %. Damit wurde erneut bewiesen, daß mit der Fleischwolfmethode keine exakte absolute Fettbestimmung möglich ist.

Für die vorliegende Arbeit wurden insgesamt 290 Analysen durchgeführt, deren Ergebnisse im einzelnen in dieser Zeitschrift nicht gebracht werden. Dagegen wird im Augustheft der Deutschen Lebensmittel-Rundschau das

gesamte Material veröffentlicht, um es allen interessierten Kreisen zur Einsicht vorzulegen.

Nr.	Fett in % Aufschluß nach Stoldt				Diffe- renz der Fett- werte  L-Rm	Nr.	Aufschluß nach Stoldt						Diffe- renz der Fett- werte  lm-rm
	Linker Lappen ganz  L	Rechter Lappen Multimix		Mittel  Rm			Linker Lappen Multimix  l <sub>1</sub>	Rechter Lappen Fleischwolf  r <sub>1</sub>	Mittelwerte				
		R <sub>1</sub>	R <sub>2</sub>						l <sub>2</sub>	r <sub>2</sub>	lm	rm	
1	9,8	9,6	9,6	9,6	+ 0,2	8	16,1	16,3	15,3	12,7	16,2	14,0	+ 2,2
2	16,4	16,1	—	16,1	+ 0,3	9	16,7	16,6	15,1	15,4	16,6	15,2	+ 1,4
3	14,6	14,1	14,1	14,1	+ 0,5	10	19,8	19,4	14,0	13,4	19,6	13,7	+ 5,9
4	13,4	13,2	13,2	13,2	+ 0,2	11	18,2	18,6	15,2	14,9	18,4	15,0	+ 3,4
5	16,2	15,8	15,9	15,9	+ 0,3	12	14,7	14,6	12,2	12,4	14,6	12,3	+ 2,3
6	18,3	18,1	18,0	18,1	+ 0,2	13	16,4	16,6	13,0	13,2	16,5	13,1	+ 3,4
7	19,3	18,8	18,9	18,9	+ 0,4	14	18,7	18,9	16,3	16,1	18,8	16,2	+ 2,6
						15	17,5	17,5	14,5	14,4	17,5	14,4	+ 3,1

Tabelle: Gesamtfettbestimmungen im Hering nach STOLDT in verschiedener Versuchsanordnung. Die untersuchten Heringe sind in der westlichen Ostsee in der Zeit vom 28. V. bis 8. VI. 1952 gefangen worden. Sie hatten eine Länge von 23 bis 27 cm, ein Gewicht von 96 bis 134 g, ein Gonadengewicht von 1,9 bis 11,2 g und nach LEA einen Reifegrad von II—IV. Es wird ausdrücklich darauf hingewiesen, daß es sich nicht um ein biologisch einheitliches Material handelt. Um die Genauigkeit der Methode zu überprüfen, war dieses heterogene Material sehr erwünscht.

#### Anschrift der Verfasser:

Dr. C. H. Brandes, Institut für Meeresforschung, Bremerhaven-G.

Dr. R. Dietrich, Institut für Meeresforschung, Bremerhaven-G.

#### Literaturverzeichnis

- BEHRE, A.: 1952. Fischkundliche Feststellungen. Deutsche Lebensmittel-Rundschau. 48. Jahrgang, Heft 4.
- BRANDES, C. H., DIETRICH, R.: 1952. Beitrag zur Methodik der absoluten Fettbestimmung in Lebensmitteln, insbesondere im Hering. Deutsche Lebensmittel-Rundschau. 48. Jahrgang, Heft 8.
- BÜCKMANN, A.: 1938. Die Methodik fischereibiologischer Untersuchungen an Meeresfischen. ABDERHALDEN, Handbuch der biologischen Arbeitsmethoden. Abt. IX, Teil 6.
- SEELER, Th., DIETRICH, R.: 1951. Eine schnelle, exakte Methode zur Bestimmung von Fettgehalten in Lebensmitteln und Futtermitteln, insbesondere in Fischmehlen. Landwirtschaftliche Forschung. Bd. III, Heft 1.
- STOLDT, W.: 1949. Fettbestimmung in Lebensmitteln. Deutsche Lebensmittel-Rundschau. 45. Jahrgang, Nr. 2.
- WILLE, O.: 1932. Untersuchungen über die Rohware der deutschen Fischindustrie und ihre wechselnde chemische Zusammensetzung. Fische und Fischwaren. Heft 1, S. 3—6, Heft 2, S. 29—31, Heft 14, S. 185—186.

# Über Intensität und Jahresgang der thermohalinen Schichtung in der Deutschen Bucht.

Von Erich Goedecke

**Einleitung:** Für die Untersuchung bestimmter planktologischer und fischereibiologischer Probleme in der Nordsee ist die Kenntnis von dem jahreszeitlichen Gang und der regionalen Verteilung der thermohalinen Schichtung in diesem Randmeer von großer Bedeutung. Von hydrographischer Seite ist daher in letzter Zeit zu diesem Problem wieder Stellung genommen worden [siehe DIETRICH u. GOEDECKE unter (1) bis (4)].

**Grundlagen:** Im folgenden werden in kurzen Zügen die Ergebnisse der Untersuchung der Temperatur- und Salzgehaltsschichtung hinsichtlich ihrer Intensität und ihres jährlichen Ablaufs insbesondere in der Deutschen Bucht mitgeteilt. Hierfür ziehen wir die Oberflächen- und Bodenbeobachtungen von Temperatur und Salzgehalt der deutschen und dänischen Nordseefeuerschiffe sowie der Staatlichen Biologischen Anstalt auf Helgoland innerhalb der Beobachtungsperiode 1920/1939 heran. Folgende Beobachtungsstationen kommen hier in Frage:

Beobachtungsstation	N-Br.	E-Lg.	Tiefe	Beobachtungsperiode
1. F.-Sch. Borkumriff	53° 46'	06° 04'	25 m	April 1921 bis Aug. 1939
2. " Elbe 1	54° 01'	08° 13'	22 m	Nov. 1920 bis Aug. 1939
3. " Amrumbank	54° 33'	07° 53'	19 m	April 1921 bis Aug. 1939
4. " Vyl	55° 22'	07° 41'	25 m	Okt. 1920 bis Sept. 1939
5. " Horns-Rev	55° 34'	07° 20'	35 m	Okt. 1920 bis Sept. 1939
6. Helg. Stat. I (Hog Stean)	54° 09'	07° 54'	24 m	<div style="display: flex; align-items: center; justify-content: center;"> <div style="font-size: 3em; margin-right: 10px;">}</div> <div> Jan. 1927 bis Dez. 1936 </div> </div>
7. " IIa (westl. Helg.)	54° 11'	07° 49'	44 m	
8. " III (Sellebrunn)	54° 14'	07° 49'	22 m	
9. " IV (Düne 02)	54° 11'	07° 57'	32 m	

Bevor wir auf die Ergebnisse eingehen, müssen wir uns zuerst darüber klar sein, was unter thermohaliner Schichtung zu verstehen ist, und wie die Temperatur- bzw. Salzgehaltssprungschicht im Meere entsteht.

Es ist Tatsache, daß die Dichteverhältnisse bestimmter Wasserkörper der Deutschen Bucht jahreszeitlichen Schwankungen unterliegen. Die jeweilige Dichte des Meereswassers läßt sich aus gleichzeitigen Beobachtungen der beiden Dichtekomponenten Temperatur und Salzgehalt darstellen und berechnen. Beide Komponenten bedingen, obwohl unabhängig voneinander, in verschiedener Weise den Dichtezustand des Meerwassers zu einer bestimmten Zeit und an einem bestimmten Ort der Deutschen Bucht. Daher kann man die Änderungen dieser Komponenten im Ablauf eines Jahres nebeneinander verfolgen.

Die jahreszeitlichen Temperaturänderungen im Oberflächenwasser dieses Meeresgebietes werden durch folgende Faktoren hervorgerufen:



a) die jahreszeitliche Änderung der Größe der Sonnen- und Himmelsstrahlung (Insolation), b) den jeweiligen Austausch der Wärme zwischen der Meeresoberfläche und den darüberliegenden bzw. -hinwegstreichenden Luftkörpern, c) die Größe der Verdunstung an der Meeresoberfläche in Abhängigkeit von der Windgeschwindigkeit, d) horizontale und seitliche Vermischung unterschiedlich temperierter Wassermassen (Advektion), e) vertikale Vermischung verschieden schwerer und warmer Wasserkörper (Konvektion), f) die Einwirkung der jahreszeitlich sich ändernden Temperatur des Festlandes (Wärmeleitung). Diese Faktoren bedingen also in erster Linie den Temperaturjahresgang im Oberflächenwasser. Von hier pflanzen sich diese jahreszeitlichen Temperaturänderungen in abgewandelter Form in die Tiefe und in flachen Gewässern wie der Deutschen Bucht sogar bis zum Boden fort, so daß die Tiefen- und Bodenwasserschichten entweder einen mit der Oberfläche gleichsinnig oder entgegengesetzt bzw. individuell verlaufenden Temperaturjahresgang aufweisen. Ähnliches gilt auch für die andere Dichtekomponente: den Salzgehalt. Für den Jahresgang des Salzgehalts sind in diesem Falle die jahreszeitlichen Änderungen von Verdunstung und Niederschlag sowie der festländischen Süßwasserzufuhren maßgebend. Auch diese Vorgänge bleiben nicht auf die Oberfläche beschränkt, sondern pflanzen sich ebenfalls in veränderter Art auf die tieferen Wasserschichten fort. Hier treten dann zeitliche und örtliche Unterschiede im Jahresgang des Salzgehaltes zwischen Oberflächen- und Bodenwasser auf, welche besonders in der Deutschen Bucht in erster Linie durch advective Vorgänge und Turbulenz bedingt werden. Daher gelten für die Deutsche Bucht im großen und ganzen folgende Verhältnisse: Auf Grund der Ergebnisse langjähriger Untersuchungen über den hydrographischen Vertikalaufbau der südlichen und südöstlichen Nordsee während zahlreicher „Poseidon“- , „Augusta“- und „Makrele“-Fahrten in den Jahren 1919/1939 [siehe ZORELL (5) u. Verf. (3)] hat sich immer wieder bestätigt, daß die Deutsche Bucht hinsichtlich der regionalen Dichteverteilung von mindestens zwei verschieden charakteristischen Wasserkörpern aufgebaut wird: einmal von dem schwereren westlichen Nordseewasser und zum anderen von dem leichteren östlichen Küstenwasser (6). Durch den in seiner Stärke wechselnden Einstrom westlichen Nordseewassers und den jahreszeitlich bedingten anomalen Abfluß des Küstenwassers aus den Flußmündungen der Ems, Weser und Elbe schieben sich diese beiden Wasserkörper entsprechend ihrer verschiedenen Dichte übereinander. Dabei bildet sich in der Vermischungszone an der Oberfläche ein Gebiet mit auffallend starken Dichtegradienten, in der Tiefe eine Dichtesprungschicht heraus: die sogenannte thermohaline Sprungschicht. Trotz Turbulenz, Austausch und Vermischung bleibt diese Schichtung, insbesondere die haline Sprungschicht, das ganze Jahr über erhalten. Da dieses ganze System der übereinanderströmenden Wasserkörper in dauernder Bewegung ist, bildet sich in der Vermischungszone eine Strömungssingularität heraus: die Konvergenz der Deutschen Bucht.

Sie erstreckt sich von Südost aus dem gemeinsamen Mündungstrichter der Weser und Elbe nach Nordwest in die offene Deutsche Bucht hinein. Je nach Einwirkung der jeweiligen Wetterlage und des jeweiligen Küsteneffektes (anomale Süßwasserzufuhr, Wasserstandsschwankungen entlang der deutschen Nordseeküste usw.) auf den hydrographischen Zustand der Wasserkörper der Deutschen Bucht wird die Lage der Konvergenzzone verändert, wobei sich in ihrem Raum die neu eingeleiteten Vermischungen der auf sich zu bewegendenden verschiedenen Wasserarten aus den beiden

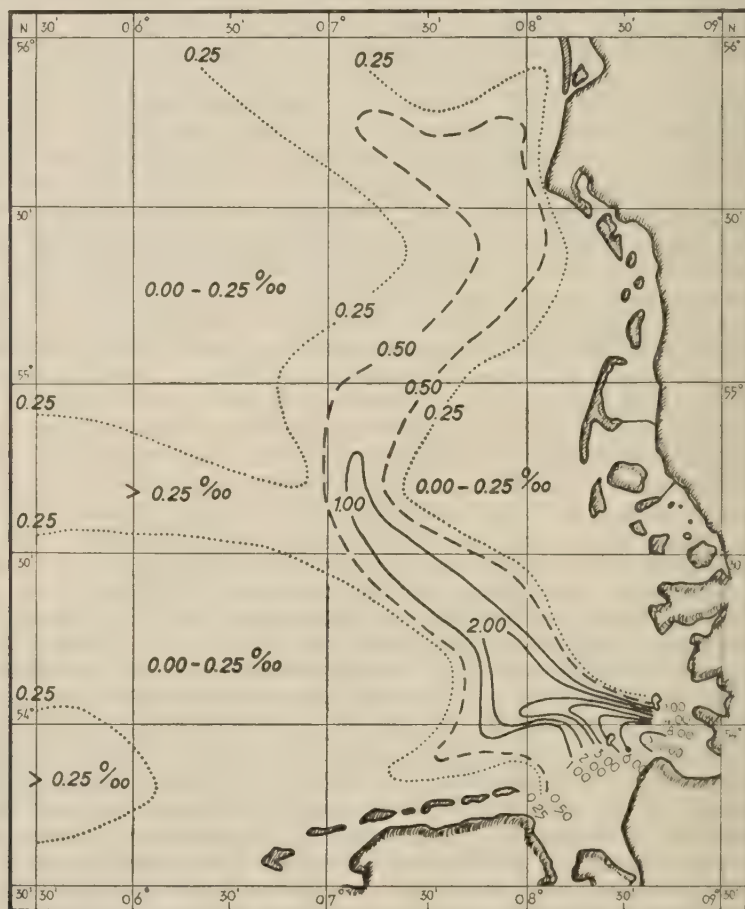


Abb. 1: S‰-Schichtung der Deutschen Bucht im April/Mai 1932 [auf Grund der S‰-Diff. (Boden-Oberfl.), 15. 4. bis 2. 5. 32, Poseidonfahrt].

Aktionszentren Nordsee und Küstenregion unter mehr oder weniger starker Verwirbelung vollziehen.

Als Beispiel für die Lage und Ausbildung der Konvergenzzone in der Deutschen Bucht werden die hydrographischen Beobachtungen während der Forschungsfahrt des R.F.D. „Poseidon“ in diesem Meeresgebiet vom 15. April bis 2. Mai 1932 [siehe SCHULZ (7) und ZORELL (5)] herangezogen. Insbesondere sind die Salzgehaltsbeobachtungen auf Grund der hydrographischen Tiefenserien am besten dafür geeignet, die Konvergenzzone in der Deutschen Bucht zu verfolgen. Mit ihrer Hilfe werden an den einzelnen hydrographischen Stationen die Salzgehaltsdifferenzen  $S^{‰}$  — (Boden minus Oberfläche) berechnet. Die regionale Verteilung dieser Salzgehaltsunterschiede wird durch Linien gleicher  $dS^{‰}$  (B-O) in der Abb. 1 dargestellt. Auf den ersten Blick sieht man sofort, daß im Zentralgebiet der Deutschen Bucht sich eine Zone mit starken vertikalen Salzgehaltsgradienten von Südost aus dem Bereich der Elbe- und Weserflußmündungen nach Nordwest bzw. Nordnordwest in die offene Deutsche Bucht erstreckt. Auffallend hohe  $dS^{‰}$ -Werte werden in und vor den Flußmündungstrichtern erreicht (3 bis  $> 10^{‰}$  Salzgehaltsunterschied). In der offenen Bucht bewegen sich die  $dS^{‰}$ -Werte zwischen den Grenzen 0,25 bis  $3,00^{‰}$ . Diese Zentralzone wird an beiden Seiten von Regionen mit 0,00 bis  $0,25^{‰}$  vertikaler Salzgehaltsdifferenz flankiert. Das heißt mit anderen Worten: die Zentralzone mit auffallend hohen vertikalen Salzgehaltsdifferenzen ist die durch das Zusammentreffen der beiden Wasserkörper mit unterschiedlicher Dichte geschaffene Konvergenzzone der Deutschen Bucht. Die sie flankierenden Meeresregionen im Einflußbereich der ost- und nordfriesischen Küsten sowie im Übergangsgebiet zur offenen Nordsee zeigen nahezu Homohalinität, also praktisch vollkommene Durchmischung in dem betreffenden Wasserkörper. Wie später noch ausgeführt wird, ist die haline Schichtung in der Deutschen Bucht gerade in den Frühjahrsmonaten am stärksten ausgebildet und wurde auf sämtlichen „Poseidon“-Fahrten immer wieder festgestellt. Die Konvergenzzone ist also im hydrographischen Vertikalaufbau dieses Meeresgebietes der südlichen Nordsee ein besonderes Merkmal. Sie ist nicht nur durch die Erscheinung der thermohalinen Schichtung charakteristisch, sondern auch dadurch, daß in dieser Zone bemerkenswerte Anreicherungen bestimmter Nährstoffkomponenten und planktonischer Lebewesen stattfinden. Es kann in diesem Zusammenhange nur auf die Ergebnisse der Nährstoffuntersuchungen von KALLE [siehe (8) u. (9) sowie Verf. (10)] hingewiesen werden. Als Ergänzung zu den Untersuchungen von DIETRICH [(1) u. (2)] soll hier aber gleich betont werden, daß die Deutsche Bucht in bezug auf das jahreszeitliche Auftreten der thermohalinen Schichtung innerhalb des gesamten Meeresraumes der Nordsee ein Eigenleben führt.

In den folgenden Ausführungen sollen nun die Schichtungsverhältnisse in der inneren Deutschen Bucht näher untersucht werden.

Ergebnisse: Die Intensität sowie den Jahresgang der Temperatur- und Salzgehaltsschichtung in der inneren Deutschen Bucht können wir z. B. durch die Temperatur- und Salzgehaltsschichten zwischen den entsprechenden langjährigen Monatsmitteln der Oberflächen- und Bodenbeobachtungen, welche auf den Feuerschiffen und den Helgoländer Terminstationen in der Deutschen Bucht durchgeführt worden sind (s. tab. Übersicht S. 236), darstellen. Da in vielen Untersuchungen der Meeresbiologie (Bodenfauna, Laichplätze usw.) die hydrographischen Verhältnisse des Bodenwassers eine bevorzugte Rolle spielen, bilden wir für den vorliegenden Zweck  $\Delta t^{\circ}\text{C} = t_{\text{M}}^{\circ}\text{C}$  (Boden minus Oberfläche) sowie  $\Delta S^{0/00} = S_{\text{M}}^{0/00}$  (Boden minus Oberfläche). Diese Werte sind in den Abbildungen 2 und 3 graphisch dargestellt.

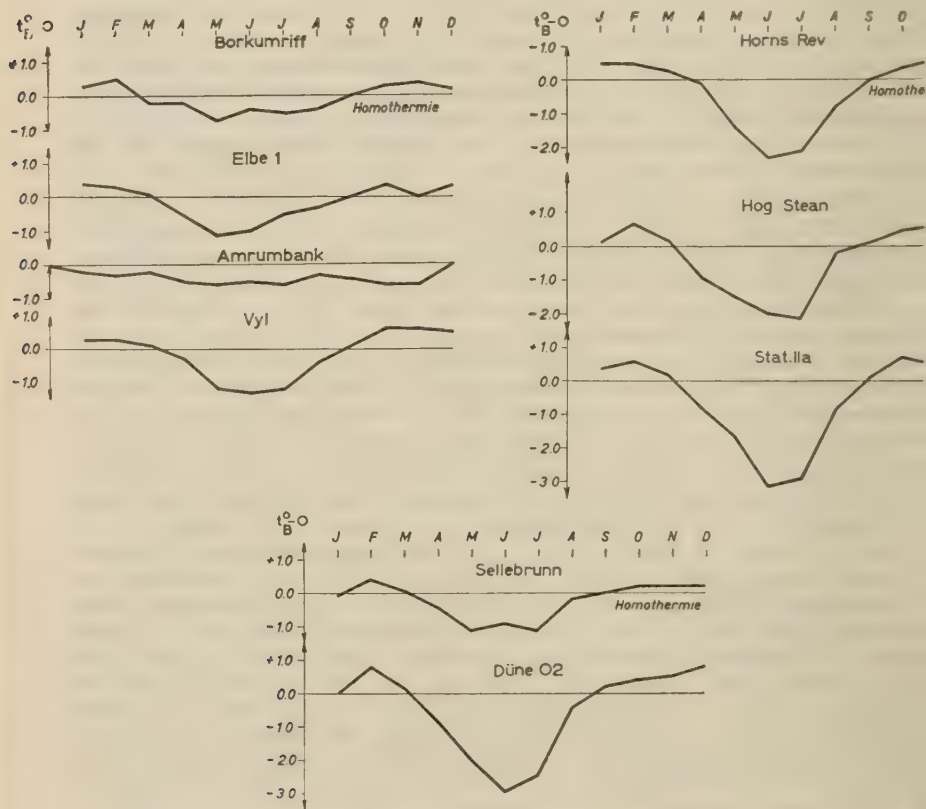


Abb. 2. Mittlerer Jahresgang der  $t^{\circ}\text{C}$ -Schichtung (Boden-Oberfl.) bei den Feuerschiffen (1920/39) und Helgoländer Terminstationen (1927/36).



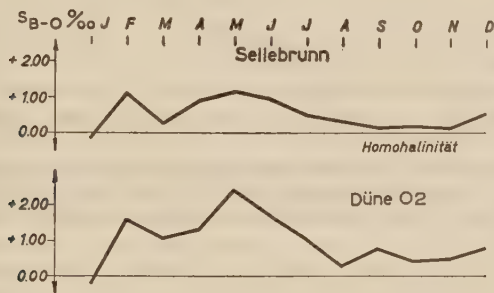
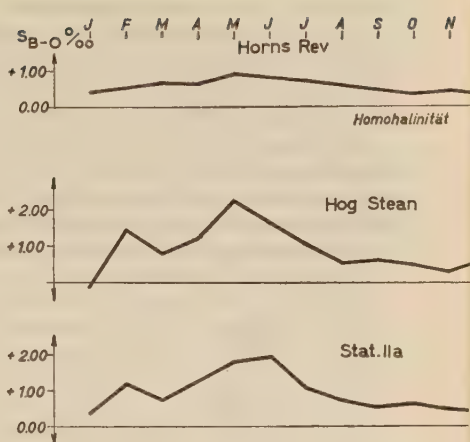
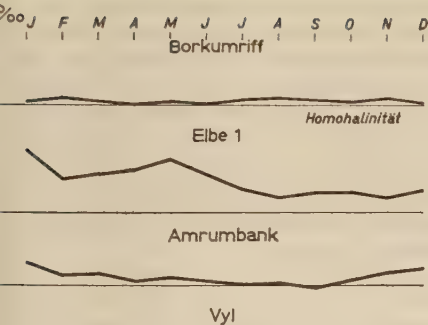


Abb. 3: Mittlerer Jahresgang der  $S^{0/00}$ -Schichtung (Boden-Oberfl.) bei den Feuer-  
schiffen (1920/39) und Helgoländer Terminstationen (1927/36).

Es ist sehr bemerkenswert, daß alle Beobachtungsstationen einen fast gleichsinnigen Jahresgang der thermischen Schichtung aufzeigen. Im Mittel ist noch das ganze Jahr über mit thermischer Schichtung zu rechnen. Sie ist in den Frühjahrs- und Sommermonaten stärker ausgebildet als in den Herbst- und Wintermonaten. Gegenüber den analogen Erscheinungen in der offenen Nordsee [siehe DIETRICH (2)] treten in der Deutschen Bucht zwei markante Zeiten mit maximaler thermischer Schichtung im mittleren Jahresgang auf. Nur ihre Intensität ist im Frühling vielmals stärker als im Winter. Nicht nur durch die zunehmende Erwärmung bzw. Abkühlung, sondern vor allem auch durch advektive Vermischungsvorgänge wird die thermische Schichtung im Sommer bzw. im Winter hervorgerufen. Von September bis März ist das Bodenwasser wärmer, von April bis August bedeutend

kälter als das Oberflächenwasser. Maximale Temperaturschichtung mit negativen  $t^{\circ}\text{C}$ -Differenzen (d. h. um soviel Grad hinkt die Bodentemperatur gegenüber derjenigen an der Oberfläche hinterher) tritt vorwiegend in den Monaten Mai bis Juli auf; mit positiven Differenzen (d. h. um soviel Grad ist das Bodenwasser wärmer als das Oberflächenwasser) vorwiegend in den Monaten Oktober, Dezember oder Februar. Die Monate März und September mit  $t^{\circ}\text{C}$ -Unterschieden von fast  $\pm 0,0^{\circ}\text{C}$  sind die Zeitmarken im Jahresgang, an denen nahezu Homothermie in der gesamten Wassersäule vorherrscht. Sie sind die Wendepunkte im Jahresgang, an denen die  $t^{\circ}\text{C}$ -Differenzen ihre Vorzeichen wechseln.

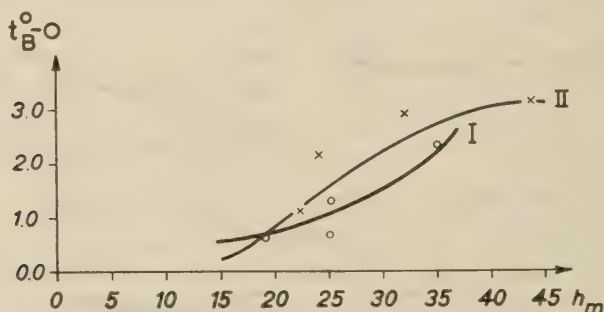


Abb. 4: Beziehung zwischen dem Maximum thermischer Schichtung und der Wassertiefe in der inneren Deutschen Bucht: Kurve I gültig für die Feuerschiffsregion, Kurve II für die Helgoländer Gewässer und die Feuerschiffsregion zusammen.

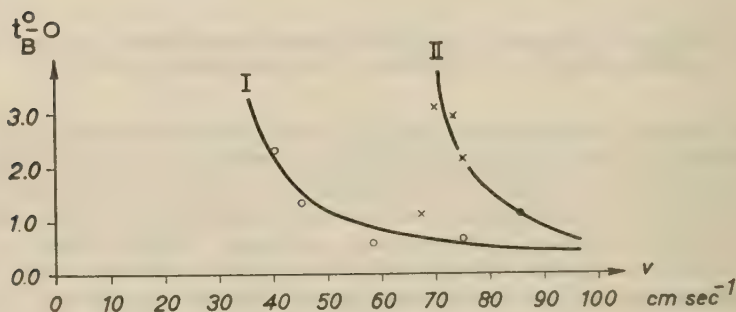


Abb. 5: Beziehung zwischen dem Maximum thermischer Schichtung und der maximalen Gezeitenstromgeschwindigkeit (an der Oberfläche zur Springzeit): Kurve I gültig für die Feuerschiffsregion, Kurve II für die Region der Helgoländer Gewässer.

Regionale Unterschiede hinsichtlich der Intensität der thermischen Schichtung sind zwischen den einzelnen Beobachtungsstationen sehr bemerkenswert. Aller Wahrscheinlichkeit nach besteht eine Beziehung zwischen dieser Intensität und der Wassertiefe [ $\Delta t^{\circ}\text{B-O} = f(h_m)$ ] sowie der maximalen Gezeitenstromgeschwindigkeit [ $\Delta t^{\circ}\text{B-O} = f(v_{\max})$ ] am Ort. Je größer die Wassertiefe, desto größer wird die thermische Schichtung, besonders zur Zeit der stärksten Temperaturzunahme an der Oberfläche (s. Abb. 4). Starker Gezeitenstrom dagegen kann die thermische Schichtung aufheben, schwacher Gezeitenstrom jedoch diese nicht zerstören. Die Abb. 5 zeigt die Abhängigkeit der Intensität der thermischen Schichtung (zur Zeit der stärksten Temperaturzunahme an der Oberfläche) von der maximalen Gezeitenstromgeschwindigkeit in der Deutschen Bucht [siehe die Karte mit der regionalen Verteilung der maximalen Gezeitenstromgeschwindigkeit nach HANSEN bei (2)]. Hierbei ist interessant, daß sich die Region der Feuerschiffsstationen bezüglich dieser funktionalen Abhängigkeit erheblich von derjenigen der Helgoländer Gewässer unterscheidet. Außerdem fällt auf, daß die Helgoländer Terminstation III (Sellebrunn) zur Feuerschiffsregion, die Feuerschiffsstation „Elbe 1“ mehr zur Region der Helgoländer Gewässer zuzurechnen ist. Während Elbe 1 sowie Hog Stean, IIa und Düne 02 im Wurzelgebiet der Konvergenzzone (vor dem großräumigen Flußmündungstrichter von Elbe und Weser) liegen, befinden sich die übrigen Feuerschiffe und Sellebrunn im Übergangsgebiet der Küstenwasserregion zur Konvergenzzone. Es soll hier aber bemerkt werden, daß derartige Beziehungen zwischen der Intensität der thermischen Schichtung und der Größe eines Faktors aus einem Komplex vieler Faktoren, welche zur gleichen Zeit den thermischen Vertikalaufbau bedingen, vorläufig noch mit großer Vorsicht zu behandeln sind. Bei Elbe 1 und den Helgoländer Terminstationen (außer Sellebrunn) sind für die Stärke der frühsummerlichen Temperaturschichtung außer den genannten Faktoren, wie Wassertiefe und Stromgeschwindigkeit, vor allem die Dichteänderungen in horizontaler und vertikaler Richtung innerhalb der Konvergenzzone verantwortlich zu machen. Neben dem periodischen Gezeitenstrom spielt der unperiodische Dichtegradientstrom (sowie der durch Windeinwirkung sich aus ihm entwickelnde Trift- oder Reststrom) eine bedeutende Rolle. Der Dichtegradientstrom in der Deutschen Bucht ist im allgemeinen ablandig gerichtet. Somit wirkt er dem Flutstrom entgegen und verstärkt den Ebbstrom. Das Ausmaß der thermischen Schichtung wird sich zur Zeit der täglichen extremen Wasserstände (Hoch- und Niedrigwasser) oder zur Zeit des Kenterns der Gezeitenströme sehr wesentlich von demjenigen bei maximalem Flut- oder Ebbstrom unterscheiden.

Zu der Eintrittszeit der primären maximalen Temperaturschichtung ist zu bemerken: in der Deutschen Bucht tritt das Maximum der frühsummerlichen thermischen Schichtung im Durchschnitt zwei Monate (Juni) früher ein als in der offenen Nordsee (August). Im Einzelfall können aber schon im April/Mai maximale  $t^{\circ}\text{C}$ -Differenzen zwischen Boden und Oberfläche auftreten [vgl. Dietrich (2): E-Zeit d. max.  $T^{\circ}\text{C}$ -Schichtung und E-Zeit d. Max. im  $T^{\circ}\text{C}$ -Jahresgang in der Nordsee].

Analog zu der Temperaturdifferenz  $t^{\circ}_{B-O}$  sind in Abb. 3 die zugehörigen mittleren monatlichen Salzgehaltsdifferenzen  $S_{B-O}^{0/_{\infty}}$  dargestellt. Auf der Borkumriff und Amrumbank zeigen alle übrigen Terminstationen im Mittel fast das ganze Jahr über haline Schichtung. Da der Salzgehaltsjahresgang sowohl an der Oberfläche als auch in der Tiefe zeitweise beträchtliche regionale Unterschiede aufweist, ist ein regelmäßiger Jahresgang der halinen Schichtung nicht vorhanden. Die stärkste Salzgehaltsschichtung tritt in der Konvergenzzone bei Elbe 1 und den Helgoländer Stationen auf, gleichfalls zwei bis drei Monate (Mai/Juni) früher als in der offenen Nordsee (August). Schon im April kann die Salzgehaltsschichtung anomal hohe Werte erreichen. Neben dem primären Maximum der halinen Schichtung im April/Juni treten sekundäre Maxima besonders in den Herbst- und Wintermonaten, vor allem im Februar (Helgoländer Gewässer), auf. Hinsichtlich der Intensität der halinen Schichtung bei den einzelnen Stationen kann man auf ihre Lage zur Konvergenzzone schließen. So liegen Borkumriff und Amrumbank am Außenrand der Konvergenzzone bzw. mehr in der nahezu ungeschichteten Küstenwasserregion; Vyl, Horns-Rev und Sella brunn im Übergangsgebiet der Küstenwasserregion zur Konvergenzzone. Elbe 1 und die übrigen Helgoland-Stationen im Ursprungsgebiet der Konvergenzzone, deren südöstliche Ausbuchtungen weit in den Weser-Elbmündungstrichter [siehe auch LÜNEBURG (11)] hineinreichen. Das Auftreten ausgeprägter Salzgehaltsschichtung bei einigen Stationen in den Wintermonaten ist einmal auf den Einfluß der in anomaler Größe abfließenden Süßwassermassen zurückzuführen, zum anderen durch denjenigen der stark vorherrschenden nord- bzw. südöstlichen Wetterlagen über dem deutschen Küstengebiet bedingt, welche eine schärfere Sprungschicht in der Konvergenzzone verursachen als in den Herbstmonaten. Während diese Jahreszeit überwiegen die Wetterlagen mit wechselhafter zyklonaler Luftzirkulation, welche die Salzgehaltsunterschiede zwischen Oberfläche und Boden abschwächen. In den Frühjahrsmonaten dagegen ist die maximale haline Schichtung einzig und allein auf die anomale Größe der vom Winter bis zum Frühling hin abfließenden Wassermassen aus den Flußmündungen zurückzuführen [siehe Verf. (12)]. Der Gegensatz zwischen Oberfläche und Boden ist dann am größten, wenn z. B. die Eintrittszeiten der Salzgehaltsminima im Jahresgang der beiden Wasserschichten eine Phasenverschiebung von mehreren Monaten aufweisen (bei Stat. IIa: Oberfläche im Juni, Boden im Oktober). Untersucht man neben den mittleren Verhältnissen das zeitliche Auftreten anomal starker Salzgehaltsschichtung in vielen hydrographischen Einzelserien irgendeines Jahres, so stellt man fest, daß diese dann keine markante Erscheinung innerhalb einer bestimmten Jahreszeit ist. Derartige große Salzgehaltsdifferenzen zwischen Oberfläche und Boden können in allen Jahreszeiten vorkommen. Diese singulären Einzelfälle, welche hinsichtlich ihrer Intensität beträchtlich vom errechneten mittleren Zustand abweichen, lassen sich vorläufig nicht allein durch die Wirkung gleichzeitiger meteorologischer und hydrologischer Faktoren erklären, auch nicht bei Berücksichtigung der betreffenden Wassertiefe und des jeweiligen



vorherrschenden Gezeitenstromes. Welche Kräfte hier noch zusätzlich für das Zustandekommen oder im entgegengesetzten Einzelfall für die Zerstörung der Salzgehaltsschichtung wirksam sind, ist bis jetzt auf Grund des vorliegenden Beobachtungsmaterials noch nicht zu entscheiden.

Zusammengefaßt kann folgendes über Intensität und Jahresgang der thermohalinen Schichtung in dem engbegrenzten Meeresgebiet der inneren Deutschen Bucht gesagt werden: Der stärkere Einstrom aus der westlichen Nordsee in der Tiefe während der Wintermonate und der gleichzeitige maximale Abfluß des Küstenwassers, besonders aus der Elbe und der Weser an der Oberfläche, bewirken vom Frühjahr bis zum Hochsommer das Zustandekommen einer anomal starken thermohalinen Schichtung, insbesondere im Bereich der von ihnen geschaffenen Konvergenzzone.

Im Mittel kann maximale thermohaline Schichtung nicht nur in den Frühjahrs-, sondern auch in verminderter Stärke in den Wintermonaten auftreten. Im Einzelfall dagegen ist sie jedoch nicht auf einen bestimmten Zeitpunkt im Jahresablauf beschränkt.

In Abhängigkeit von der Wetterlage ist hinzuzufügen: Bei ruhigen, insbesondere Hochdruckwetterlagen über der Deutschen Bucht während des Sommer- und Winterhalbjahres bestehen im Frühjahr und Sommer stark ausgeprägte vertikale Temperatur- und Salzgehaltsgradienten; im Herbst und Winter sind dagegen weniger starke Temperatur- und Salzgehaltsunterschiede zwischen der Deck- und Bodenschicht bzw. ein fast kontinuierlicher Übergang zwischen Oberflächen- und Bodenwasser ohne vollkommene Vermischung der beiden Schichten vorhanden.

Bei stürmischen Wetterlagen zyklonaler oder antizyklonaler Natur über der Deutschen Bucht dagegen kommt es vor, daß in allen Jahreszeiten entweder Homothermie und Homohalinität oder Temperatur- und Salzgehaltsschichtung auftreten können.

Anschrift des Verfassers:

Dr. E. Goedecke, Deutsches Hydrographisches Institut, Hamburg 11.

### Schrifttum:

1. G. DIETRICH: Der jährliche Gang der Temperatur- und Salzgehaltsschichtung in den britischen Randmeeren und in der Nord- und Ostsee (dazu Atlas Hamburg 1949 (zitiert in Annalen der Meteorol., 3. Jhrg., H. 5/6, S. 184 Hamburg 1950).
2. ders.: Die natürlichen Regionen von Nord- und Ostsee auf hydrographische Grundlage. Kieler Meeresforschungen, Bd. VII, H. 2, S. 35/69, Kiel 1950.
3. E. GOEDECKE: Der hydrographische Aufbau in der Deutschen Bucht vornehmlich dargestellt auf Grund der vorliegenden Unterlagen über Temperatur, Salzgehalt und Dichte. (Masch.-Schr. 144 S. mit 70 Tab. u. 107 Abb.) Deutsche Hydrogr. Institut, Hamburg 1951 (unveröffentlicht).
4. ders.: Über die Temperatur-, Salzgehalts- und Dichteschichtung in der Deutschen Bucht. Dt. Hydr. Zeitschr. 1952 (im Druck).
5. Fr. ZORELL: Beiträge zur Hydrographie der Deutschen Bucht. A. d. Archiv d. Dt. Seewarte, Bd. 54, Hamburg 1935.
6. E. GOEDECKE: Beiträge zur Hydrographie der Konvergenz der Deutschen Bucht. Annalen d. Hydr. usw., H. XI, S. 345, Berlin 1941.
7. Br. SCHULZ: Hydrographische Untersuchungsfahrten in die Nord- und Ostsee mit dem R.F.D. „Poseidon“ 1931 bis 1933. Annalen d. Hydr. usw., H. III, S. 116 u. Taf. 13, Berlin 1934.
8. K. KALLE: Phosphatgehaltsuntersuchungen in der Nord- und Ostsee im Jahre 1931. Annalen d. Hydr. usw., 60. Jhrg., H. 1, S. 6, Berlin 1932.
9. ders.: Nährstoffuntersuchungen als hydrographisches Hilfsmittel zur Untersuchung von Wasserkörpern. Annalen der Hydr. usw., 65. Jhrg., H. 1, S. 1, Berlin 1937.
10. E. GOEDECKE: Der Kalkgehalt im Oberflächenwasser der Unterelbe und der Deutschen Bucht. A. d. Archiv d. Dt. Seewarte, 55. Bd., Nr. 1, Hamburg 1936.
11. H. LÜNEBURG: Hydrochemische Untersuchungen in der Elbmündung mittel Elektrocolorimeter. A. d. Archiv d. Dt. Seewarte usw., 59. Bd., Nr. 5, Hamburg 1939.
12. E. GOEDECKE: Beitrag zur Hydrographie der Helgoland umgebenden Gewässer I. Die Oberflächenverhältnisse bei Helgoland-Reede. Annalen d. Hydr. usw., 67. Jhrg., H. IV, S. 161, Berlin 1939.

# Studien zur Brack- und Seewassermykologie II.

Oomycetes: Erster Teil\*)

Von Willy Höhnk

Mit 1 Tabelle und 3 Diagrammen.

Mit einer Auswahl der Pilzmyzelien, die im Brack- und Meerwasser gefangen worden sind und über die in der Studie I (p. 115 bis 125 dieses Bandes) berichtet wurde, ist in den letzten Monaten gearbeitet worden. Sie wurden meistens von ortsfesten Substraten und aus Bodenproben gewonnen, nur einige von treibenden Substraten.

Ihre Standorte liegen in einem Räume, der landwärts durch die Linie Wremen (etwa 10 km nördlich Bremerhavens) —Burhave (auf dem gegenüberliegenden Ufer des Wesermündungstrichters) und seewärts durch die Linie Wangerooge—Helgoland bezeichnet werden kann, und am südlichen Uferstreifen der Kieler Förde.

Unter den ausgewählten Myzelien waren 31 Oomyceten. Über die Ergebnisse der Arbeiten mit ihnen wird hier berichtet. Zwei von ihnen gehören den **Saprolegniaceae** an (die Isolierungen Nr. 28: *Aplanopsis terrestris* und Nr. +50: *Saprolegnia terax*), die anderen den **Pythiaceae**, und zwar 25 der Gattung *Pythium* (die Isolierungen Nr. 37, 38, 50, 155, 185, 212, 317, 372, 374, 376, 378, 381, 383, 384, 385, 392, 395, 449, 450, 451, 462, 468, 484, 534, 540), eine der Gattung *Pythiogeton* (Nr. 311) und drei der Gattung *Phytophthora* (Nr. 92, 154, 375).

Dieser Teil der **Oomycetes** wurde zuerst mit bearbeitet, weil sie als submers lebende und leicht kultivierbare Wasserpilze ein geeignetes Material für die Studien zu sein scheinen, die die Einwirkung des steigenden Salzgehaltes auf Myzelien zeigen sollten. Die Pilze waren alle Saprophyten. Sie waren in so großer Zahl in solchen Salzwasserhabitaten noch nicht gefunden worden. Auch ließ sich die unbedingt benötigte neuere Literatur über sie noch rechtzeitig beschaffen\*\*).

Wie sich die 31 Myzelien auf die in der Studie I unterschiedenen Habitatsgruppen unterteilen, von welchen Substraten (ortsgebundenen oder treibenden) und aus welchen Bodenproben sie isoliert worden sind und die Nummern der Isolierungen, unter denen sie auch bei den Einzelbeschreibungen im systematischen Teil erscheinen, zeigt die Tabelle 1.

\*) Der zweite, systematische Teil wird im nächsten Heft dieser Zeitschrift folgen. In diesem ersten Teil handelt es sich um die Beantwortung der prinzipiellen Frage, ob der Salzgehalt einen selektiven Einfluß auf die Pilzbesiedlung eines Standortes hat.

\*\*) Für die zeitweilige Überlassung der *Pythium*-Monographie von J. T. MIDDLETON bin ich Mrs. ROLAND D. JOFFE vom New York Botanical Garden, New York, U.S.A. dankbar verbunden.

Gruppen - habitate 1	Isolierungen von Substraten			Zahl der		Nummern der Isolierungen 7
	treibend 2	ortsge- bunden 3	Boden- proben 4	Isolie- rungen 5	Boden- proben 6	
II Meereswasser	2	2		4	4	50, 92, 317, 540
a Brackw. >7‰		9		9	6	37, 38, 50, 311, 449, 450, 451, 462, 468
III b Meerestümpel			7	7	4	372, 374, 375, 378, 383, 384, 392
IV Brackw. <7‰		1		1	1	185
V Groden, Düne, Deich			5	5	5	28, 212, 376, 395, 484
VI Tümpel			3	3	2	381, 385, 534
VII Siedlung			2	2	2	154, 155
insgesamt :	2	12	17	31	24	

Tabelle 1. Erläuterungen im Text.

Die römischen Zahlen der Kolonne 1 der Tabelle bezeichnen (ähnlich wie a. a. O.) die Gruppenhabitate; II: Meerwasser über geringer Tiefe, wo auch vom Boden Proben genommen werden konnten, III: Brackwasser mit  $> 7\text{‰}$  Salzgehalt, IV: Brackwasser mit  $< 7\text{‰}$  Salzgehalt, V: Grodenkante, Groden (das sind die meist grasbewachsenen Landstreifen zwischen Hochwasserlinie und Deich) und meerwärtigen Hang des Deiches und der Dünen, VI: Tümpel hinter dem Deich und den Dünen und VII: Siedlung (Gärten, Wege).

Die Habitatsgruppe III ist hier unterteilt. Die bei a) eingeschlossenen Myzelien sind aus der weiten Brackwasserzone und dem Watt des Wesermündungstrichters seewärts von Wremen und bei Wangerooge gewonnen und die bei b) eingeschlossenen Bodenproben sind aus den Salzwassertümpeln am südlichen Ufer der Kieler Förde genommen worden. Diese Tümpel sind seichte, kleine Wannen und haben Salzwasser. Bei langer Trockenheit ist der Salzgehalt hier zeitweise höher als selbst im Meer, nach starken Regenfällen ist er auch niedriger als  $7\text{‰}$ . Die Verhältnisse liegen hier ähnlich wie in der Brackwasserzone, nur in der engen räumlichen Begrenzung lassen sich Myzelien, die den Verhältnissen angepaßt sind, leichter finden und der Artenschatz besser feststellen. Zudem verspricht ein Vergleich zwischen den hier gefundenen Myzelien und denen, die der offenen Brackwasserzone entnommen sind, einige Aufschlüsse.

Die drei Myzelien der Gruppe VI wurden aus Proben aus dem Barsbecker Teich isoliert. Das ist ein seichtes Wasserbecken in der Nähe der erwähnten Salzwassertümpel an der Kieler Förde. Seine Achsen sind heute etwa



40×15 m. Er ist durch den Deich abgeriegelt und stellt den verlandenden und mittlerweile stark ausgesüßten Rest eines ehemaligen Salzwasserkolkes dar. Dieses Gruppenhabitat ist vor das des Süßwasserbezirkes der Siedlung gestellt, weil vermutet wurde, daß die Pilzwelt dieses aussüßenden, seichten Beckens Myzelien verschiedenen Verhaltens gegenüber Salzgehaltsstufen vereinigen würde, von denen einzelne sich vielleicht resistenter bei höherem und bei schwankendem Salzgehalt zeigen würden, als die des reinen Süßwasserhabitates.

Der Anzahl der Myzelien nach ist die Habitatsgruppe III bevorzugt worden. Das Vorhandensein dieser Pilze im hochsalzigen Wasser überraschte damals. Man könnte in ihnen kurzfristige oder zeitweilige Gäste im Salzwasser vermuten, die mit dem Oberwasser der Weser bei ablaufender Tide bis ins Seewasser getragen worden sind. Es ergibt sich hieraus die Frage, die zu dieser Untersuchung führte:

Sind die gefundenen Pilze in ihrem natürlichen Lebensraum gefangen worden oder sind sie im Salzwasserraum habitatsfremde Gäste, die hiernach einer länger oder kürzer befristeten Zeit des Kümmerns als Individuen zum Absterben und als Arten zum Aussterben verurteilt sind?

Die Blickrichtung dieser Frage stellt die Funde der Habitatsgruppe III in den Mittelpunkt; darum ist die Zahl der von dort herangezogenen Myzelien auch am größten. Die Anordnung der Habitatsgruppen gibt einen profilhaften Schnitt vom Meer- zum Süßwasser. Sollte diese Reihenfolge parallelisiert werden durch spezifisch angepaßte Pilze, wäre ein Analogon zu dieser allgemeinen Reihe auch in der Artenreihe der Meerestümpel zu denken; denn der tidenmäßig sechsstündig akzentuierte Wechsel im Salzgehalt des Brackwassers besteht praktisch auch dort, nur sind die Intervalle zwischen den Schwankungsspitzen unregelmäßig lang, sie können Wochen betragen, und die Amplitude zwischen den Salzwerten ist hier größer.

Ein abgeschwächtes Abbild dieser Verhältnisse könnte auch bei den Myzelien des Barsbecker Teiches auftreten; abgeschwächt darum, weil der Aussüßungsprozeß lange und stetig abläuft und das salzige Maximum bei langer Trockenheit relativ niedrig bleibt.

Die Beantwortung der oben gestellten Frage wird auch die biologische Rolle der Pilze beim Stoffumsatz in den Zonen des Brack- und Meerwassers erkennen lassen.

Der seither geäußerte Zweifel am Vorhandensein einer Salzwasserpilzwelt beruht besonders auf dem Mangel an Beobachtungen. Es ist anzunehmen, daß die Pilze, die, vom Wasser ausgehend, das Festland eroberten und sich der neuen Bedingung der Sporenverbreitung durch den Wind anzupassen vermochten, auch das Salzwasser zu bewohnen vermögen, und daß sie für die tote organische Substanz und die Organismen dieses Raumes die gleiche Aufgabe vorfinden und für den Kreislauf der Stoffe eine ähnliche Bedeutung haben wie in den erwähnten anderen Lebensräumen.

Ein wichtiger begrenzender Faktor für die Anzahl der Pilzindividuen dürfte gegeben sein in dem Vorhandensein und der Menge organischer Substanz. Das offene Meer, die Brackwasserzone und die verschiedenen Plätze am Strande mit mannigfaltiger Besiedlung oder mehr oder weniger starken Anwüfen bieten ähnlich unterschiedliche Lebensbedingungen wie Habitate im Limnischen oder Terrestrischen.

Es ist nur selten auf dem Meere oder an seinen Ufern mykologisch gearbeitet worden. Weitergeführte Studien dürften wohl den Nachweis bringen, daß viele Habitate des Salzwasserraumes nicht Wüsten- oder Steppe charakter haben in bezug auf die Pilzwelt.

### Beobachtungen an den Wasserschalenkulturen.

Die Beantwortung der Frage, ob die im Salzwasser gefundenen Pilze hier nur habitatsfremde Gäste, die in diesem Raume als kümmernde Myzelien von geminderter biologischer Bedeutung oder bedeutungslos sind, eine spezifische Standortsflora oder unstete Wanderer sind, läßt sich besser durch Beobachtungen an Kulturen als durch Erweiterung der Aufsammlung erkennen.

Wiederholte Isolierungen der gleichen Form aus verschiedenen Proben des meso- und polyhalinen Bereiches könnten auch besagen, daß das Oberwasser der Weser aus dem limnischen und schwach salzigen Bezirk viele Pilzindividuen zugeführt hätte. Bei jeder Tide ablaufenden Wassers wiederholt sich der Vorgang. Individuen der gleichen und noch nicht eingebrachter Arten werden immer wieder meerwärts getragen. Die Fänge, die häufig bei Niedrigwasser gemacht wurden, könnten demnach auch zu fälliger Art sein und somit wenig aussagen über die Lebensmöglichkeit am Fundort über lange Dauer.

Die Beantwortung der Frage wäre leicht, wenn die isolierten Formen eine enge physiologische Begrenzung in bezug auf den Salzgehalt hätten. Dann hätte diese Art nur eine geringe räumliche Streuung. Diese Annahme kann im limnischen oder im Meerwasserbezirk eher zutreffen als in der Brackwasserzone der Wesermündung. Hier ist der Wechsel im Salzgehalt während der Tiden schon stark und wirkt durch die jahreszeitliche Wanderung der mittleren Salzwerte stromauf- und -abwärts noch mehr ausmerzend. Es ist also unwahrscheinlich, daß für die in der Brackwasserzone lebenden Pilze nur eine kleine Amplitude der Salzwerte erträglich ist.

Erfahrungen mit Myzelien des Süßwassers sagen Ähnliches. Diese Pilze können nicht allein im Wasser unterschiedlicher Standorte gehalten werden, sondern auch in mehr oder weniger feuchtem Boden. Die letalen Grenzen für Myzelien dieser Gruppe niederer Pilze liegen bei einer Reihe von Umweltfaktoren nicht eng beieinander. Diese Pilze zeigen eine bemerkenswerte physiologische Plastizität.

Der ein- oder auch mehrmalige Fund einer solchen Pilzart in der Salzwasserzone unseres Untersuchungsgebietes sagt wenig oder nicht genügend aus über seinen natürlichen Standort, seine Herkunft und seine biologische

Bedeutung am Fundort. Die Beobachtungen von Kulturen in verschiedenen Salzgehaltsstufen lassen die Korrespondenz zwischen Genotypus und Habitat besser erkennen.

Es wurden insgesamt vier Kulturserien (A, B, C und D) nacheinander angesetzt. Die Beobachtungen an der jeweils laufenden Serie ergaben die Notwendigkeit der nächsten. Darum werden sie hier nacheinander behandelt und danach die Ergebnisse in den Diagrammen 2 bis 4 dargestellt und besprochen.

Einige methodische Daten seien vorangestellt.

Von jeder der 31 bearbeiteten Formen wurden von zwei gesunden Myzelien in zwei Schalen nach gleichzeitiger Beköderung die benötigten, gleichaltrigen und ähnlichen Tochtermyzelien gewonnen.

Für alle Myzelien erwiesen sich sterilisierte, geschälte Reiskörner als geeignete Substrate. Der Hyphenbestand war bei den meisten dicht bis üppig, nur bei den drei *Phytophthera*-Arten blieb der Wuchs locker. Diese Eigenschaften waren in allen Salzgehaltsstufen bei allen Formen ähnlich.

Das bei den Kulturserien A und B gebrauchte Salzwasser war von Standorten im Freien, bei denen es zur Entnahmezeit den angegebenen Salzwert hatte, eingebracht.\*) Für die Serie C wurden die beiden mittleren Werte durch entsprechende Mischung von Meerwasser und Aqua dest. hergestellt und nahezu konstant gehalten. Das Süßwasser für die Serie D war aus dem Großen Sager Meer bei Oldenburg und dem Großen Bullensee bei Rotenburg in der Umgebung Bremens geschöpft.

Alles Wasser wurde wiederholt durch Membranfilter geschickt, für die Serien A, B, D und die erste Zeit der Serie C sowohl grob, mittel und fein filtriert. Als während der Serie C der Tagesverbrauch größer wurde als fein filtriert werden konnte, wurde statt fein zweimal mittel gefiltert.

Alle Serien liefen bei Zimmertemperatur. Ihre Maximal- bzw. Minimalwerte waren während der Laufzeit der Serie A 14—23°, der Serie B 15—23°, der Serie C 14—22° und der Serie D 16—22°. Diese Temperaturwerte liegen alle im Bereich der Bedingungen am Standort im Freien während eines normalen Sommers.

Für die Serie A wurden von jeder der 31 isolierten Formen sechs Myzelien für fünf verschiedene Salzwerte und eins für Aqua dest. gebraucht. Die sechs Stufen waren:

1. Aqua dest.	pH 7,0
2. 3 ‰ Brackwasser	
3. 7 ‰	„
4. 13 ‰	„
5. 17,9 ‰	„
6. 24,9 ‰	pH 8,6

\*) Für das wiederholte Einbringen des Meer- und Brackwassers danke ich Herrn Inspektor W. KLINGE vom Wasser- und Schiffsahrtsamt in Bremerhaven, für die laufenden Salzbestimmungen Herrn Dr. H. LÜNEBURG, Hydrograph an unserem Institut.

Von 31 Sechserreihen wurden 15 nach zwei Wochen erneut angesetzt. Die Myzelien entwickelten sich ungleich, weil die verwendeten Reiskörner zu stark erhitzt worden waren. Die Substrate erhielten im Wasser nach kurzer Zeit gelbbraunliche, schleimige Säume, die den Wuchs zunehmend behinderten. — Von den insgesamt laufenden 186 Schalen wurden neun ausgeschieden. Das Myzel in ihnen zeigte auffällig verzögerten Wuchs oder gar Stagnation, einzelne auch Verschmutzung. Sie waren Einzelschalen innerhalb der Sechserreihen und wurden darum nicht durch neue ersetzt.

Die Serie A lief während  $3\frac{1}{2}$  Wochen. Die Beobachtungen fanden an 1., 2., 3., 5., 6., 8., 10., 11., 13., 14., 15., 21. und 24. Tage statt; bei den später erneut angesetzten wurden der 5., 10. und 21. gegen den 4., 8. und 18. Tag eingetauscht.

Der Beobachtung dieser Kulturserie lag die Annahme zugrunde, daß die Myzelien an ihrem natürlichen Standort auch am ehesten einen lückenlosen Lebenszyklus (nacheinander Wachstum-Sporulation und Sexualphase) zeigen und die optimale Propagationsziffer erreichen werden. Neben dem Lebenszyklus könnte auch noch der Lebensrhythmus als Kriterium herangezogen werden, sein Ablauf in mehr oder weniger Tagen.

Fortlaufend beobachtet bzw. gemessen oder ausgezählt wurden für jeden Pilzrasen Erscheinungen des Wuchses, Beginn und Ausbildung der Sporulation, Eintritt und Dominanz der Sexualphase, Gesundheit bzw. Anteil der degenerierenden Oosporen und eventuell die Bildung von Gemmen.

Die Kriterien für die Beurteilung des Wachstums waren der Radius des Rasens und besondere Eigenarten der Hyphen, wie unterschiedliche Breiten in verschiedenen Salzgehaltsstufen, gemmenhafte Plasmadichte bei kürzer bleibenden Radien der Rasen und das Auftreten von Zwischenwänden in den Hyphen.

Die Kriterien greifen kompensatorisch ineinander. Es wurde beispielsweise in den beiden höchsten Salzgehaltsstufen einiger Sechserreihen schon früh einsetzendes, retardiertes Wachstum beobachtet. Messungen bestätigten den Eindruck, daß die durchschnittliche Hyphenbreite in diesen Fällen sich bis aufs Doppelte der Hyphenbreite wie in den Schalen mit niederen Salzwerten erhöht hatte. Bei einem Teil dieser Myzelien und in bestimmten Salzgehaltsstufen auch bei einigen anderen trat ein Gemmencharakter der Hyphen in Erscheinung. Die Hyphen dieser Rasen waren dann nach etwa einer Woche prall mit Plasma gefüllt. Während des Auffüllens war das Wachstum schleppend oder schon beendet. Gelegentlich brachen solche Hyphen glattrandig ab. Dabei zeigte sich, daß die Brüche durch Zwischenwandbildungen vorbereitet waren. Zwischenwände ließen sich dann auch bei den noch erhaltenen Hyphen bei mikroskopischer Beobachtung auffinden.

Die letzterwähnten Erscheinungen sind kompensatorisch mit der Radiuslänge verknüpft und kommen in den graphischen Darstellungen 2 bis 4



durch sie mittelbar mit zum Ausdruck. Sie sind wahrscheinlich durch langsam wirkende, ungünstige Umweltfaktoren bedingt. Der verkürzte Radius in den betreffenden Salzgehaltsstufen ist darum ein treffender Ausdruck für die Wirkung der Salzkonzentration und die Radiuslänge überhaupt ein brauchbares Kriterium bei der Feststellung des optimalen Habitats. — Analoge Verhältnisse liegen auch bei den *Saprolegniaceae* vor. Bei diesen werden die Gemmen als Alters- oder bei jungen Hyphen als Hemmungsbildungen aufgefaßt.

Bei 14 von den 31 Formen ließ sich die Radienlänge in den Sechserreihen in eingipfeligen Kurven zeichnen. Die Gipfel bezeichneten somit die optimalen Salzkonzentrationen für das vegetative Wachstum dieser Pilzarten oder -rassen. Das war der Fall bei den Isolierungen Nr. 28, +50, 50, 92, 154, 185, 374, 376, 384, 392, 395, 449, 484 und 534.

Der Gipfel der Kurve war gewöhnlich nicht auf eine der gewählten Salzgehaltsstufen begrenzt; er schloß zwei oder auch wohl drei benachbarte Konzentrationsstufen ein. Er lag für zwei Sechserreihen (*Aplanopsis terrestris* und *Saprolegnia ferax*) im Süßwasser, für drei (383, 50, 37) im 24,9‰igen Salzwasser, für die anderen bei Zwischenwerten.

Bei drei anderen Sechserreihen war das Wachstum zunächst kurvenhaft wie bei den eben erwähnten. Etwa am sechsten Tage beginnend, holten einige oder alle der sechs Parallelkulturen auf. Am Ende, in den altersstagnierenden Kulturen, waren die sechs Radien dann einander ähnlich, angenähert auf  $\pm 2$  mm.

In acht weiteren Sechserreihen wuchsen die Hyphen in allen Salzgehaltsstufen fast gleichmäßig. Der Kurve fehlte ein Gipfel. Für drei andere galt die gleiche Feststellung; sie war hier aber durch Kurzwüchsigkeit bedingt, d. h. die Endlängen, die bis zu  $\pm 3$  mm betrugen, waren zu gering, um die Tagesraten in mm kurvenhaft zu veranschaulichen.

Die restlichen drei Sechserreihen ließen sich nicht in dem gewünschten Sinne verwerten. Die Radiuslängen in den sechs Schalen ergaben eine Zickzacklinie, schon zu Beginn oder später. Dabei wechselte auch die Länge der Tagesraten, so daß die Spitzen nicht immer über den gleichen Salzwerten der Abzisse lagen.

Das Beobachtungsergebnis in bezug auf das vegetative Wachstum bei dieser Kulturserie A war: Bei 14 und 3, zusammen 17 Formen, ließen sich begrenzte optimale Werte feststellen. Die nächsten 8 und 3, zusammen 11 Formen, zeigten sich als euryhalin, d. h. sie wuchsen in allen Konzentrationen ähnlich, fast gleichmäßig. Bei den Sechserreihen der restlichen drei Isolierungen ließ das ungleichmäßige Wachstum nur euryhaline Eigenschaften vermuten.

Für die Beurteilung der sporulativen Leistung der Myzelien der 31 Formen oder Isolierungen wurden die folgenden vier Grade unterschieden: Wenig (beginnend),mäßig, gut und üppig. Damit wurde die Zahl der in einem Gesichtsfeld durchschnittlich gezählten sporulierenden Sporan-

gien erfaßt. In der ersten Stufe lagen bis zu 9, in der zweiten von 10 bis 18, in der dritten von 19 bis 27 und in der letzten mehr vor.

Diese Skala hat sich brauchbarer erwiesen, als es zunächst scheinen will. Es sollten nicht die Formen, sondern die Myzelien der gleichen Form in den sechs Schalen mit Wasser verschiedenen Salzgehalts miteinander verglichen werden.

Die Rasen kurzwüchsiger Arten und die in allen Salzgehaltsstufen ähnlich schnell wachsenden Formen erlaubten klare Vergleichsdaten; das waren elf Isolierungen. Bei denjenigen Formen, deren Hyphenwachstum eine eingipfelige Kurve zeigte mit dem Optimum bei einem bestimmten Salzgehalt, waren die Werte bedingter; denn bei den vorliegenden verschiedenen Radiuslängen bot ein Gesamtraster auch mehr als fünf Gesichtsfelder bei einer binokularen 140fachen Vergrößerung dar.

Es wurden dadurch leicht ungleich große Sektoren miteinander in Beziehung gebracht. Diese Fehlerquelle konnte aber weitgehend eingeengt werden durch andere Beobachtungen, die sich auf den Beginn, das Optimum und die Dauer der Sporulation in jeder Schale bezogen.

Die so festgelegte Salzgehaltsstufe für die optimale Sporulation war bei fünf Formen zugleich die des optimalen Wuchses, bei neun anderen hatte das Sporulationsoptimum einen weiteren und bei wieder fünf anderen einen engeren (aber gleich gelagerten Bereich) als das Wachstumsoptimum.

Bei fünf Isolierungen verschoben sich die beiden Optima so, daß nur ein enger gemeinsamer Bereich vorhanden war, während bei zwei weiteren Formen (37, 384) die beiden Optima keine gemeinsame Salzstufe hatten. Von den restlichen fünf Formen zeigten zwei keine (28, 185) und eine Form sehr spärliche Sporulation (212), und bei den zwei letzten ließen die Protokolle keine Optimumsbegrenzung zu.

Unter den 14 Formen, von denen sich eingipfelige Wachstumskurven zeichnen ließen, waren zwei, die keine Sporulation zeigten. Die übrigen zwölf hatten das Sporulationsoptimum in den gleichen Salzstufen wie das Wachstumsoptimum. — Von den acht, dem Wachstum nach euryhalinen Formen ließen sich zwei durch ein eng begrenztes Sporulationsoptimum charakterisieren, die anderen sechs zeigten auch in dieser Phase größere Streuung.

Am Ende der Laufzeit dieser Kulturserie A zeigte sich, daß bei den meisten Formen die gute oder üppige Sporulation in den gleichen oder benachbarten Salzgehaltsstufen auftrat, in denen ihr Wachstum seine beste Entfaltung zeigte. Eine einengende Herausstellung des spezifischen Lebensraumes der behandelten Arten ließen die gewonnenen Daten über die Sporulation in manchen anderen Fällen nicht zu. Um dafür Unterlagen zu erhalten, wurde die Serie B notwendig, über die weiter unten berichtet wird.

In dieser Hinsicht günstigere Feststellungen brachten die Beobachtungen während der sexuellen Phase. Diese trat bei 16 der 31 Formen auf.

Zur Feststellung der optimalen Salzstufen für ihre Ausbildung wurde ihr zeitlicher Beginn und ihre Dauer, die Zahl der Oogone und der Zustand der Oosporen, eventuell der prozentuale Anteil der degenerierenden Oosporen festgehalten. Bei der Zählung der Oogone wurde auch hier die Gruppierung in wenig (beginnend), mäßig, gut und üppig gemacht, für die die Häufigkeitsgrenzen bis 9, zwischen 10 und 18, zwischen 19 und 27 und mehr als 27 in einem Gesichtsfeld bei gleichbleibender Binokularvergrößerung waren.

Die optimale Ausbildung der sexuellen Phase lag bei 15 Formen in den gleichen Salzgehaltsstufen wie auch die Optima für Wachstum und Sporulation lagen. Bei vier dieser Formen waren die Salzwerte für die optimale Sexentfaltung enger als für die der früheren zwei Teiloptima. Bei der letzten, der sechzehnten Isolierung, lag das Sexoptimum nach der Süßwasserseite hin, während ihre Wachstums- und Sporulationsoptima in höheren Salzwerten auftraten. Diese Isolierung wurde aus einem Salzwassertümpel bei Kiel gemacht, in dem der Salzgehalt sich stetig verschiebt, wenn auch langsamer und über gewöhnlich längere Zeitschritte als es in der Tidenzone der Wesermündung geschieht. Die Annahme liegt nahe, daß für die vegetative Propagation die salzigen Stufen stimulierend wirken, in den Zeiten mit relativ süßem Wasser aber die sexuelle Phase vorherrscht.

Alle Formen, die nach den Wachstums- und Sporulationsoptima als euryhalin angesehen wurden, blieben asexuell.

Im Überblick besagen die Ergebnisse der Kulturserie A, daß sich für fast alle Formen mit vollständigem Entwicklungszyklus, wenn alle drei Phasen vorlagen, auch ein Salzgehaltsbereich feststellen läßt, in dem eine optimale Entfaltung erfolgt. Die Teiloptima haben mindestens eine gemeinsame Salzgehaltsspanne, bei einem Teil dieser Formen decken sie sich fast. — Die asexuellen Formen haben durchweg ein größeres optimales Verbreitungsgebiet. Sie erscheinen euryhalin oder doch euryhaliner als die meisten sexuellen. — Sowohl in der Gruppe der sexuellen als auch in der der asexuellen gab es zwei bzw. drei Isolierungen, bei denen die Teiloptima in zwei sehr unterschiedlichen Stufen der Salzgehaltsskala lagen. Diese Myzelien entstammten den Salzwassertümpeln an der Kieler Förde.

Die erhaltenen Daten zu überprüfen und den optimalen Lebensraum in bezug auf den Salzgehalt mehr herauschälen zu können, wurden noch drei weitere Kulturserien angesetzt.

In der Serie B wurde im wesentlichen nur die sporulative Leistung der Myzelien beobachtet. Dadurch sollten weitere Unterlagen gewonnen werden, um das optimale Milieu näher zu begrenzen. Die Ergebnisse über diese Phase waren in der Serie A, wie es schien, in manchen Fällen nicht bezeichnend genug.

Die sechs Salzgehaltsstufen der vorigen Serie blieben auch hier erhalten. Jede Form oder Isolierung war also durch eine Sechserreihe vertreten. Es liefen wieder gleichzeitig 31 mal 6, also 186 Schalen. 17 Einzelschalen mit

gestörtem Start wurden erneuert; sie liefen um die Zahl der Tage länger, die sie später angesetzt wurden. Während der Laufzeit fielen von vier Formen je eine Schale aus, die nicht erneuert wurden. Sie waren entweder durch ungeeignete Köder oder durch Verschmutzung den anderen Myzelien gegenüber benachteiligt; das stellte sich erst nach der zweiten bis fünften Tochterkultur heraus. Alle Ausgangsschalen enthielten neben einem sehr jungen, gesunden Rasen in  $\pm 3$  cm Entfernung ein oder zwei unbesiedelte Reiskörner als neue Köder. Die in den Primärmyzelien entstandenen Zoosporen sollten ihre Schwärm- und Infektionstüchtigkeit beweisen.

Wurde bei der täglichen Durchsicht mit dem Binokular einer der hinzugelegten Köder besiedelt gefunden, wanderte diese Tochterkultur in eine neue Schale, die frisches Wasser mit gleichem Salzgehalt enthielt. Hinzugelegt wurden wieder in  $\pm 3$  cm Entfernung ein oder zwei neue Köder, von denen der erstbesiedelte die zweite Tochterkultur bildete, die wieder in eine neue Schale mit Wasser der gleichen Salzkonzentration gelegt wurde. Diese Behandlung der 186 weniger 4 Schalen währte während der ganzen Laufzeit an. Die Schalen mit den älteren Myzelien wurden für diese Untersuchung bedeutungslos; in einigen Fällen wurden sie zur Überprüfung anderer Daten gebraucht.

Die Laufzeit der Serie B dauerte drei Wochen. Die Zahl der erhaltenen Tochterkulturen sollte ein neues Kriterium zur Bestimmung der optimalen Salzgehaltsstufe für die Sporulationsphase der einzelnen Formen sein und darüber hinaus auch eine Unterlage zum Vergleich der 31 Arten oder Formen miteinander beibringen, um etwas über die Häufigkeit am Standorte im Freien und die vermutliche ökologische Rolle der Form sagen zu können.

In die Protokolle über diese Serie wurde stets das Datum der Übertragung der Tochterkultur eingetragen. Die Reihe dieser Daten ließ am Ende der Versuchsserie die Länge der Infektionsintervalle erkennen, ob sie gleich waren oder unregelmäßig. Im ersten Falle konnte auf einen normalen, im letzteren auf einen gestörten Verlauf geschlossen werden.

Bei den sporulationslosen oder -armen Formen blieb die Zahl der Tochterkulturen sehr niedrig. An die Stelle der infizierenden Zoosporen traten hier abbrechende, gemmenhafte Hyphenteile.

Die höchste Zahl an Tochterkulturen lieferte die Form Nr. 384 im Brackwasser mit 7 ‰ Salzgehalt, nämlich 11, d. h. an jedem zweiten Tag wurde eine neue Tochterkultur übertragen. Im Wasser mit 13 ‰ Salzgehalt waren es acht, bei 17,9 und 24,9 ‰ waren es sieben, bei 3 ‰ und im Aqua dest. nur je zwei Tochterkulturen. Es wurde eine klare Optimumsbestimmung für diese Lebensphase möglich. Die Sporulation trat in allen anderen Stufen auch auf, aber die Schalen von der optimalen Stufe nach der salzigen Seite hin brachten wesentlich höhere Erträge als die nach der aussüßenden Seite.



Zwölf der 31 Formen zeigten ihr Sporulationsoptimum in einer der hier verwendeten Salzgehaltsstufen, davon eine bei 0 ‰, zwei bis 3 ‰, sieben bei 7 ‰, eine bei 13 ‰ und eine bei 24,9 ‰ (381).

Der Bereich optimaler Sporulation faßte bei drei weiteren Formen zwei und bei zwei weiteren drei benachbarte Salzwasserstufen ein.

Die restlichen 14 Formen stießen in bereiterer Front vor, so daß eine nähere Bezeichnung der optimalen Spanne nicht gegeben werden kann. Immer aber, wenn ein Mehr oder Weniger als eine Tochterkultur nicht gezählt wurde, waren die Übergänge gleitend.

Erwähnenswert ist die Feststellung, daß bei 26 Isolierungen die salzigen oder die von der optimalen Stufe aus salzigeren Stufen die höheren Zahlen der Tochterkulturen zeigten als die, die nach der Süßwasserseite hingeneigt waren.

Von den restlichen fünf Isolierungen oder Formen (28, +50, 155, 540, 534) waren vier verschiedene Süßwasserarten, für die salziges Wasser keine stimulierende Wirkung für den Ablauf der Sporulation hatte. Wohl zeigten zwei von ihnen bei Übertragung in salzigeres Wasser *Sch o c k w i r k u n g e n*, d. h. die Entleerung der individualisierten Sporangien geschah sturzhaft und resultierte auch in atypischen Plasmaballen, die entweder zugrunde gingen oder sich im Sporangium encystierten, jedenfalls regelmäßig keine Schwärmerbildung zeigten.

Die Erwartungen, die an diese Kulturserie gestellt worden waren, wurden im allgemeinen erfüllt, in einer Hinsicht übertroffen und in einer anderen nicht einwandfrei beantwortet.

Die gebildeten Zoosporen und die abgebrochenen Gemmenbildungen infizierten regelmäßig neue Köder. Weil ein klarer Zählwert gebraucht wurde, ließ sich das Sporulationsoptimum bei 17 von 31 Formen einengen. Bei allen Arten lagen die von der Sporulation begünstigten Salzgehaltsstufen in den in der Serie A festgestellten Bereichen.

Darüber hinaus lassen die Gesamtzahlen der Tochterkulturen auch die Verbreitung und die ökologische Bedeutung der Isolierungen erkennen. Wenn z. B. Nr. 484 insgesamt in allen Stufen 41 Tochterkulturen brachte und der benetzten Grodenkante bei Wremen entnommen war, dann dürfte sie leichter und häufiger bei fortgesetzter Aufsammlung gefunden werden, als z. B. Nr. 185, die an einer ähnlichen Stelle bei Wangerooge gefangen wurde und nur 12 Tochterkulturen brachte.

Die höheren Gesamtzahlen in dieser Serie lieferten wohl meistens die als euryhalin anzusehenden Arten, während die an einen bestimmten Salzgehalt angepaßten zahlenmäßig dagegen abfallen. Die Sechserreihen von zwei Isolierungen brachten insgesamt je über 40 Tochterkulturen, neun 31 bis 40, sechs 21 bis 30, vierzehn 20 und darunter. Die Spitze brachte Nr. 378, nämlich 45 Tochterkulturen, die wenigsten *Aplanopsis terrestris*, nämlich nur 5. Nr. 378 ist ein Meerestümpelbewohner, *Aplanopsis* als Groden- und Deichhangbewohner ein Süßwasserpilz.

Nicht möglich war die erwünschte enge Optimumsbegrenzung bei 14 Formen; von ihnen waren die meisten asexuell.

Die Ergebnisse dieser Kulturserie sind bei der Anfertigung der Diagramme 2 bis 4 mit verwendet worden und z. T. bei den Artbeschreibungen wiedergegeben.

Der gesamte Entwicklungszyklus der Arten unterlag wieder der Beurteilung bei der folgenden Kulturserie C.

Die Überlegung führte dahin, daß neben dem Salzgehalt der rhythmische Wechsel im Salzgehalt des umspülenden Wassers am natürlichen Standort wirksam ist. Nachdem die beiden ersten Serien gezeigt hatten, daß die meisten behandelten Pilze ihre Keimbahn im Brack- oder Meerwasser zu vollenden vermögen, könnte der tidenhafte Wechsel stören und nach kürzerer oder längerer Zeit ausmerzend eingreifen. Diese neue Serie sollte die früheren, wahrscheinlich zu günstigen Beurteilungen berichtigen helfen.

Von jeder der 31 Arten, Formen und Isolierungen wurden junge, kräftig ansetzende Myzelien mit ihrem Substrat in sieben Schalen gelegt, deren Wasser in sechsstündigem Rhythmus erneuert wurde, und zwar wechselte in der

- Stufe I Aqua dest. mit Brackwasser von  $\pm 7\text{‰}$  Salzgehalt
- Stufe II Brackwasser von  $\pm 7\text{‰}$  mit Brackwasser von  $\pm 17\text{‰}$
- Stufe III Brackwasser von  $\pm 17\text{‰}$  mit Meerwasser von  $\pm 32\text{‰}$
- Stufe IV Meerwasser von  $32\text{‰}$
- Stufe V Aqua dest. mit Brackwasser von  $\pm 17\text{‰}$
- Stufe VI Brackwasser von  $\pm 7\text{‰}$  mit Meerwasser von  $\pm 32\text{‰}$
- Stufe VII Aqua dest. mit Meerwasser von  $\pm 32\text{‰}$  Salzgehalt.

Für jede dieser gewählten Salzgehaltstufen ließe sich zu gegebener Zeit ein Standort im Freien finden und nennen. Die Pilze, die an diesen Stellen ortsgebundene Substrate bewohnen, sind aber im Laufe eines Jahres bedeutend größeren Schwankungen des Salzgehalts ausgesetzt als die Stufen I bis III hatten, weil die Linien mittleren Salzgehaltes wandern, bedingt durch den jahreszeitlich unterschiedlichen Oberwasserzufluß. Für die Fundorte im südlichen Teil unseres Untersuchungsgebietes dürften die Salzverhältnisse mehr den Stufen III und V—VII als z. B. den Stufen I und II ähneln.

Es wurden für diese Wechsel nur vier verschiedene Wasser gebraucht. Das Aqua dest. enthielt Spuren des Meerwassers, und zwar auf einen Liter 20 ccm. Die beiden mittleren Stufen wurden durch Mischung von entsprechenden Teilen Aqua dest. und Meerwasser erhalten. Sie mußten mehrfach erneuert werden. Die Salzwerte lagen zwischen 6,26 und 7,6 bzw. 17 und 18,7‰. Das zunächst gebrauchte Meerwasser hatte 29,11, das später eingeholte 33,7‰ Salzgehalt.

In alle Schalen wurden wieder ein oder zwei neue Köder zugelegt, um auch Daten zu sammeln für die Infektionstüchtigkeit der Sporen und über die Besiedlungszeiten.

Die Laufzeit dieser Serie betrug 10 Tage; die Durchsichten fanden am 2., 5., 6., 8., 9. und 11. Tage statt, bei den Stufen V bis VII fielen der 6. und 8. Tag aus. Danach blieben die Kulturen im Wasser des höheren Salzgehaltes noch mehrere Wochen erhalten. 10 bis 15 Tage nach Beendigung des Wasserwechsels wurde nochmals eine Durchsicht vorgenommen. Deren Ergebnisse deckten sich nicht immer mit den Beobachtungen, die während der Laufzeit gemacht worden waren. Sie brachten ein Bild hervor, welches dem der Serie A angenähert war. Mancher Kümmerwuchs hatte sich erholt, unterschiedliche Hyphenlängen waren mehr ausgeglichen und Sporangienzahlen und -größe verrieten ebenfalls eine angleichende Beeinflussung. Sowohl für den Vergleich mit den Ergebnissen bei der Serie A als auch in Hinblick auf die Wirkung oder Folgen des tidenhaften Wechsels im Salzgehalt des Schalenwassers sind die ergänzenden Protokollnotizen der letzten Durchsicht nicht berücksichtigt worden.

Der rhythmisch schwankende Salzgehalt des Kulturwassers beeinflusste das Wachstum der Myzelien augenscheinlich. Größere Radien als in der Serie A sind während der Beobachtungszeit wohl nirgends aufgetreten, in einigen Fällen wohl aber merklich kürzere. Das betraf auch die Myzelien der Formen, die im ungestörten Schalenwasser der Serie A eine eingipfelige Kurve für die Längen in verschiedenen Salzgehaltsstufen zeichnen ließen. Hier in Serie C waren die längeren Maße nicht so überragend.

Einige andere Erscheinungen aber halfen, einer Optimumsbestimmung näher zu kommen. Bei der Nr. 462 nahmen die Radien der Myzelien von der Stufe I bis III kontinuierlich ab. Kompensiert wurde die Erscheinung durch zunehmende Breite, bis sie in VI ihr Maximum, das Doppelte etwa, erreichte, und zugleich zeigten die Einzelpflänzchen vergemmende, mit Plasma prall gefüllte Hyphen und bäumchenhaften Wuchs. Die Nebenzweige standen sparrig ab, gabelten sich, und zeigten insgesamt einen ungewöhnlichen Habitus, tannenbäumchenhaft oder dem Astwerk eines Laubbäumchens ähnlich.

Eine andere Form (468) zeigte in der II. Stufe Bäumchenhyphen, in der III. Stufe diese weniger ausgeprägt, in IV selten, in V wieder relativ lange, schlanke Hyphen wie in I vorhanden waren, in VI wurden sie wieder kürzer und in VII traten wieder Bäumchenbildungen auf.

Atypische Bildungen, gemmenhafte Hyphen, Bäumchenwuchs und das kompensatorische Wechselverhältnis zwischen Länge und Breite wurden bei der Optimumsbestimmung mit zu Hilfe genommen.

Bei einem Fünftel aller Formen trat in einzelnen oder mehreren Stufen die folgende Erscheinung auf. Das mit dem Substrat übertragene extramatrikale Myzel kümmerte, wurde plasmaarm und degenerierte in wenigen Tagen. Dafür wurden sekundäre Hyphen gebildet, die sich als resistent erwiesen. Der Zeitschritt von etwa zwei Tagen mußte bei der Beurteilung berücksichtigt werden.

Die größten Salzgehaltsschwankungen lagen in der Stufe VII vor, in der sich Süß- mit Meerwasser in stetem Wechsel ablöste. Hier wurden auch

einschneidende Wirkungen erwartet, wenigstens für die vom Süßwasser kommenden Einwanderer. Besonders hart mußte sich der sturzhafte Konzentrationswechsel auswirken, der im Freien sich in der Regel gleitender vollzieht.

Es wurden in der Stufe VII auch die deutlichsten Auswirkungen sichtbar. Von 27 Formen (zwei liefen in den Stufen V bis VII nicht mit und zwei weitere Süßwasserformen überstanden auch die Stufen II bis VI nicht) zeigten hier 14 Kümmerwuchs, von denen sich zwei durch sekundäres resistentes Myzel erholten. Die 12 wurden aber während der zehntägigen Einwirkungsdauer nicht getötet. Die intramatrikularen Hyphen bildeten während der anschließenden vierzehntägigen, wechselfreien Ruhezeit im Meerwasser ähnliches Myzel wie in der Stufe IV vorlag.

In der VI. Stufe kümmernten von diesen 12 Formen nur noch sechs, und in der V. nur noch eine.

Ohne alle merkbliche Wirkung überstanden die VII. Stufe acht Formen, zu diesen treten in der VI. Stufe eine mehr und in der V. Stufe elf weitere. Zählen wir die Formen hinzu, die in den ersten Tagen der Wasserwechselzeit sekundäres resistentes Myzel bildeten, überstanden die VII. Stufe elf, die VI. Stufe zwölf und die V. Stufe 22 gut, ohne merkliche Beeinflussung. Das Wachstum der restlichen Formen stand zwischen gut und kümmernd.

Die Stufe IV (sechsstündig ersetztes Meerwasser) überstanden 16 Formen gut. Werden die des sofort gebildeten resistenten sekundären Myzels hinzugezählt, waren es 20. Es verkümmerten hier nur die vier Formen, die auch in der VI. und VII. Stufe Kümmerwuchs zeigten und dann gestorben waren. Sie waren aus dem Süßwasserbezirk gewonnen (395, 185, 155, 385).

Die Stufen I bis III umfaßten zugleich alle sechs Salzwerte der Serie A. Die hier engere Salzgehaltsamplitude als in den Stufen V bis VII wirkte sich für die sensiblen Pilze günstig aus. Von den 14 kümmernden Formen in VII blieben hier nur sechs übrig.

In der Stufe I war bei sechs Formen das Wachstum ungünstiger als in den anderen Stufen. Das waren die Pilze, die die Stufe VII unbeschadet überstanden hatten. Zwei weitere Formen entwickelten auch hier überdauernde, schlanke Sekundärhyphen.

Die in dieser Serie C erhaltenen Daten über das Wachstum erhärten im wesentlichen die Ergebnisse der Serie A. Die Unterschiede wirken sich hier als leichte Grenzverschiebungen an der optimalen Zone aus, die bei etwa  $\frac{1}{3}$  der Formen eine einengende, nähere Bezeichnung des Optimums ermöglichte.

Von Beobachtungen an Wasserpilzen ist allgemein bekannt, daß die Wassererneuerung auch die Sporulation günstig beeinflusst. Bei günstigen Bedingungen dafür erschöpfen sich dabei nahezu manche Pflänzchen.

Diese Erscheinung mußte bei der Beurteilung der Sporulationsverhältnisse in einigen Fällen berücksichtigt werden. Häufig wurden in einen



Gesichtsfeld zwischen 50 bis 100 oder noch mehr sporulierende Sporangien gefunden, die große Schwärmerzahlen lieferten. Bei der Serie A verlief die Sporulation kontinuierlich, ihre Dauer und ihr zeitlicher Höhepunkt ließen sich unschwer bestimmen. Die tidenähnliche Erneuerung des Wassers förderte den wellenhaften oder stoßweisen Ablauf dieses Prozesses. In den Tagesnotizen steht gelegentlich zwischen zwei Uppigkeitsvermerken ein spärlicher oder negativer Befund.

Nur bei einer asexuellen Form (375) schien sich ein bemerkenswertes Wechselspiel zu bewahrheiten, daß jedesmal im frischen, salzigeren Wasser die Sporulation merklich reichlicher war als im salzärmeren Wasser.

Im Ganzen gesehen läßt sich der Eindruck so fassen, daß die Myzelien sich auch dem Wechsel des Salzgehaltes weitgehend anpassen, haushalten mit den Stoffen und sich nicht vor der Vollendung ihres Lebenszyklus einseitig erschöpfen, es sei denn in lebensgefährdenden oder -zerstörenden Verhältnissen.

Es ist zu erwarten, daß unter Verhältnissen, die den Bedingungen am natürlichen Standort ähneln, die optimale Ausbildung der drei Lebensphasen in der gleichen oder doch sehr ähnlichen Salzgehaltsstufe erfolgt, wie im Freien.

Die aus der Serie C erhaltenen Daten für die Sporulation harmonieren mit denen von den Serien A und B; sie vermitteln vielfach zwischen den weiteren Bereichen bei A und den engeren bei B.

Bei den Pilzen, die in der Serie A eine Sexualphase gezeigt hatten, trat sie auch hier auf. Darüber hinaus wurden auch bei der Form Nr. 384, die in der Serie A asexuell geblieben war, einzelne Oogone gefunden, und zwar in der Stufe II, in der Brackwasser von 7 und 13 ‰ miteinander abwechselten. Sie ist damit die 16. sexuelle Form.

Der zeitliche Beginn der Sexualorganbildung war bei zwei Formen in beiden Serien gleich, bei sechs weiteren (vier Süß- und zwei Brackwasserfunde) lag er bei der Serie A einzelne Tage früher, und bei den restlichen sechs (je drei Süß- und Brackwasserfänge) lag er bei der Serie C einzelne Tage eher.

*Saprolegnia ferax* zeigte in diesen beiden Serien keine Sexualorgane. Ihre Oogone entwickelten sich nur im Süßwasser von einem binnenländischen Standort.

Als Süßwasser wurde Aqua dest. in allen drei Serien verwendet, nur bei Serie C enthielt es Spuren (20 ccm in einem Liter) vom Meerwasser. Weil *Saprolegnia ferax* Oogone nur im Wasser eines natürlichen Süßwasserhabitates hervorgebracht hatte, schien es notwendig, zur Ergänzung der Ergebnisse mit allen anderen Formen ähnlich zu verfahren; das geschah in der Serie D.

Das hierzu verwendete Süßwasser lieferten das Große Sager Meer bei Oldenburg und der Große Bullensee bei Rotenburg in der Umgebung Bremens. Das erstere hatte ein pH von 7,0 bis 7,6, das letztere von 3,8 bis 4,2.

Das Wachstum der Myzelien in einem dieser Wasser war in der Regel immer besser als im Aqua dest. Weniger unterschiedlich waren die Befunde für die Ausbildung der Sporulation, und kaum beeinflusst schien der Verlauf der Sexualphase und die Zahl der Oogone. Bei einzelnen Formen wuchsen die antheridialen Nebenzweige einfacher, gerader, nicht verflochten miteinander und ohne Klusterbildung in Oogonnähe oder um das Oogon.

Eine Merkwürdigkeit bestand darin, daß mehrere der sexuellen Arten vom Süßwassergebiet besser im Wasser vom Sager Meer, einzelne vom Brachwasserhabitat länger im Bullenseewasser wuchsen.

Diese Befunde bildeten eine wertvolle Ergänzung der schon vorliegenden Daten und zeigen, daß es ratsam ist, Aqua dest. nur bedingt für Süßwasserkulturen zu verwenden.

Eine Kombination und Veranschaulichung der Beobachtungsergebnisse an den Kulturen in den vier Serien ist in den Diagrammen Figuren 2 bis 4, gegeben.

Für jede Form wurde ein wagerechter Streifen gezeichnet, dessen drei Teile die Ausbildung und die Optima der drei Lebensphasen bezeichnen. Auf der Abzisse sind die in den Serien A und B gewählten Salzgehaltstufen eingetragen, und zwar für jede Phase gesondert. Die Kulturen der Serie D wuchsen im Süßwasser; die Beobachtungen während dieser Serie sind mit denen, die von den Myzelien im Aqua dest. der Kulturserien A und B vorlagen, vereinigt worden. In der Serie C wurden nur vier Salzstufen verwendet; die erste enthielt Spuren von Meerwasser, die zweite  $\pm 7\text{‰}$ , die dritte  $\pm 17\text{‰}$  und die vierte  $\pm 32\text{‰}$ . Da je zwei dieser Stufen in den Kulturschalen alternierend wirkten, beziehen sich die gewonnenen Ergebnisse vorwiegend auf die Auswirkungen des Wechsels der Salzkonzentration. Über diese Beobachtungen wird bei der Einzelbehandlung der Formen im systematischen Teil berichtet werden. Soweit sich die gewonnenen Daten auch für die Ausbildungs- und Optimumsbegrenzung der Lebensphasen verwerten ließen, sind sie hier bei den entsprechenden Salzgehaltswerten eingeschlossen worden. Dabei ist für das Meerwasser von  $\pm 32\text{‰}$  Salz keine neue Kolonne eingefügt worden; denn die jetzt wieder gewonnene Erfahrung bestätigt frühere, daß solche hohen Salzwerte an Myzelien dieser Pilzgruppe gleiche oder doch sehr ähnliche Wirkungen haben.

Bei den wagerechten Leisten, deren jede das Verhalten einer Form wiedergibt, ist die Strichdicke in jeder Phase verschieden; sie ist gewöhnlich dreistufig. Auf einer gewöhnlich die ganze Phase einnehmenden Basis liegt ein  $\pm$  kürzerer Balken, der meistens einen noch kleineren trägt.

Der untere Strich, die Basis, bezeichnet das Vorkommen dieser Lebensphase in den Salzstufen, der darüberliegende kürzere die betontere Ausbildung und der obere das festgestellte Optimum in Korrelation zu den Salzwerten. Fehlt die dritte, obere Linie, ließ sich nach den Messungen und den Häufigkeitsangaben in den Probeschalen kein begrenzteres Opti-

zum bestimmen. Bei den Formen Nr. 534 und 212 der Fig. 4 zeigen alle drei Lebensphasen keine Werte für die Süßwasserstufe; sie wurden ausnahmsweise nicht im Wasser vom Sager Meer und Bullensee gehalten.

Die Daten für das Vorkommen der Sporulation lieferten wohl alle Serien, vorzüglich aber die Serien A und D, für die betontere Ausbildung wurde die Serie C wichtig, und die Begrenzung der optimalen Verteilung ermöglichte vorwiegend die Serie B.

Für die Betrachtung der Wachstums- und der Sexualphase fiel das Protokoll der Serie B fast aus. Nach den Serien A, C und D wurde zunächst das Vorhandensein festgestellt, dann die Masse und Häufigkeitswerte in drei Stufen, kurz — wenig, länger — häufiger und optimal gruppiert und danach die Länge und Lage der übereinanderliegenden Balken bestimmt. Es ergab sich auch hier, daß für die basierenden Linien die Protokolle der Serien A und B besondere Bedeutung hatten.

Für alle 31 behandelten Formen wurden die Leisten, wie sie in den Figuren 1 bis 3 gegeben sind, auf einzelne Papierstreifen gezeichnet und in zwei Gruppen, die der sexuellen und asexuellen Isolierungen, geteilt.

Besser als die Gruppe der asexuellen Formen erlaubte die der 16 sexuellen Isolierungen eine Kolonnenbildung, die, von oben nach unten betrachtet, eine fliehende Tendenz vom Meer- zum Süßwasser hin bezeichnete. Die Prägnanz dieser Erscheinung war am stärksten bei der sexuellen, nicht so deutlich in der sporulativen und am wenigsten in der Wachstumsphase vorhanden. Von unten nach oben gelesen, würden die zunehmenden Salzwerte für die optimale Ausbildung der gleichen Phasen eine zunehmende Anpassung der Formen an steigende Salzkonzentrationen veranschaulichen.

Die Gegensätze zwischen erhöhter und geringster Anpassung an Salzverhältnisse, dargestellt durch die Formen Nr. 484 und +50, waren eindrucksvoll. Im Mittelfeld wurde die Deutlichkeit durch die Vielzahl der Myzelien getrübt. Darum wurden jetzt die Fundlisten herangezogen. Bislang liefen die Formen unter ihrer Kulturnummer in der Sammlung. Nur von einzelnen waren die genauen Standorte gedächtnismäßig bekannt.

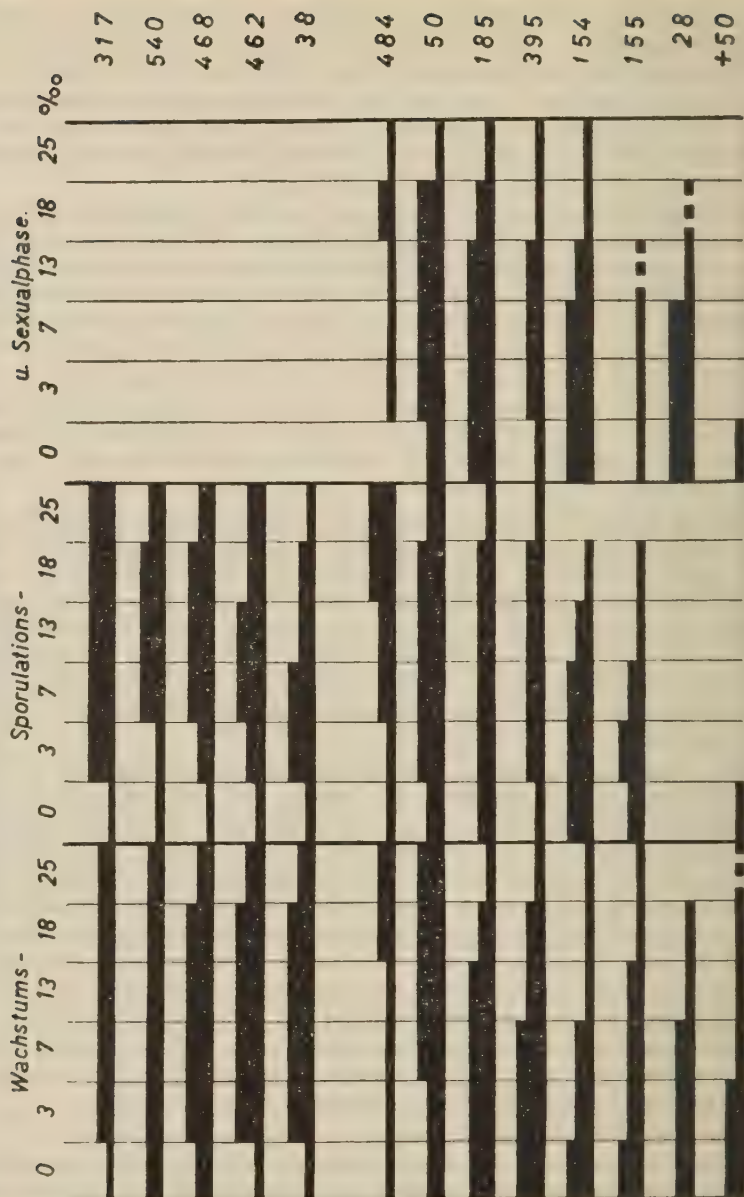
Von den 16 sexuellen Formen wurden die fünf Meerestümpelbewohner und die zwei Isolierungen vom Barsbecker Teich, alle vom südlichen Ufer der Kieler Förde, und ein Fund von der Wangerooger Düne, Nr. 212, herausgezogen. Es blieben die Formen der Fig. 1 übrig.

Überraschend war die Feststellung, daß die vorliegende Anordnung der Pilze zugleich ein Profil vom Meer- bzw. hochsalzigen Brackwasser bis zum Süßwasser darstellte.

Die Fundplätze dieser Pilze sind:

Nr. 484: Grodenkante bei Carolinensiel, Fundstelle auch bei Ebbe vom Wasser bedeckt, welches gelegentlich salziger als gewöhnliches Meerwasser ist; isoliert aus einer Bodenprobe.

# Ausbildung und Optimum der





- Nr. 50: Wremer Watt, nördlich des Wremer Tiefs, etwa 800 m seewärts der Grodenkante, Fahrwassernähe; isoliert von einem lange lagernden Hanfseil.
- Nr. 185: Südseite von Wangerooge, Abzugspriel des Außengrodens; zwischen Enteromorpha und Fadenalgen.
- Nr. 395: Aus einem schwach salzigen, gegrabenen Loch auf einer Außen-deichswiese an der Kieler Förde.
- Nr. 154: Von Wangerooge, Süßwasserbezirk: Garteneingang, isoliert aus einer Bodenprobe.
- Nr. 155: Von Wangerooge, Süßwasserbezirk: Erdbeerbeet; isoliert aus einer Bodenprobe.
- Nr. 28: Wremertief, Deichkrone; isoliert aus einer Bodenprobe.
- Nr. +50: Sandbank beim Leuchtturm Hoher Weg; isoliert aus Spänen eines treibenden Zweigstückes.

Der zuletzt aufgeführte Pilz, Nr. +50: *Saprolegnia ferax*, wurde an einem treibenden Substrat gefunden. Er zeigte am Fundort nur Myzel. Die Hyphen ließen seine Zugehörigkeit zu der Gattung nicht erkennen. Sie waren nur 2 bis 3 mm lang, hatten gedrungenen, anormalen Wuchs, bildeten am Substrat ein kompaktes, dichtes Polster und zeigten keinerlei Fortpflanzungsorgane. Sporenentlassende Sporangien und Oogone wurden erst nach langer Kultur im Süßwasser vom Sager Meer erhalten. Er würde am Standort beim Hohen Weg schneller Ausmerzung verfallen gewesen sein. Darum dürfte die Annahme zu Recht bestehen, daß er mit dem Substrat vom Ebbestrom kurz zuvor hierhergetragen worden ist. Er war standortsfremd und steht darum auch nicht bei den Salzwasser-, sondern bei den Süßwasserformen, und zwar, als Extrem, am Ende in der Fig. 2 unten.

Für die seewärtige Verlängerung dieses Profils wurden die asexuellen Formen herangezogen, die nach ihren Fundorten den besprochenen sexuellen vorangestellt werden mußten. Ihre Fundorte sind:

- Nr. 317: Vom unter Wasser liegenden Wrack beim Hohen Weg; isoliert aus geschnittenen Holzspänen.
- Nr. 540: Vom Hohen Weg; isoliert aus kleinen Spänen, die von einem Holzständer des Bollwerks, kurz unterhalb des Wasserspiegels, geschnitten worden waren.
- Nr. 468: Vom Wrack, welches nördlich Wangerooge gelegen hat; isoliert aus geschnittenen Holzspänen.
- Nr. 462: Vom gleichen Wrack wie 468.
- Nr. 38: Etwa 1 km nördlich des Wremertiefs, 750 m seewärts der Grodenkante, isoliert aus Spänen der dort ausgestellten Aalkörbe.

Bemerkenswert ist, daß die *Pythium* arten des Meer- und hochsalzigen Brackwassers alle asexuell waren und blieben. Das Wasser beim Hohen Weg, damals bei Ebbe geschöpft, hatte 27 ‰ Salzgehalt. Dieser oder ein ähnlicher Wert wird zweimal am Tage wirksam, über den längeren Teil des Tages ein höherer, der bis zum Meerwasserwert ansteigt. Diese Werte und

auch die Schwankungen zwischen ihnen dürften für die vier zuerst aufgeführten Arten nicht oder nur über lange Zeit gesehen einschränkend wirken, und zwar nur im Kampf um den Raum mit noch besser ausgerüsteten Bewerbern. Diese Annahme stützen auch die Beobachtungen an den Serienkulturen, die Fig. 1 zeigt.

Beachtenswert erscheint auch die Feststellung, daß die vier ersten asexuellen Formen nicht ganz dieselben Salzgehaltsbereiche haben. Das könnte auf Beobachtungslücken oder methodische Unvollständigkeit deuten. Denkbar wäre aber auch, daß ein Unterwasserwrack an diesen Orten neben gut angepaßten Arten, wie z. B. Nr. 317, auch solche Besiedler hat, wie die Nummern 540, 468 und 462, die hier wohl eine normale Entwicklung haben, ihre eng begrenzte optimale Sporulation aber bei einem niederen Salzgehalt entfalten. Dieses letztere möchte ich annehmen. Auch im Süßwasser und im Erdboden sind mindestens zeitweilig Arten am gleichen Standort vereinigt, deren Entfaltung am Ort nicht immer maximal geschieht oder geschehen kann.

Die letzte der asexuellen Formen, Nr. 38: *Pythium spec.*, zeigte deutlich eine Neigung zu tieferen Salzgehalten. Sie wurde nur einige hundert Meter entfernt vom Standort der sexualen Form Nr. 50 eingefangen. Die letztere ist in der Wesermündung eine der vorgeschobenen sexuellen Arten. Durch die Nachbarschaft der beiden Fundorte sind die geschlossenen Blöcke der meerwärtigen asexuellen und der mehr landwärtigen sexuellen Formen miteinander verknüpft.

Die beiden Arten Nr. 185 und 395 zeigen schon weitere Annäherung an das Süßwasser, die bei 154 und 155 ganz klar vorliegt.

Die Isolierungen Nr. 28 und +50, *Aplanopsis terrestris* und *Saprolegnia ferax*, sind Süßwasserpilze, für die die Salzgehaltsstufen von 7 bzw. 3‰ nur noch schwer oder nicht mehr überwunden werden können.

Die für die Darstellung der Abhängigkeit der gefangenen Pilze von den Salzwasserbedingungen am Standort gebrauchten Werte lassen doch recht klar einiges erkennen. Die Fig. 1 zeigt,

daß bei der einzelnen Form die betontere oder optimale Entfaltung aller drei Lebensphasen in einem doch sehr ähnlichen oder gar gleichen Salzgehaltsbereich erfolgt;

daß verschiedene Formen verschieden gelagerte Optima haben;

daß die in den Kulturschalen ermittelten Werte ähnlich den Bedingungen am Standort sind, wenn die Pilze von ortsfesten Substraten isoliert wurden, und

daß die Pilze während der sexuellen Phase empfindlicher gegen Salzwassereinwirkungen sind als während der Sporulation und am widerstandsfähigsten während des vegetativen Wachstums zu sein scheinen.

Bemerkenswert erscheint auch die Tatsache, daß die **Pythiaceae** des Meer- und hochsalzigen Brackwassers überwiegend ohne Geschlechtsorganen

blieben, auch in allen anderen Salzkonzentrationen und im Süßwasser. — Es ließ sich mit besserem Erfolg eine im Meerwasser unseres Untersuchungsgebietes gefundene Form ins Süßwasser überführen, als ein Süßwassermyzel ins Meerwasser.

Die für die mitbearbeiteten acht Isolierungen aus den Meerestümpeln bei der Kieler Förde gezeichneten Leisten sind in der Fig. 3 vereinigt.

Wieder ist der Anteil der asexuellen Formen ähnlich wie beim Profil vom Meer- bis zum Süßwasser. Sonst lassen sich neben Gleichartigkeiten auch einige Unterschiede zu Fig. 1 aufzeigen. Ähnlich ist bei den oberen vier sexuellen Arten die Verteilung der Optima der Sporulations- und Sexualphase, bei der fünften weniger. Im Feld der Sexualphase ist die verschiedene Lagerung der Optima bei den aufgeführten Formen eindrucksvoll markiert; die Empfindlichkeit der Pilze gegen Salzkonzentrationen zeigt sich am deutlichsten bei der Bildung der Sexorgane. Die gleiche Erscheinung war im entsprechenden Feld der Fig. 1 vorhanden und wird hier wie dort auch parallelisiert von der Lagerung der Optima im Feld der Sporulationsphase.

Während in Fig. 2 in den Feldern der beiden propagativen Phasen, von der oberen zur unteren sexuellen Form gelesen, eine zunehmende Bevorzugung der niederen Salzgehalte deutlich wird, zeigt das Feld der Wachstumsphase eine fast entgegengesetzte Tendenz. Das führt dahin, daß die Isolierung Nr. 376, die unterste in der Kolonne, eine Divergenz der optimalen Entfaltung in sehr verschiedenen Salzgehaltsstufen zeigt. Während für das Wachstum die Salzgehaltsstufe von 18 ‰ die günstigste ist, gewährt anscheinend das Süßwasser die beste Voraussetzung für die Sexualisierung. Eine ähnliche Disharmonie zeigt die obere der drei asexuellen Arten, Nr. 375. Wachstum und Sporulation gedeihen maximal in verschiedenen Salzgehaltsbereichen, die aber umgekehrt liegen. Hier bevorzugt das Wachstum die süßeren Stufen und die Sporulation die salzigeren.

Für die Erklärung dieser auffälligen Erscheinung ist man geneigt, Umwelteinflüsse heranzuziehen.

Der Salzgehalt in diesen kleinen Wannen oder Becken, den Meerestümpeln, schwankt beständig. Die Konzentrationserhöhung vollzieht sich langsam, dauert aber länger an als die beispielsweise durch Regen sturzhaft eintretende Salzgehaltssenkung. Diese Verhältnisse überstehen die beiden Pilze entsprechend ihrer genotypischen Vermögen. Während die Isolierung Nr. 375, *Phytophthora spec.*, in ausgesüßten Zeiten wächst, bildet Nr. 376, *Pythium spec.*, überdauernde Oosporen. In den Zeiten mit Wasser hohen Salzgehalts sporuliert Nr. 375 reichlich, Nr. 376 dagegen wächst vorzüglich. Diese Zweckmäßigkeitserklärung sagt natürlich nichts aus über das Zustandekommen dieser Eigenschaften. — Eine Ähnlichkeit mit der Form Nr. 375 klingt an bei Nr. 392, einer *Pythium*art.

Die Ähnlichkeiten im Verhalten der Pilze aus dem Meer- und Brackwasser der Wesermündung und aus den Meerestümpeln überwiegen stark.

# Ausbildung und Optimum der

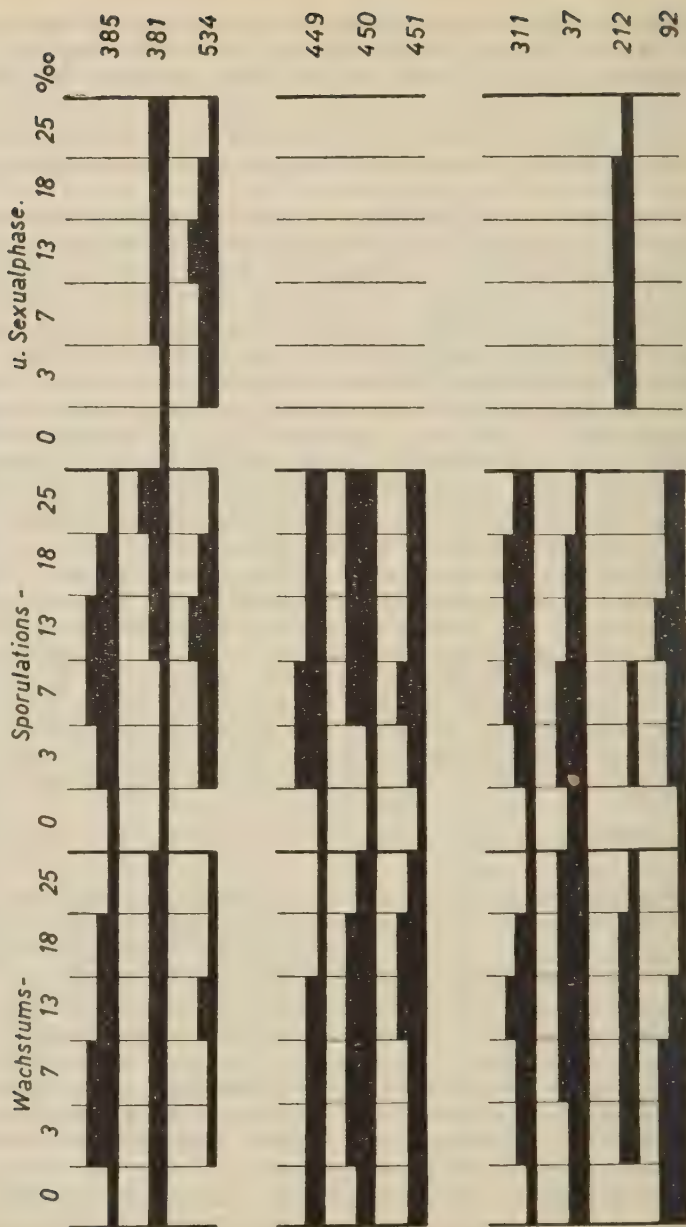


Fig. 2. Erläuterungen im Text.



Die Unterschiede betreffen im wesentlichen nur die beiden genannten Pilze Nr. 375 und 376.

Ein positives Ergebnis ist die Feststellung, daß es echte Meeres-tümpelbewohner unter den Pythiaceae gibt, das sind solche Organismen, die im brackigen Wasser leben, das Meerwasser meiden, dagegen aber manchmal Tümpel des Binnenlandes bewohnen, deren Wasser noch salziger ist, als das Meer gewöhnlich hat.

Die obere Gruppe von drei Pilzen in der Fig. 2 sind drei Isolierungen aus dem stark ausgesüßten Barsbecker Teich. Die eine davon ist Nr. 381, *Pythium spec.*, die als einzige in der Kulturserie B die optimale Sporulation in der höchsten Salzgehaltsstufe hatte. Die wesentliche Feststellung ist, daß jede dieser drei Arten ihre Phasenoptima im gleichen oder sehr ähnlichen Salzbereich hat. Alle drei könnten Restanten aus früheren, salzigen Zeiten sein.

Die zweite Gruppe, die Isolierungen Nr. 449, 450 und 451, gehören alle dem Formenkreis von *Pythium undulatum* PETERSEN an. Sie wurden isoliert von Spänen der beiden Unterwasserracks nördlich Wangerooge und nahe dem Leuchtturm Hoher Weg. Ähnlich ist auch Nr. 540 der Fig. 1. Von diesen dreien sind 449 und 451 einander mehr angeglichen, als die Illustration zeigen kann. Sie beide haben ihr optimales Habitat mehr nach dem niederen Salzwasser hin, Nr. 450 nach dem hochsalzigen. Das erhärteten auch die Beobachtungen an besonders angesetzten Parallelserien. Die Isolierungen sind als zwei besondere physiologische Rassen aufzufassen.

Von der letzten Gruppe der vier restlichen Formen wurde Nr. 311 bei Carolinensiel, etwa 500 m nördlich der Grodenkante von dem Zweig einer fast neuen Schlenge, Nr. 37 aus der Nachbarschaft der Isolierungen Nr. 38 und 50, nahe dem Wremer Tief, Nr. 212 vom Fuß der Hochdüne am Nordrand Wangerooges und Nr. 92 von einem treibenden Substrat am Nordrand Wangerooges, welches bei Ebbe mittwegs zwischen Dünenfuß und Tiefwasserlinie lagerte, gewonnen.

Nr. 311 ist eine *Pythiogeton*art und hätte auch in der Fig. 2 im Block der asexuellen Arten etwa bei der Form Nr. 468 stehen können. Nr. 37, ein *Pythium spec.*, ist in ihrem Verhalten sehr ähnlich der Nr. 38. Nr. 212, auch ein *Pythium spec.*, zeigte eine sehr schwache sporulative Phase. Nr. 92 ist eine *Phytophthora*, die wegen des treibenden Substrats nicht für einen typischen Standortpilz gelten konnte.

## Betrachtung der Ergebnisse.

Dieser Untersuchung lag die Beobachtung zugrunde, daß die Organismen in den Kulturschalen bei begrenzter Nahrungsmenge zeitlich nacheinander die folgenden drei Lebensphasen zeigen: Vegetatives Wachstum, vegetative Propagation und die sexuelle Phase. Diese Drittel laufen kurvenhaft ab; sie haben ein Anklingen, einen Höhepunkt und ein Abklingen. Weil sie

einander zeitlich folgen, wird das Abklingen der einen von dem Anklingen der nächsten überlappt.

Die Folge der Lebensphasen ist genotypisch bestimmt und der Grad ihrer Entfaltung durch Umweltfaktoren bedingt. Das wechselnde morphologische Bild ist der Ausdruck einer innersekretorischen Kette, die im Anfang ausschließlich das Wachstum erzwingt, dann die Sporulation und schließlich die Bildung der Sexualorgane und die Sexualfunktion enzymatisch steuert. Darum wird ein solcher Organismus unter allen Umständen, d. h. unter Überwindung auftretender Hindernisse seine Lebensbahn zu vollenden trachten.

Hindernisse sind nicht allein Giftwirkungen, sondern auch Nahrungsreichtum oder -armut und Reizstoffe, die der Bildung der spezifischen Enzyme entgegenwirken und damit eine der Lebensphasen auf Kosten der nachfolgenden bevorzugen. Bei diesen niederen Organismen ist in experimentellen Arbeiten die weitgehende Beeinflussung des Ablaufes dargetan. Man kann über lange Zeiten ein vegetatives Wachstum erzwingen, die Sporulation und Sexualität stark fördern oder unterbinden. Beseitigt man diese Handgriffe willkürlicher Lenkung, wird das Individuum oder eine Tochterkultur davon, übertragen in die Verhältnisse des natürlichen Standorts, den arteigenen Ablauf der Lebensvorgänge wieder realisieren.

In der Zeit des vegetativen Wachstums zeigen sich die Pilze gegenüber Außenfaktoren im Freien weniger empfindlich als später. Wenn die erste Lebensphase begonnen hat, kann die Funktionskette des Genotypus ablaufen. Die Zahl der Eingriffsmöglichkeiten in den normalen, arteigenen Ablauf wächst mit dem Alter der Kultur. Es ist darum auch zu erwarten, daß die dritte Phase, die sexuelle, und zwar mehr noch als die Bildung der Sexorgane die Realisierung der Sexualität, gefährdet ist.

Der Salzgehalt des Brack- und Meerwassers und die Schwankungen des Salzgehaltes am Standort stellen Außenfaktoren dar, die mehr oder weniger störend in die Keimbahn der untersuchten Pilze eingreifen können.

Die eingangs vertretene Auffassung, daß die Beobachtungen an Kulturen zeitlich eher Aufschlüsse über die Salzwasseranpassung, Verbreitungsmöglichkeit und Herkunft der Formen geben können als die Erweiterung der Aufsammlungen, hat sich bewahrheitet.

Alle 31 untersuchten Formen haben während ihres Entwicklungszyklus auf unterschiedliche Salzwerte reagiert. Jede Isolierung toleriert eine weitere Salzgehaltsspanne, als ihre optimale Entfaltung erfordert. Für die Bestimmung der letzteren sind die Ausbildung des Myzels und die Relationen der Propagationerscheinungen und die Sexrealisierung herangezogen worden. Nach den arteigenen Reaktionen auf die dargebotene Stufenfolge von Salzwerten läßt sich darum auch sagen, ob der Fundort der Form zugleich ihr natürlicher Standort sein kann oder

nicht, ob der Pilz ein Eingesessener, Dauergast oder unsteter Wanderer am Fundort ist.

Um die zeitweiligen Gäste unter den Isolierungen zu erkennen, müssen die Bedingungen des Fundortes zur Reaktionsweise des Pilzes in Beziehung gebracht werden. Die wenn auch grobe Charakterisierung der Fundorte gibt die Tab. 1. In deren Spalte 1 sind die Gruppenhabitats nach ihrem Salzgehalt geordnet, und in Spalte 7 sind die Nummern der dort gefundenen Formen eingetragen. Das Verhalten der letzteren ist in den Figuren 1 bis 3 gegeben. Die Gruppen der Pilze sollen nunmehr kurz betrachtet werden, um die Isolierungen herauszustellen, bei denen die Anpassungsfähigkeit und die Standortsgegebenheiten nicht im Einklang miteinander stehen oder zu stehen scheinen.

Aus der Habitatsgruppe II sind die Isolierungen Nr. +50, 92, 311 und 540 gemacht worden. Nr. +50 (Fig. 1 unterste Leiste), *Saprolegnia ferax*, wächst im Süßwasser und bei niederen Salzwerten. Sporulation und Oogone sind aber an Süßwasser gebunden. Sie ist ein Süßwasserpilz, der am Fundorte schnell dem Absterben verfallen ist; er wurde auch an einem treibenden Substrat gefunden. — Die Isolierung 92 (Fig. 3 unterste Leiste) hat ihr Wachstumsoptimum im Süßwasser und oligohalinen Brackwasser. Die betontere Sporulation reicht bis ins Meerwasser; ihr Optimum liegt aber im mesohalinen Brackwasser. Die Divergenz der Optima läßt den Pilz nicht als Meerwasserbewohner erscheinen; in oligo- und mesohalinen Brackwasser scheint ihr eigentliches Wohngebiet zu sein. Es bleibt dabei die Frage offen, ob die Divergenz der Optima nicht wenigstens zum Teil durch eine Reizwirkung des höheren Salzwertes ausgelöst wird. Die Erhöhung der Sporenzahl käme dann einer Abwehrmaßnahme gleich, um dem für das Wachstum ungünstigen Raum zu entfliehen. — Die Formen Nr. 317 und 540 (Fig. 2 die beiden obersten Leisten) scheinen weit besser für das Leben am Fundort ausgerüstet zu sein. Sie sind auch an ortsfesten Substraten und dazu mehrfach im Meerwasser und polyhalinen Brackwasser gefunden worden.

Alle neun Isolierungen aus dem Gruppenhabitat IIIa (Brackwasser  $> 7\text{‰}$ ) zeigten in den Kulturschalen ein Verhalten, welches den Bedingungen am Standorte entsprechen dürfte. Sie können als Bewohner des mesohalinen Brackwassers gelten. Nr. 450 gleicht der Meerwasserform Nr. 540 sehr und dürfte auch im polyhalinen Brackwasser als Dauergast möglich sein.

Die Formen des Gruppenhabitats IIIb (Meerestümpel) sind in der Fig. 3 vereinigt. Neben solchen, die im poly- und mesohalinen Raum zu Hause sind (Nr. 372, 374, 375 und 383), steht eine (378), die die mesohaline Zone bevorzugt, und zwei weitere folgen, die ihren vollständigen Lebenszyklus nur bei niederen Salzstufen und im Süßwasser vollenden (376 und 384). — Der Pilz Nr. 376, ein *Pythium spec.*, ist aus einem gegrabenen Loch, welches Regenwasser enthielt, isoliert worden, aus der Nähe der Meerestümpel. Er ist hier angefügt, um den drastischen Gegensatz in den Reak-

# Ausbildung und Optimum der

Wachstums-

Sporulations-

u. Sexualphase.

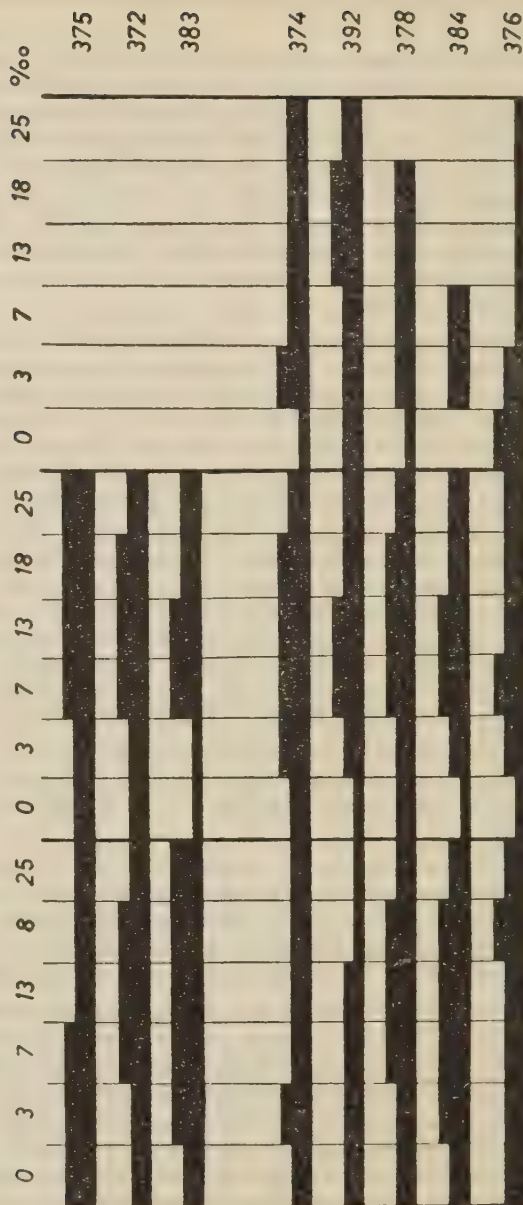


Fig. 3. Erläuterungen im Text.



tionsweisen der Meer-, Brack- und Süßwasserformen zu zeigen.

Mit der Isolierung Nr. 185 aus dem Gruppenhabitat IV (Brackwasser  $< 7 ‰$ ) beginnt die Reihe der Formen, die die niederen Salzwerte und das Süßwasser bevorzugen. Vom Gruppenhabitat V (Grodenkante, Groden, Deich) sind fünf Pilze herangezogen worden. Die Formen Nr. 212, 395 und 28 stellen fast eine gleitende Reihe vom mesohalinen zum oligohalinen oder Süßwasser dar. Auffallende Eigenschaften zeigte der Pilz Nr. 484 (Fig. 2 oberste Leiste der sexuellen Formen). Er ist aus einer Bodenprobe von der Grodenkante bei Wremen isoliert worden. Der Fundort kann nicht gegen die Auffassung geltend gemacht werden, daß sein natürliches Habitat das Meerwasser oder das polyhaline Brackwasser ist. Seine außerordentlich hohe Propagationsziffer macht wahrscheinlich, daß viele Sporen von der Strömung fortgeführt werden, von denen sicherlich manche bei Hochwasser die Grodenkante erreichen und auch hier Myzelbildung veranlassen. Dieser Pilz ist unter den sexuellen Formen der, der die größte Neigung zu hohen Salzwerten zeigte. Der Verfrachtung der *Saprolegnia ferax* (Nr. +50) vom Süßwasser ins hochsalzige Brackwasser hinein steht hier ein Fall gegenüber, der eine Verfrachtung in die umgekehrte Richtung zeigt, vom Meerwasser oder polyhalinen Brackwasser bis an die Grenze des Süßwasserbezirkes hin.

Der Barsbecker Teich (Gruppenhabitat VI, Fig. 3, zweite Gruppe) vereinigt, ähnlich wie die Meerestümpel des Gruppenhabitates IIIb, wieder Arten verschiedener Anpassungsfähigkeit an Salzwasserhältnisse. Nr. 381 könnte den poly- bis mesohalinen, Nr. 534 den mesohalinen und Nr. 385 den meso- bis oligohalinen Raum bevorzugen. Das Nebeneinander der Formen ist aus der Entwicklung und der Eigenart des Standortes, die schon geschildert worden sind, zu erklären.

Zwei Vertreter des Süßwasserraumes sind beim Gruppenhabitat VII (Siedlung: Gärten und Wege) eingetragen. Nr. 154 ist eine *Phytophthora*, Nr. 155 ein *Pythium*. Das letztere ist ähnlich wie Nr. 376 bei den Meerestümpelbewohnern eine klare Veranschaulichung dafür, daß Süßwaspilze ganz anders auf Salzwerte ansprechen als die des Brack- oder Meerwassers. Nr. 154 bevorzugt Habitate des Süßwassers und der niederen Salzwerte.

Die kurze Charakterisierung der Isolierungen nach ihrem Verhalten gegenüber Salzwerten sollte zeigen, daß das Auftreten dieser Pilze in allen Brackwasserzonen der Wesermündung und im vorgelagerten Meerwasser nicht einfach abgetan ist mit der Auffassung, sie seien vom Oberwasser der Weser, vom Süßwasser aus kommend, bis hierher geführt worden. Die Besiedlung des Untersuchungsgebietes mit diesen Pilzen mag so begonnen haben, und seine Auffüllung wird in dieser Weise noch andauern.

Die selektive Wirkung der verschiedenen Salzwerte bringt eine Verteilung der Pilze nach ihrer Anpassungsfähigkeit hervor, einerlei, ob die letztere schon bei der Einwanderung der Form im erforderlichen Maße be-

stand oder erst durch Mutation erworben werden mußte. Das hat, über längere Zeit gesehen, dahin geführt, daß die Pilze entsprechend ihrer Eigenart gewisse Zonen bevorzugen und bewohnen. Eine profilhafte Aufsammlung zeigt darum auch eine schritthafte Angleichung, d. h. Änderung der Pilzflora.

Neben typischen Standortbewohnern werden meistens auch Passanten gefangen, wie z. B. die *Saprolegnia ferax* und die Isolierung 484. Wiederholte Aufsammlungen oder, schneller und zuverlässiger, Kulturstudien ermöglichen die Unterscheidung und die Bestimmung der ungefähren Herkunft.

Die hier als spezifisch angepaßt gezeigten Pilze haben keinen eng begrenzten Lebensraum. Dieser Umstand mag irritieren, ist aber nicht anders zu erwarten; denn die täglichen und jahreszeitlichen Schwankungen der Salzwerte im Wesermündungstrichter sind sehr stark. Die Strömung wirbelt immer wieder die Formen durcheinander. Diese fortwährend wechselnden Verhältnisse können nur spezifisch angepaßte Pilze überstehen. Nur ortsfeste Substrate geben eine relative Gewähr, habitatstypische Bewohner zu erhalten. Es mag sein, daß in ruhigen Meeresteilen die Aufsammlung Brackwasserpilze mit eng begrenzter Lebensmöglichkeit finden läßt. Ein solches Großhabitat ist die Ostsee in ihrer ganzen Ausdehnung.

Bezeichnen wir jene Formen, Rassen oder Arten als Brackwasserformen, die vollkommen auf das Brackwasser beschränkt sind oder hier ihren größten Individuenreichtum haben, ist uns in unserem Gebiete nunmehr eine gute Anzahl bekannt geworden. Diese Pilze sind zugleich als euryhalin anzusprechen, d. h. sie ertragen größere Salzgehaltsschwankungen als die Süßwasserrassen der gleichen Art, ohne damit nur auf das Brackwassergebiet von bestimmten Grenzwerten beschränkt zu sein.

Die Häufigkeit dieser Meeres- oder Brackwasserformen ist noch nicht untersucht worden. Es ist wahrscheinlich, daß ihre Individuenzahl nicht so groß ist, wie z. B. die bei Süßwasserformen in nahrungsreicher Umgebung. Das Meer bietet diesen Pilzsaprophyten die organische Substanz nicht so reichlich; daß sie aber an ortsgebundenen Substraten oft nachweisbar sind, ist ein Hinweis auf ihre biologische Rolle, die sie in diesem großen Raume zu leisten haben. Weitere Daten liegen noch nicht vor.

Das bis heute vorhandene kleine Beobachtungsmaterial ist bei ZOBELL in seiner „Marine Microbiology“ (1946) und bei WOLF AND WOLF (1947) im zweiten Band ihrer „The Fungi“ aufgeführt worden.

Über niedere Pilze mit zweigeißeligen Zoosporen, die im Salzwasser gegenüber denen mit eingeißeligen überwiegen sollen, berichteten PETERSEN (1905), SPARROW (1934, 1936), STOLL (1936), HÖHNK (1939) und VALLIN (1951).

Von den zu dieser Untersuchung herangezogenen Familien der *Pythiaceae* und *Saprolegniaceae* fand PETERSEN eine Form, SPARROW 1934 drei, 1936 auch drei, HÖHNK vier, VALLIN eine. Darunter waren zwei *Pythium*arten,

*Pythium marinum* SPARROW, *Pythium maritimum* HÖHNK, eine *Pythiogeton spec.* und Einzelvertreter der Saprolegniaceen-Gattungen: *Ectrogella*, *Eurychasma*, *Eurychasmidium*, *Thraustochytrium* und *Leptolegnia*.

STOLL untersuchte Binnengewässer, darunter waren auch Brackwasser-teiche in der Umgebung Greifswalds. Er fand an Saprolegnien und Pythien im mesohalinen Wasser *Achlya racemosa* und im polyhalinen Teich *Achlya polyandra*, *Saprolegnia dioica*, *S. Thureti*, *Aphanomyces laevis* und *Pythium proliferum*.

Der Autor sagt in seiner Zusammenfassung, daß der Salzgehalt für einen Teil der beobachteten Arten ohne Bedeutung ist. „Einige Saprolegniineen dringen bis in die polyhaline Brackwasserzone vor.“

Es muß zunächst bemerkt werden, daß STOLLS Gliederung der Gewässer nach Salzgehaltsstufen anders als die von mir gebrauchte ist. Er bezeichnet 2,6 und 7 ‰ als mesohalin und 13 bis 17 ‰ als polyhalin, während ich mesohalin den Bereich von  $\pm 7$  und 18 ‰ und polyhalin die noch höheren Werte nenne.

Neben den hydrochemischen Arbeiten beobachtete STOLL auch Rein-kulturen der gefangenen Pilze, wahrscheinlich in Schalen mit dem Wasser der natürlichen Standorte. Daß in ihnen die Pilze gediehen und vielleicht auch einen vollständigen Lebenszyklus bildeten, ist anzunehmen. Soweit ergänzen sich seine und meine Ergebnisse.

Seine Salzwasserhabitate könnten den von mir herangezogenen Meeres-tümpeln entsprechen. Die Besiedlung ist dem Standort weitgehend angepaßt. Optimumbestimmungen, die die gefundenen Pilze charakterisierten, machte er nicht. Seine Myzelien werden Standortrassen gewesen und nach meinen Ergebnissen einzugliedern sein bei den sogen. euryhalinen Meeres-tümpelbewohnern. Eine allgemeine Aussage, daß der Salzgehalt für diese Pilze ohne Bedeutung ist, setzt voraus, daß alle anderen Standortrassen der von ihm erwähnten Pilze sich gleich unempfindlich gegenüber Salzwerten verhalten werden, wie sie in seinen Brackwasserteichen vorlagen, und daß seine Myzelien gegenüber einer Skala der Salzwerte, wie ich sie anwen-dete, gleiche Reaktionen gezeigt hätten. Das ist aus seiner Arbeit nicht ersichtlich und auch nicht zu erwarten, weder nach meinen früheren noch den hier mitgeteilten Beobachtungen.

Es bleibt aber die Vermutung, daß es auch bei den **Saprolegniaceae** ein-zelne Brackwasserrassen gibt, wie sie hier in größerer Zahl von den **Pythia-ceae** festgestellt worden sind.

## Zusammenfassung.

Im Brack- und Meerwasserraum der Wesermündung und ihrer meerwärtigen Verlängerung, bezeichnet durch die Grenzen Wremen (10 km nördlich Bremerhavens) und eine Linie von Wangerooge bis Helgoland, und im Uferstreifen an der Kieler Förde wurden im vorigen Sommer zahlreiche Pilze gefunden.

Es lag die Frage nahe: Sind diese Pilze in ihrem natürlichen Lebensraum gefunden worden, oder sind sie im Salzwasserraum habitatsfremde Gäste, die nach einer mehr oder weniger langen Zeit des Kümmerens ab- bzw. aussterben? Diese Untersuchung sollte Grundlagen für eine Beantwortung beibringen.

Für diese Arbeiten wurden 31 gewöhnlich submers lebende Oomyceten von den eingebrachten Pilzen ausgewählt. 29 von ihnen gehörten den **Pythiaceae** (25 der Gattung *Pythium*, 1 der Gattung *Pythiogeton*, 3 der Gattung *Phytophthora*) und 2 den **Saprolegniaceae** (je 1 den Gattungen *Saprolegnia* und *Aplanopsis*) an. Ihre Fundorte bezeichneten einen profilhaften Schnitt vom Meer- über das Brackwasser bis in den Süßwasserbezirk. Die Fundplätze von 4 Isolierungen lagen im Meer- bzw. hochsalzigen Brackwasser, von 9 im Brackwasser über 7 ‰, von 7 in den Salztümpeln an der Kieler Förde, von 1 im Brackwasser < 7 ‰, von 5 im Grodenstreifen, von 3 in einem stark ausgesüßten ehemaligen Salzwasserkolk und von 2 in Gärten einer Siedlung. Bis auf 2 Formen des Meerwasserhabitats wurden alle Isolierungen von ortsgebundenen Substraten oder aus Bodenproben gemacht.

Der Planung der Arbeit lag die Annahme zugrunde, daß die Myzelien an ihrem natürlichen Standort auch am ehesten einen lückenlosen Lebenszyklus (nacheinander Wachstum, Sporulation und Sexualphase) zeigen und die optimale Propagationsziffer erreichen werden.

Darum wurden vier Kulturserien angesetzt. In der Serie A liefen während 24 Tagen von jeder der 31 Formen je eine Kultur im Wasser mit 0, 3, 7, 13, 18 und 25 ‰ Salzgehalt. Fortlaufend wurden beobachtet, gemessen oder ausgezählt für jeden Pilzrasen der Radius, Eigenarten der Hyphen, Beginn und Ausbildung der Sporulation, Eintritt und Dominanz der Sexualphase, Gesundheit bzw. Anteil der degenerierenden Oosporen und gegebenenfalls die Bildung von Gemmen. Von jeder der drei Lebensphasen wurden die Salzgehaltsstufen für ihre optimale Entfaltung bestimmt.

Die Serie B brachte weitere Daten für die Ausbildung der sporulativen Phase in Beziehung zum Salzwert des Schalenwassers. Die erhaltenen Ergebnisse erlaubten in vielen Fällen eine engere Begrenzung der Salzgehaltsspanne für das Sporulationsoptimum. In dieser Serie wurden die Tochterkulturen gezählt, die während einer Zeit von drei Wochen durch fortgesetzte Beköderung der in neue Schalen übertragenen jungen Myzelien entstanden.

Um dem neben dem Salzgehalt im Freien wirksamen Selektionswert der Konzentrationsschwankungen näher zu kommen, wurde die Serie C angesetzt. Sie lief zehn Tage. In tidenhaftem, sechsstündigem Rhythmus wurde der Salzgehalt in den Schalen geändert.

In den erwähnten drei Serien war für die niederste Stufe Aqua dest. verwendet worden. Es erschien wünschenswert, die Ergebnisse durch die Beob-



achtungen von Kulturen im Süßwasser von binnenländischen Standorten zu ergänzen; es wurde von zwei Süßwasserserien genommen. Das war die Serie D.

Die kombinierten Ergebnisse der vier Serien bestätigten die Vermutung, daß die optimale Ausbildung der drei Lebensphasen gewöhnlich in der gleichen oder doch sehr ähnlichen Salzgehaltsspanne erfolgte. Daneben treten auch einzelne Ausnahmen auf. Eine Veranschaulichung der Ergebnisse geben die graphischen Darstellungen der Figuren 2 bis 4. Sie zeigen außerdem, daß verschiedene Formen verschieden auf bestimmte Salzwerte reagieren. Weitere Erfahrungen sind, daß die in den Kulturschalen ermittelten Werte etwa denen am Standort im Freien entsprechen, wenn die Pilze von ortsfesten Substraten isoliert wurden, und daß die Pilze in der sexuellen Phase empfindlicher sind als in der sporulativen und am wenigsten in der des vegetativen Wachstums.

Es lassen sich nach ihrem Verhalten gegenüber der Salzwertskala die Meerespilze von denen des Brack- und des Süßwassers sehr wohl unterscheiden. Diese Ergebnisse erklären auch die Erscheinung, daß ein profilhafter Schnitt vom Meer- zum Süßwasser hin parallelisiert wird von einer Pilzfolge mit abnehmender Anpassungsfähigkeit gegenüber Salzwerten und ihren Schwankungen. — Es ließ sich eher ein Meerwasserpilz ins Süßwasser überführen, als eine Süßwasserart ins Meerwasser.

Eine ähnlich zusammengesetzte Pilzwelt mit abgestufter Anpassung an die Habitatsreihe zeigen auch die Meerestümpel und der ausgesuchte ehemalige Salzwasserkolk am Ufer der Kieler Förde. Die Meerestümpel sind dem Tidengebiet der Wesermündung ähnlich, nur sind hier die Zeitintervalle zwischen den Schwankungsspitzen ungleich lang, und die Amplitude zwischen den Extremen ist gewöhnlich größer als in der Wesermündung.

Bezeichnen wir auch jene Rassen oder Arten als Brackwasserformen, die im Brackwassergebiet ihre optimale Entfaltung zeigen, ist in unserem Untersuchungsgebiet nunmehr eine gute Anzahl nachgewiesen.

Anschrift des Verfassers:

Dr. W. H ö h n k, Institut für Meeresforschung, Bremerhaven-G.

## Literaturverzeichnis

- HÖHNK, W., Ein Beitrag zur Kenntnis der Phycomyceten des Brackwassers. Kieler Meeresforschungen 3: 337—361. 1939.
- " Studien zur Brack- und Seewassermykologie I. Veröff. Inst. Meeresforschung in Bremerhaven I: 115—125. 1952.
- PETERSEN, H. E., Contributions à la connaissance des Phycomycetes marins (**Chytridinae** FISCHER). Oversigt, Kgl. Danske Videnskab. Selskab, Forhandl. 1905: 440—488.
- SPARROW, F. K., Observations on marine Phycomycetes collected in Denmark. Dansk Bot. Arkiv, 8: 1—24. 1934.
- " Biological observations on the marine fungi of Woods Hole waters. Biol. Bull. 70: 236—263. 1936.
- STOLL, K., **Saprolegniineen** aus der Umgebung von Greifswald, Mitt. d. Naturw. f. Neuvorpommern und Rügen in Greifswald 63. Jahrg.: 20—42. 1936.
- VALLIN, St., Plankton Mortality in the Northern Baltic caused by a parasitic water-mould. Inst. of Fresh-Water Research, Drottningholm, Report No. 32: 139 bis 148. 1951.
- WOLF F. A. AND F. T. WOLF, The fungi. II. Vol. New York 1947.
- ZOBELL, C. E., Marine Microbiology. Waltham, Mass. U.S.A. 1946.



## Inhaltsverzeichnis

LÜNEBURG, H., Ein neues Gerät zur Messung des Schlickfalles in Küstengewässern und Häfen.....	Seite 129
WILLMANN, C., Die Milbenfauna der Nordseeinsel Wangerooge.	" 139
KINNE, O., Zum Lebenszyklus von <i>Gammarus duebeni</i> LILLJ. nebst einigen Bemerkungen zur Biologie von <i>Gammarus</i> <i>zaddachi</i> SEXTON subs. <i>zaddachi</i> SPOONER.....	" 187
MEYER, V., Probleme des Verderbens von Fischkonserven in Dosen .....	" 204
FRIEDRICH, H., Über neuere Gesichtspunkte zur Physiologie der Biocoenosen .....	" 225
BRANDES, C.-H. und R. DIETRICH. Zur Methodik der absoluten Fettbestimmung im Hering.....	" 232
GOEDECKE, E., Über Intensität und Jahresgang der thermo- halinen Schichtung in der Deutschen Bucht.....	" 236
HÖHNK, W., Studien zur Brack- und Seewassermykologie II. ....	" 247